

بسمه تعالی

وزارت معادن و فلزات

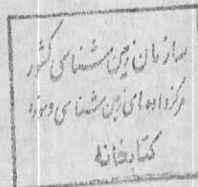
سازمان زمین شناسی و اکتشافات معدنی کشور

طرح پی جوئی موادمعدنی

پروژه ارزیابی داده های ژئوشیمیایی ۲۵ سال گذشته

گزارش اکتشافات تکمیلی ژئوشیمیایی در ورقه های

پرتک و مهرود



جلد دوم

مجری طرح: محمد تقی کره‌ای



توسط:

سازمان زمین شناسی و اکتشافات معدنی کشور

مهندسین مشاور معدن آفرین در

فهرست مطالب جلد اول

صفحة	عنوان
۱	چکیده
۲	قدرتانی
۳	فصل اول
۴	۱- مقدمه
۵	۱-۱- موقعیت جغرافیایی
۶	۱-۲- تاریخچه
۷	۱-۳- ویژگیهای زمین شناسی
۸	۱-۴- چینه شناسی
۹	۱-۵- سنگهای آذرین
۱۰	۱-۶- ۳- زمین ساخت تاریخی و تکتونیک
۱۱	۱-۷- مطالعات دورسنجی
۱۲	۱-۸- ۱- مقدمه
۱۳	۱-۹- ۲- روش کار
۱۴	۱-۱۰- ۱- اهداف و روش‌های کار
۱۵	۱-۱۱- ۱- هدف بررسیها
۱۶	۱-۱۲- ۱- انتخاب نواحی مورد مطالعه
۱۷	۱-۱۳- ۱- تحلیل داده‌های ژئوشیمیایی
۱۸	۱-۱۴- ۱- آنالیز به روش مولفه‌های اصلی
۱۹	۱-۱۵- ۱- کاربردهندسه فرآنکالی در تشخیص آنمالی‌ها

الف

۳۹	۱-۶-۴- استفاده از بررسی تصاویر و مطالعات دورستجو
۳۹	۱-۶-۵- نتیجه گیری نهایی برای انتخاب محدوده های مورد مطالعه
۷۵	فصل دوم
۷۶	۱-۲- منطقه شورک
۷۶	۱-۱-۱- موقعیت جغرافیایی و راههای ارتباطی
۷۶	۱-۲-۱- سریزگاهی زمین شناسی و سنگ شناسی
۸۰	۱-۲-۳- مشخصات دورنمای ژئوشیمیایی
۸۱	۱-۲-۴- نمونه برداری
۸۴	۱-۲-۵- آماده سازی نمونه ها
۸۴	۱-۲-۶- روش آزمایش
۸۵	۱-۲-۷- تخمین داده های سنسورده
۸۷	۱-۲-۸- کترل مقادیر Outlier
۸۹	۱-۲-۹- محاسبه پارامترهای آماری
۹۰	۱-۲-۱۰-۱- تعیین آنالیزونقشه های آنومالی تک متغیره
۱۴۱	۱-۲-۱۰-۱-۲- بررسی همبستگی میان داده های ژئوشیمی
۱۴۱	۱-۱۰-۱-۲-۱- آنالیز دو متغیره به روش همبستگی های گرافیکی
۱۴۳	۱-۱۰-۱-۲-۲- آنالیز چند متغیره عناصر
۱۵۴	۱-۱۱-۱- شرح نقشه های امتیازات فاکتوری
۱۵۵	۱-۱۲-۱- تعبیر و تفسیر پارامترهای ژئوشیمیایی
۶۱	۱-۱۳-۱- مدل سازی کانسار

۱۶۴	۱۳-۱-۱-مدل سازی مس شورک
۱۶۸	۱۴-۱-انتخاب محدوده های پتانسیل دار
۱۷۲	۱۵-۱-نتیجه گیری
۱۷۱	۱۶-۱-پیشنهادات
فهرست مطالب جلد دوم	
۲۱۰	۲-۲-منطقه باغ سنگی
۲۱۰	۲-۲-۱-ریخت شناسی محدوده
۲۱۰	۲-۲-۲-توضیح زمین شناسی محدوده
۲۱۳	۲-۲-۳-هدف از کار
۲۱۵	۲-۴-نمونه برداری
۲۱۵	۲-۵-تخمین داده های سنسورد
۲۱۸	۲-۶-کترل مقادیر دورافتاده
۲۱۹	۲-۷-محاسبه پارامترهای آماری
۲۶۶	۲-۸-آنالیز دو متغیره عناصر
۲۷۰	۲-۹-آنالیز چند متغیره
۲۷۰	۲-۹-۱-آزمون همبستگی کلاستر(خوشه ای)
۲۷۲	۲-۹-۲-ذاکتور آنالیز
۲۷۵	۲-۱۰-تفسیر داده های زنوزیمیابی
۲۸۸	۲-۱۱-نتایج

۲۸۹	۱-۲-۱-پیشنهادات
۲۹۷	مطالعات ژئوشیمیایی به منظور اکتشاف کرومیت
۲۹۷	۲-۳-۱-معرفی اندیشهای کنیف و چاه پنج سر
۲۹۹	۲-۳-۲-مقدمه
۳۰۰	۲-۳-۳-موقعیت جغرافیایی و راههای دستیابی
۳۰۲	۳-۲-۴-محاسبه پارامترهای آماری
۳۰۶	۳-۲-۵-تجزیه و تحلیل دو متغیره عناصر
۳۱۵	۳-۲-۶-تجزیه و تحلیل چند متغیره
۳۲۲	۳-۲-۷-مشخصات اندیشهای کرومیت شناخته شده در منطقه
۳۳۴	۲-۳-۸-تحلیل نتایج حاصل از روش تفریقی
۳۴۱	۲-۳-۹-نتیجه گیری
۳۵۶	۲-۴-۱-معرفی اندیس نیع نرآب
۳۵۶	۲-۴-۲-مقدمه
۳۵۸	۲-۴-۳-روش نمونه برداری و آنالیز نمونه ها
۳۵۸	۲-۴-۴-نتایج مطالعه مقاطع صیقلی
۳۶۰	۲-۴-۵-مقایسه نتایج حاصل از تجزیه نمونه ها با مقدار زمینه
۳۶۰	۲-۴-۶-تیپ ژئوشیمیایی - کانی شناسی اندیس نیع نرآب
۳۶۵	۲-۴-۷-نتایج و پیشنهادات

لیست شکل‌های جلد اول

صفحه

عنوان

۱	منطقه شورک
۲	۱-۱- موقعیت جغرافیایی
۴	۲-۱- نقشه مناطق مورد مطالعه
۷	۳-۱- نقشه نمونه گیری عمومی منطقه
۲۸	۴-۱- دیاگرام Screen plot برای ۱۸ مولفه
۳۱	۵-۱- رسم فاکتور در یک چرخش فضایی برای عناصر اصلی
۳۲	۶-۱- تغییرات امتیازی ۵ مولفه برای نمونه های ژئوشیمیایی
۳۴	۷-۱- دیاگرام Screen plot برای ۷ مولفه
۳۳	۸-۱- رسم فاکتور در چرخش فضایی برای عناصر اصلی
۳۶	۹-۱- نمایش فاکتور چرخیده
۲۸	۱۰-۱- آنالی خوشاب با استفاده از روش فراکتالی
۴۰	۱۱-۱- انعکاس آتراسیون در مطالعات دورسنجی منطقه شورک
۴۱	۱۲-۱- انعکاس آتراسیون در مطالعات دورسنجی منطقه باغ سنگی
۸۲	۱۲-۲- نمودار مقایسه ای عناصر شاخص بین سنگ و خاک
۹۶	۱۳-۲- آماره هاونمودارهای متغیرهای ژئوشیمیایی SiO_2
۹۷	۱۴-۲- نقشه نمادین SiO_2
۹۸	۱۵-۲- آماره هاونمودارهای متغیرهای ژئوشیمیایی Al_2O_3
۹۹	۱۶-۲- نقشه نمادین Al_2O_3
۱۰۰	۱۷-۲- آماره هاونمودارهای متغیرهای ژئوشیمیایی Fe_2O_3

- ۱۰۱-۲-نقشه نمادین Fe₂O₃
- ۱۰۲-۹-آماره هاونمودارهای متغیرهای ژئوشیمیابی CaO
- ۱۰۳-۱۰-۲-نقشه نمادین CaO
- ۱۰۴-۱۱-۲-آماره هاونمودارهای متغیرهای ژئوشیمیابی MnO
- ۱۰۵-۱۲-۲-نقشه نمادین MnO
- ۱۰۶-۱۳-۲-آماره هاونمودارهای متغیرهای ژئوشیمیابی TiO₂
- ۱۰۷-۱۴-۲-نقشه نمادین TiO₂
- ۱۰۸-۱۵-۲-آماره هاونمودارهای متغیرهای ژئوشیمیابی MgO
- ۱۰۹-۱۶-۲-نقشه نمادین MgO
- ۱۱۰-۱۷-۲-آماره هاونمودارهای متغیرهای ژئوشیمیابی Cu
- ۱۱۱-۱۸-۲-نقشه پتانسیل Cu
- ۱۱۲-۱۹-۲-نقشه نمادین Cu
- ۱۱۳-۲۰-۲-آماره هاونمودارهای متغیرهای ژئوشیمیابی P₂O₅
- ۱۱۴-۲۱-۲-نقشه نمادین P₂O₅
- ۱۱۵-۲۲-۲-آماره هاونمودارهای متغیرهای ژئوشیمیابی Ag
- ۱۱۶-۲۳-۲-نقشه نمادین Ag
- ۱۱۷-۲۴-۲-آماره هاونمودارهای متغیرهای ژئوشیمیابی B
- ۱۱۸-۲۵-۲-نقشه نمادین B
- ۱۱۹-۲۶-۲-آماره هاونمودارهای متغیرهای ژئوشیمیابی Ba
- ۱۲۰-۲۷-۲-نقشه نمادین Ba

- ۱۲۱-۲۸-۲-آماره هاونمودارهای متغیرهای ژئوشیمیابی Br
- ۱۲۲-۲۹-۲-نقشه نمادین Br
- ۱۲۳-۳۰-۲-آماره هاونمودارهای متغیرهای ژئوشیمیابی Co
- ۱۲۴-۳۱-۲-نقشه نمادین Co
- ۱۲۵-۳۲-۲-آماره هاونمودارهای متغیرهای ژئوشیمیابی Cr
- ۱۲۶-۳۳-۲-نقشه نمادین Cr
- ۱۲۷-۳۴-۲-آماره هاونمودارهای متغیرهای ژئوشیمیابی La
- ۱۲۸-۳۵-۲-نقشه نمادین Li
- ۱۲۹-۳۶-۲-آماره هاونمودارهای متغیرهای ژئوشیمیابی Ni
- ۱۳۰-۳۷-۲-نقشه نمادین Ni
- ۱۳۱-۳۸-۲-آماره هاونمودارهای متغیرهای ژئوشیمیابی As
- ۱۳۲-۳۹-۲-نقشه نمادین As
- ۱۳۳-۴۰-۲-آماره هاونمودارهای متغیرهای ژئوشیمیابی V
- ۱۳۴-۴۱-۲-نقشه نمادین V
- ۱۳۵-۴۲-۲-آماره هاونمودارهای متغیرهای ژئوشیمیابی Zn
- ۱۳۶-۴۳-۲-نقشه نمادین Zn
- ۱۳۷-۴۴-۲-آماره هاونمودارهای متغیرهای ژئوشیمیابی Sn
- ۱۳۸-۴۵-۲-نقشه نمادین ترکیبات ضربی $\text{Ba} \cdot \text{Zn} / \text{Cu} \cdot \text{V}$
- ۱۳۹-۴۶-۲-نقشه نمادین ترکیبات ضربی $\text{Cu} \cdot \text{V} / \text{Ba} \cdot \text{Zn}$
- ۱۴۰-۴۷-۲-ماتریس پراکندگی برای متغیرها

- ۱۴۶-۴۸-۲-نمودار خوشه ای (کلاستر)
- ۱۴۷-۴۹-۲-نقشه نمادین فاکتور^۱
- ۱۴۸-۵۰-۲-نقشه نمادین فاکتور^۲
- ۱۴۹-۵۱-۲-نقشه نمادین فاکتور^۳
- ۱۵۸-۵۲-۲-حاله های زئوژیمیابی برای مس، روی، ترمه نیکل و کرم
- ۱۶۳-۵۳-۲-مقایسه تغییرات تولید خطی عناصر شاخص و تخمین ذخیره آنها
- ۱۷۰-۵۴-۲-نقشه مناطق پیشنهادی

لیست شکلهای جلد دوم

منطقه با غ سنگی

- ۲۱۶-۵۵-۲-نقشه نمونه برداشت
- ۲۲۷-۵۶-۲-آماره هاون نمودارهای متغیرهای زئوژیمیابی SiO_2
- ۲۲۸-۵۷-۲-نقشه نمادین SiO_2
- ۲۲۹-۵۸-۲-آماره هاون نمودارهای متغیرهای زئوژیمیابی Al_2O_3
- ۲۳۰-۵۹-۲-نقشه نمادین Al_2O_3
- ۲۳۱-۶۰-۲-آماره هاون نمودارهای متغیرهای زئوژیمیابی Fe_2O_3
- ۲۳۲-۶۱-۲-نقشه نمادین Fe_2O_3
- ۲۳۳-۶۲-۲-آماره هاون نمودارهای متغیرهای زئوژیمیابی CaO
- ۲۳۴-۶۳-۲-نقشه نمادین CaO
- ۲۳۵-۶۴-۲-آماره هاون نمودارهای متغیرهای زئوژیمیابی MgO

عنوان	صفحة
۶۵-۲-نقشه نمادین MgO	۲۳۶
۶۶-۲-آماره هاونمودارهای متغیرهای ژئوشیمیابی MnO	۲۳۷
۶۷-۲-نقشه نمادین MnO	۲۳۸
۶۸-۲-آماره هاونمودارهای متغیرهای ژئوشیمیابی TiO_2	۲۳۹
۶۹-۲-نقشه نمادین TiO_2	۲۴۰
۷۰-۲-آماره هاونمودارهای متغیرهای ژئوشیمیابی P_2O_5	۲۴۱
۷۱-۲-نقشه نمادین P_2O_5	۲۴۲
۷۲-۲-آماره هاونمودارهای متغیرهای ژئوشیمیابی B	۲۴۳
۷۳-۲-نقشه نمادین B	۲۴۴
۷۴-۲-آماره هاونمودارهای متغیرهای ژئوشیمیابی Ba	۲۴۵
۷۵-۲-نقشه نمادین Ba	۲۴۶
۷۶-۲-آماره هاونمودارهای متغیرهای ژئوشیمیابی Co	۲۴۷
۷۷-۲-نقشه نمادین Co	۲۴۸
۷۸-۲-آماره هاونمودارهای متغیرهای ژئوشیمیابی Cr	۲۴۹
۷۹-۲-نقشه نمادین Cr	۲۵۰
۸۰-۲-آماره هاونمودارهای متغیرهای ژئوشیمیابی Cu	۲۵۱
۸۱-۲-نقشه نمادین Cu	۲۵۲
۸۲-۲-آماره هاونمودارهای متغیرهای ژئوشیمیابی La	۲۵۳
۸۳-۲-نقشه نمادین Li	۲۵۴
۸۴-۲-آماره هاونمودارهای متغیرهای ژئوشیمیابی Ni	۲۵۵

خ

- ۲۰۶-۱۵-۲ نقشه نمادین Al
- ۲۰۷-۸۶-۲ آماره هاونمودارهای متغیرهای ژنوشیمیابی Sr
- ۲۰۸-۸۷-۲ نقشه نمادین Sr
- ۲۰۹-۸۸-۲ آماره هاونمودارهای متغیرهای ژنوشیمیابی V
- ۲۱۰-۸۹-۲ نقشه نمادین V
- ۲۱۱-۹۰-۲ آماره هاونمودارهای متغیرهای ژنوشیمیابی Zn
- ۲۱۲-۹۱-۲ نقشه نمادین Zn
- ۲۱۳-۹۲-۲ آماره هاونمودارهای متغیرهای ژنوشیمیابی Ag
- ۲۱۴-۹۳-۲ نقشه نمادین تنگستن
- ۲۱۵-۹۴-۲ نقشه نمادین عناصر ضربی $Ba.Ba/Cu.Co$
- ۲۱۶-۹۵-۲ نمودار خوش ای برای متغیرها
- ۲۱۷-۹۶-۲ نقشه نمادین ضرایب فاکتوری ۱
- ۲۱۸-۹۷-۲ نقشه نمادین ضرایب فاکتوری ۲
- ۲۱۹-۹۸-۲ هیستوگرام ضرایب فاکتوری
- ۲۲۰-۹۹-۲ نمودار $P-P$, $Q-Q$ ضرایب فاکتورها
- ۲۲۱-۱۰۰-۲ تولید خطی عناصر باریم - روی و باریم - سس
- ۲۲۲-۱۰۱-۲ نمودار شاخص عنصری
- ۲۲۳-۱۰۲-۲ نقشه آنومالی ها
- ۲۲۴-۱۰۳-۲ نمودار شاخص عنصری
- ۲۲۵-۱۰۴-۲ مدل ژنوشیمیابی اسکارن پلی مثال معدن کورسای

	مطالعات ژنوشیبایی به منظور اکشاف کرومیت
۳۰۷	۱۰۵-۲-پارامترهای آماری کرم و روی
۳۰۸	۱۰۶-۲-پارامترهای آماری نیکل و سرب
۳۰۹	۱۰۷-۲-پارامترهای آماری کبات و بر
۳۱۰	۱۰۸-۲-پارامترهای آماری مس و منگنز
۳۱۱	۱۰۹-۲-پارامترهای آماری باریم و قلع
۳۱۲	۱۱۰-۲-پارامترهای آماری نقره و بریم
۳۱۳	۱۱۱-۲-پارامترهای آماری آرسنیک و بیسموت
۳۱۴	۱۱۲-۲-نمودارهای گرافیکی عناصر
۳۱۷	۱۱۳-۲-نمودارخوشه‌ای عناصر
۳۲۱	۱۱۴-۲-نقشه نمادین فاکتور اول (آرسنیک، بیسموت، مس، بر و سرب)
۳۲۲	۱۱۵-۲-نقشه نمادین فاکتور دوم (نیکل و کبات)
۳۲۴	۱۱۶-۲-نقشه نمادین فاکتور سوم (روی و منگنز)
۳۴۴	۱۱۷-۲-نقشه نمادین پیش‌بینی گروهها
۳۴۵	۱۱۸-۲-نقشه نمادین درصد احتمال گروهها
۳۴۶	۱۱۹-۲-نقشه نمادین ضرایب تفریقی
۳۴۷	۱۲۰-۲-نقشه نمادین عنصر کرم و کانی کرومیت
۳۴۸	۱۲۱-۲-نقشه نمادین توزیع عناصر نیکل و کبات
۳۴۹	۱۲۲-۲-نقشه نمادین عناصر مس و منگنز
۳۵۰	۱۲۳-۲-نقشه نمادین عناصر آرسنیک و آنتیموان

- ۳۵۱-۱۲۴-۲-نقشه نمادین عناصر روی و نقره
- ۳۵۲-۱۲۵-۲-نقشه نمادین عناصر قلع و بر
- ۳۵۳-۱۲۶-۲-نقشه نمادین سرب و باریم
- ۳۵۴-۱۲۷-۲-نقشه نمادین بروباریم
- ۳۵۵-۱۲۸-۲-نقشه نمادین فاکتور اول بر حسب کاهش مقادیر(کرم)
- ۳۵۷-۱۲۹-۲-نقشه مناطق پیشنهادی
- ۳۰۱-۱۳۰-۲-نقشه موقعیت نمونه برداری در مناطق کلیف و چاه پنج سر
- ۳۶۱-۱۳۱-۲-نمودار مقایسه ای اکسیدهای اصلی در منطقه تیغ نوآب
- ۳۶۲-۱۳۲-۲-نمودار مقایسه ای عناصر اصلی در منطقه تیغ نوآب
- ۳۶۳-۱۳۳-۲-نمودار مقایسه ای عناصر اصلی در منطقه تیغ نوآب
- ۳۶۴-۱۳۴-۲-نمودار مقایسه ای عناصر اصلی در منطقه تیغ نوآب

لیست جداولهای جلد اول

صفحه	عنوان
	منطقه شورک
۲۸	۱-بارهای محاسبه شده برای ۵ مؤلفه
۲۹	۱-۲-بارهای محاسبه شده برای ۵ مؤلفه
۳۰	۱-۳-بارهای محاسبه شده برای ۵ مؤلفه با روش چرخش
۳۳	۱-۴-مقادیر ویژه و درصد واریانس مؤلفه ها
۴۴	۱-۵-بارهای محاسبه شده برای ۳ مؤلفه
۴۵	۱-۶-بارهای محاسبه شده برای ۳ مؤلفه با چرخش
۸۳	۱-۷-نتایج تجزیه نمونه های سنگی برای چاهکها
۸۷	۱-۸-نتایج داده های سنسورد
۸۸	۱-۹-مقادیر دورافتاده
۹۰	۲-۱-پارامترهای آماری متغیرهای ژئوشیمیایی
۱۴۰	۲-۲-پارامترهای آماری برای متغیرهای نرمال شده
۱۴۴	۲-۳-ساتریس همبستگی متغیرهای ژئوشیمیایی
۱۵۰	۲-۴-نتایج فاکتور آنالیز
۱۵۱	۲-۵-نتایج فاکتور آنالیز
۱۵۷	۲-۶-تحمیل ذخیره عناصر شاخص

لیست جداولهای جلد دوم

صفحه

عنوان

منطقه باغ سنگی

- ۲۱۸-۱۰-۱-نتایج مقادیر سنسورد
- ۲۱۸-۱۱-۲-مقادیر دورافتاده
- ۲۲۱-۱۲-۱-پارامترهای آماری متغیرهای ژئوشیمیایی
- ۲۶۷-۱۳-۲-پارامترهای آماری برای متغیرهای نرمال شده
- ۲۶۸-۱۴-۱-ماتریس ضرایب همبستگی به روش پرسون
- ۲۷۳-۱۵-۲-نتایج فاکتور آنالیز
- ۲۷۴-۱۶-۲-نتایج فاکتور آنالیز
- ۲۷۶-۱۷-۲-نتایج ضرایب فاکتوری
- ۲۸۰-۱۸-۲-تخمین ذخیره عناصر شاخص
- ۲۱۴-۱۹-۲-محاسبه شاخص روزانه عنصری بر حسب داده های ناحیه ای
- مطالعات ژئوشیمیایی به منظور اکتشاف کرومیت
- ۲۰۳-۲۰-۲-پارامترهای آماری عناصر در کنیف و چاه پنج سر
- ۲۱۶-۲۱-۲-ضرایب همبستگی پرسون
- ۳۱۹-۲۲-۲-نتایج فاکتور آنالیز
- ۳۲۰-۲۳-۲-نتایج فاکتور آنالیز
- ۳۲۶-۲۴-۲-پارامترهای آماری عناصر در منطقه مالدار
- ۳۲۷-۲۵-۲-مقایسه بین پارامترهای آماری کرومیت در مناطق مختلف

- ۳۲۸-۲۶-۱ مقایسه بین کرومیت درنونه های کانی سنگین و کرم درنونه های آبراهه ای (دستگرد)
- ۳۳۰-۲۷-۱ مقایسه بین کرومیت درنونه های کانی سنگین و کرم درنونه های آبراهه ای (گلاب)
- ۳۳۶-۲۸-۲ پارامترهای آماری جوامع انتخابی (آنومالی وزمینه)
- ۳۳۷-۲۹-۲ روش گام به گام دریهینه کردن جدایی متغیرهای مهم
- ۳۳۸-۳۰-۲ روش گام به گام دریهینه کردن جدایی متغیرهای مهم
- ۳۳۹-۳۱-۲ نتایج طبقه بندی و جداسازی گروهها
- ۳۴۰-۳۲-۲ خلاصه توابع تفربیقی رسمی (Canonical discriminant function)
- ۳۵۹-۳۳-۲ نتایج تجزیه نمونه های سنگی در منطقه تیغ نواپ

لیست عکسها

صفحه

عنوان

۷۹

۱-ناحیه شورک- محل حفاریهای باستانی

۷۹

۲-ناحیه شورک-کمر بالای زون کانی سازی

لیست ضمایم جلد اول

صفحه

عنوان

	منطقه شورک
٤٢	Al ₂ O ₃ -نقشه-۱-۷-۱
٤٣	Cao-نقشه-۲-۷-۱
٤٤	Fe-نقشه-۳-۷-۱
٤٥	K ₂ O-نقشه-۴-۷-۱
٤٦	MgO-نقشه-۵-۷-۱
٤٧	Na ₂ O-نقشه-۶-۷-۱
٤٨	SiO ₂ -نقشه-۷-۷-۱
٤٩	Mn-نقشه-۸-۷-۱
۵۰	As-نقشه-۹-۷-۱
۵۱	B-نقشه-۱۰-۷-۱
۵۲	Ba-نقشه-۱۱-۷-۱
۵۳	Co-نقشه-۱۲-۷-۱
۵۴	Cu-نقشه-۱۳-۷-۱
۵۵	Cr-نقشه-۱۴-۷-۱
۵۶	La-نقشه-۱۵-۷-۱
۵۷	Li-نقشه-۱۶-۷-۱
۵۸	Ni-نقشه-۱۷-۷-۱
۵۹	P-نقشه-۱۸-۷-۱

ص

۶۰	Pb-۱۹-۷-۱
۶۱	Ti-۲۰-۷-۱
۶۲	V-۲۱-۷-۱
۶۳	Zn-۲۲-۷-۱
۶۴	Cu-Zn-۲۳-۷-۱
۶۵	Zn-variance-۲۴-۷-۱
۶۶	Zr-۲۵-۷-۱
۶۷	Factor1 شورک-۲۶-۷-۱
۶۸	Factor2 شورک-۲۷-۷-۱
۶۹	Factor3 شورک-۲۸-۷-۱
۷۰	Factor4 شورک-۲۹-۷-۱
۷۱	Factor5 شورک-۳۰-۷-۱
۷۲	Factor1 باع سنگی-۳۱-۷-۱
۷۳	Factor2 باع سنگی-۳۲-۷-۱
۷۴	Factor3 باع سنگی-۳۳-۷-۱

لیست ضمایم جلد دوم

باغ سنگی

- ۱۷۲ -۱-نمودار مقایسه ای برای نمونه سنگی در اعمق مختلف
- ۱۷۳ -۲-نمودار مقایسه ای برای نمونه سنگی در اعمق مختلف
- ۱۷۴ -۳-نمودار مقایسه ای برای نمونه سنگی در اعمق مختلف

- ۱۹۲-۲۱-۲-نمودارهای گرافیکی برای متغیرهای ژئوشیمیابی
۱۹۳-۲۲-هیستوگرام ضرایب فاکتوری
- ۱۹۴-۲۳-۲-نمودارهای Q-Q,P-P برای ضرایب فاکتوری
- ۱۹۵-۲۴-۲-نمودارهای Q-Q,P-P برای ضرایب فاکتوری
- ۱۹۶-۲۰۶-۲۵-۲-نتایج خام تجزیه شیمیابی نمونه ها
- ۲۰۷-۲۰۹-۲۶-۲-نتایج ضرایب فاکتوری
- ۲۹۰-۲۷-۲-نمودارهای گرافیکی برای متغیرهای ژئوشیمیابی
- ۲۹۱-۲۸-۲-نمودارهای گرافیکی برای متغیرهای ژئوشیمیابی
- ۲۹۲-۲۹-۲-نمودارهای گرافیکی برای متغیرهای ژئوشیمیابی
- ۲۹۳-۲۹۶-۳۰-۲-نتایج خام تجزیه شیمیابی نمونه ها
- مطالعات ژئوشیمیابی به منظور اکتشاف کرومیت
- ۳۶۶-۳۱-۲-نمودار مقایسه ای بین عناصر در منطقه مالدار (رسوبات آبراهه ای)
- ۳۶۷-۳۲-۲-نمودار مقایسه ای کانی سنگین در منطقه مالدار
- ۳۶۸-۳۶۹-۳۳-۲-نمودار مقایسه ای کانی سنگین در منطقه گلاب
- ۳۷۰-۳۴-۲-نتایج آنالیز عناصر در منطقه گلاب
- ۳۷۱-۳۵-۲-مقایسه کرومیت در کانی سنگین و کرم در رسوبات آبراهه ای (کنیف)
- ۳۷۲-۳۶-۲-مقایسه کرومیت در کانی سنگین و کرم در رسوبات آبراهه ای (دستگرد)
- ۳۷۳-۳۷۴-۳۷-۲-نمودار مقایسه ای بین عناصر اصلی در منطقه گلاب
- ۳۷۵-۳۷۷-۳۸-۲-نتایج کانی سنگین بر حسب ppm در مناطق کنیف و چاه پنج سر

- ۳۷۸-۱-نقشه نمادین گارنت و آمفیبول در کانی سنگین
مناطق کنیف و چاه پنج سر
- ۳۷۹-۲-نقشه نمادین باریت و روتیل در کانی سنگین
مناطق کنیف و چاه پنج سر
- ۳۸۰-۱-نقشه نمادین پیریت اکسید روپایدوت در کانی سنگین
مناطق کنیف و چاه پنج سر
- ۳۸۱-۲-نقشه نمادین پروکسن و کلربیت در کانی سنگین
مناطق کنیف و چاه پنج سر
- ۳۸۲-۱-نقشه نمادین منیتیت و تورمالین در کانی سنگین
مناطق کنیف و چاه پنج سر
- ۳۸۳-۲-نقشه نمادین آناتاز و اسفن در کانی سنگین
مناطق کنیف و چاه پنج سر
- ۳۸۴-۱-نقشه نمادین ایلمنیت و هماتیت در کانی سنگین
مناطق کنیف و چاه پنج سر
- ۳۸۵-۲-نقشه نمادین سلسین و لوکرکسن در کانی سنگین
مناطق کنیف و چاه پنج سر
- ۳۸۶-۱-نقشه نتایج تجزیه عناصر در نمونه های آبراهه ای
مناطق کنیف و چاه پنج سر
- ۳۸۷-۲-بررسی دقت آنالیز نمونه ها
مناطق کنیف و چاه پنج سر
- ۳۸۹-۲-دبیاگرام کترول تامپسون ($CuSiO_2$)

- ۳۹۰-۵۰-دیاگرام کترل تامپسون (Ni-Al₂O₃)
- ۳۹۱-۵۱-دیاگرام کترل تامپسون (P₂O₅.TiO₂)
- ۳۹۲-۵۲-دیاگرام کترل تامپسون (MnO.MgO)
- ۳۹۳-۵۳-دیاگرام کترل تامپسون (Ca.Fe₂O₃)
- ۳۹۴-۵۴-دیاگرام کترل تامپسون (Sr.V)
- ۳۹۵-۵۵-دیاگرام کترل تامپسون (Zn.Li)
- ۳۹۶-۵۶-دیاگرام کترل تامپسون (B.Ba)
- ۳۹۷-۵۷-دیاگرام کترل تامپسون (Co.Cr)
- ۳۹۸-۵۸-مقایسه مشخصات آماری کرومینهای مختلف
- ۳۹۹-۴۰۱-۵۹-آنالیز عناصر بادوروش مختلف
- ۴۰۲-۴۰۴-۶۰-نتایج آنالیز و تکرار آنالیز عناصر مختلف
- ۴۰۵-۶۱-نتایج کانی سنگین منطقه گلاب
- ۴۰۶-۶۲-نتایج کانی سنگین منطقه مالدار
- ۴۰۷-۴۲۲-۶۳-مطالعه مقاطع صیقلی

لیست بیوستها(داخل پاک)

۱-نقشه دورسنجی با مقیاس ۱:۲۵۰۰۰ مهرود بر تک

۲-نقشه زمین شناسی با مقیاس ۱:۱۰۰۰۰ منطقه باغ سنگی

۳-نقشه نمونه گیری منطقه شورک

۴-ماتریس همبستگی متغیرهای ژئوشیمیایی

۵-نقشه زمین شناسی با مقیاس ۱:۱۰۰۰ منطقه شورک

۲-۲-منطقه باع سنگی

۱-۲-ریخت شناسی محدوده باع سنگی

محدوده مورد بررسی که به علت نزدیکی به روستای باع سنگی به این نام خوانده شده دارای

ابعاد نزدیک به 1800×1200 متر دارای مختصات جغرافیایی $32^{\circ} 24' \text{ درجه}$ و $40^{\circ} 28' \text{ دقیقه شمالی}$ و $1^{\circ} 00' \text{ دقیقه شرقی}$

و $28^{\circ} 28' \text{ دقیقه خاوری}$ می باشد. راه رسیدن به آن از راه اصلی (آسفالت) بیر جنوب سریش و سپس به طرف

جاده درح واذر در حدود ۷ کیلومتر به طرف شمال واذر طبق جاده خاکی به روستای باع سنگی واز

آنچه محدود ۲ ساعت پیاوه روی درون مسیل و آبراهه های خشک می باشد. این محدوده به لحاظ

توپوگرافی منطقه ای کوهستانی با یک دره اصلی نسبتاً عمیق و دیواره های تندر راستای تقریباً شمالی

جنوبی (که در قسمت جنوبی بطرف غرب کشیده می شود) گسترش دارد و آبریزهای کوچکتر و کم عمق

تری به آن ختم می شوند. بلندترین نقطه ارتفاعی آن در بخش غربی - جنوب غربی حدود ۲۲۰۰ متر است.

با وجود کوهستانی بودن از مناطق گرم و خشک بوده و فاقد جریان آب دائمی است. (نقشه ۱-۱)

۲-۲-توضیح زمین شناسی محدوده مورد بررسی باع سنگی

این محدوده (نقشه پیوست ۵) در نقشه چهارگوش زمین شناسی $1:100,000$ در فاصله حدود ۷

کیلومتری شمال، شمال خاوری آبادی باع سنگی واقع است. قدیمی ترین سنگهایی که در این

محدوده وجود دارد عبارتند از:

- سنگ مارنی شیلی ریز دانه به رنگ خاکستری روش مطالعه میکروسکوپی آن بافتی ریز دانه و

میکروکریستالینی را نشان داده است و عمدتاً از کربنات تشکیل گردیده که به صورت ریز دانه

(میکرایت - میکروکریستالینی) می باشد. همراه دانه های ریز کربنات، کانیهای بسیار ریز

میکروسکپی وجود دارد که عمدتاً رس، میکاوکلریت است که گاه به صورت رشته های بسیار ریز و ظرفی دیده می شود. به ندرت دانه های ریز سیلیسی نیز در آن وجود دارد علاوه بر آن دانه های بسیار ریز اپک به عنوان کانی فرعی آنها را همراهی می نماید. نام این سنگ را کربنات میکراتیس معرفی کرده اند. ضخامت این افق ۱۵ تا ۱۲ متر است و کمی دگرگون به نظر می رسد. بر روی آن یک افقی شبیل مدادی به رنگ سبز روشن به ضخامت نزدیک به ۲۰ متر که دارای لایه بندی و کنکرسیونهای ریز و متوسط می باشد. در میانه این افق شبیل یک لایه آهکی و مارنی فسیل دار دیده می شود. اغلب فسیلها ریز و از نوع نومولیت و الوئولین هستند. بر روی آنها یک افق آهکی خاکستری رنگ به ضخامت حدود ۵ متر سرشار از فسیلهای ریز وجود دارد که یک نمونه از آن جهت بررسی میکروسکپی گرفته شد. بررسی های میکروسکپی نشان می دهد که سنگی است آهکی ریز دانه بیومیکرات و نومولیت دار و قطعات صدف که شاخص اثوسن زیرین (پیرسین) هستند. به دنبال آن تناوبی از شبیل و مارن به رنگ خاکستری روشن با لایه بندی نازک تا متوسط دارای میکروفسیلهایی از قبیل نومولیت، در بخش های بالایی ساختمانهای بودیناژ در لایه های آن دیده می شود که ناشی از اعمال تکتونیکی مؤثر بر آن است. ضخامت این قسمت حدود ۲۵ تا ۳۰ متر است. بر روی سنگهای مزبور تناوبی از لایه های ماسه آهکی، آهک ماسه ای و مارن بالایه بندی متوسط تا ضخیم به رنگ عمومی قهوه ای و قهوه ای مایل به قرمز دارد و ضخامت آن در مجموع ۱۲ تا ۱۵ متر می باشد.

ردیف سنگهای یاد شده را یک افق شبیلی قرمز رنگ به ضخامت حدود ۴ متر می پوشاند و بر روی آن تناوبی از ماسه سنگ و مارن به رنگ قهوه ای روشن به ضخامت حدود ۱۲ متر قرار دارد و در نهایت افق کنگلومرایی به رنگ عمومی خاکستری مایل به قهوه ای با دانه بندی ریز تا درشت شامل قطعات عمدتاً آهکی، آهک ماسه ای است که در سیمانی آهک ماسه ای قرار گرفته اند. در این

کنگلومرا فطعات سنگهای آذرین و چرت نیز دیده می شود. شب لایه بندی از ۴۰ تا ۳۰ درجه متغیر و در جهت عمومی غربی می باشد.

مطالعات صحرایی و میکروفیلها نشان می دهد که ردیف رسوبی سرخ داده شده در بالا متعلق به انو سن زیرین و اوایل انو سن میانی است، که یک توده آذرینی و چندین دایک به درون آنها نفوذ کرده و سبب تغییراتی در محدوده گردیده است.

مطالعات میکروسکوپی نمونه های گرفته شده از توده نفوذی آذرینی و دایکها نشان می دهند سنگی میکروپورفیریتیک با مشخصه های سنگهای نیمه عمیق است و دارای کانیهای پلازیوکلاز فنوکریست (در اندازه های نقریبی تا نزدیک به ۳ میلیمتر، با تجزیه به آرژیل) کمی کربنات و اکسید آهن.

ترکیب کلی آن حدود آندزین است. فلد سپات آکالالی (عمدتاً ارتوز)، کانیهای مایک شامل آمفیبول که بعضی از آنها کلریتیزه و اپدوتیزه و بندرت کربناتیزه هستند. همچنین تعداد کمی پیروکسن که بعضی از آنها قسمتی به آمفیبول تبدیل شده اند و تعداد کمتری کوارتز به صورت می شکل می باشد.

زمینه میکروگرانولار بوده و شامل دانه های کوارتز و فلدسبات آکالالی می باشد. دارای کانیهای فرعی اپک و به ندرت آپاتیت است. نام این توده آذرینی رامی توان میکروکوارتز دیبوریت تا میکروگرانودیبوریت عمدتاً آئرله نامید. نقشه های زمین شناسی منطقه سن توده نفوذی را اویلگوسن تامیوسن تعیین نموده اند. مطالعه نمونه های برگرفته از دایکها و بخش هایی کمی آئرله شده توده اصلی نشان می دهند که کانیهای زمینه شامل دانه های کوارتز، کمی فلدسبات و رشتہ هایی از کانیهای میکابی (عمدنا" سریسیت و مسکویت) غالباً آهن دار است و با تغییرات جزیی موجود نام آنها ریوداست به طرف ریولیت آرژیله، اکسیده می باشد. کانیهای فرعی نیز آپاتیت و دانه های اپک است.

آخرین نهشته های موجود در محدوده مورد بررسی رسوبات آبراهه ای و آبرفت های کواترنری است که کف آبریزها و بخش های کوچکی از دامنه ها را تشکیل داده اند.

- از نظر ساختاری محدوده مورد مطالعه قسمتی از یک تاقدیس کوچک را تشکیل می دهد. که محور

آن در راستای تقریباً شمالی جنوبی گسترش دارد و چندین گسل کوچک و نسبتاً بزرگ در راستاهای متفاوت در آن وجود دارد. مهمترین گسل موجود در این محل دُسلی است که در راستای شمالی غربی - جنوب شرقی سرتاسر محدوده رامی پیماید و در راستای آن توده آذرینی نفوذ کرده و پیرانه نفوذ آن اختلاف ارتفاع و شبیه لایه های دوطرف گسل به طور چشمگیری به وجود آمده است. بررسی ردیف رسوبی محدوده نشانگر اثر حرکات نکتونیکی انسن میانی - بالابی است به گونه ای که ازانسن زیرین به بعد بالا آمدن منطقه ویسروی دریا در آن ناحیه مشاهده می شود و نفوذ توده آذرینی در الیگومیوسن (نقشه های زمین شناسی منطقه اتفاق افتاده و پی آمداین فعالیت آذرینی وجود آلتراسیون سنگها که به احتمال قوی در اثر محلول های گرمابی اواخر این فعالیت نکتونیکی بوده است و شاید کانی سازی هایی نیز در برداشته باشد.

۲-۳- هدف از کار

در مطالعاتی که شرکت B.R.G.M فرانسوی در مقیاس ناحیه ای در این منطقه انجام داده است اندیس باغ سنگی را برای ادامه مطالعات پیشنهاد نموده. به این منظور با استفاده از داده های بسیار، جی، ام میتوان محاسبات شاخص های عنصری زوئالیتی را برای انمونه ای که به این منطقه مربوط می شود انجام داد. طبق جدول این محاسبات برای سه شاخص عنصری زوئالیتی $\text{Ag} \cdot \text{Zn}/\text{Cu} \cdot \text{Cu}$ و $\text{Ba} \cdot \text{Ba}/\text{Cu} \cdot \text{Co}$ و $\text{Pb} \cdot \text{Zn}/\text{Cu} \cdot \text{Co}$ انجام گرفته است. تغییرات مقادیر این سه شاخص نمونه ها را بطور کلی به دو گروه عمده تقسیم می کند. کمترین مقادیر این سه شاخص برای نمونه های 3905، 3950 و 3946 بوده و بیشترین مقادیر تغییرات این سه شاخص طبق جدول برای نمونه های 3944 و 3947 می باشد که در نواحی کم ارتفاع واقع بوده و عناصر تحت کانساری مس و 3945 و 3949 می باشد که در نواحی کم ارتفاع واقع بوده و عناصر تحت کانساری مس و

کمال آنها کاهش یافته و عناصر فوق کانساری بیشترین مقدار را نسبت به سری اول دارند و ماهیت پنهان و عمیق بودن هاله های پلی متال را نشان می دهند اما در سری اول افزایش عناصر تحت کانساری مشخص کننده اندیس و هاله های روباز می باشد.

No	X	Y	Pb	ZN	Ba	Co	BaBa/CuCo	ZnPb/CuCo	ZnAg/CuCu
3905	259	3538	33	133	343	20	137	5	0.72
3950	260	3538	30	168	303	9	94	5	0.14
3946	262	3535	54	229	294	16	29	4	0.07
3947	261	3536	39	176	262	8	35	5	0.07
3944	260.4	258+5	28	91	128	15	470	7	1.35
3948	260.8	3587.4	29	91	358	14	458	9	2.28
3945	260.2	3585.5	30	217	273	8	110	10	0.30
3949	261.9	3587.4	23	600	302	7	266	40	2.50

جدول ۲-۱۹ محاسبه سه شاخص رونالیته عنصری بر حسب داده های ناحیه ای B.R.G.M در ناحیه

باغ سنگی (عناصر بر حسب ppm) است.

(لازم به ذکر است استفاده از پارامتر تولید خطی در محاسبات می تواند بسیار مفید باشد)

بنابراین با توجه به مشخصات اندیس باغ سنگی این منطقه برای ادامه مطالعات ژئوشیمیائی انتخاب

گردید. در منطقه باغ سنگی هدف از بکارگیری روش ژئوشیمیایی اکشافی تعیین میزان و نحوه توزیع

عناصر فلزی بصورت تک متغیره و چند متغیره برای شناخت ذخایر احتمالی آشکار و یا پنهان و

چگونگی ارتباط آنها با هم دیگر است. برای رسیدن به این هدف از روش اکشافات ژئوشیمیایی

سیستماتیک در مقیاس نیمه تفضیلی (فواصل نمونه برداری ۵۰ متر) که در تقسیم بندی جدید سازمان

ملل معادل اکشافات عمومی (General Exploration) است استفاده شده است.

۴-۲-۴- نمونه برداری

نیاز به تشخیص آنومالی های واقعی و تمیز انواعی که به نهشته های کانساری مربوط می باشد از

سایر انواع آن موجب گردیده تا مقدار معینی از رسوبات آبراهه ای (۸۰ مش) مورد نمونه برداری قرار

گیرد. نمونه برداری از رسوبات آبراهه ای یکی از روش های مستقیم جهت شناخت و کشف

کانسارهای فلزی به شمار می رود. همچنین در بررسی های آبراهه ای برداشت نمونه هایی چون

قطعات کانی سازی شده کف آبراهه و یا قطعات پوشیده شده از اکسید آهن و منگز برای آنالیز یک

با چند کانی خالص می تواند مفید باشد همچنین عواملی که بایستی در خصوص این نمونه برداری

در نظر گرفت نوع کانی سازی، نوع سنگ مورد انتظار، سنگهای دربرگیرنده و موقعیت جغرافیایی و

ژئومورفولوژی می باشد.

در منطقه باغ سنگی ۴۰ نمونه از محدوده زیر پوشش به وسعت 1 km^2 در فواصل ۵۰ متر برداشت

گردیده است نقشه مکان نمونه برداری در شکل ۵۵-۲ آورده شده است.

۴-۲-۵- تخمین داده های سنسورد

در این پروژه برای تخمین داده های سنسورد از روش بیشترین در سنتمایی (۱) استفاده گردیده است.

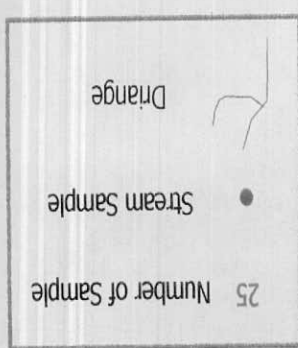
همانطور که قبل گفته شد مقادیر اندازه گیری به روش ICP آنالیزه شده است. و عناصری که دارای

مقادیر سنسورد می باشند عبارتند از W, Li, Ca که مقادیر مناسب جایگزین شده و در جدول (۲-

۱) آورده شده است. لازم به ذکر است که عناصر As, Sn, Be, Sb, Mo, Cd, Bi, Ag به دلیل

سنسورد بودن اکثر نمونه ها در جریان پردازش حذف شده اند در این روش ابتدا میانگین کل جامعه

با فرض توزیع لاغ نرمال (داده های ژئوشیمیائی اکثراً دارای توزیع لاغ نرمال می باشند) تخمین

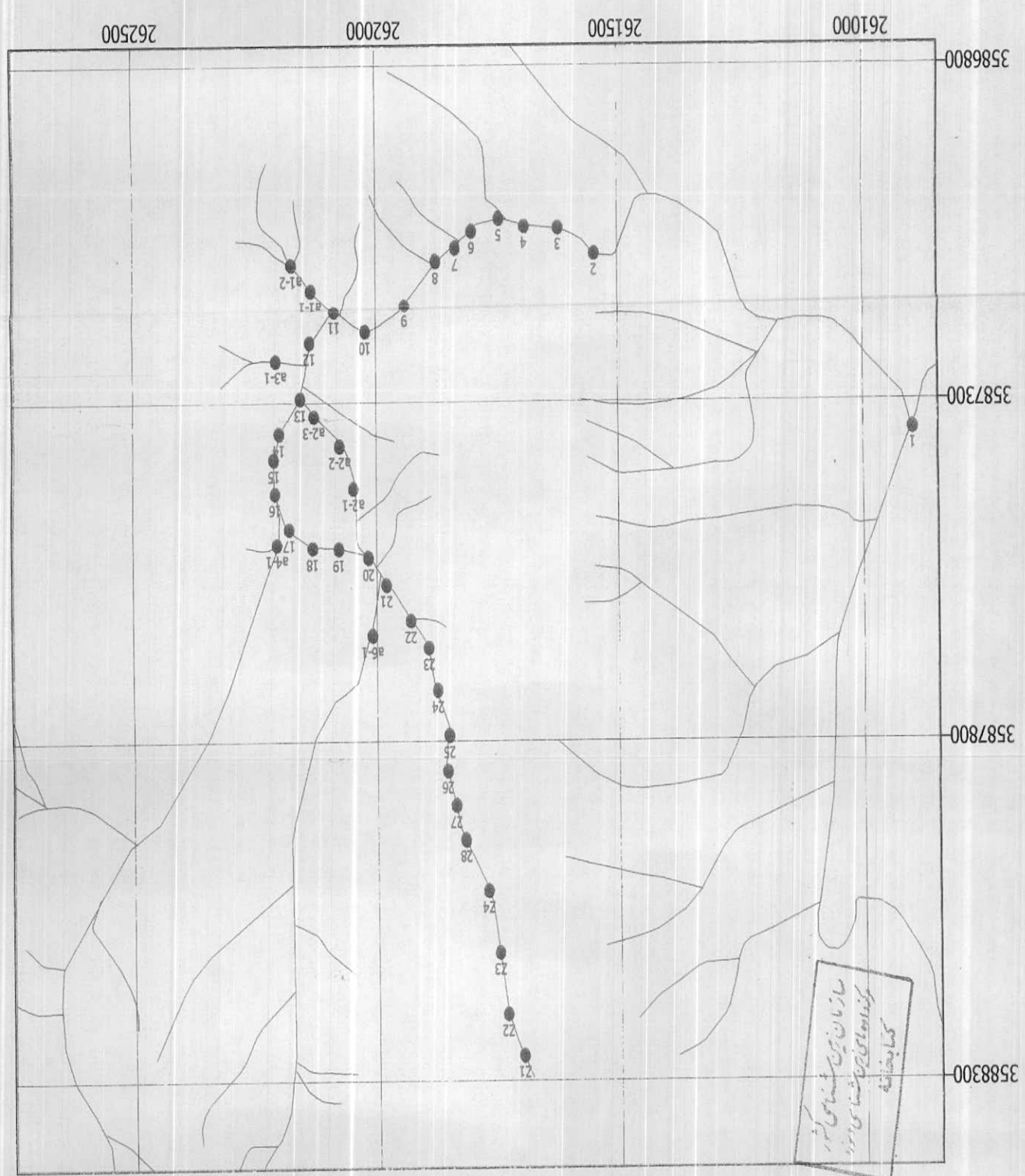


Scale = 1:10,000



LEGEND

0.00 200.00 400.00 600.00 800.00



Geochemical Sampling Map of Bagh Sangi Area

Fig. 2.55

زده می شود. سپس از میانگین تخمینی برای محاسبه یک مقدار جانشینی برای مقادیر سنسورد استفاده می شود.

برای تخمین میانگین کل جامعه به روش حداقل در سنتماتی ابتدا مقادیر طبق رابطه های زیر محاسبه می شوند

$h = nc / nu + nc$ که در آن nc : تعداد داده های سنسورد

$g = (su^2) \log / (\log xu - \log x_0)^2$ nu : تعداد داده های غیرسنسورد

$(Su^2) \log$: پراش لگاریتم داده های غیر سنسورد

$bhxu$: لگاریتم میانگین هندسی داده های غیر سنسورد

$\log x_0$: لگاریتم حد حساسیت دستگاه برای عنصر موردنظر

با محاسبه مقادیر فوق از جداول بیشترین در سنتماتی می توان مقادار لاندا را با درون یابی یا برون یابی محاسبه کرد و سپس از رابطه زیر میانگین کل جامعه را تخمین زد :

$$Mt = \log Xu - k(\log Xu - \log X_0)$$

Mt : میانگین کل داده ها

آنگاه از این مقدار برای تخمین میانگین داده های سنسورد استفاده می شود بدین ترتیب :

$$M = t.M / t = nc.Mc + nu.Mu$$

Mc : میانگین داده های سنسورد

Mu : میانگین داده های غیرسنسورد

با حل معادله فوق بر حسب Mc داریم :

با نتیجه به فرضیات فوق از نظر این روش بهترین مقدار برای جایگزین داده های سنسورد Mc

است که با رابطه زیر با مقدار جایگزینی X_t مرتبط می شود.

پس مقادیر جایگزینی به جای مقادیری که ثبت نشده بودند قرار گرفته تا در محاسبات آماری بتوان از آن استفاده کرد.

جدول ۱۰-۲-نتایج مقادیر سنسور دباغ سنگی

	Ag	As	Be	Bi	Cd	Cu	Li	Mo	Sb	Sn	W
Xo	1	20	2	10	2	5	10	5	10	10	10
Nc	37	40	39	40	40	1	7	40	40	40	31
Nu	3	0	1	0	0	39	33	0	0	0	9
Pc%	92.5	100	97.5	100	100	2.5	17.5	100	100	100	77.5
Xr	-	-	-	-	-	3.75	9	-	-	-	1.35

(Xr) (Xo)، (Nc)، (Nu)، (Pc)، (در صد مقادیر سنسور دباغ سنگی برای سنسورها) (حد حسابیت) (تعداد مقادیر سنسور دباغ سنگی) (تعداد مقادیر غیر سنسور دباغ سنگی)

۶-۲-۲-کترل مقادیر Outlier

در جامعه آماری زئر شیمیایی باع سنگی با ۴۰ نمونه آبراهه ای ۴ نمونه را بعنوان نمونه دور افتاده در نظر گرفته ایم.

لیست نمونه های دور افتاده outlier در جدول ۱۱-۲ انشان داده شده است.

Row	No.of field	Element	Content(ppm)
1	28	Cr	722
2	2	Cu	48
3	37	V	267
4	12	Zn	105

جدول ۱۱-۲-مقادیر دور افتاده

۱- نمونه ۲۸: طبق نمودار Q - Normal (شکل ۷۸-۲) کروم با داشتن غلظت ۷۲۲ ppm اختلاف حدود ۵۰۰ ppm نسبت به آخرین و پر عبارترين نمونه، قبل خود بعنوان نمونه دورافتاده قرار می گيرد.

۲- نمونه ۲: طبق نمودار Q - Normal (شکل ۸۰-۲) مس با داشتن غلظت ۴۸ ppm نسبت به

جامعه آماری مس باع سنگی کاملاً مجزا و بعنوان نمونه دورافتاده (نقطه به لحاظ آماری) محسوب می شود.

۳- نمونه ۳۷: طبق نمودار Q - Normal (شکل ۸۸-۲) و اندیم با داشتن غلظت $ppm < 26$ علیرغم قرار گرفتن بر روی خط نرمال به لحاظ آماری جزو نمونه دورافتاده محسوب می شود.

۴- نمونه ۱۲: طبق نمودار Q - نرمال (شکل ۹۰-۲) روی باداشتن غلظت ۱۰۵ ppm و بعلت فاصله زیاد رزبرخط نرمال به لحاظ آماری جزو نمونه دورافتاده محسوب می شود.

۷-۲-۲- محاسبه پارامترهای آماری

در اینجا از ساده ترین محاسبات آماری بر روی داده های ژئوشیمیابی انجام می گیرد. از پیشرفت هر ترین

متدهای آماری بوسیله کامپیوتر و خصوصاً از نرم افزارهای آماری بهره گیری شده است. انواع ساده

آمارهای بکار گرفته شده شامل مواردیست که درباره تمام داده های ژئوشیمیابی انجام می شود. بعنوان

قدم اول درجهت تفسیر آماری داده های ژئوشیمیابی محسوب می شود. آنچه مقدمات محاسبه می

شود عبارتست از مینیمم، ماکریتم، میانگین، میانه، انحراف معیار، و چولگی که دربرابر غلظت های

عنصر با جامعه آماری مشکل از نمونه در ناحیه باع سنگی انجام شده است. همچنین با رسم نمودار

Q-Q میتوان مقادیر داده هارا دربرابر مقادیر نرمال موردن تظاهر آنها رسم کرد اگر این نمودار تقریباً بر روی

خط راست باشد توزیع داده های نرمال نزدیک می شود در غیر این صورت فرض نرمال بودن

داده ها ردیف شود. بار سیم نمودار P-میتوان منحنی احتمال تجمعی مشاهدات را در برابر احتمالهای

تجمعی مقادیر مورد انتظار از توزیع نرمال رسم کرد اگر این نقاط بر روی نیمساز مربعی با اضلاع

واحد باشد داده ها نرمال هستند در غیر این صورت نرمال نیستند. (جدول ۱۲-۲)

Table(12):Statistical Parameters of Geochemical Variables(Bagh Sangi Area)

	Statistics										
	S/02	ALO203	FE203	CAO	MGO	MNO	T/02	P205	B	BA	CO
N	40	40	40	40	40	40	40	40	40	40	40
Minimum	39.60	7.70	1.40	8.50	1.00	.04	.54	.08	17.0	103.0	7.0
Maximum	63.70	12.00	3.50	24.80	3.40	.07	.67	.11	45.0	248.0	25.0
Mean	46.5850	9.3525	2.6200	18.4200	1.9250	5.425E-02	.6130	9.000E-02	28.850	185.500	19.000
Median	44.1500	9.1500	2.9000	19.6000	1.8000	5.000E-02	.6100	9.000E-02	29.000	183.000	22.000
Std. Deviation	6.4582	1.0663	.6186	4.2437	.4819	7.808E-03	3.048E-02	7.161E-03	6.411	31.698	6.068
Variance	41.708	1.137	.383	18.009	.232	6.096E-05	9.292E-04	5.128E-05	41.105	104.769	36.821
Skewness	1.351	.504	-.731	-.856	1.290	.092	-.209	.441	.070	-.104	-1.164
Kurtosis	1.061	-.331	-.878	.151	2.475	-.253	-.510	.394	-.134	.178	-.466
Geometric Mean	46.1895	9.2947	2.5368	17.8362	1.8723	5.369E-02	.6123	8.973E-02	28.125	182.714	17.668

Statistics

	CR	CU	L'	N'	SR	V	W	ZN
N	40	40	40	40	40	40	9	40
Minimum	69.0	4.0	9.0	26.0	223.0	132.0	11.0	26.0
Maximum	722.0	48.0	30.0	83.0	334.0	267.0	19.0	105.0
Mean	150.875	18.825	20.675	55.050	270.625	192.500	14.889	54.675
Median	128.000	20.000	23.000	55.000	271.000	196.000	13.000	57.500
Std. Deviation	103.629	7.632	6.635	13.470	22.966	34.519	2.892	15.567
Variance	10738.933	58.251	44.020	181.433	527.420	1191.590	8.361	242.328
Skewness	4.523	-.822	-.962	-.096	.519	-.479	.301	.437
Kurtosis	24.504	4.624	-.576	-.008	1.485	-.632	-1.682	1.807
Geometric Mean	134.738	17.058	19.274	53.288	269.690	189.224	14.643	52.405

تعیین پارامترهای آماری و نقشه های آنومالی تک متغیره :

(شکل ۲-۵۶ و ۵۷) SiO₂-۱

طبق نمودارهای P-Q و هیستوگرام توزیع داده ها انتشار لاغ نرمال چولگی مثبت دارد.

ضریب تغییرات این ترکیب ۱۴٪ است. دامنه تغییرات بین ۴۰٪ تا ۴۵٪ می باشد. بیشترین دامنه

تغییرات آن حدود ۴۴٪ است.

بیشترین تمرکز این ترکیب در آبراهه ۲۰ مشاهده شده است قابل توجه است که مقدار این ترکیب در

بقیه نمونه ها مقدار پایینی دارد.

(شکل ۲-۵۸ و ۵۹) Al₂O₃-۲

طبق نمودار Q-Q و هیستوگرام انتشار اکسید الومینیم نرمال بوده و دامنه تغییرات آن بین ۷۷٪ تا

۱۲٪ می باشد. دارای ضریب تغییرات ۱۱ می باشد و بیشترین دامنه تغییرات آن حدود ۹٪ است.

بیشترین تمرکز این ترکیب در حواشی نمونه های ۲۸ و ۲۷ می باشد و همینطور در آبراهه ۲۰

تمرکزی از این ترکیب دیده می شود.

(شکل ۳-۶۰ و ۶۱) Fe₂O₃-۳

طبق نمودارهای Q-P و P-Q و هیستوگرام انتشار اکسید آهن غیرنرمال بوده و دارای چولگی منفی

می باشد. دامنه تغییرات این ترکیب بین ۱/۴٪ تا ۳/۵٪ است و دارای ضریب تغییرات ۲۳٪ بوده و

بیشترین دامنه تغییرات آن حدود ۳٪ است. بیشترین تمرکز این ترکیب در جنوب منطقه حواشی نمونه

های ۲ تا ۱۲ است. یک تهی شدگی از این ترکیب در آبراهه ۲۰ وجود دارد.

(شکل ۶۲-۲ و ۶۳-۲) $\text{CaO}-\text{Q}$

طبق نمودار $\text{Q}-\text{P}-\text{P}$ و هیستوگرام این ترکیب غیرنرمال با چولگی منفی است ضریب تغییرات آن ۲۳٪ است. دامنه تغییرات بین ۸/۵٪ تا ۲۵٪ می باشد. بیشترین دامنه تغییرات حدود ۲۱٪ است. بیشترین تمرکز این ترکیب حواشی نمونه های ۱۸ و ۱۹ و ۱۲ بوده و یک نهی شدگی در آبراهه a2 دیده می شود.

(اشکال ۶۴-۲ و ۶۵-۲) $\text{MgO}-\text{Q}$

طبق نمودار $\text{Q}-\text{P}-\text{P}$ و هیستوگرام توزیع داده ها انتشار این ترکیب تقریباً لاغ بوده (چولگی مشتبه) دامنه تغییرات این ترکیب بین ۱٪ تا ۳/۴٪ می باشد دارای ضریب تغییرات ۲۵٪ بوده و بیشترین دامنه تغییرات آن حدود ۸/۱٪ می باشد. بیشترین تمرکز این ترکیب در شمال منطقه در اطراف نمونه های Z1 تا Z3 می باشد.

(اشکال ۶۶-۲ و ۶۷-۲) $\text{MnO}-\text{Q}$

طبق نمودار $\text{Q}-\text{P}-\text{P}$ و هیستوگرام توزیع داده های این ترکیب می توان به انتشار نرمال این ترکیب پی برد که دامنه تغییرات آن بین ۰/۰۴٪ تا ۰/۰۷٪ بوده و دارای ضریب تغییرات ۱۴٪ است که بیشترین دامنه تغییرات آن حدود ۰/۰۵٪ است. بیشترین تمرکز این ترکیب حواشی نمونه های ۲۸ و ۱۶ و ۱۸ می باشد.

7- TiO₂ (اشکال ۲ و ۶۸-۶۹)

طبق نمودار Q-P و هیستوگرام توزیع داده انتشار TiO₂ نرمال بوده دامنه تغییرات آن بین ۰/۵۴٪ تا ۷/۰٪ است. دارای ضریب تغییرات ۵٪ است و بیشترین دامنه تغییرات آن حدوده ۰/۶٪ می باشد بیشترین تمرکز در منطقه حول نمونه های ۱، ۱۴، و ۲۸ است.

8- P2O5 (اشکال ۲ و ۷۰-۷۱)

طبق نمودارهای Q-P و هیستوگرام توزیع این ترکیب تقریباً نرمال است. دامنه تغییرات بین ۰/۰۸٪ تا ۷/۰٪ است و دارای ضریب تغییرات ۷٪ می باشد بیشترین دامنه تغییرات حدود ۰/۰۹٪ است. بیشترین تمرکز این ترکیب در شمال منطقه حول نمونه های ۲۸ تا ۲۱ است.

9- B (اشکال ۲ و ۷۲-۷۳)

طبق نمودار Q-P و هیستوگرام این عنصر می توان به توزیع نرمال داده ها پی برد. دارای ضریب تغییرات ۲۲٪ است. دامنه تغییرات این عنصر بین ۱۷٪ تا ۴۵٪ بوده و بیشترین دامنه تغییرات آن حدوده ۳۰ ppm است. بیشترین تمرکز آن حول نمونه های ۱ و ۲۶ تا ۲۸ است. یک تهی شدگی در آبراهه ۲۲ برای این عنصر دیده می شود.

10- Ba (اشکال ۲ و ۷۴-۷۵)

با توجه به نمودارهای Q-P و هیستوگرام داده ها توزیع این عنصر نرمال می باشد. دامنه تغییرات بین ۱۰^۳ ppm تا ۲۴/۸ ppm است. ضریب تغییرات ۱۶٪ است. بیشترین دامنه تغییرات بین ۱۷٪ تا ۱۹٪ گرم در تن است. بیشترین تمرکز حول نمونه های ۱ و ۱۴ تا ۱۸ می باشد.

(اشکال ۲ و ۷۶-۷۷) Co-۱۱

با توجه به نمودارهای Q-P و هیستوگرام داده‌ها توزیع عنصر کمال شامل دو جامعه آماری بوده که انفصال این دو جامعه بین ۱۰ تا ۲۰ ppm می‌باشد دامنه تغییرات بین ۷ تا ۲۵ گرم در تن است. بیشترین دامنه تغییرات در جامعه اول حدود ۱۰ ppm و در جامعه دوم حدود ۲۲/۵ ppm است. بیشترین تمرکز این عنصر حول نمونه‌های ۱۴ تا ۲۲ است ضمناً یک تنهی شدید در آبراهه ۲۲ و نمونه‌های Z4 وجود دارد.

(اشکال ۲ و ۷۸-۷۹) Cr-۱۲

طبق نمودارهای Q-P و هیستوگرام توزیع این عناصر متتمرکز می‌توان به انتشار لگاریتمی آن پی برد دامنه تغییرات آن بین ۶۹ ppm تا ۷۲۲ ppm است. ضریب تغییرات آن ۶۸٪ است. بیشترین دامنه تغییرات حدود ۱۰۰ ppm است. بیشترین تمرکز این عنصر در جنوب منطقه حول نمونه‌های ۲ تا ۱۲ است یک تنهی شدید از این عنصر در آبراهه ۲ دیده می‌شود.

(اشکال ۲ و ۸۰-۸۱) Cl-۱۳

با توجه به نمودارهای Q-P و هیستوگرام انتشار این عنصر لاغ نرمال بوده و در این ضریب تغییرات ۴٪ است. دامنه تغییرات آن بین ۴ تا ۴۸ گرم در تن است. و بیشترین دامنه تغییرات حدود ۲۰ ppm است. بیشترین تمرکز این عنصر در جنوب منطقه حول نمونه‌های ۲ تا ۹ است.

۱۴ - Li (اشکال ۲ و ۸۳-۲)

طبق نمودار Q-P و هیستوگرام توزيع این عنصر می توان به دو جامعه آماری با انفصال ۱ تا ۲۰ ppm پی برد. بیشترین تمرکز را می توان حول نمونه های ۲۲، ۲۳، ۲۸ مشاهده کرد. یک تهی شدگی در آبراهه ای a2 و نمونه ای Z2 تا Z4 مشاهده می شود.

۱۵ - Ni (اشکال ۲ و ۸۴-۲)

با توجه به نمودارهای Q-P و هیستوگرام توزيع این عنصر نرمال می باشد تغییرات بین ۲۶ ppm تا ۳۸ ppm است. دارای ضریب تغییرات ۲۴٪ می باشد. بیشترین دامنه تغییرات آن حدوده ۵۵ ppm است. بیشترین تمرکز حول نمونه های ۲۲ تا ۲۸ می باشد. ضمناً یک تهی شدگی در آبراهه a2 مشاهده می شود.

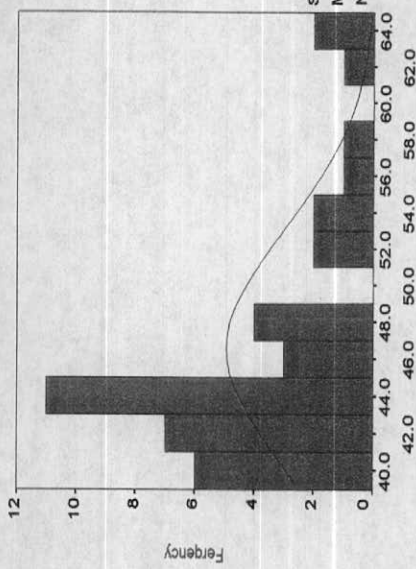
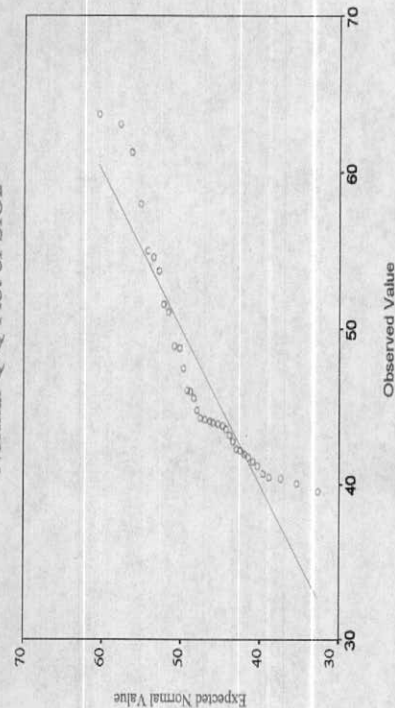
۱۶ - Sr (اشکال ۲ و ۸۶-۲)

توزيع این عنصر طبق نمودارهای Q-P و هیستوگرام داده ها نرمال می باشد. ضریب تغییرات آن حدود ۸٪ است. دامنه تغییرات بین ۲۲۳ ppm تا ۳۳۴ ppm است. بیشترین دامنه تغییرات حدود ۲۷۰ گرم در تن است.

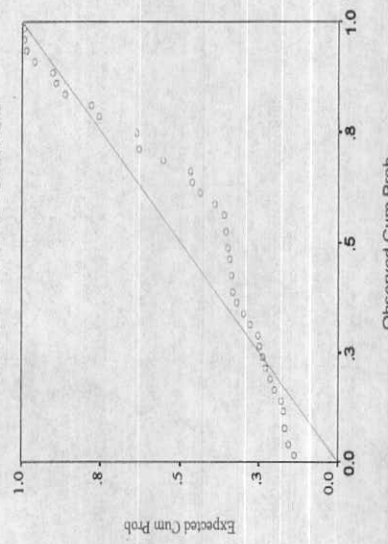
بیشترین تمرکز را می توان حول نمونه های Z1 و Z2 مشاهده نمود.

۱۷ - V (اشکال ۲ و ۸۸-۲)

توزيع این عنصر طبق نمودارهای Q-P و هیستوگرام داده ها دو جامعه آماری متمایز را نشان می دهد. دامنه تغییرات بین ۱۳۲ تا ۲۶۷ گرم در تن است.

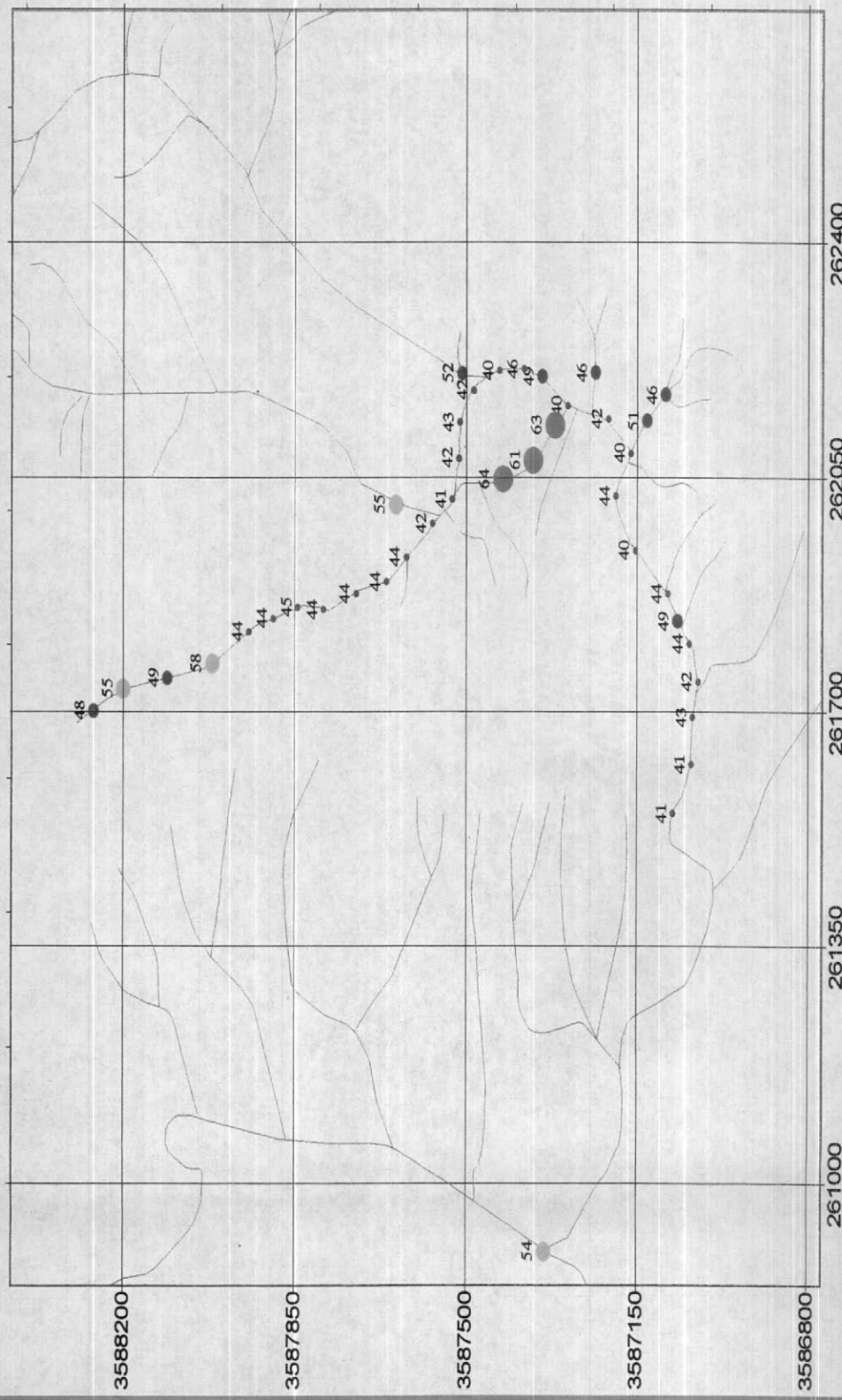
Histogram of SiO₂Normal Q-Q Plot of SiO₂**Statistics**

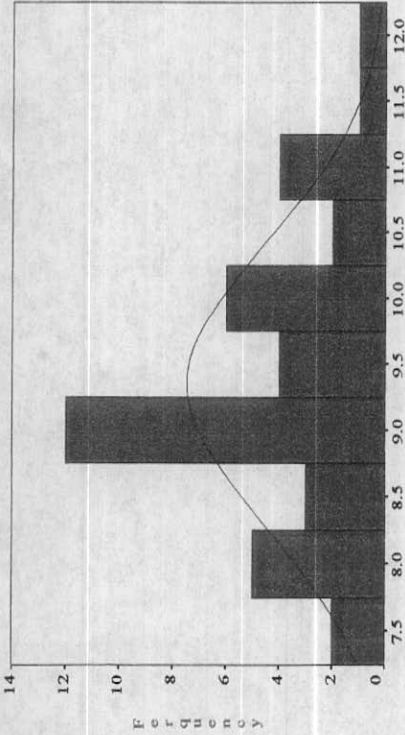
N	40
Valid	40
Missing	0
Mean	46.5850
Median	44.71500
Std. Deviation	6.4582
Skewness	1.351
Std. Error of Skewness	.374
Kurtosis	1.061
Std. Error of Kurtosis	.733
Minimum	39.60
Maximum	63.70
Percentiles	
25	42.0500
50	44.1500
75	48.9000

Normal P-P Plot of SiO₂**Table 56: Statistics and Diagrams of Geochemical Variables.**

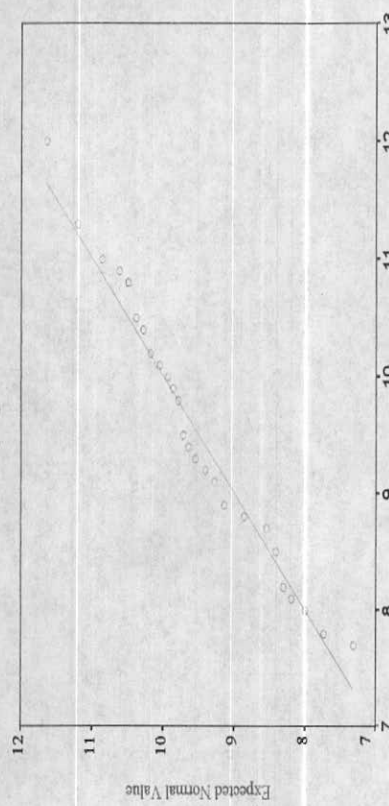
Symbol Map of *Sio2*

(*Bagh Sangi Area*)



Histogram of Al₂O₃**Statistics****Al₂O₃**

<i>N</i>	40
<i>Mean</i>	9.3525
<i>Median</i>	9.1500
<i>Std. Deviation</i>	1.0663
<i>Skewness</i>	.504
<i>Std. Error of Skewness</i>	.374
<i>Kurtosis</i>	.331
<i>Std. Error of Kurtosis</i>	.733
<i>Minimum</i>	7.70
<i>Maximum</i>	12.00
<i>Percentiles</i>	8.7250 10.1000

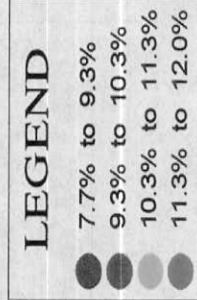
Normal Q-Q Plot of Al₂O₃Normal P-P Plot of Al₂O₃

Table(2.58):Statistics and Diagrams of Geochemical Variables

Observed Cum Prob

Symbol Map of Al2o3

(Bagh Sangi Area)



Drianaage

Stream Sample

N



Scale 1:10,000

Map No. 2 - 59

262400

261700

261350

261000

10.1

7.8

7.7

9.1

11.3

9.9

10.0

8.8

8.7

8.0

10.4

8.9

10.8

8.0

9.3

10.8

10.8

3588200

3587850

3587500

3587150

3586800

10.9

8.8

8.9

9.2

9.3

10.1

9.4

9.4

10.4

11.0

11.0

8.8

8.8

8.9

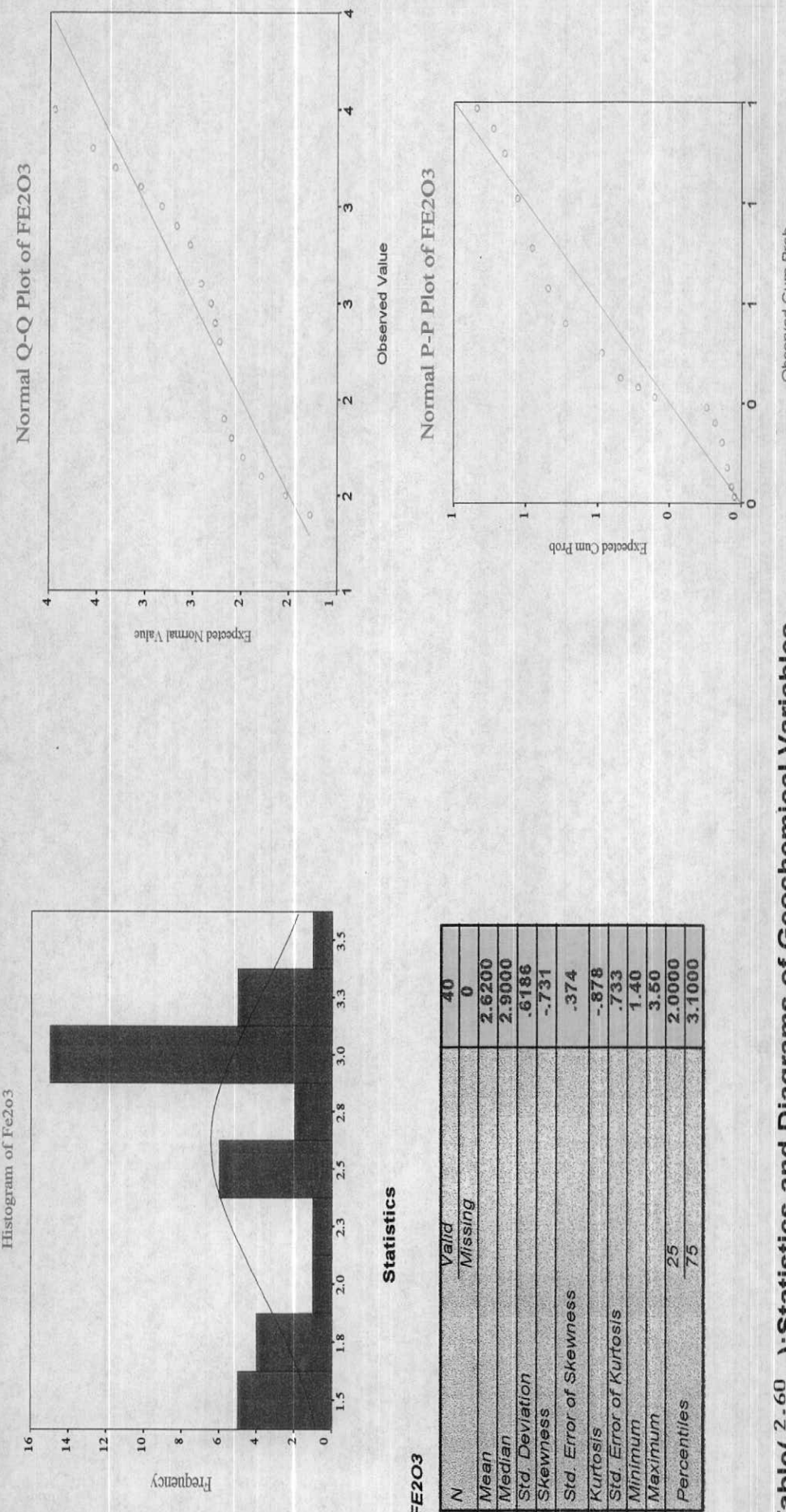
8.9

8.2

8.2

8.9

8.9



Table(2-60): Statistics and Diagrams of Geochemical Variables

Symbol Map of Fe2o3

(Bagh Sangi Area)



Drianae

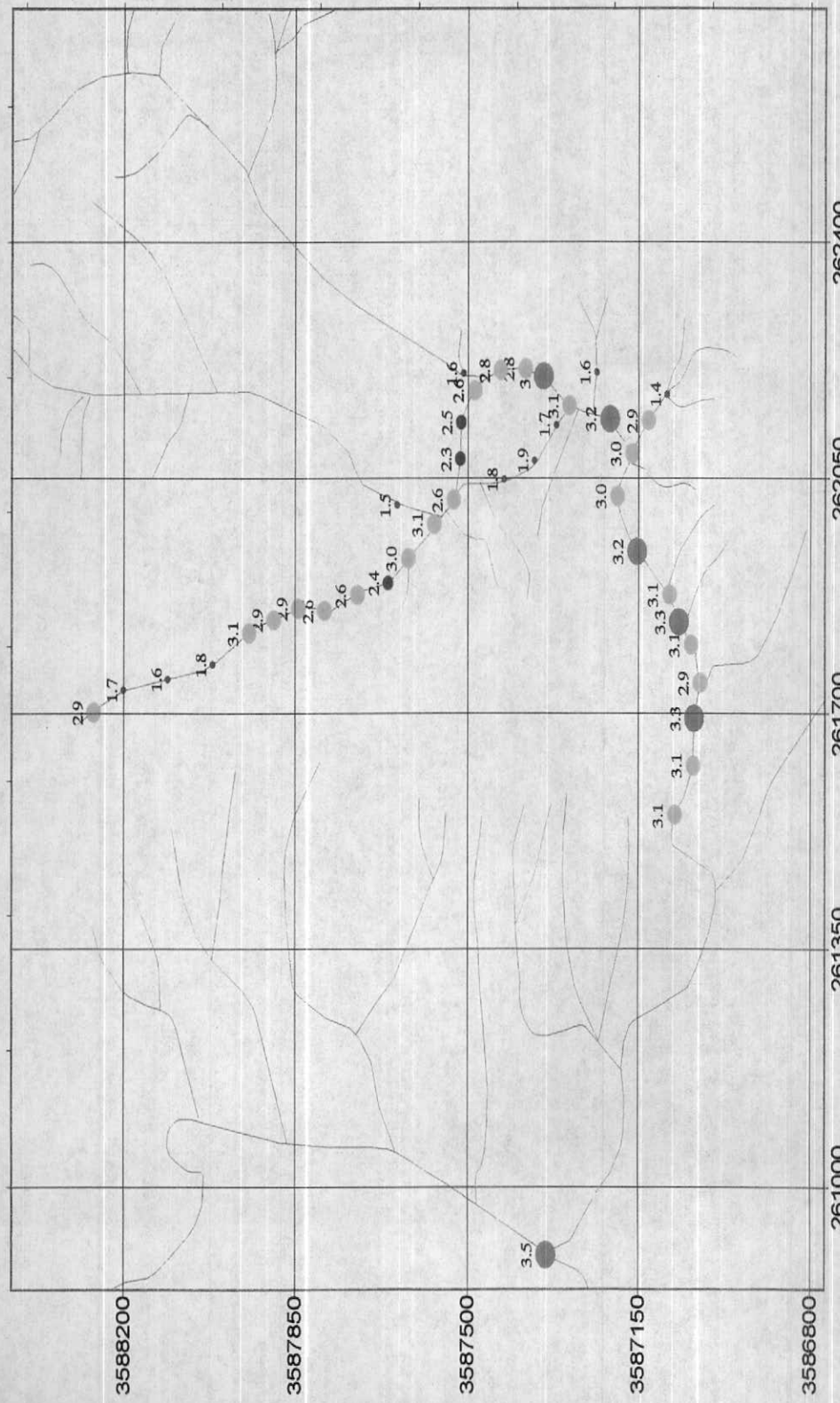
Stream Sample

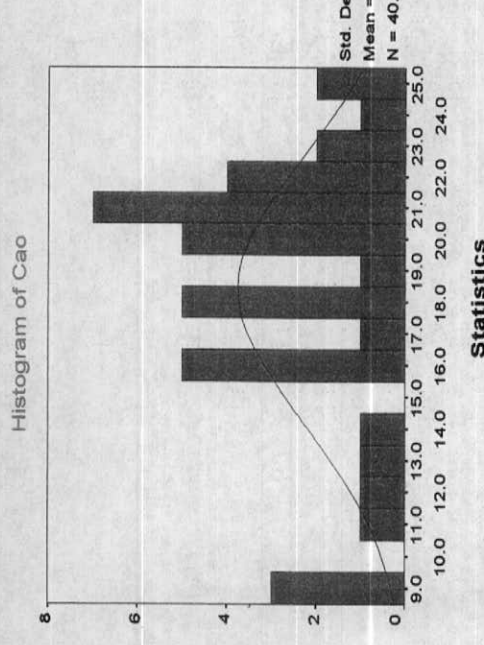
N



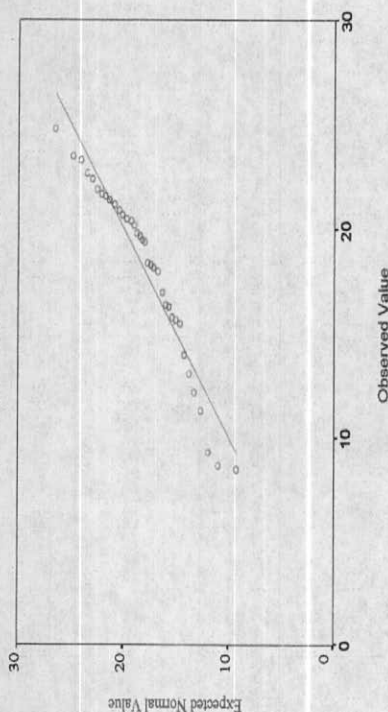
Scale 1:10,000

Map No. 2 - 61





Normal Q-Q Plot of CAO



Normal P-P Plot of CAO

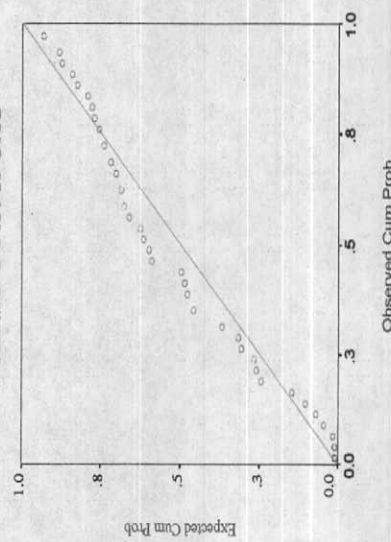
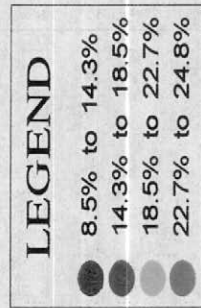


Table 2.62: Statistics and Diagrams of Geochemical Variables.

Symbol Map of Cao

(Bagh Sangi Area)



Drianaage

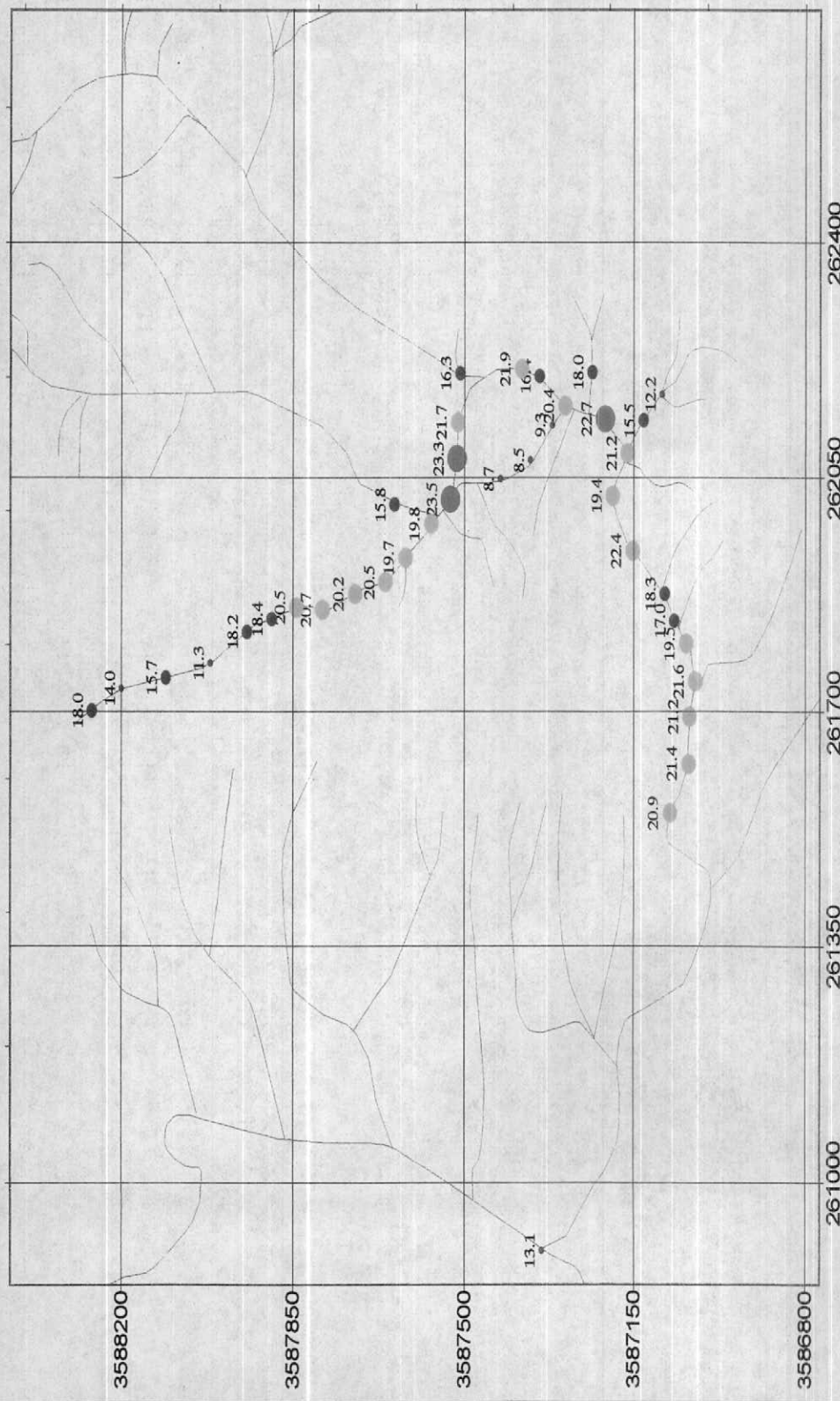
Stream Sample

N

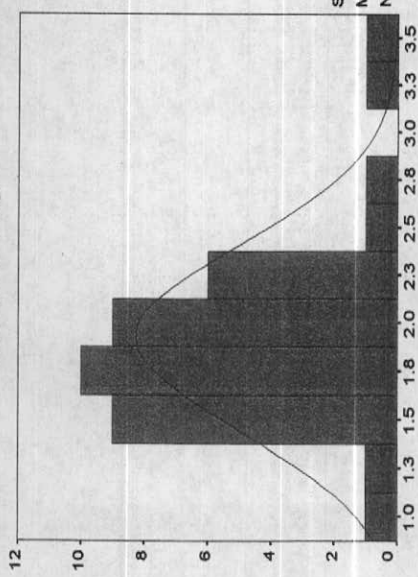


Scale 1:10,000

Map No. 2 - 63



Histogram of Mgo

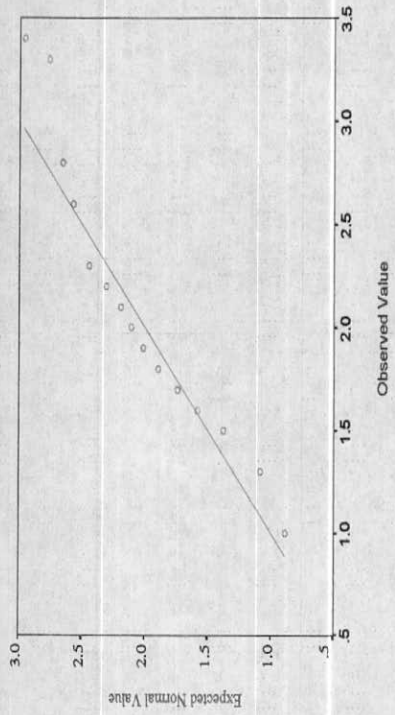


Std. Dev = .48
Mean = 1.9
N = 40.00

Statistics

N	Valid	40
	Missing	0
Mean		1.9250
Median		1.8000
Std. Deviation		.4819
Skewness		1.290
Std. Error of Skewness		.374
Kurtosis		2.475
Std. Error of Kurtosis		.733
Minimum		1.00
Maximum		3.40
Percentiles		1.6000
	25	1.8000
	50	2.1750
	75	

Normal Q-Q Plot of MGO



Normal P-P Plot of MGO

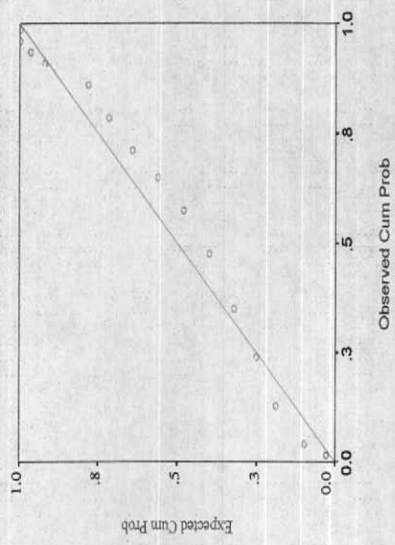


Table 2.64: Statistics and Diagrams of Geochemical Variables.

Symbol Map of Mgo

(Bagh Sangi Area)

LEGEND

- 1.0% to 2.0%
- 2.0% to 2.5%
- 2.5% to 3.0%
- 3.0% to 3.4%

Drainage

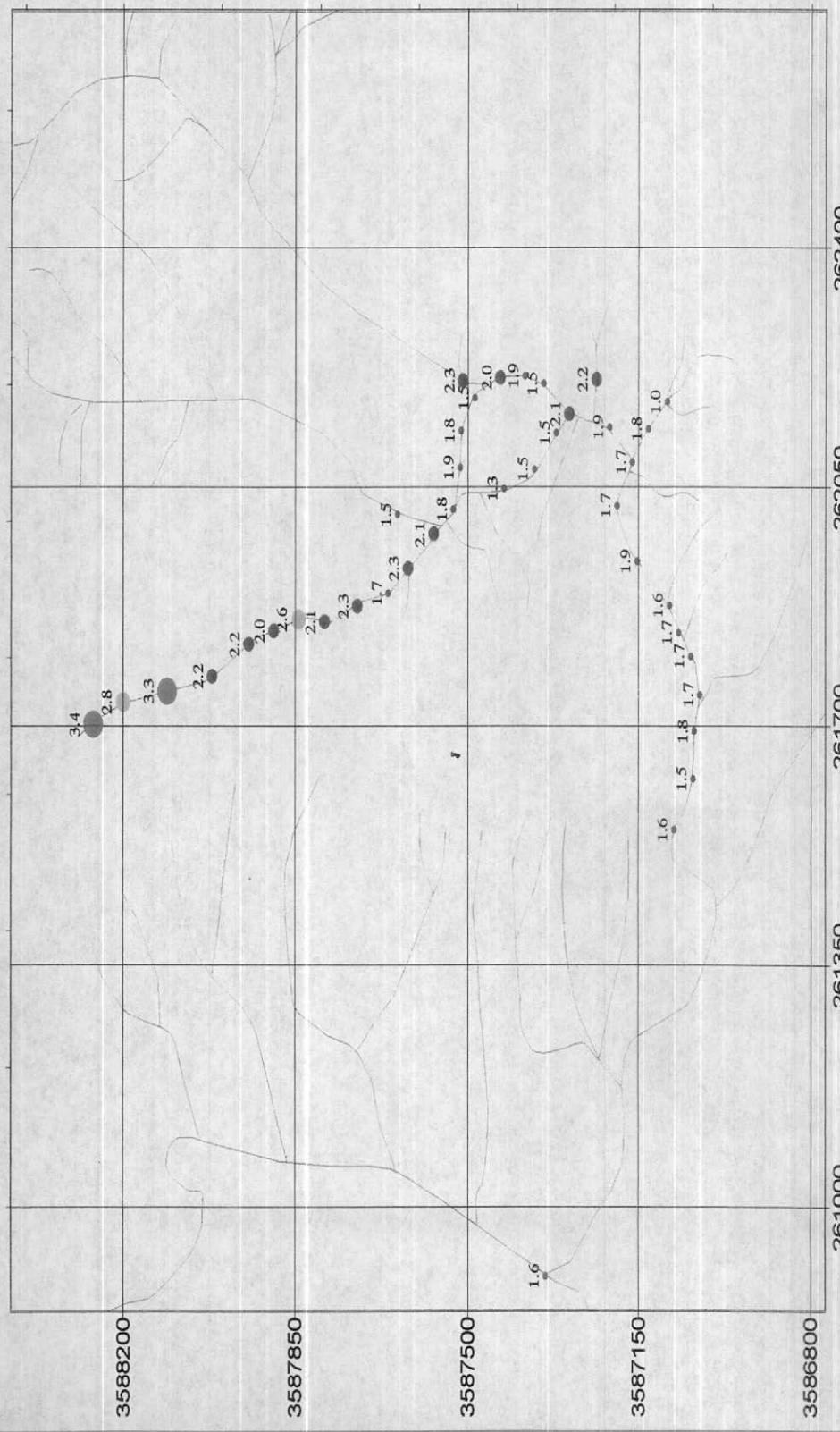
Stream Sample

N

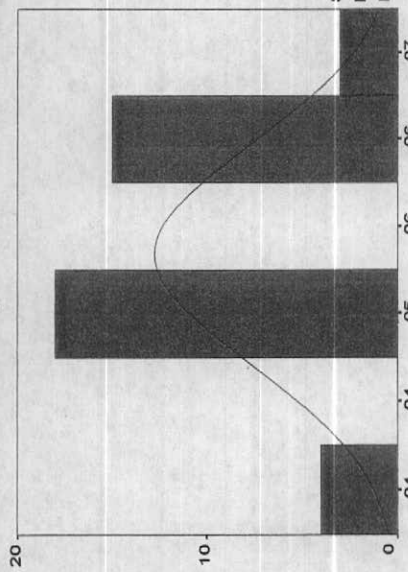


Scale 1:10,000

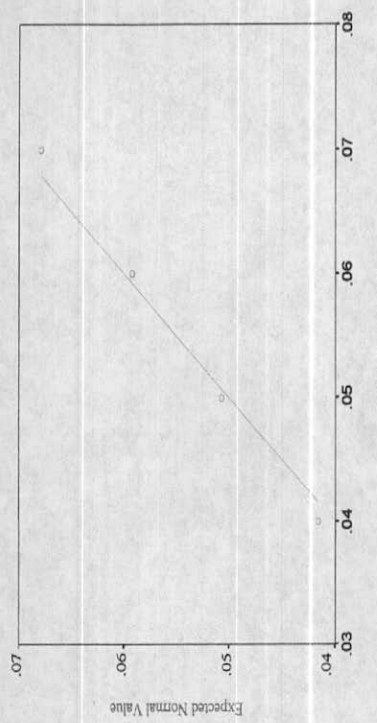
Map No. 2 - 65



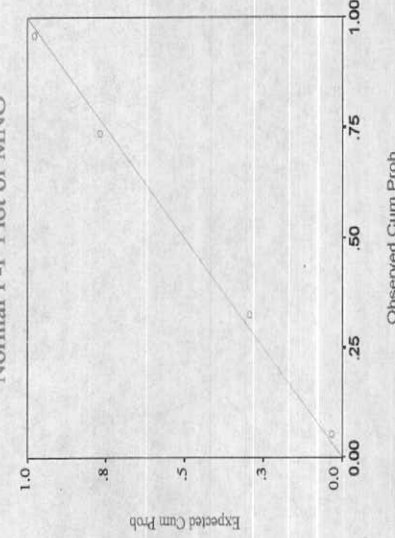
Histogram of MnO



Normal Q-Q Plot of MnO

**Statistics**

Normal P-P Plot of MnO



N	40
Valid	0
Missing	5.425E-02
Mean	5.000E-02
Median	7.808E-03
Std. Deviation	.092
Skewness	.374
Std. Error of Skewness	.253
Kurtosis	-.733
Std. Error of Kurtosis	.04
Minimum	.07
Maximum	5.000E-02
Percentiles	5.000E-02
25	6.000E-02
50	7.5

Table 2-66: Statistics and Diagrams of Geochemical Variables

Symbol Map of MnO

(Bagh Sangi Area)



Drianae

Stream Sample

N



Scale 1:10,000

Map No. 2 - 67

262400

262050

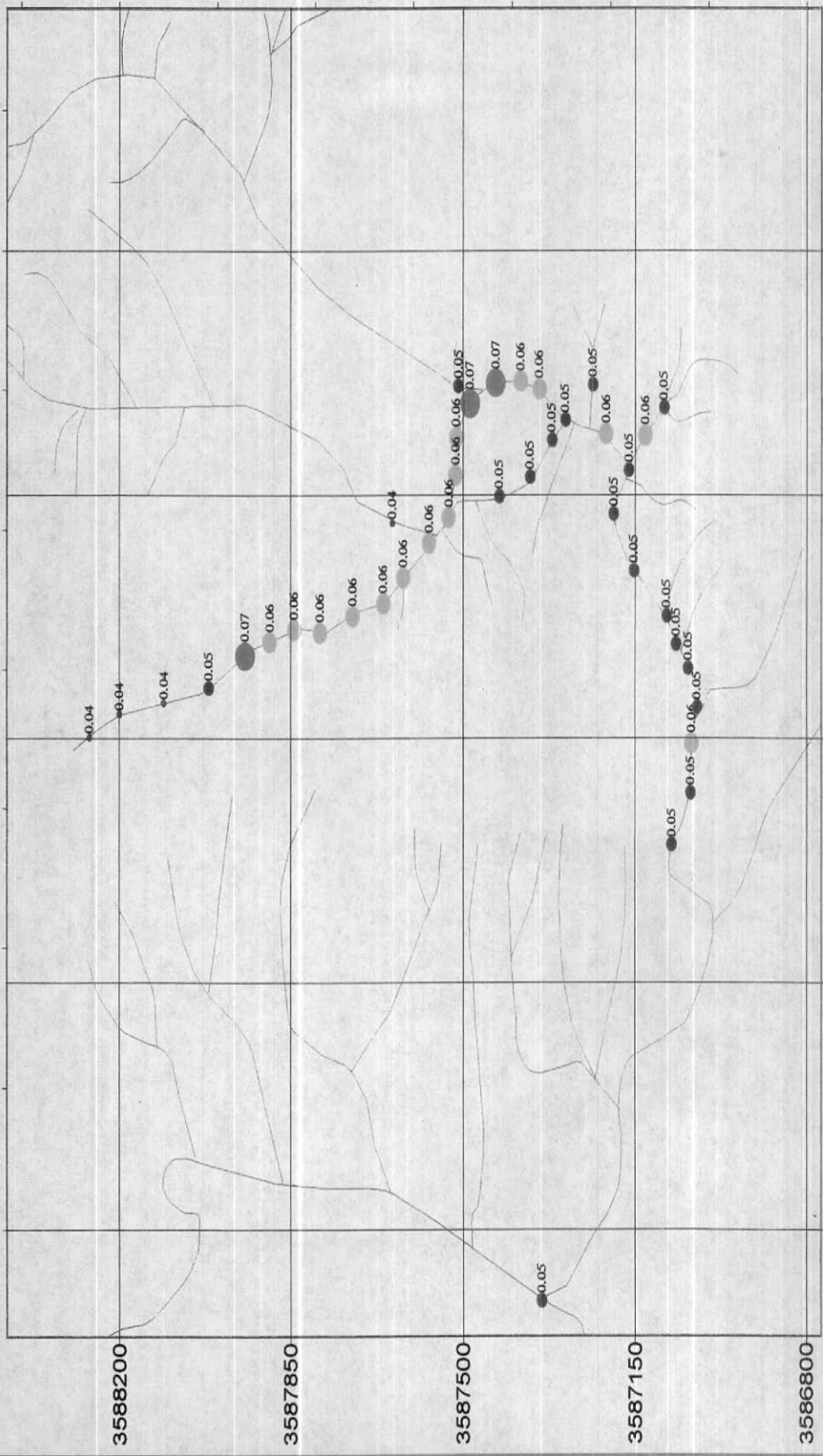
261700

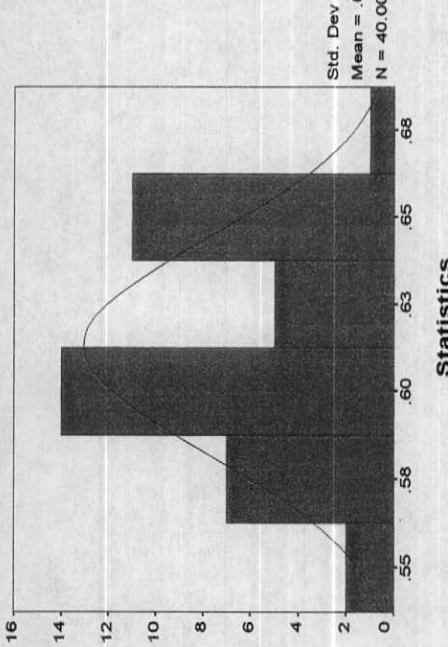
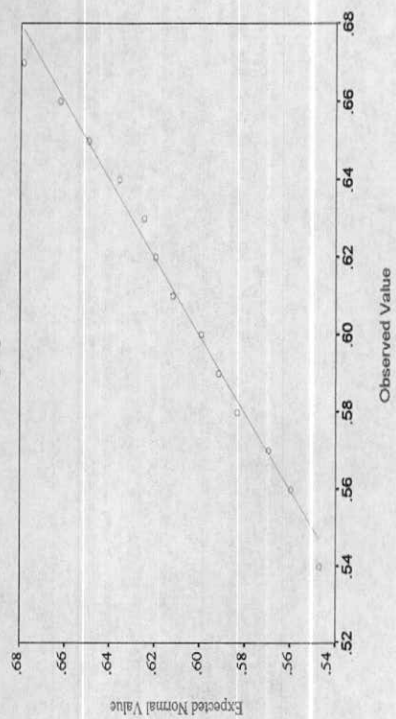
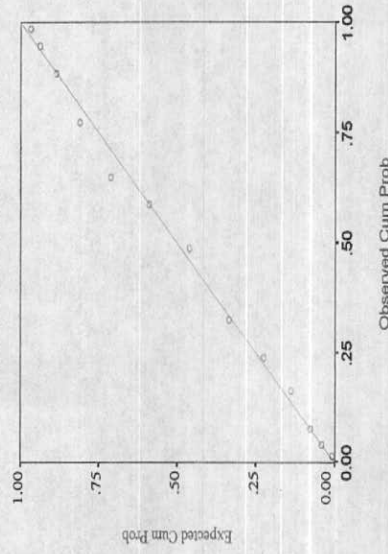
261350

261000

3586800

(Dagn Sangi Area)



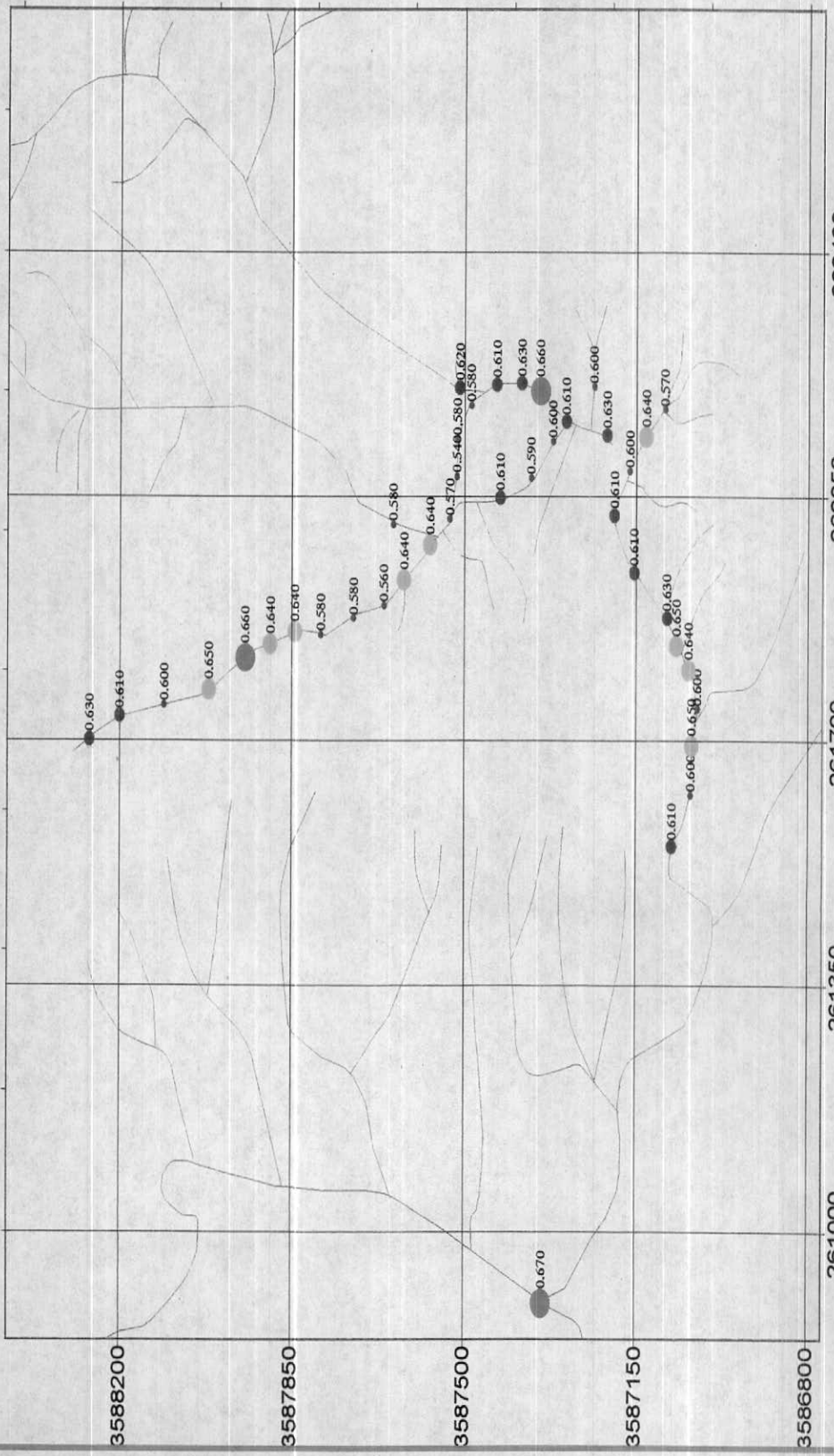
Histogram of TiO_2 Normal Q-Q Plot of TiO_2 Normal P-P Plot of TiO_2 

N	40
Mean	0
Median	.6130
Std. Deviation	.6100
Skewness	3.048E-02
Std. Error of Skewness	-209
Kurtosis	-374
Std. Error of Kurtosis	-510
Minimum	.733
Maximum	.54
Percentiles	.67
25	.5925
50	.6100
75	.6400

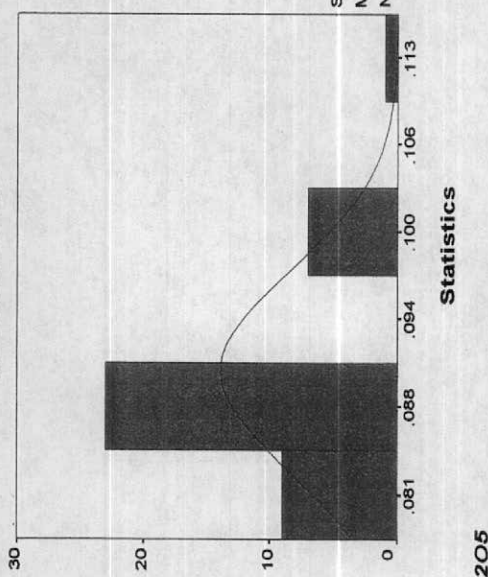
Table 2.6 & Statistics and Diagrams of Geochemical Variables.

Symbol Map of *TiO₂*

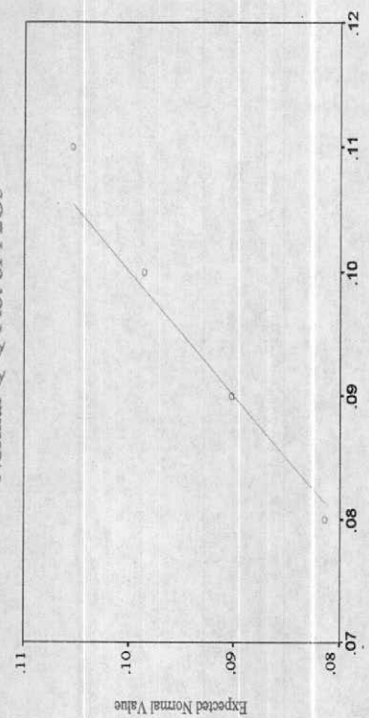
(*Bagh Sangi Area*)



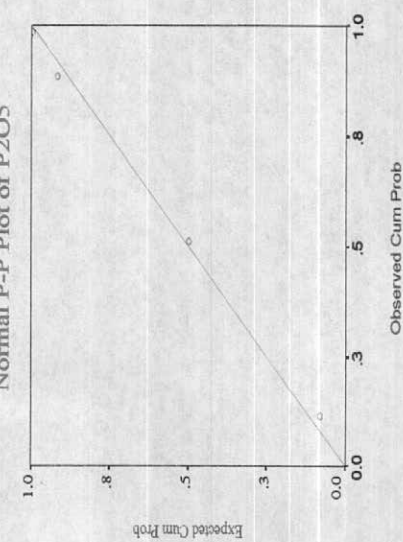
Histogram of P2O5



Normal Q-Q Plot of P2O5



Normal P-P Plot of P2O5



<i>P2O5</i>	Valid Missing	40 0
<i>N</i>		
<i>Mean</i>		9.000E-02
<i>Median</i>		9.000E-02
<i>Std. Deviation</i>		7.161E-03
<i>Skewness</i>		.441
<i>Std. Error of Skewness</i>		.374
<i>Kurtosis</i>		.394
<i>Std. Error of Kurtosis</i>		.733
<i>Minimum</i>		.08
<i>Maximum</i>		.11
<i>Percentiles</i>		9.000E-02 9.000E-02 9.000E-02
		75 50 25

Table 2.70: Statistics and Diagrams of Geochemical Variables

Symbol Map of P205

(*Bagh Sangi Area*)



Driage

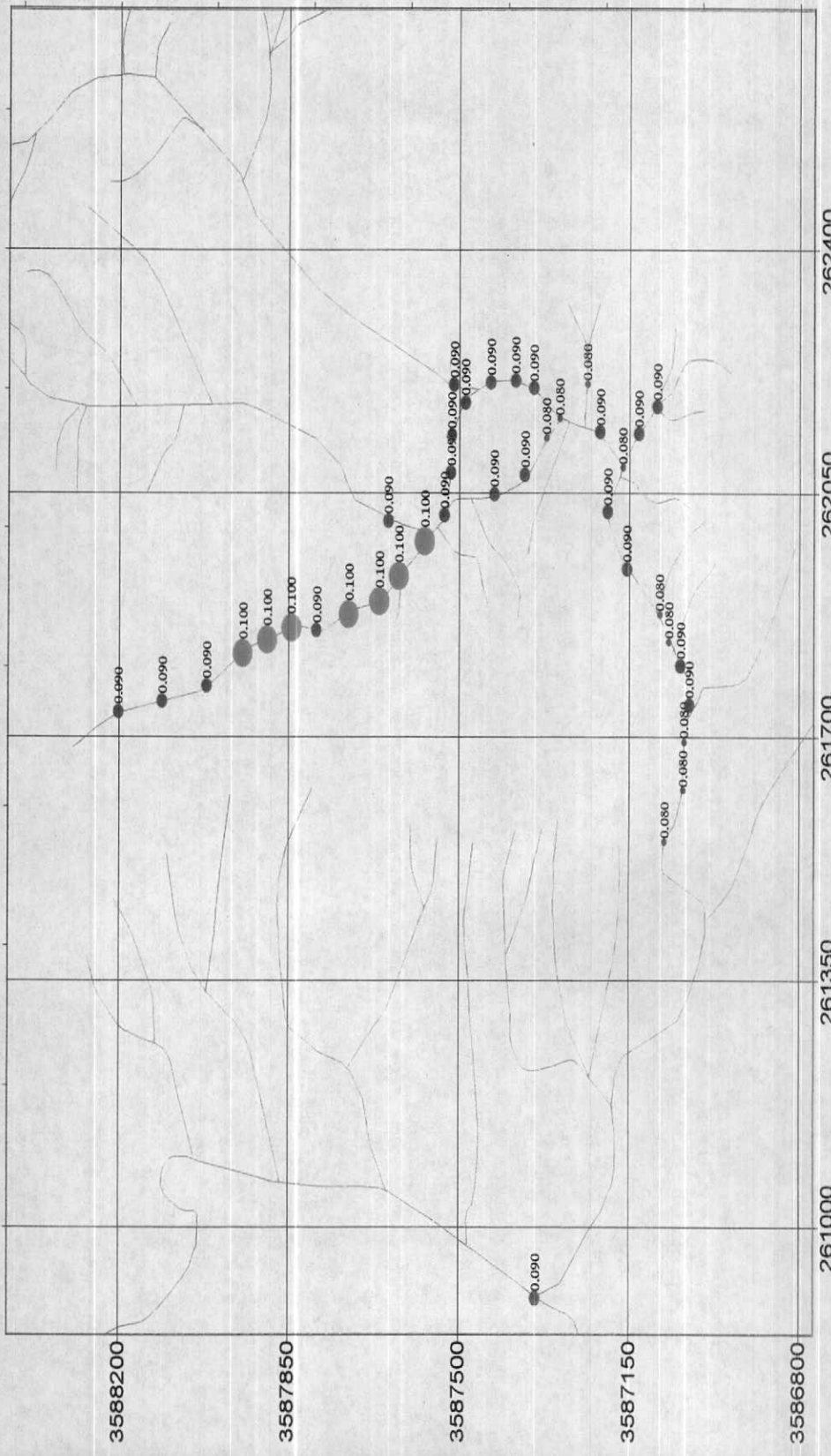
Stream Sample

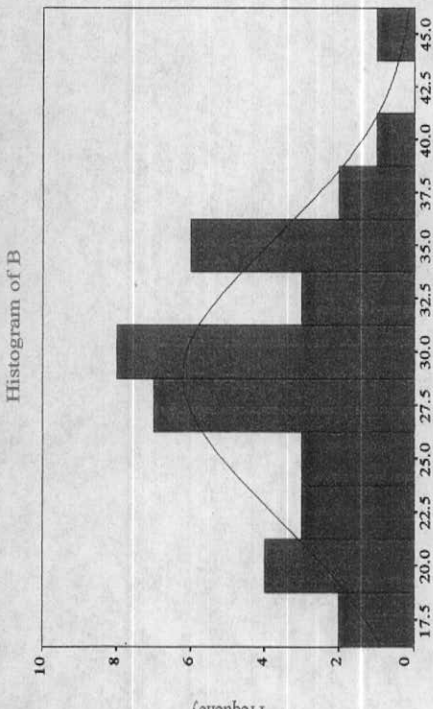
N



Scale 1:10,000

Map No. 2 - 71

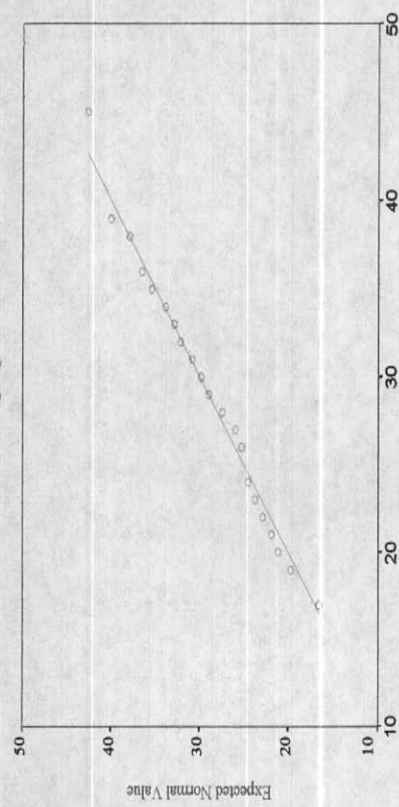




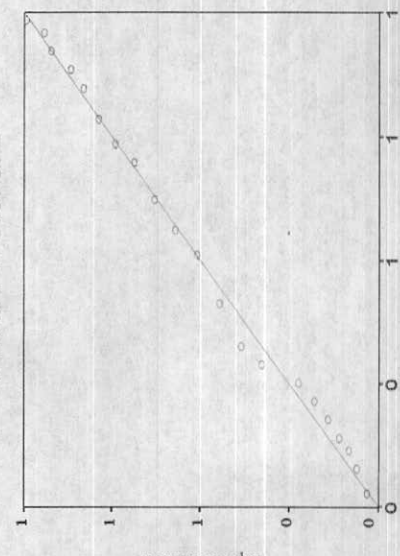
Statistics

N	Valid	40
	Missing	0
Mean	28.850	
Median	29.000	
Std. Deviation	6.411	
Skewness	.070	
Std. Error of Skewness	.374	
Kurtosis	-1.134	
Std. Error of Kurtosis	.733	
Minimum	17.0	
Maximum	45.0	
Percentiles	25 33.750 75 33.750	

Normal Q-Q Plot of B



Normal P-P Plot of B



Table(2.72): Statistics and Diagrams of Geochemical Variables

Observed Cum Prob

Symbol Map of B

(Bagh Sangi Area)

LEGEND

- 17.0 ppm to 28.0 ppm
- 28.0 ppm to 34.0 ppm
- 34.0 ppm to 40.0 ppm
- 40.0 ppm to 45.0 ppm

Drianage

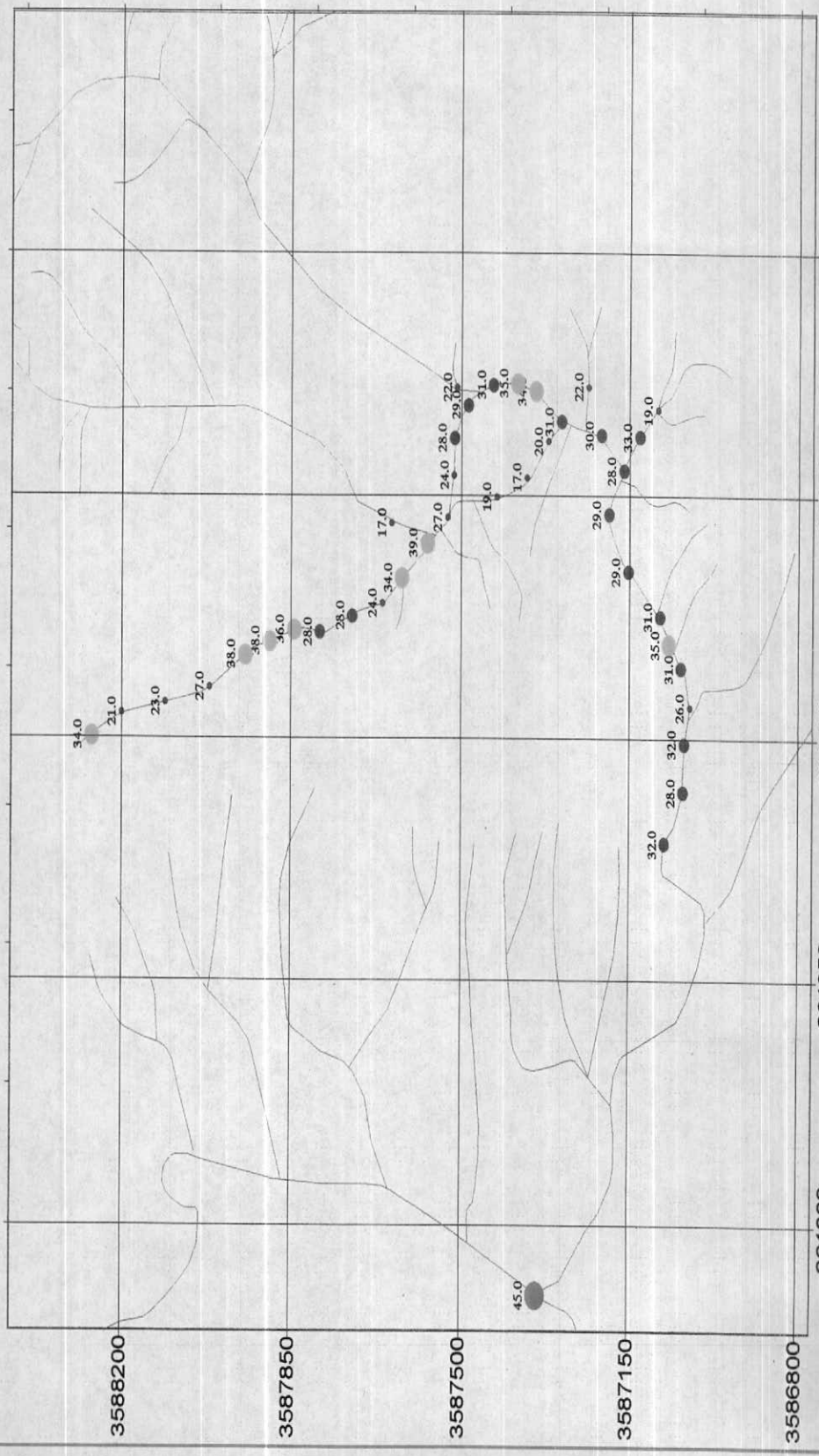
Stream Sample

N

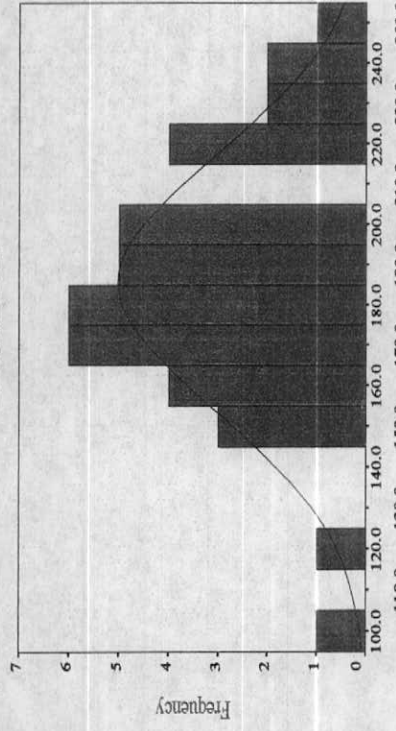


Scale 1:10,000

Map No. 2 - 73



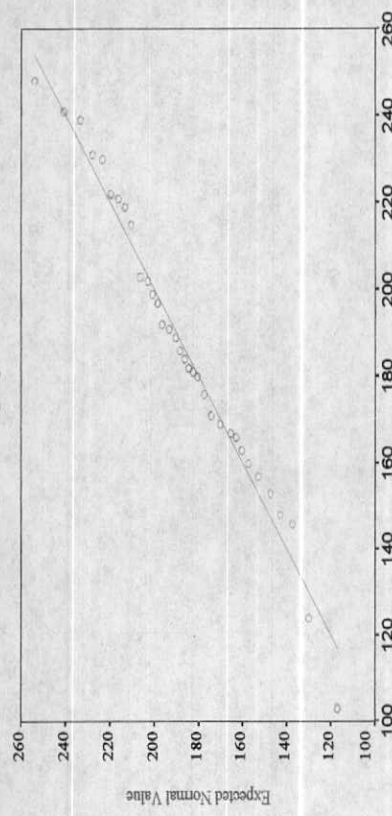
Histogram of Ba



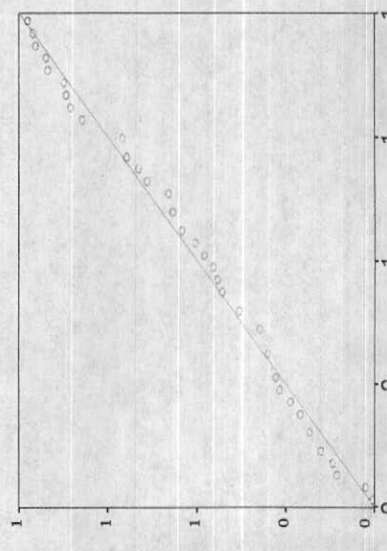
Statistics

N	Valid	40
	Missing	0
Mean		185.600
Median		183.000
Std. Deviation		31.698
Skewness		-104
Std. Error of Skewness		.374
Kurtosis		.178
Std. Error of Kurtosis		.733
Minimum		103.0
Maximum		248.0
Percentiles		166.250
	75	203.000

Normal Q-Q Plot of BA



Normal P-P Plot of BA



Table(2.74): Statistics and Diagrams of Geochemical Variables

Observed Cum Prob

Symbol Map of Ba

(*Bagh Sangi Area*)

LEGEND

- 103.0ppm to 184.0ppm
184.0ppm to 214.0ppm
214.0ppm to 244.0ppm
244.0ppm to 248.1ppm

Drinage

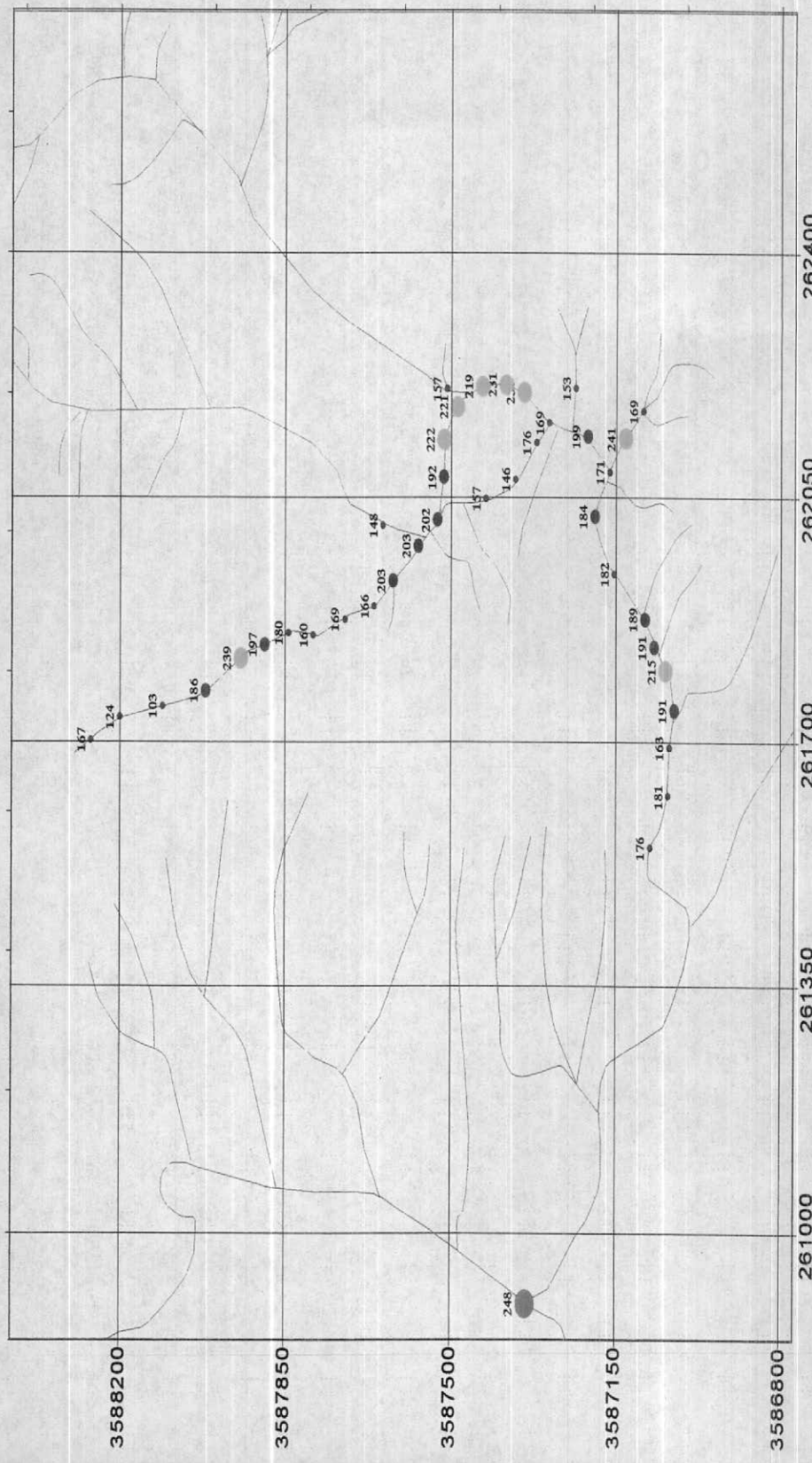


Stream Sample

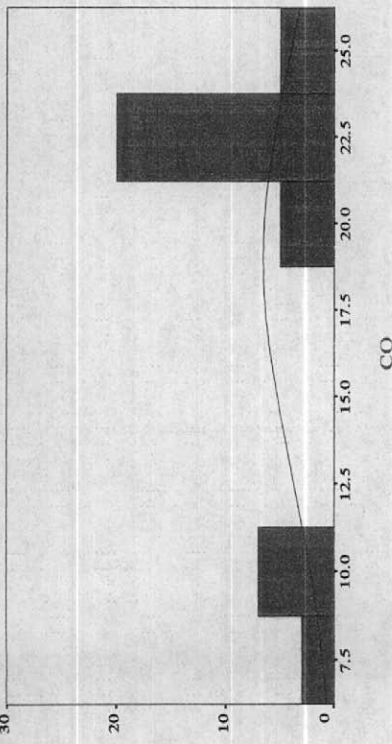


Scale 1:10,000

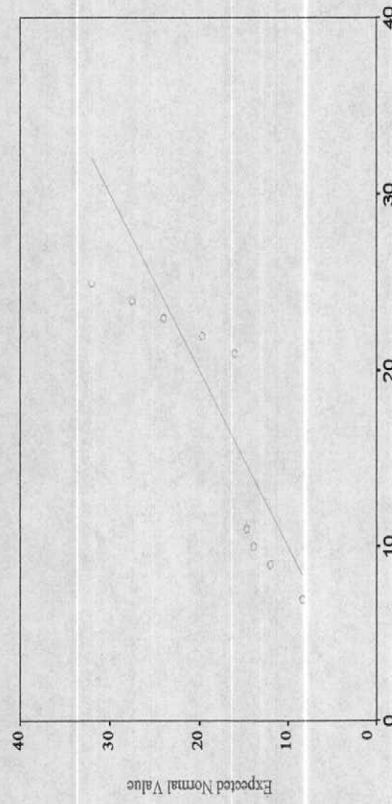
Map No. 2-75



Histogram of CO



Normal Q-Q Plot of CO



Statistics

CO

	Valid Missing	40
<i>N</i>	0	19.000
<i>Mean</i>		22.000
<i>Median</i>		6.068
<i>Std. Deviation</i>		-1.164
<i>Skewness</i>		-3.74
<i>Std. Error of Skewness</i>		-4.66
<i>Kurtosis</i>		.733
<i>Std. Error of Kurtosis</i>		7.0
<i>Minimum</i>		25.0
<i>Maximum</i>		13.500
<i>Percentiles</i>	25 75	23.000

Normal P-P Plot of CO



Table(2.76): Statistics and Diagrams of Geochemical Variables

Observed Cum Prob

Symbol Map of Co

(Bagh Sangi Area)

LEGEND

- 7.0ppm to 14.0ppm
- 14.0ppm to 20.0ppm
- 20.0ppm to 24.0ppm
- 24.0ppm to 25.0ppm

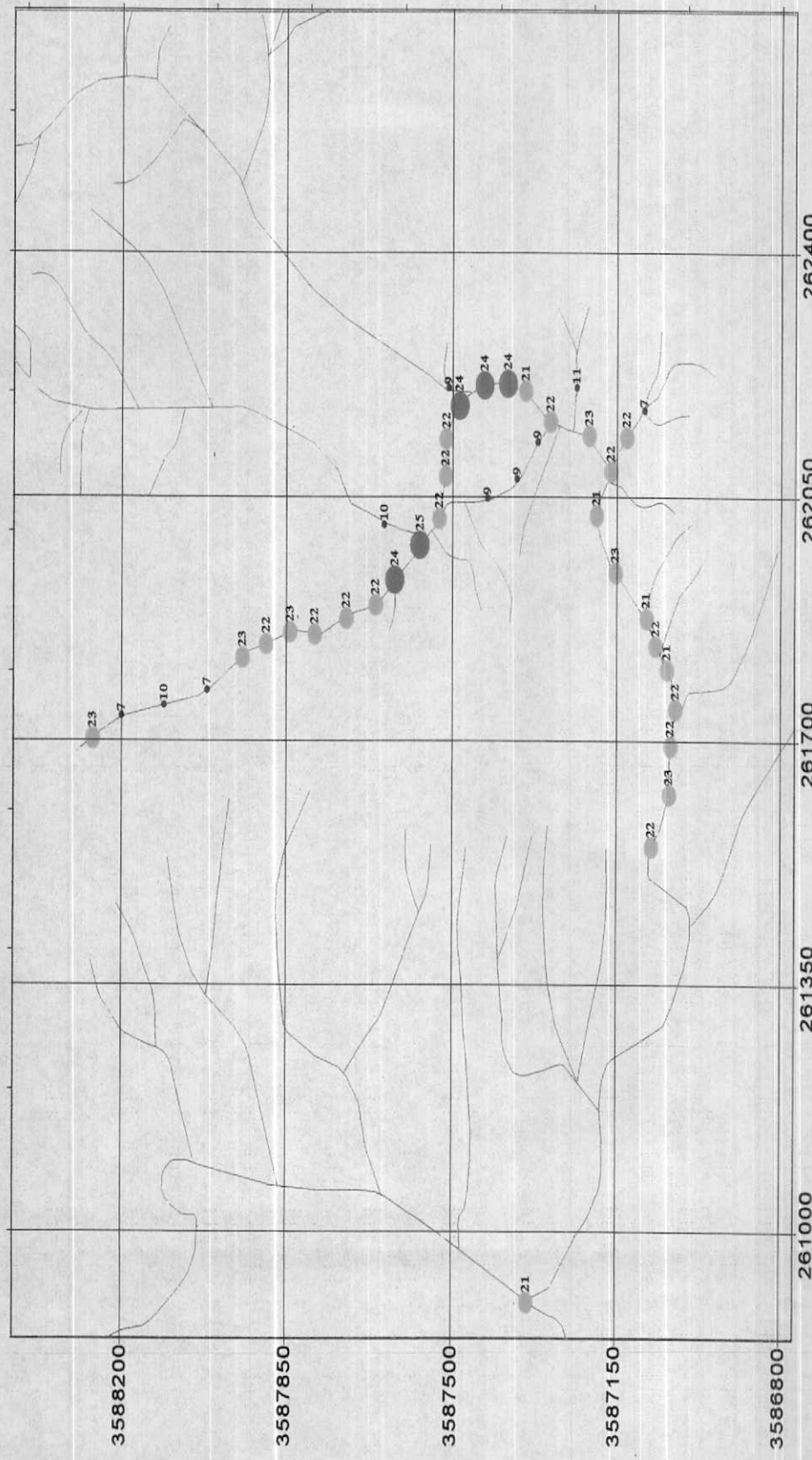
Drianaage

Stream Sample

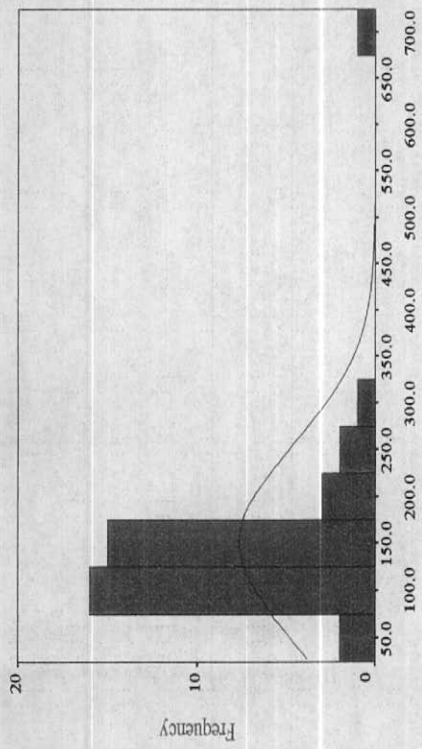
N



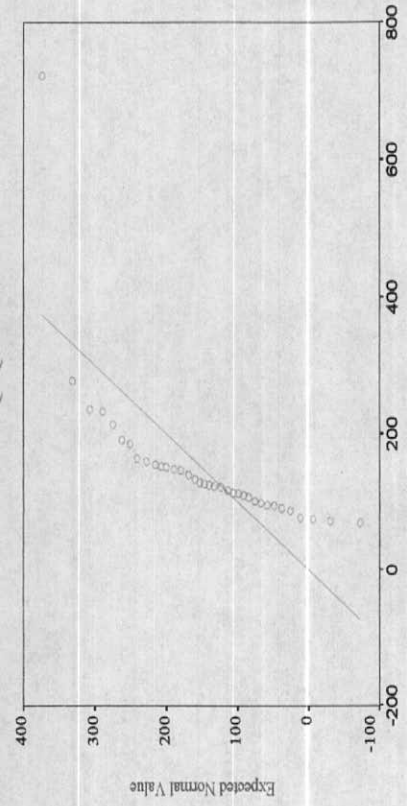
Scale 1:10,000
Map No. 2 - 77



Histogram of Cr



Normal Q-Q Plot of CR

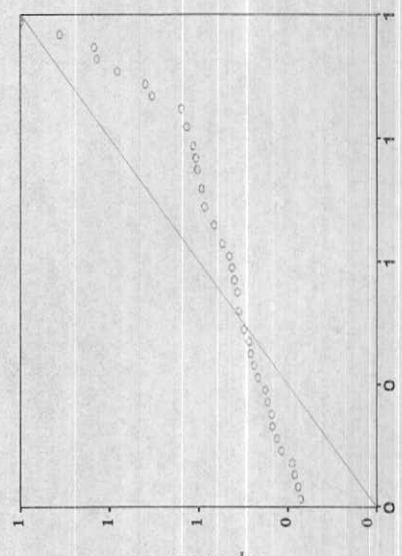


Statistics

CR

N	Valid	40
	Missing	0
Mean		150.875
Median		128.000
Std. Deviation		103.629
Skewness		4.523
Std. Error of Skewness		.374
Kurtosis		24.504
Std. Error of Kurtosis		.733
Minimum		69.0
Maximum		722.0
Percentiles		102.500 158.750

Normal P-P Plot of CR



Table(2.78):Statistics and Diagrams of Geochemical Variables

Symbol Map of Cr

(Bagh Sangi Area)

LEGEND

- 69 ppm to 137 ppm
- 137 ppm to 187 ppm
- 187 ppm to 237 ppm
- 237 ppm to 722 ppm

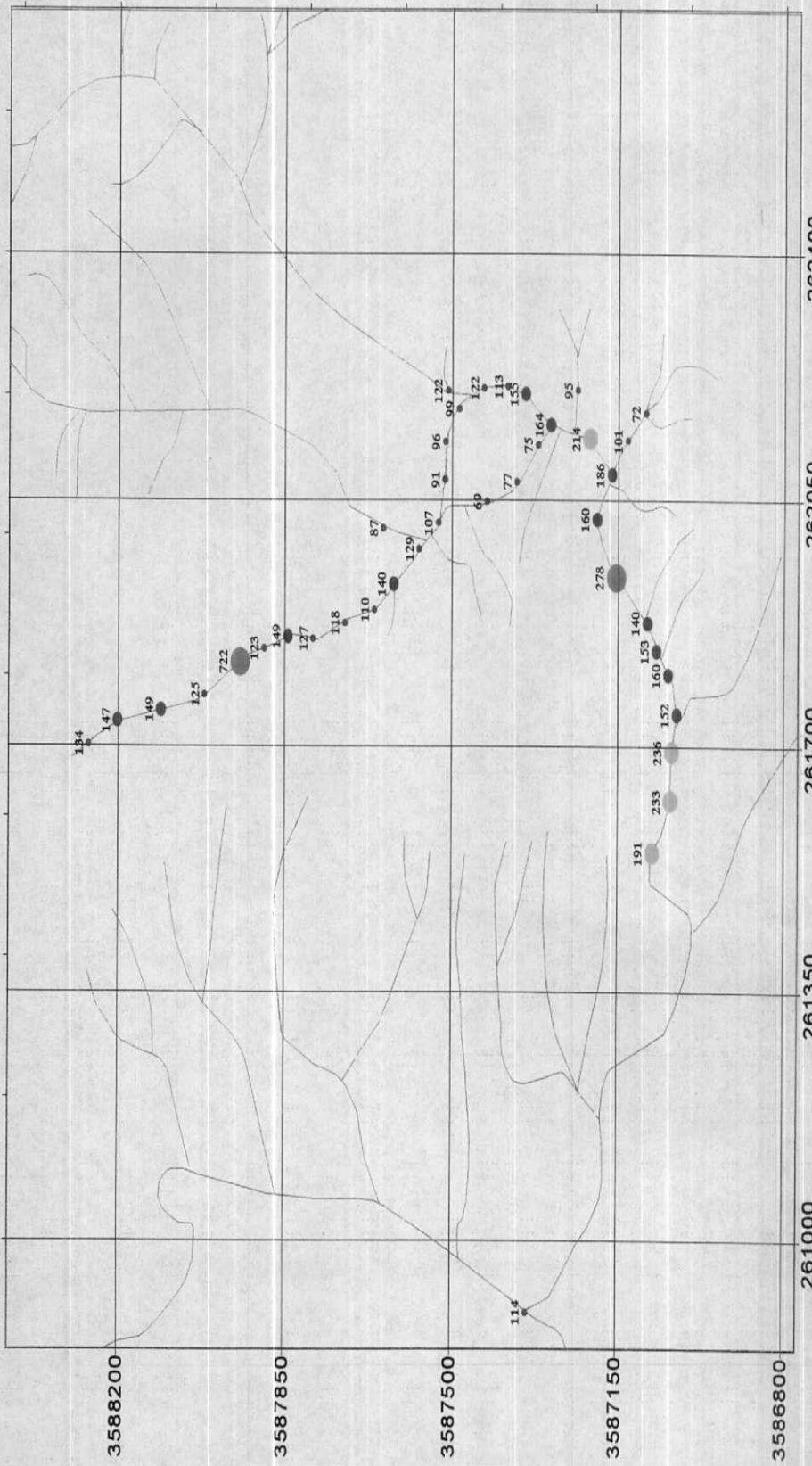
Drianae

Stream Sample

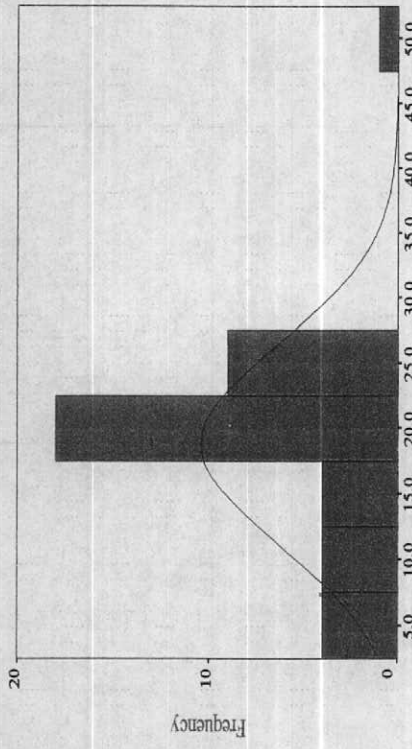
N



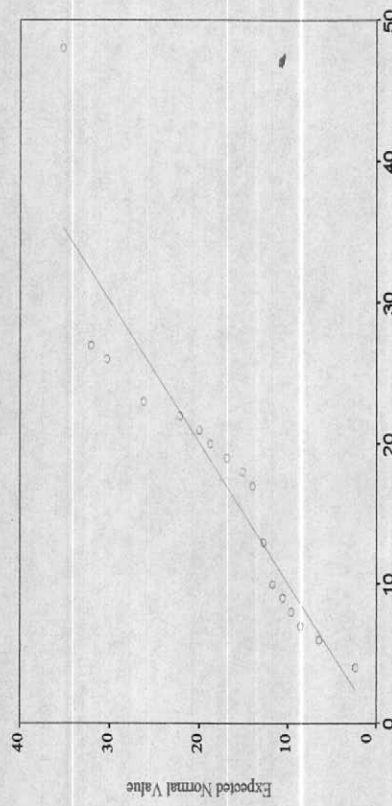
Scale 1:10,000
Map No. 2 - 79



Histogram of Cu



Normal Q-Q Plot of CU

**Statistics**

CU	N	Valid Missing	40 0
Mean	18.825		
Median	20.000		
Std. Deviation	7.632		
Skewness	.822		
Std. Error of Skewness	.374		
Kurtosis	4.624		
Std. Error of Kurtosis	.733		
Minimum	4.0		
Maximum	48.0		
Percentiles	25 75	17.000 22.750	

Normal P-P Plot of CU



Symbol Map of Cu

(Bagh Sangi Area)

LEGEND

- 6ppm to 19ppm
- 19ppm to 27ppm
- 27ppm to 35ppm
- 35ppm to 48ppm

Drianae

Stream Sample

N



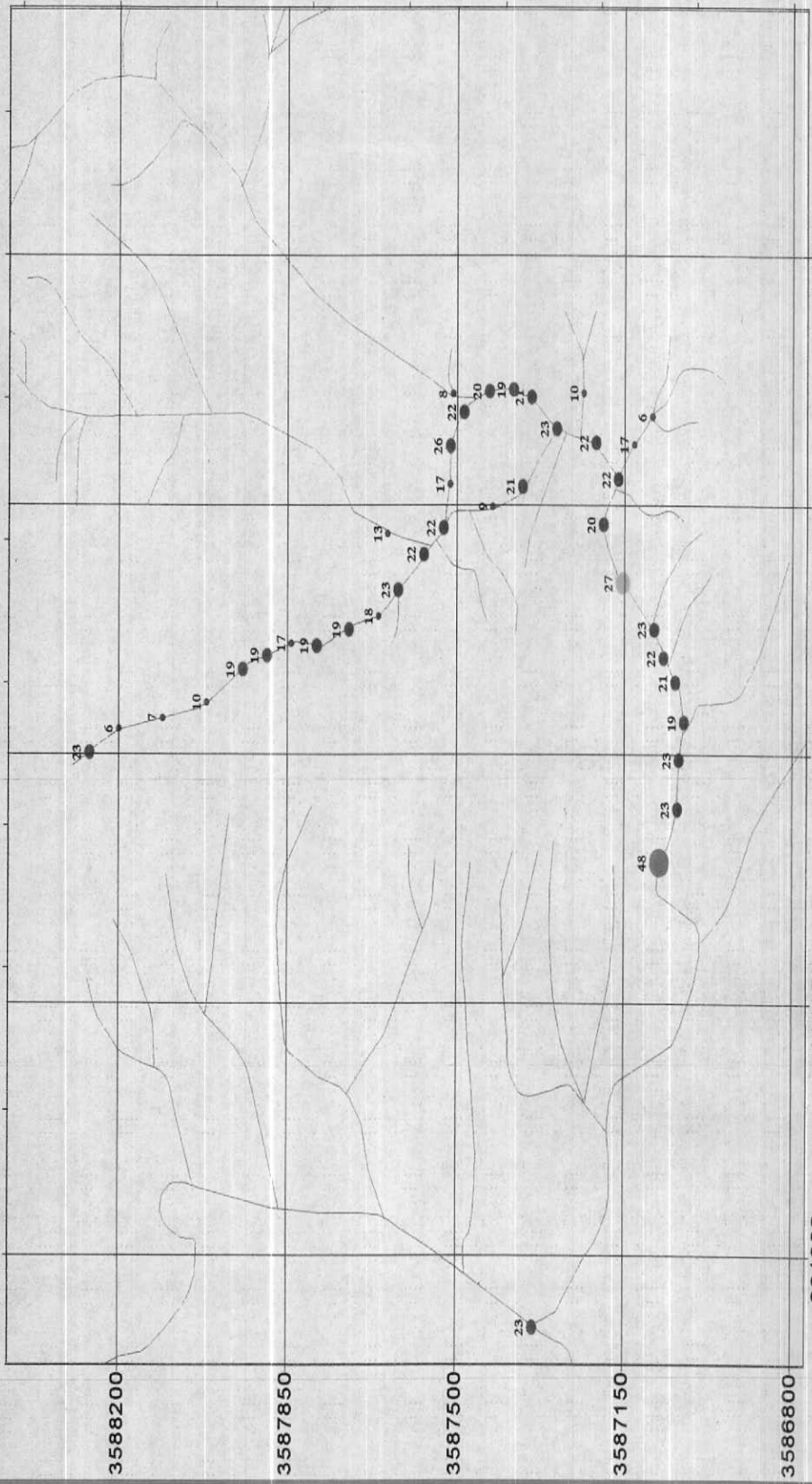
Scale 1:10,000

Map No. 2 - 81

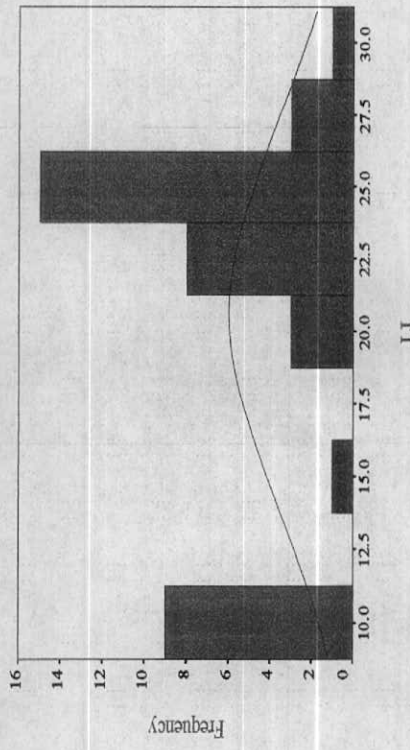
262050 261700 261350 3588200

261100 3587850

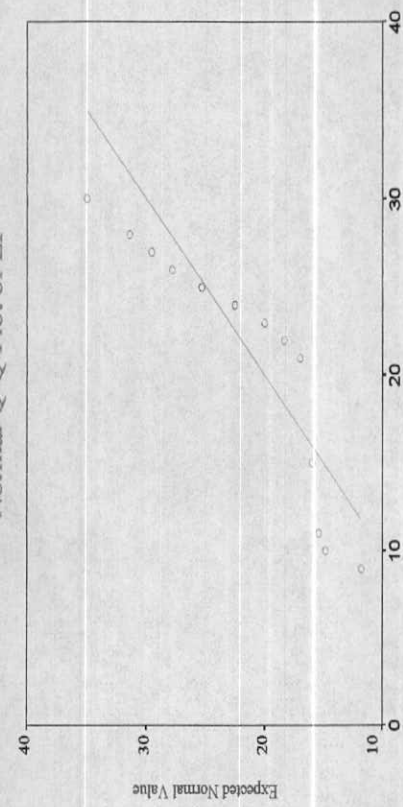
3587500 3587150 3586800



Histogram of Li



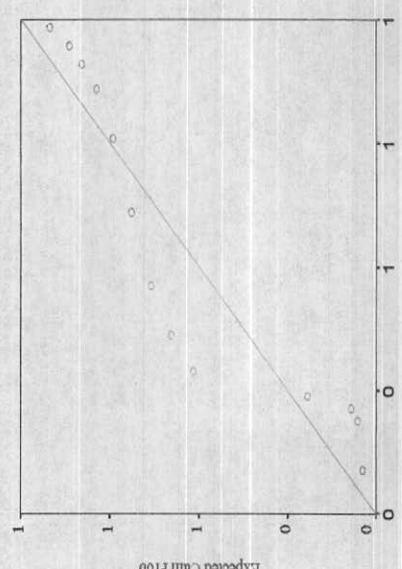
Normal Q-Q Plot of Li



Statistics

Li	Valid Missing	40 0
N	Mean	20.675
Median	23.000	
Std. Deviation	6.635	
Skewness	-0.962	
Std. Err. of Skewness	.374	
Kurtosis	-0.576	
Std. Err. of Kurtosis	.733	
Minimum	9.0	
Maximum	30.0	
Percentiles	16.500 25 75	25.000

Normal P-P Plot of Li



Table(2.82): Statistics and Diagrams of Geochemical Variables

Symbol Map of Li

(Bagh Sangi Area)

LEGEND

- 10ppm to 18ppm
- 18ppm to 23ppm
- 23ppm to 28ppm
- 28ppm to 30ppm

Drianae

Stream Sample

N

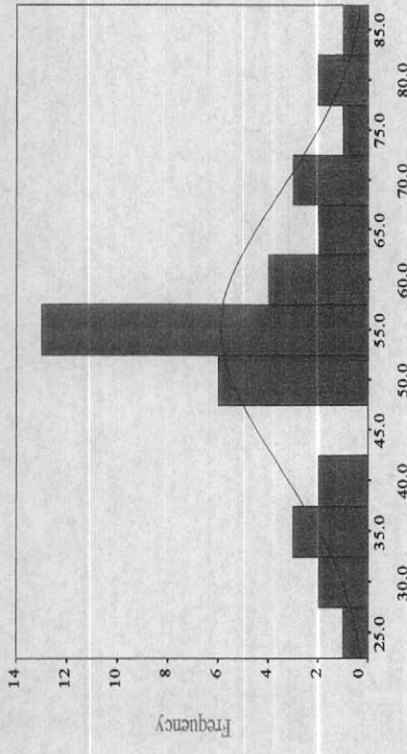


Scale 1:10,000

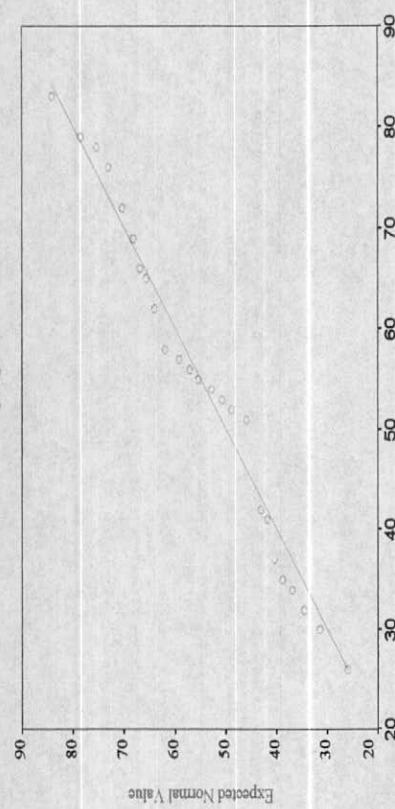
Map No. 2 - 83



Histogram of Ni



Normal Q-Q Plot of Ni

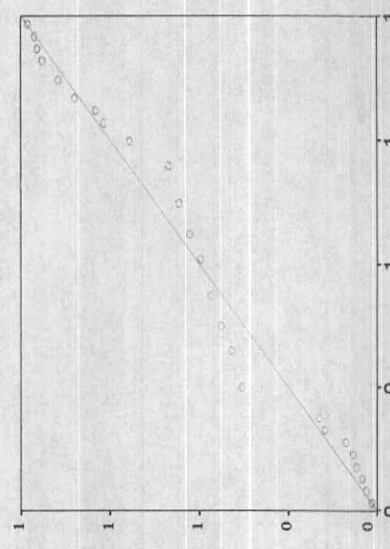


Statistics

N
14

	Valid	Missing
N	40	0
Mean	55.050	
Median	55.000	
Std. Deviation	13.470	
Skewness	-0.096	
Std. Error of Skewness	.374	
Kurtosis	-0.008	
Std. Error of Kurtosis	.733	
Minimum	26.0	
Maximum	83.0	
Percentiles	25 51.000 75 62.000	

Normal P-P Plot of Ni

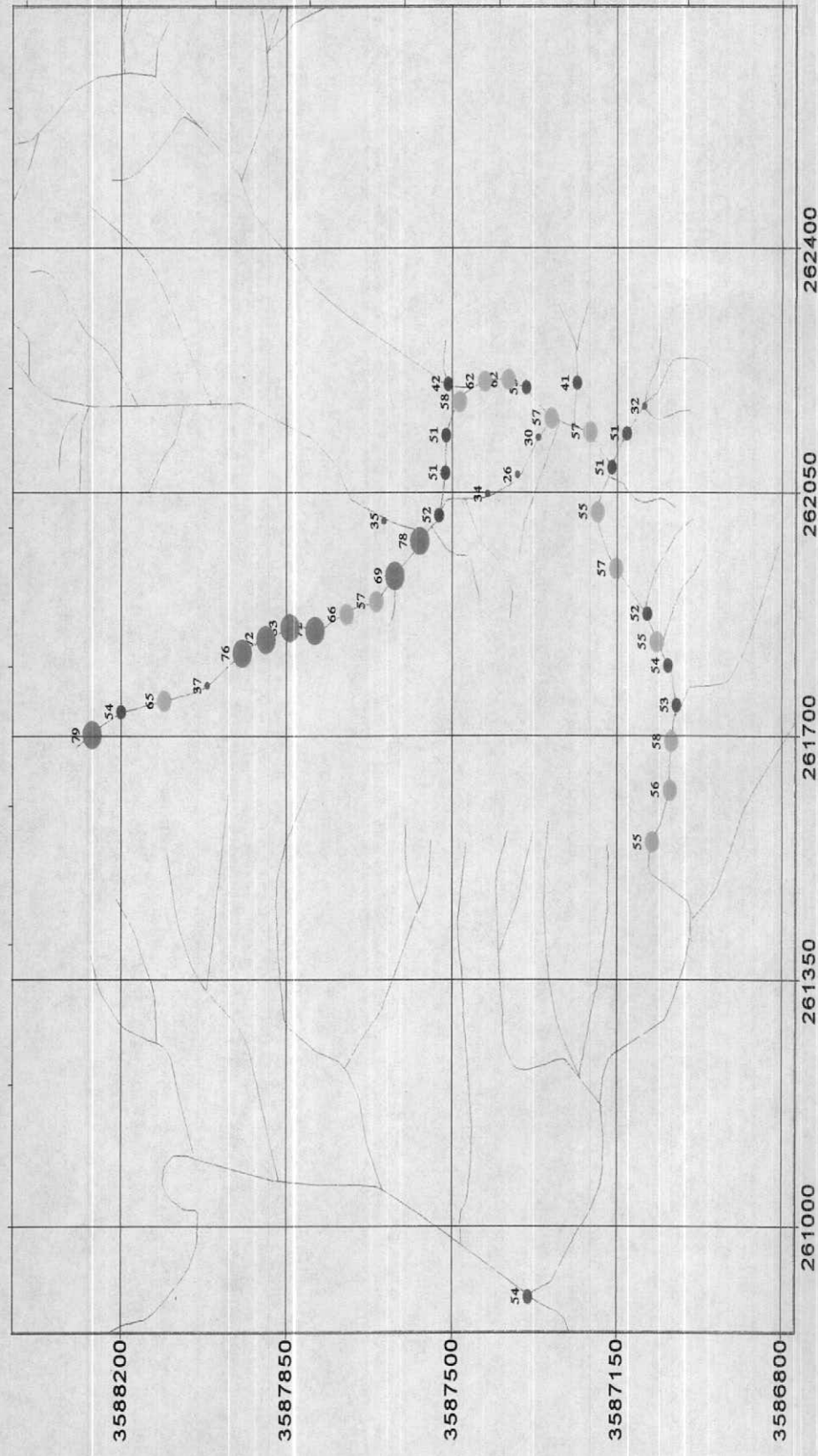


Observed Cum Prob

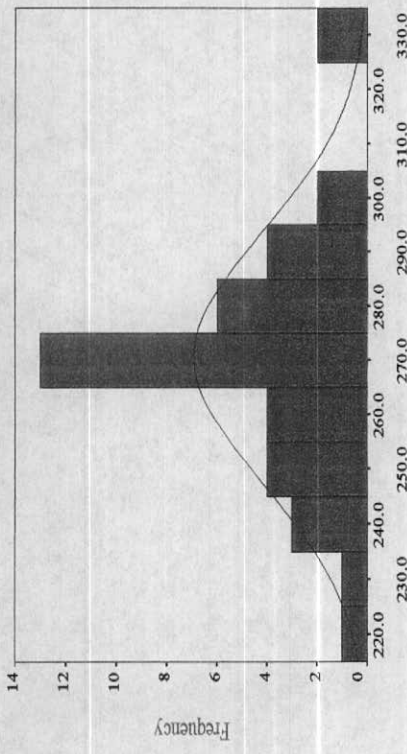
Table(2.84): Statistics and Diagrams of Geochemical Variables

Symbol Map of Ni

(*Bagh Sangi Area*)



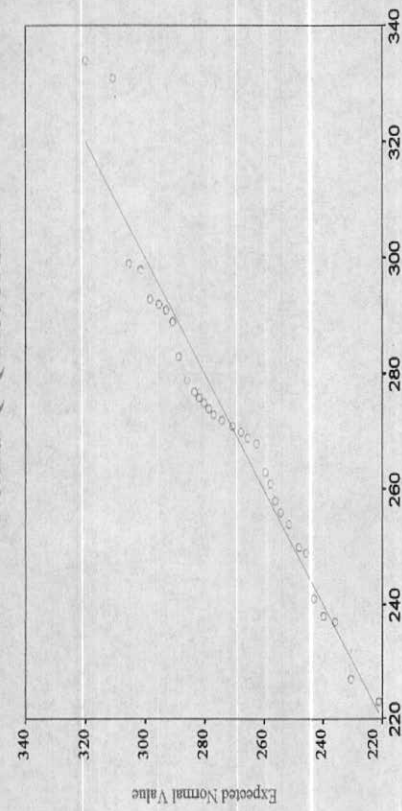
Histogram of Sr



Statistics

SR	Valid Missing	40
Mean		270.625
Median		271.000
Std. Deviation		22.966
Skewness		.519
Std. Error of Skewness		.374
Kurtosis		1.485
Std. Error of Kurtosis		.733
Minimum		223.0
Maximum		334.0
Percentiles		256.500
		279.000
		75

Normal Q-Q Plot of SR



Normal P-P Plot of SR



Table(2-86): Statistics and Diagrams of Geochemical Variables

Symbol Map of Sr

(Bagh Sangi Area)

LEGEND

- 223ppm to 271ppm
- 271ppm to 294ppm
- 294ppm to 317ppm
- 317ppm to 334ppm

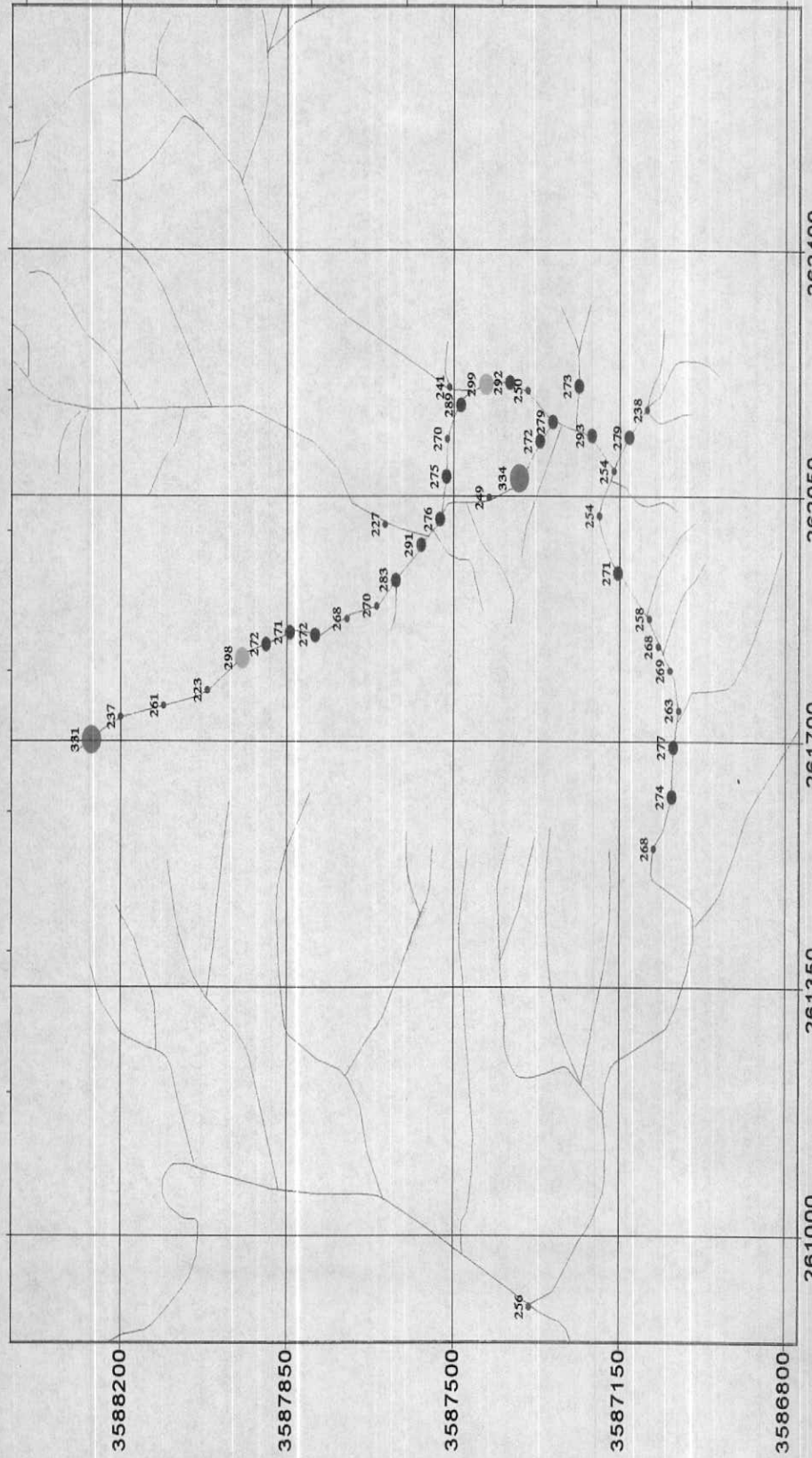
Drianaage

Stream Sample

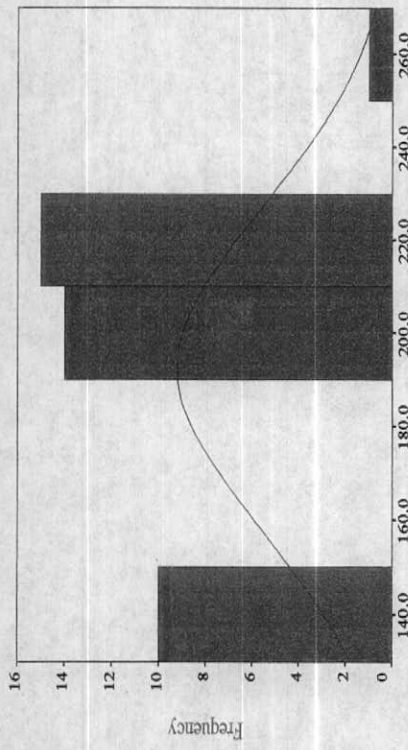
N



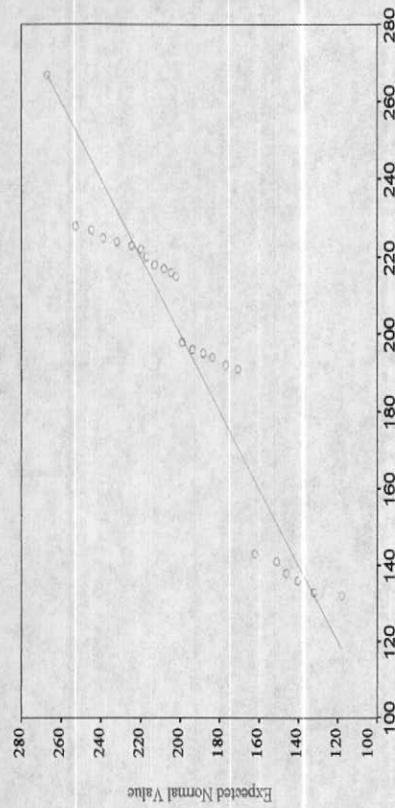
Scale 1:10,000
Map No. 2 - 87



Histogram of V

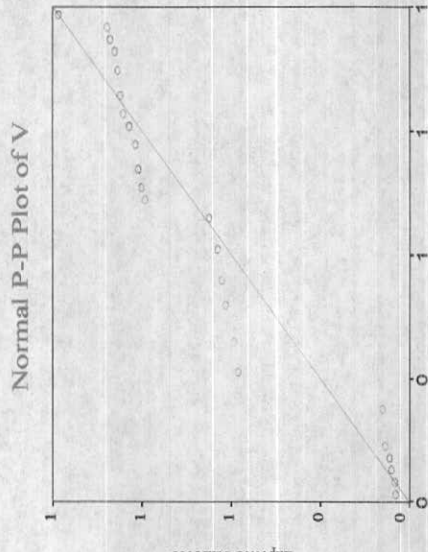


Normal Q-Q Plot of V



Statistics

V	Valid	40
	Missing	0
Mean		192.500
Median		196.000
Std. Deviation		34.519
Skewness		-4.79
Std. Error of Skewness		.374
Kurtosis		-6.32
Std. Error of Kurtosis		.733
Minimum		132.0
Maximum		267.0
Percentiles		155.000 219.500



Table(2 : Bg): Statistics and Diagrams of Geochemical Variables

Symbol Map of V

(*Bagh Sangi Area*)

LEGEND

- 132 ppm to 192 ppm
192 ppm to 227 ppm
227 ppm to 262 ppm
262 ppm to 267 ppm

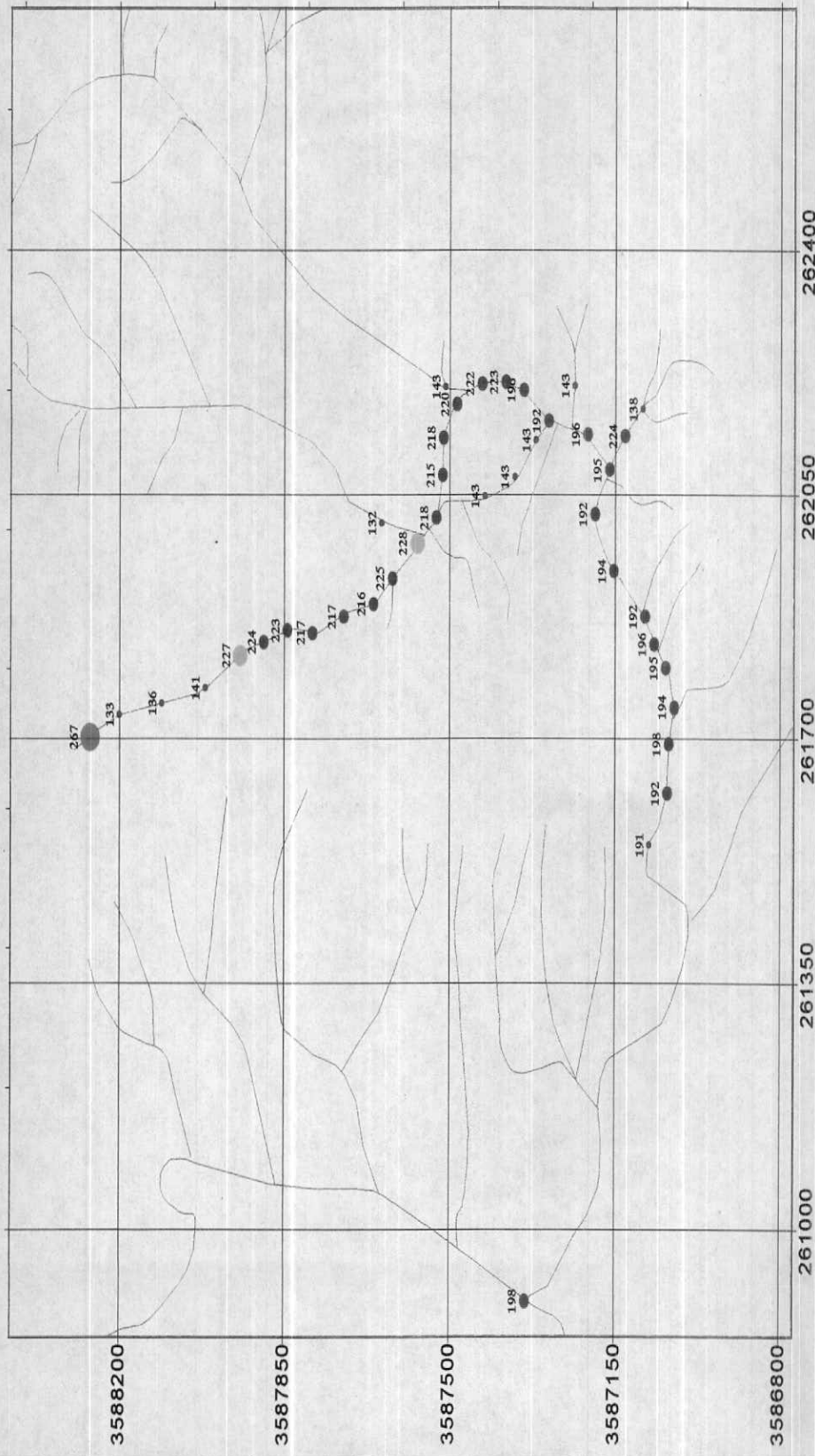
Drinage

Stream Sample

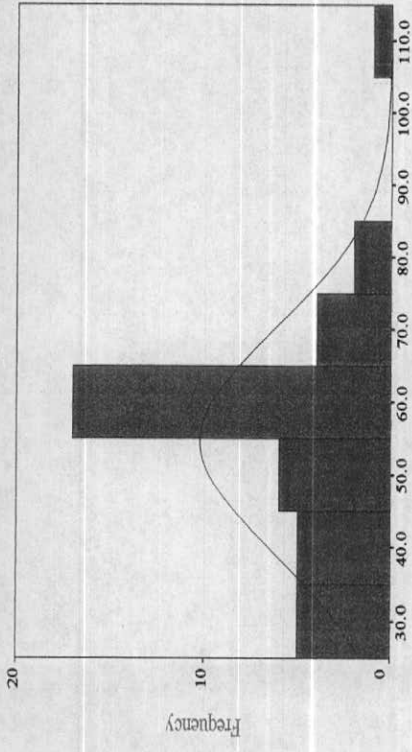


Scale 1:10,000

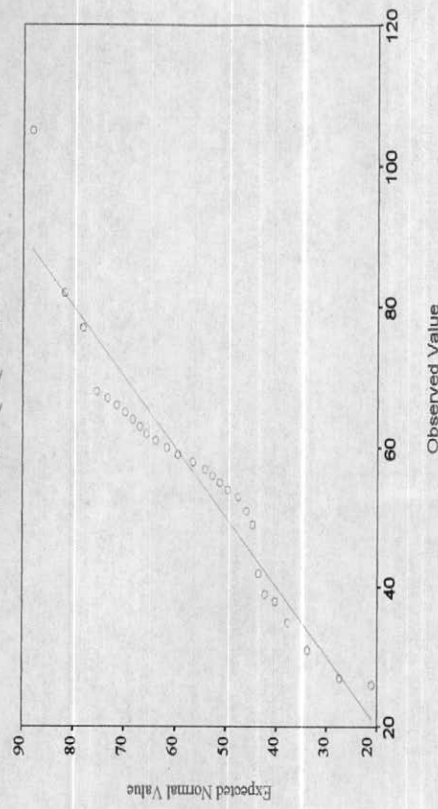
Map No. 2 - 89



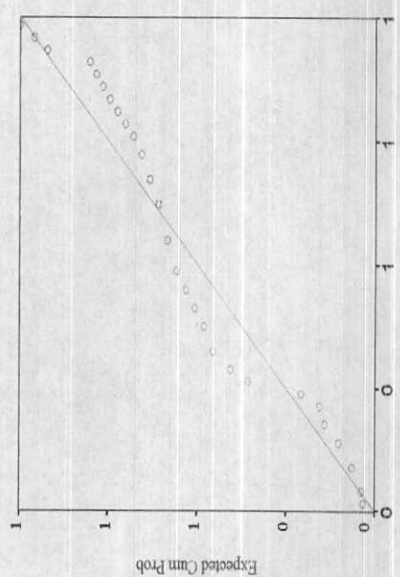
Histogram of Zn



Normal Q-Q Plot of ZN



Normal P-P Plot of ZN



ZN	Valid Missing	40
Mean		54.675
Median		57.500
Std. Deviation		15.567
Skewness		.437
Std. Error of Skewness		.374
Kurtosis		1.807
Std. Error of Kurtosis		.733
Minimum		26.0
Maximum		105.0
Percentiles		43.750 61.750

Table(2-90):Statistics and Diagrams of Geochemical Variables

Symbol Map of Zn

(*Bagh Sangi Area*)

LEGEND

- 26ppm to 55ppm
55ppm to 71ppm
71ppm to 87ppm
87ppm to 105ppm

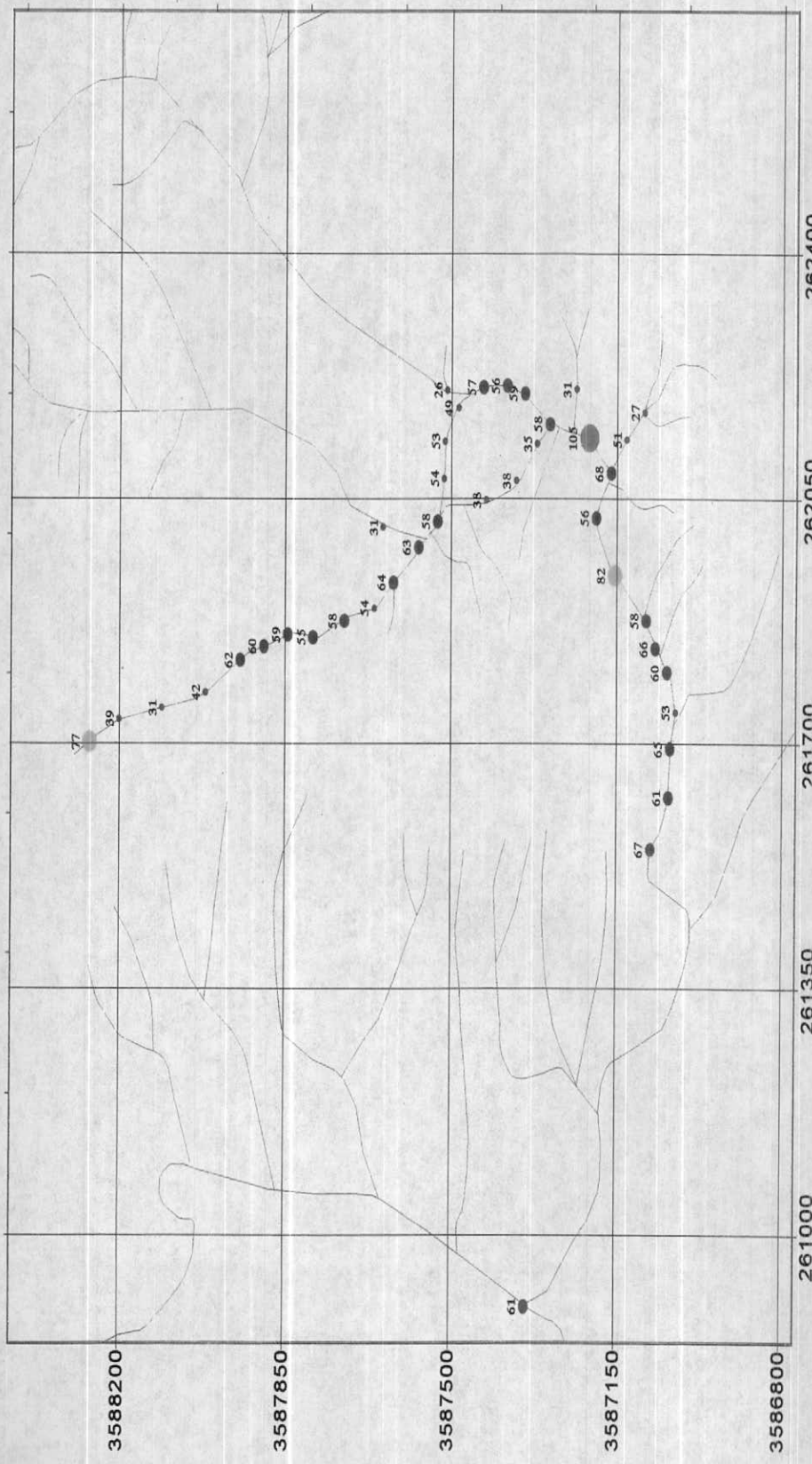
Drinage

Stream Sample



Scale 1:10,000

Map No. 2 - 91



Symbol Map of Ag

(Bagh Sangi Area)

LEGEND

●	1.0ppm to 1.2ppm
●	1.2ppm to 1.4ppm
●	1.4ppm to 1.5ppm
●	1.5ppm to 1.6ppm

Drianaage

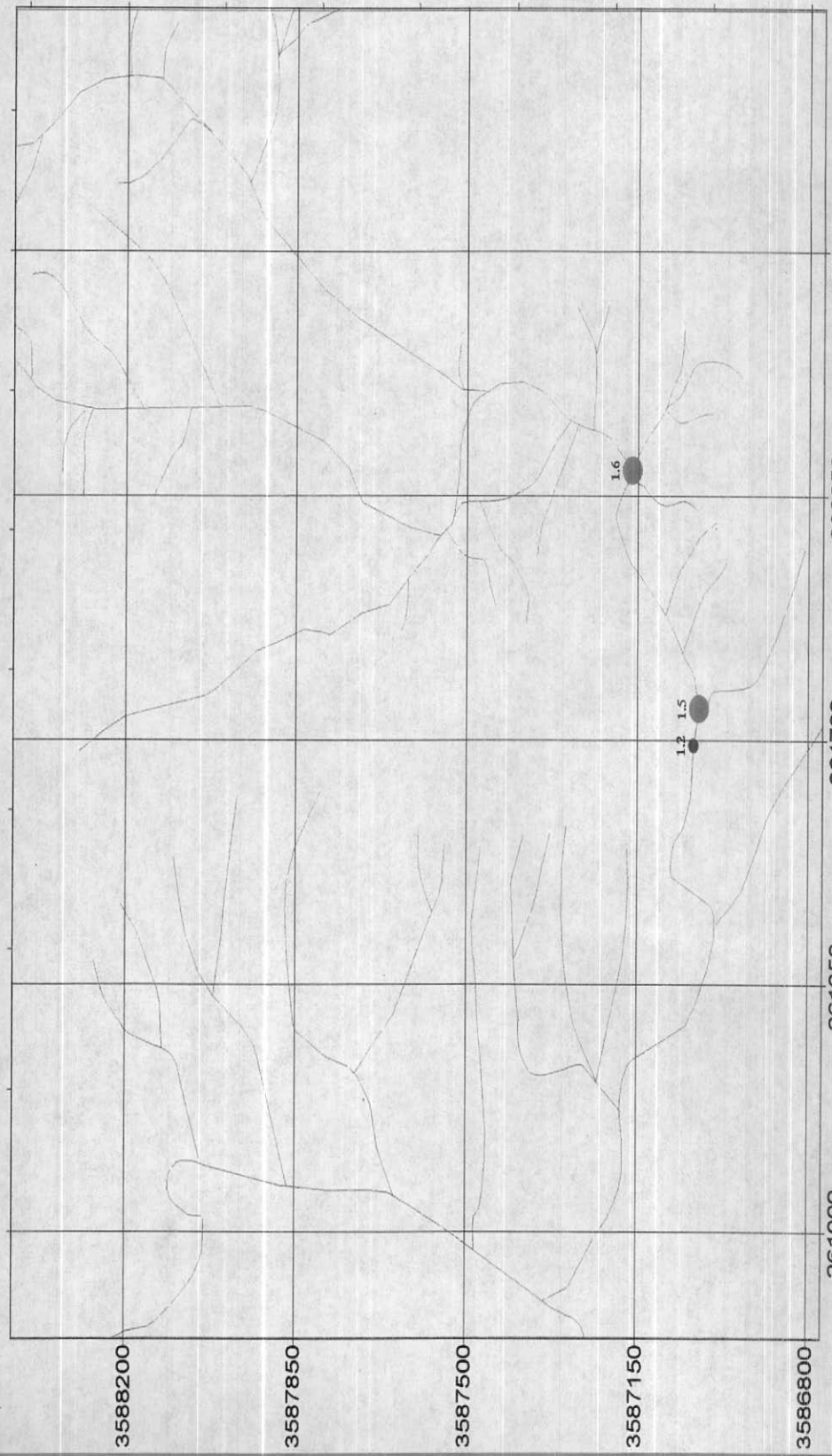
Stream Sample



N

Scale 1:10,000

Map No. 2 - 92



Symbol Map of W

(Bagh Sangi Area)

LEGEND

- 11ppm to 12ppm
- 12ppm to 15ppm
- 15ppm to 18ppm
- 18ppm to 19ppm

Drianae

Stream Sample

N



Scale 1:10,000

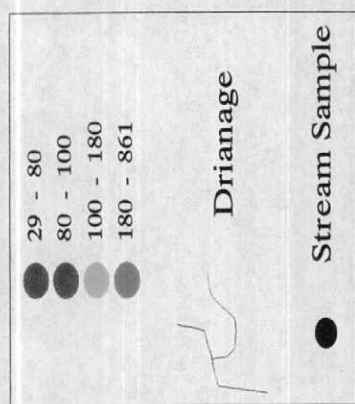
Map No. 2 - 93



Symbol Map of (Ba.Ba/Cu.Co)

(Bagh Sangi Area)

LEGEND



Scale 1:10,000

Map No. 2 - 94

بیشترین تمرکز حول نمونه های ۱۶ تا ۲۸ و ۲۱ است. یک نهی شدگی هم در آبراهه ۲۲ وجود دارد.

(۹۱-۲۹۰-۲ اشکال Zn -۱۸)

توزیع این نمونه هم طبق نمودارهای Q-P و هیستوگرام تقریباً لاغ نرمال است دامنه

تغییرات آن بین ۲۶ ppm تا ۱۰۵ ppm است. دارای ضریب تغییرات ۲۷٪ است و بیشترین دامنه

تغییرات حدود ۶۰ ppm است. بیشترین تمرکز این عنصر حول نمونه های ۹، ۱۲ و ۲۱ مشاهده می شود.

۲-۲-۸-آنالیز دو متغیره عناصر

نرمال سازی داده های خام

در بررسی های آماری داده های ژئوشیمیایی نرمال سازی جامعه آماری اولین قدم در پردازش

اطلاعات است خصوصاً در محاسبه آمارهای چند متغیره نیاز به نرمال سازی بیشتر محسوس می

شود. باید درنظر داشت که جوامع ژئوشیمیایی عناصر با عیارزیاد عمدتاً دارای چولگی مثبت می باشند

و امکان نرمال کردن جوامع اینگونه عناصر با استفاده از روش‌های معمول (روش Log Normal) میسر

نخواهد بود لذا روش هایی همچون لگاریتم سه متغیره و همچنین روش کاکس و باکس می تواند

برای نرمال سازی جامعه آماری مفید واقع شود برطبق شاخص های آماری که نرم افزار SPSS برای

جامعه آماری ما تعیین می کند می بایست مجموع چولگی و کشیدگی حدود عدد صفر

باشد. (جدول ۲-۱۳)

بررسی همبستگی میان داده های ژئوشیمی:

با تعیین همبستگی بین داده های ژئوشیمیایی در یک مختصات دو متغیره می توان وابستگی این

عناصر را تا حدی نسبت به یکدیگر مشخص کرد این روش خصوصاً در مواردی که تعداد داده های

Table 13 :Statistical Parameters For Normalized Variables.

	<i>Valid</i>	<i>LNSIO2</i>	<i>LNMG0</i>	<i>LNCU</i>	<i>LNL</i>	<i>LNV</i>	<i>LNW</i>	<i>LNN</i>	<i>LNZN</i>
<i>N</i>		39	40	40	40	40	40	40	40
<i>Missing</i>		1	0	0	0	0	0	0	0
<i>Mean</i>		1.6645	.3773	4.1959	3.9162	5.0400	5.6713	4.4221	
<i>Median</i>		1.6292	.3365	4.2195	3.9703	5.0434	5.6904	4.4716	
<i>Std. Deviation</i>		.9054	.3014	.1126	.1409	8.799E-02	.1227	.1865	
<i>Variance</i>		.8197	9.084E-02	1.269E-02	1.986E-02	7.743E-03	1.505E-02	3.480E-02	
<i>Skewness</i>		-.226	.010	.058	-1.054	-.343	-.655	-.307	
<i>Std. Error of Skewness</i>		.378	.374	.374	.374	.374	.374	.374	.374
<i>Kurtosis</i>		-.334	1.562	2.255	-.501	.079	-.705	.492	
<i>Std. Error of Kurtosis</i>		.741	.733	.733	.733	.733	.733	.733	.733
<i>Minimum</i>		-.51	-.51	3.95	3.66	4.84	5.45	4.03	
<i>Maximum</i>		3.21	1.10	4.56	4.09	5.21	5.91	4.91	
<i>Percentiles</i>		25	1.0986	1.823	4.1744	3.8380	5.0173	5.5381	4.2999
	50	1.6292	.3365	4.2195	3.9703	5.0434	5.6904	4.4716	
	75	2.2925	.5735	4.2591	4.0073	5.0876	5.7668	4.5191	

Table(14):Correlation Matrix of Geochemical Variables (after Normalization)

		Variables2																	
		Al2O ₃	Fe2O ₃	CaO	MnO	B	BA	CO	SR	CR	SiO ₂	MgO	CU	Li	Ni	V	ZN		
AL203		Pearson Correlation	1.000	-.384**	-.256	.361*	.563**	-.557**	.267	.452**	-.043	.208	-.110	.207	.389**	.796	.393**	.277	
AL203		Sig. (2-tailed)		-.014	.111	.022	-.000	.096	.003	.793	-.197	.500	.013	.225	.012	.084			
FE203		Pearson Correlation	.384**	1.000	.538**	.380*	.836**	.609**	.000	.883**	.349*	.651**	-.548*	.031	.887**	.611**	.765**	.885**	
FE203		Sig. (2-tailed)		.014		.000		.016		.000		.027		.000		.847			
CAO		Pearson Correlation	.384**	1.000	.538**	.380*	.836**	.609**	.000	.883**	.349*	.651**	-.548*	.031	.887**	.611**	.765**	.885**	
CAO		Sig. (2-tailed)		.014		.000		.016		.000		.027		.000		.847			
MnO		Pearson Correlation	.361*	1.000	.503**	.361*	.361*	.361*	.302	.790**	.273	.496**	-.848*	.211	.575**	.638**	.605**	.587**	
MnO		Sig. (2-tailed)		.022		.001		.022		.000		.088		.001		.000			
B		Pearson Correlation	.361*	1.000	.503**	.380*	.503**	.413**	.643**	.364**	.364**	.150	-.350*	-.078	.288	.546**	.382**	.618**	
B		Sig. (2-tailed)		.016		.001		.016		.000		.000		.021		.354			
BA		Pearson Correlation	.565**	.836**	.361*	.413**	1.000	.681**	.739**	.284	.552**	-.280	.240	.562**	.832**	.722**	.735**	.683**	
BA		Sig. (2-tailed)		.000	.022	.008	.000	.000	.000	.076	.000	.080		.000		.000			
CO		Pearson Correlation	.551**	.609**	.302	.643**	.681**	1.000	.607**	.221	.184	-.200	.234	.415**	.689**	.245	.619**	.459**	
CO		Sig. (2-tailed)		.000	.000	.058	.000	.000	.000	.000	.000		.008		.000				
CR		Pearson Correlation	.267	.883**	.790**	.579**	.739**	.607**	1.000	.469**	.529**	.682**	-.117	.766**	.952**	.731**	.934**	.834**	
CR		Sig. (2-tailed)		.096	.000	.000	.000	.000	.000	.000	.000		.000		.000				
SR		Pearson Correlation	.452**	.349*	.273	.364*	.284	.221	.469**	1.000	.124	.244	.235	.407**	.397*	.367*	.555**	.432**	
SR		Sig. (2-tailed)		.003	.027	.038	.021	.076	.170	.002	.445	.129	.144	.009	.011	.020	.000	.005	
CU		Pearson Correlation	-.043	.651**	.496**	.150	.552**	.184	.529**	.124	1.000	-.529*	.414**	.470**	.562**	.624**	.396*	.625**	
CU		Sig. (2-tailed)		.793	.000	.001	.354	.000	.256	.000	.445		.000		.002				
SiO ₂		Pearson Correlation	-.208	.548*	-.350*	-.348*	-.348*	-.280	-.200	-.682*	-.244	.529*	1.000	-.036	-.621*	-.588*	-.436*	-.516*	.609*
SiO ₂		Sig. (2-tailed)		.197	.000	.000	.027	.080	.217	.000	.129	.000		.000		.005	.001	.000	
MgO		Pearson Correlation	-.110	.031	.211	-.078	.240	-.234	-.117	.235	.414**	-.036	1.000	-.058	.163	.611**	.228	.154	
MgO		Sig. (2-tailed)		.500	.847	.192	.631	.136	.146	.471	.144	.008	.825		.722	.316	.000	.158	
Li		Pearson Correlation	-.207	.733**	.575**	.288	.562**	.415**	.766**	.407**	.470**	-.621*	-.058	1.000	.711**	.413**	.648**	.753**	
Li		Sig. (2-tailed)		.200	.000	.072	.000	.008	.000	.009	.000	.002		.000		.008	.000	.000	
Ni		Pearson Correlation	.196	.611**	.606**	.382*	.722**	.245	.731**	.367*	.624**	-.436*	.611**	.413**	.736**	1.000	.768**	.611**	
Ni		Sig. (2-tailed)		.225	.000	.015	.000	.127	.000	.020	.000	.005		.000		.000			
V		Pearson Correlation	.389*	.837**	.686**	.832**	.689**	.952**	.397*	.562**	.568*	.163	.711**	1.000	.736**	.938**	.821**	.756**	
V		Sig. (2-tailed)		.013	.000	.000	.000	.000	.011	.000	.000		.315		.000		.000		
ZN		Pearson Correlation	.277	.835**	.587**	.343*	.683**	.459**	.834**	.432**	.625**	-.609*	.154	.753**	.821**	.611**	.756**	1.000	
ZN		Sig. (2-tailed)		.084	.000	.000	.030	.000	.003	.000	.005		.343		.000		.000		

* : Correlation is significant at the 0.05 level (2-tailed).

** : Correlation is significant at the 0.01 level (2-tailed).

ژئوشیمیایی زیاد است با تشکیل ماتریس همبستگی (جدول ۱۴-۲) می تواند در خلاصه سازی نتایج

این روش مفید واقع شود.

همچنین در روش تعیین همبستگی گرافیکی (Scatter Plot) هر جفت از داده های ژئوشیمیایی را می

توان مورد تجزیه و تحلیل قرار داد. (ضمایم ۲۷-۲، ۲۸ و ۲۹)

- آنالیزه دو متغیره به روش همبستگی های گرافیکی (Scater Plot)

می توان برای بهتر مشخص شدن تغییرات هر عنصر نسبت به عنصر دیگر از همبستگی گرافیکی

عناصر بهره جست شرح نمودارهای اسکتری یا مفهوم از عناصر مورد آنالیز در منطقه باغ سنگی به

ترتیب زیر است.

۱- Ba باریم (ضمایم ۲۷-۲، ۲۸ و ۲۹)

باریم با مس نیکل و کالت و استرانسیوم همبستگی مثبت نشان می دهد همچنین دیاگرامهای باریم

نسبت به دانادیم و کالت علیرغم دو جامعه ای بودن همبستگی مثبت از خود نشان می دهد.

۲- B بر (ضمایم ۲۷-۲ و ۲۸ و ۲۹)

بر همبستگی مثبت با لیتیم و کالت و نیکل، وانادیم، روی دارد

بر همبستگی منفی با SiO_2 دارد

۳- مس Cu (ضمایم ۲۷-۲، ۲۸ و ۲۹)

مس همبستگی مثبت با روی، وانادیم، کالت و اکسید منیزیم دارد

مس همبستگی منفی با SiO_2 دارد

۴-کرم Cr ضمایم ۲۷-۲ و ۲۸، ۲۹)

کروم همبستگی مثبت با Fe2O3 و کالت و نیکل دارد

کروم همبستگی منفی با SiO2 دارد

۹-۲-۲- آنالیز چند متغیره عناصر

۹-۲-۱- آزمون همبستگی کلاستر

به منظور تعیین ارتباط رئنیکی بین متغیرهای مورد بررسی با در دست داشتن ماتریس همبستگی می توان به تجزیه و تحلیل خوش ای اقدام کرد که یکی از روش های چند متغیره محسوب می شود و بیشتر به منظور طبقه بندی متغیرها براساس تشابه بین گروهی و یا زیر گروهی مورد استفاده قرار گیرد. در اصل تجزیه و تحلیل خوش ای یک روش آماری چند متغیره است که مشاهدات را براساس شباهت میان یک یا چند متغیر دسته بندی می نماید حاصل چنین دسته بندی یک دندرو گرام است که متغیرهای مورد بررسی را خوش وار به یکدیگر وصل می کند.

در منطقه مورد مطالعه باغ سنگی اقدام به یک آزمون کلاستر روی متغیرها گردید. (شکل R.2) با توجه به دندرو گرام یک خوش نامتقارن از متغیرها دیده می شود که همبستگی نسبی اکثر عناصر را به هم نشان می دهد. به هر حال یک مجموعه را می توان بصورت زیر گروههایی به این ترتیب که زیر گروه اول شامل V, Li, Co و زیر گروه دوم شامل Fe2O3 و Zn و همین طور عناصر B و Cu که با این زیر گروهها همبستگی نشان می دهند، تعریف کرد. لازم به ذکر است عناصر و ترکیبات دیگر بصورت ضعیفتری خود را به این مجموعه وصل کرده اند.

سپلیس در این دندرو گرام بصورت مجزا و مستقل عمل کرده و خود را از بقیه متغیرها جدا کرده است.

* * * * * H I E R A R C H I C A L C L U S T E R A N A L Y S I S * * * *

Dendrogram using Average Linkage (Between Groups)

Rescaled Distance Cluster Combine

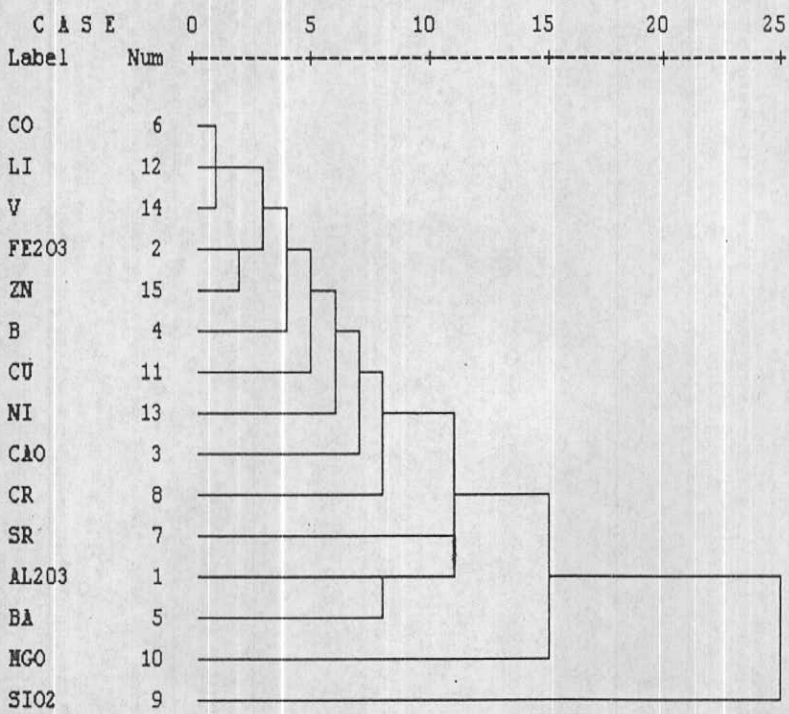


Fig. 95 Dendrogram of Bagh Sangi Variables after Normalization

۲-۹-۲-۲-فاکتور آنالیز

در جدول (۱۵-۲ و ۱۶-۲) نتایج آنالیز فاکتوری متغیرهای ژئوشیمیایی ناحیه باع سنگی آورده شده است

لازم بذکر است جهت کتراست جهت بیشترین بارهای فاکتوری انتخاب شده از دوران فاکتوری به روش

وریمکس و همینطور روش استخراج فاکتورهای روش آنالیز مؤلفه های اصلی که این دو غالباً بیشترین

استفاده در تحقیقات ژئوشیمیایی داشته اند، استفاده شده است.

در منطقه باع سنگی کم بودن مقدار نمونه هانسبت به متغیرهای ژئوشیمیایی از آوردن تمام

متغیرهای آزمون فاکتوری برای اینکه این آزمون از نظر آماری زیر سؤال نرود، خودداری شده است

لذا فقط برای ۹ عنصر Co , Ni , Cr , Zn , Cu , V , B , Ba , SiO_2 که بعد از نرمال سازی داده هایشان انجام شده

است. در این ناحیه دوفاکتور انتخاب شده است که بترتیب ۱۴٪ و ۱۲٪ تغییر پذیری کل جامعه را بیان می

کند. فاکتور اول را می توان ترکیب خطی از عناصر Cr , Zn , Cu , Ni دانست که بار فاکتوری این عناصر به

ترتیب عبارتنداز: ۰/۷۹، ۰/۷۳، ۰/۷۵، ۰/۶۶، ۰/۶۰ ترکیب سیلیس در این فاکتور حالت عکس نشان داده است

که می توان به مستقل بودن و عدم ارتباط با عناصر دیگر برای این ترکیب پس برد. لازم بذکر است که

کیالت در این فاکتور هم با بار فاکتوری ۰/۶۷ خود را باین فاکتور مطابقت داده است. فاکتور دوم شامل

عناصر Ba , B , V , Co می باشد که بار فاکتوری آنها ترتیب ۰/۹۱، ۰/۸۱، ۰/۷۶، ۰/۷۸ می باشد. کیالت

باز هم با فاکتور دوم آمده است که می تواند ناشی از دو شخصیتی بودن این عنصر در عناصر فوق

کانساری و تحت کانساری می باشد.

شرح نقشه های فاکتوری

(مس، نیکل، کرم، روی) فاکتور اول: این فاکتور با کمترین بار فاکتوری ۰/۱۷ و بیشترین بار فاکتوری ۲/۱۱

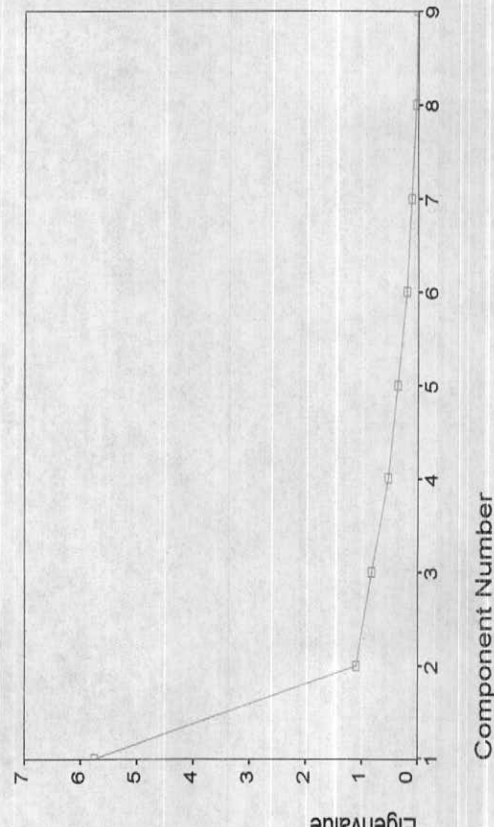
و تمرکز آن در قسمت جنوبی منطقه بین نمونه های ۲ تا ۱۳ است تطابق این فاکتور را با آنومالی های مس

Table(15) :The Results of factor Analysis for Geochemical Variables(Bagh Sangi Area)
Total Variance Explained

Component	Initial Eigenvalues			Extraction Sums of Squared Loadings			Rotation Sums of Squared Loadings		
	Total	% of Variance	Cumulative %	Total	% of Variance	Cumulative %	Total	% of Variance	Cumulative %
1	5.759	63.989	63.989	5.759	63.989	63.989	3.637	40.412	40.412
2	1.111	12.340	76.330	1.111	12.340	76.330	3.233	35.918	76.330
3	.828	9.795	85.524						
4	.531	5.905	91.429						
5	.368	4.094	95.523						
6	.208	2.314	97.837						
7	.128	1.424	99.261						
8	3.881E-02	.431	99.693						
9	2.767E-02	.307	100.000						

Extraction Method: Principal Component Analysis.

Scree Plot



Continues

Table(16):The Results of factor Analysis for Geochemical Variables(Bagh Sangi Area)

Component Matrix^a

	Component	
	1	2
CO	.961	
V	.903	.209
ZN	.892	-.109
B	.835	.336
CU	.793	-.122
NI	.785	-.112
CR	.676	-.442
SiO ₂	-.675	.511
BA	.609	.676

Extraction Method: Principal Component Analysis.

a. 2 components extracted.

Rotated Component Matrix^a

	Component	
	1	2
SiO ₂	-.843	
CR	.797	.131
ZN	.731	.522
CU	.667	.446
NI	.654	.448
BA		.910
B	.388	.812
V	.525	.764
CO	.677	.683

Extraction Method: Principal Component Analysis.

Rotation Method: Varimax with Kaiser Normalization.

a. Rotation converged in 3 iterations.

Component Score Coefficient Matrix

	Component	
	1	2
B	-.098	.321
BA	-.333	.520
CO	.095	.143
CR	.355	-.214
SiO ₂	-.397	.260
CU	.176	.012
NI	.169	.018
V	-.011	.244
ZN	.180	.033

Extraction Method: Principal Component Analysis.

Rotation Method: Varimax with Kaiser Normalization.

کرم روی و تنگستن می توان مشاهده کرد احتمالاً این فاکتور عناصر تحت کانساری که دریک ارتفاع

کمتری نسبت به عناصر فوق کانساری واقع شده است نشان می دهد. ضمناً یک تنهی شدگی از این

فاکتور در فاصله نمونه های ۱۳-۲۰ مشاهده مشود. (شکل ۹۶-۲)

(وانادیوم، برباریم) فاکتور دوم: این فاکتور با کمترین بار فاکتوری ۲/۲۴-و بیشترین بار فاکتوری ۲/۲۳ می

باشد. و تمرکز آن بین نمونه های ۱۳-۲۰ واقع شده است. هیستوگرام این فاکتور توزیعی نرمال را برای

ضرایب آن نشان می دهد (اشکال ۹۸-۲ و ۹۹-۲) این فاکتور را می توان احتمالاً با توجه به قابلیت تحریک

بالای باریم، برب و وانادیوم به عناصر فوق کانساری نسبت داد. این فاکتور در آبراهه ۲ خود را حالت

عکس نشان داده است. (شکل ۹۷-۲) نتایج ضرایب فاکتوری در جدول (۱۷-۲) آورده شده است.

۱۰-۲-۲- تفسیر داده های زئوشیمیابی با غ سنگی

۱- محاسبه پارامترهای کمی زئوشیمیابی:

در آبراهه اصلی (شکل ۵۵-۲) برای عناصر شاخص Co ، Ba و همینطور تولید خطی عناصر

Zn ، Cu ، Ba بر حسب درصد مترمربع محاسبه شده است. (جدول ۱۸-۲)

طبق این محاسبات برای عنصر باریم در نمونه های ۱۸، ۱۶، ۱۷، ۱۵، ۱۴، ۲۸ آنومالی می باشد و

عنصر مس فقط برای نمونه ۲ آنومالی و عنصر روی فقط در نمونه ۱۲ آنومالی نشان می دهد بنابراین

فقط گسترش عنصر باریم را مجزا از سایر عناصر شاخص روی و مس در سطح داریم. هاله رسوبات

روزخانه ای عناصر مس و روی در سطح ظاهر شده اند لذا محاسبه میزان ذخیره عناصر شاخص به

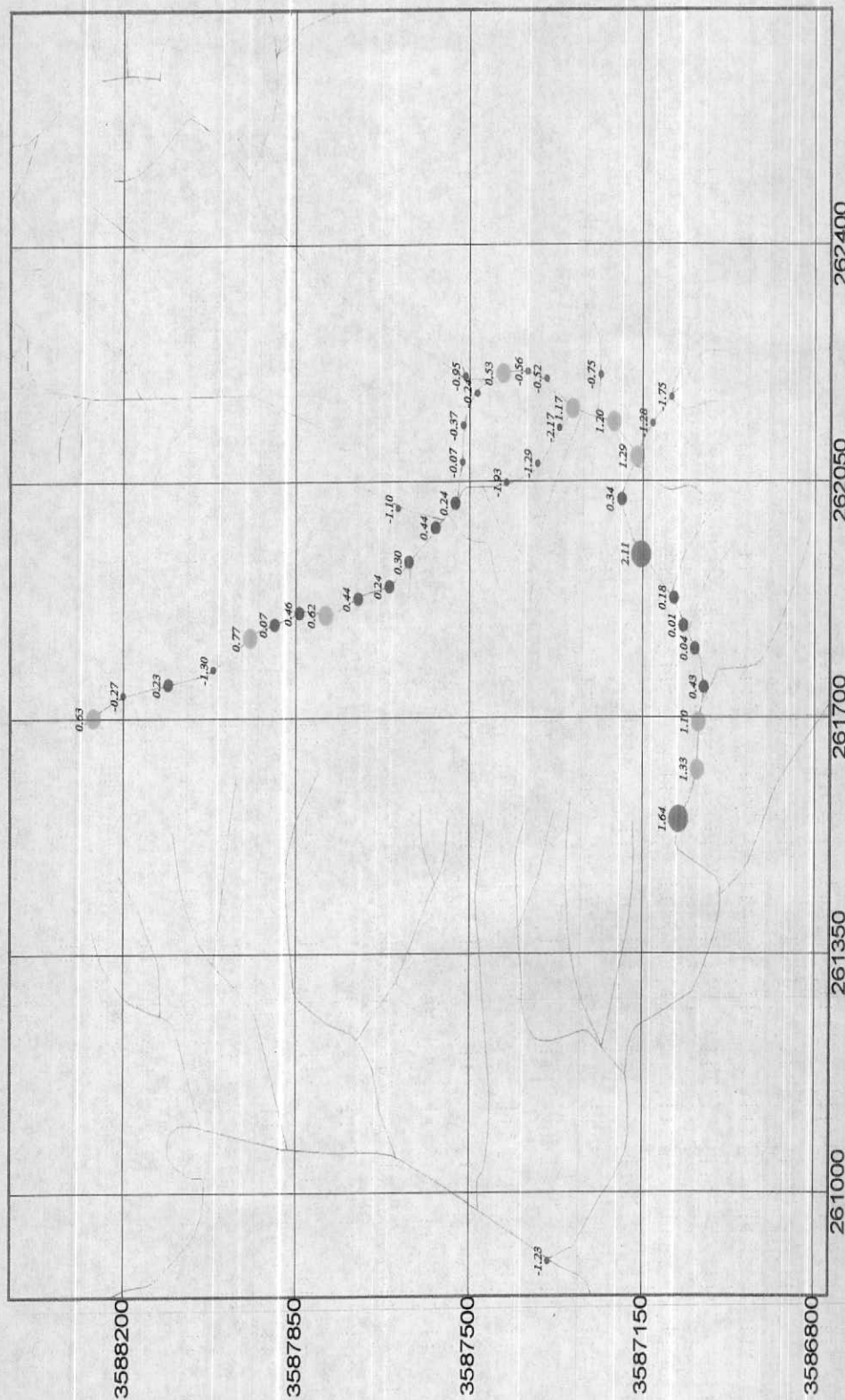
روش متالومتری ممکن نمی باشد.

Table 17 :Results of factor scores in Bagh Sangi Area.

no.	field	co.	x	y	Factor1	Factor2
1	1	79.AF.1	260900	3587341	-1.226	2.301
2	2	79.AF.2	261548	3587077	1.643	-0.374
3	3	79.AF.3	261623	3587039	1.326	-0.615
4	4	79.AF.4	261693	3587036	1.098	-0.418
5	5	79.AF.5	261745	3587025	0.429	-0.216
6	6	79.AF.6	261802	3587044	0.041	0.55
7	7	79.AF.7	261836	3587068	0.005	0.621
8	8	79.AF.8	261876	3587088	0.179	0.182
9	9	79.AF.9	261941	3587154	2.107	-0.819
10	10	79.AF.10	262023	3587194	0.344	-0.088
11	11	79.AF.11	262086	3587164	1.29	-0.712
12	12	79.AF.12	262138	3587210	1.197	0.056
13	13	79.AF.13	262157	3587293	1.173	-0.573
14	14	79.AF.14	262201	3587346	-0.521	1.167
15	15	79.AF.15	262212	3587384	-0.557	1.52
16	16	79.AF.16	262210	3587434	0.528	0.559
17	17	79.AF.17	262180	3587486	-0.236	0.893
18	18	79.AF.18	262133	3587515	-0.369	0.905
19	19	79.AF.19	262079	3587516	-0.069	0.104
20	20	79.AF.20	262018	3587529	0.242	0.274
21	21	79.AF.21	261981	3587569	0.439	1.08
22	22	79.AF.22	261931	3587622	0.298	0.873
23	23	79.AF.23	261894	3587663	0.238	-0.254
24	24	79.AF.24	261876	3587725	0.441	-0.053
25	25	79.AF.25	261853	3587791	0.615	-0.226
26	26	79.AF.26	261856	3587844	0.455	0.56
27	27	79.AF.27	261839	3587893	0.073	0.97
28	28	79.AF.28	261820	3587944	0.774	1.07
29	a1-1	79.AF.29	262135	3587130	-1.285	1.759
30	a1-2	79.AF.30	262174	3587092	-1.753	-1.002
31	a2-1	79.AF.31	262048	3587427	-1.932	-0.673
32	a2-2	79.AF.32	262076	3587364	-1.295	-1.135
33	a2-3	79.AF.33	262129	3587320	-2.169	-0.469
34	a3-1	79.AF.34	262207	3587237	-0.754	-1.257
35	a4-1	79.AF.35	262206	3587510	-0.954	-1.241
36	a6-1	79.AF.36	262010	3587644	-1.104	-1.412
37	Z1	79.AF.37	261702	3588262	0.633	0.698
38	Z2	79.AF.38	261735	3588201	-0.274	-1.936
39	Z3	79.AF.39	261751	3588110	0.227	-2.235
40	Z4	79.AF.40	261773	3588018	-1.297	-0.432

Symbol Map of Factor I

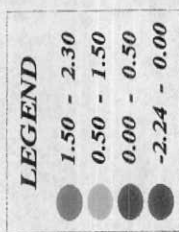
(Cr, Zn, Cu, Ni)



Symbol Map of Factor 2

(Ba,B,V,Co)

(*Bagh Sangi Area*)



Driantage

1.15 Factor Score

2

Scale 1:10,000

Map No. 2 - 97

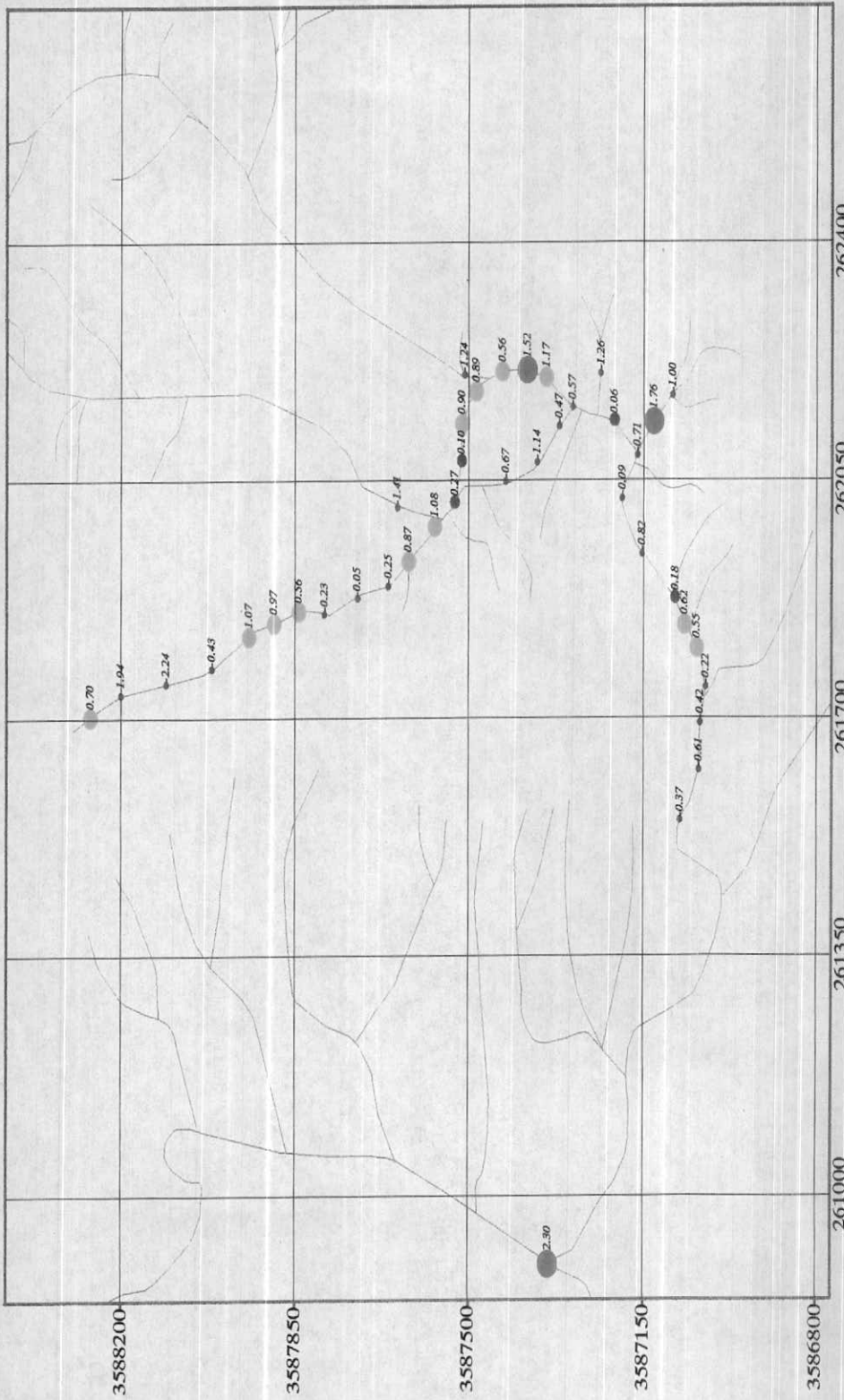
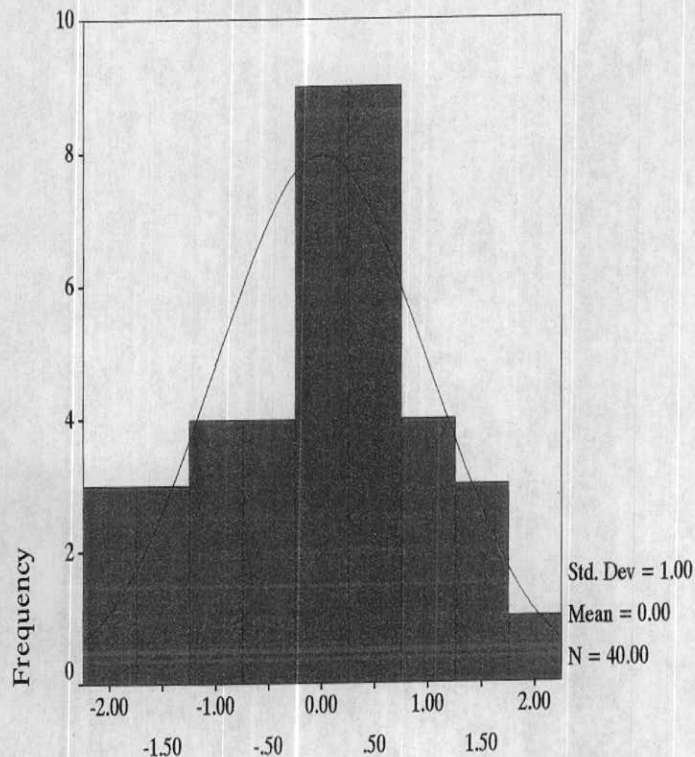


Fig. 98: Histogram of Factor Scores in Bagh Sangi Area.

Histogram of Factor1



Histogram of Factor2

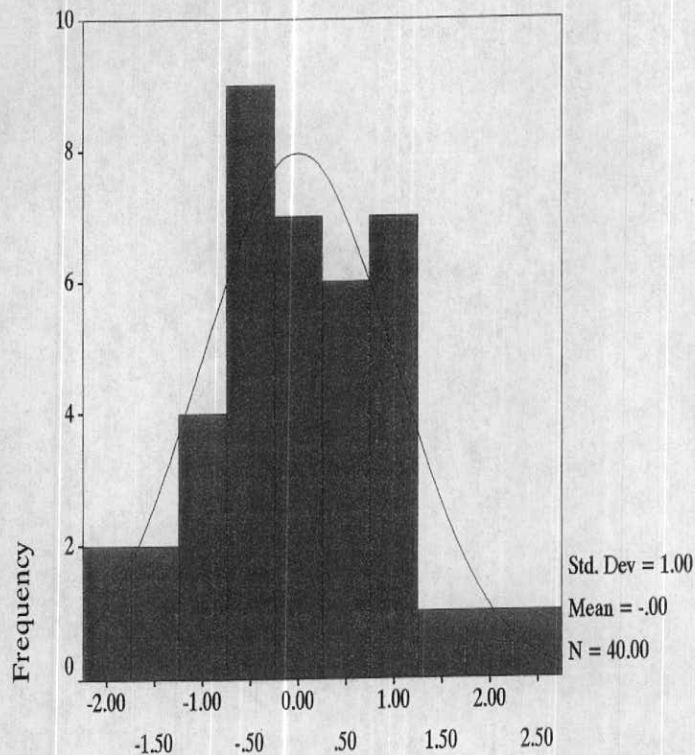


Table 2-18 Quoantitive Estimation of Lithiochemical dispersion haloes&traines

	C_r'		C_A' (ppm)	C_{\min}	C_{\max}	$P(m^{-2}\%)$	$Q(ton)$
Ba	183	1.2	215	103	248	2426	6066
Co	17	1.53	61	7	25		
Cu	17	1.61	47	5	48	1425	7000
Ni	48	1.31	63	26	83		
Zn	53	1.36	89	26	105	1400	7000
Li	18	1.5	33	10	30		
Sr	270	1.1	300	223			
V	188	1.2	257				
B	28	1.25	37				

۲- تفسیر و تعبیر دادها

مهاجرت عناصر شاخص مشتق از تخریب هاله اولیه در هاله ثانویه دار رسوبات رودخانه ای ظاهر

می شود که شاخص های زونالیته عنصری مهمترین پارامترهای کمی این روش حساب می شوند و

برای تعیین سطح فرسایش آنومالی و حتی تعیین جهت حرکت محلولهای هیدروترمال و شناخت

آنومالی های عمیق و پنهان بکار می رود.

در شکل (۲-۹۹) هاله های عنصر شاخص عنصر روی (Zn) با هاله های شاخص عنصر باریم تطابق و

تقارن ندارد و برای عنصر مس با باریم این شرایط مشاهده می شود. این شرایط شخص کننده کانی

سازی پنهان در ان迪س باع سنگی در مرز نمونه های ۱۰ تا ۱۶ می باشد در شکل (۲-۱۰۰)

(۱۰۱) نمودار دو شاخص عنصری Zn.Ag/Cu.Co , Ba.Ba/Co.Cu در کل مسیر نمونه برداری ان迪س

باع سنگی ترسیم شده است در شکل (۲-۱۰۲) نمودار حاصلضرب عناصر فوق کانساری Ba و

عناصر تحت کانساری Cu.Co واگرایی (اختلاف) مناسب را نشان می دهد خصوصاً در پروفیل ۳-۲

تا a-2 این اختلاف بخوبی پیداست که گسترش هاله های پنهان را به طرف زون گوسن نشان می

دهد. در شکل (۲-۱۰۱) زون گوسن و آنومالی ا مشخص شده است بنابراین گسترش محدوده کانی

سازی در عمق در امتداد شمال غرب و جنوب شرق و پنهان بودن آنومالی ا قابل پیش بینی می باشد.

در آبراهه اصلی باع سنگی مجاور نمونه 22 یک نمونه کانی سازی شده غیر بر جا که تجزیه آن برای

عناصر نقره (7.1 ppm) و بیسموت (36 ppm) و مس (3804 ppm) و روی (889 ppm) و کبالت

(28 ppm) بدست آمده است همینطور از مطالعه مقاطع صیقلی این نقطه (R1, R2, R3) چنین حاصل

می گردد که کانی های هیپوزن کالکوپیریت، اسفالریت، پیریت، پیروتین، برنیت. طلا (?) بیسموت

کانی های زون سوپرژن شامل مالاکیت، آزوریت، کوولین و.. می باشد. این نمونه ها مشخص کننده

Fig. 99 : Q-Q Plots for Factor Score in Bagh Sangi Area.

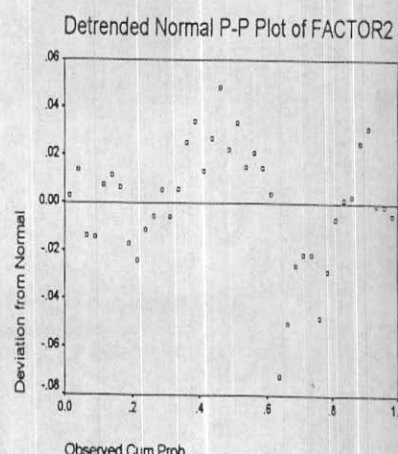
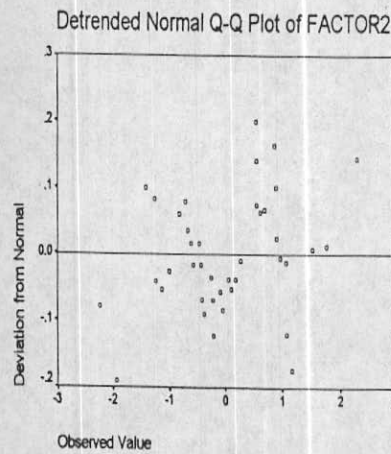
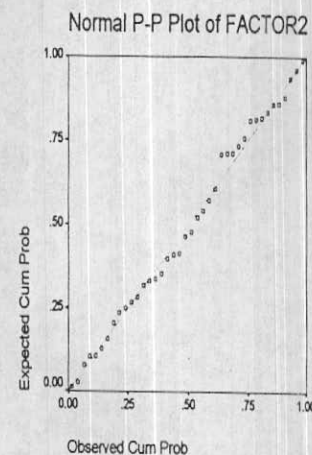
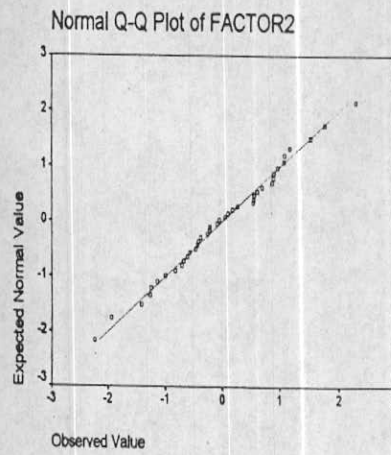
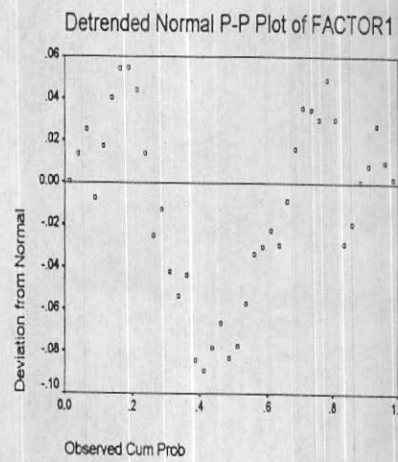
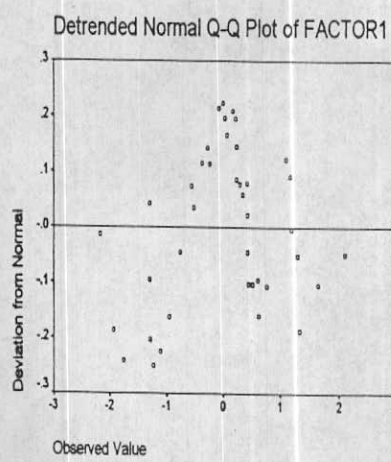
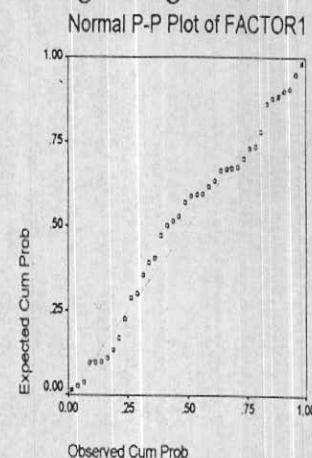
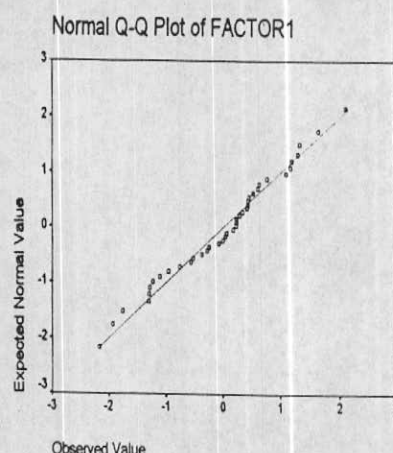


Fig. 100 Bagh-Sangi ($K= BaBa/CuCo$ and $K= ZnAg/CuCu$)

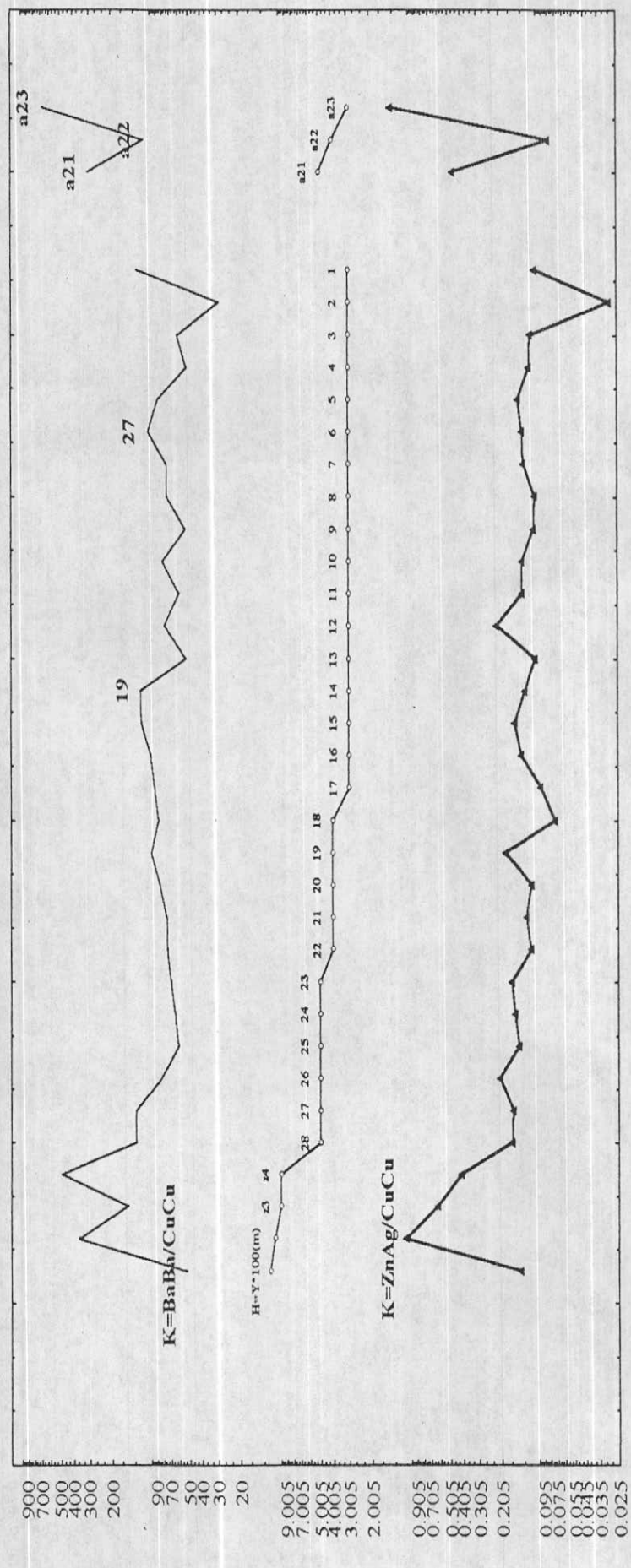


Fig.¹⁰¹ profile Bagh-sangi (L1=Ba^{*}Ba or L2=Cu^{*}Co)

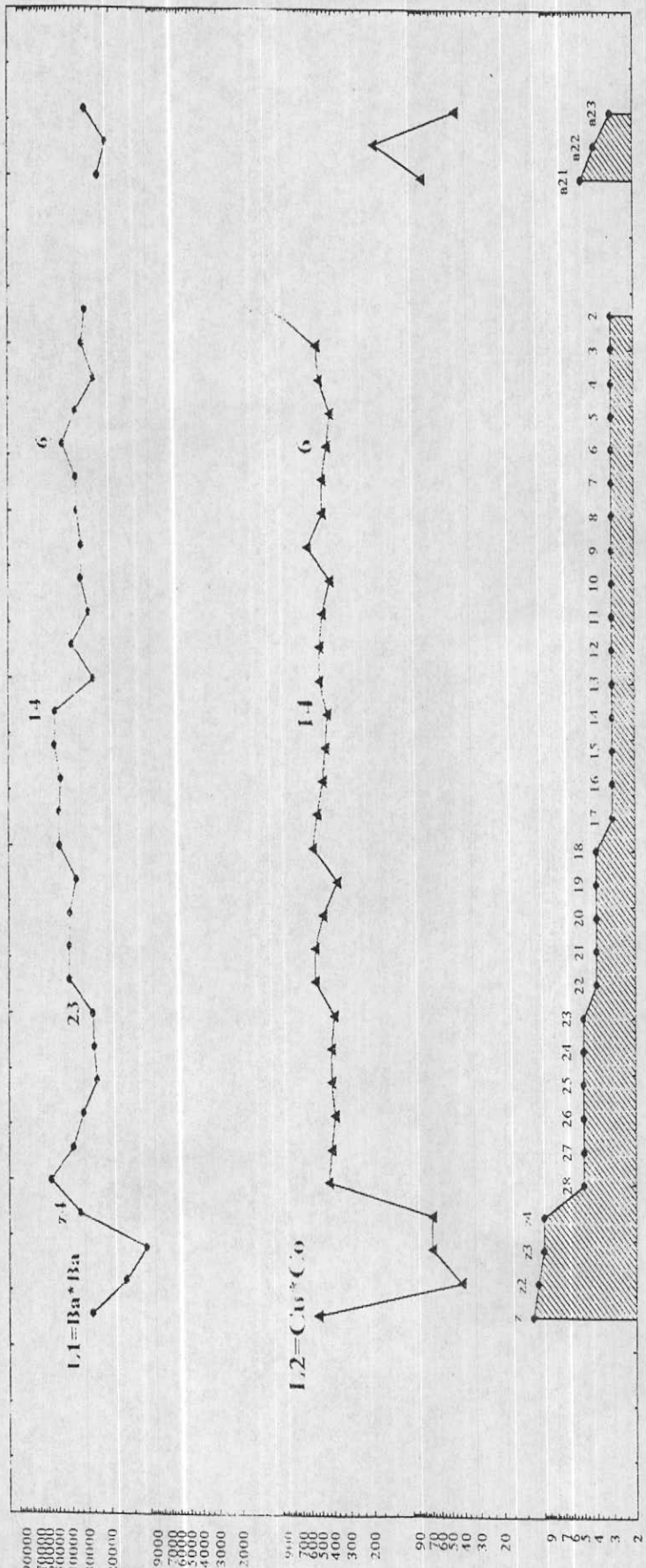


Fig. 2. 102

Anomaly Map in Bagh-Sanghi area

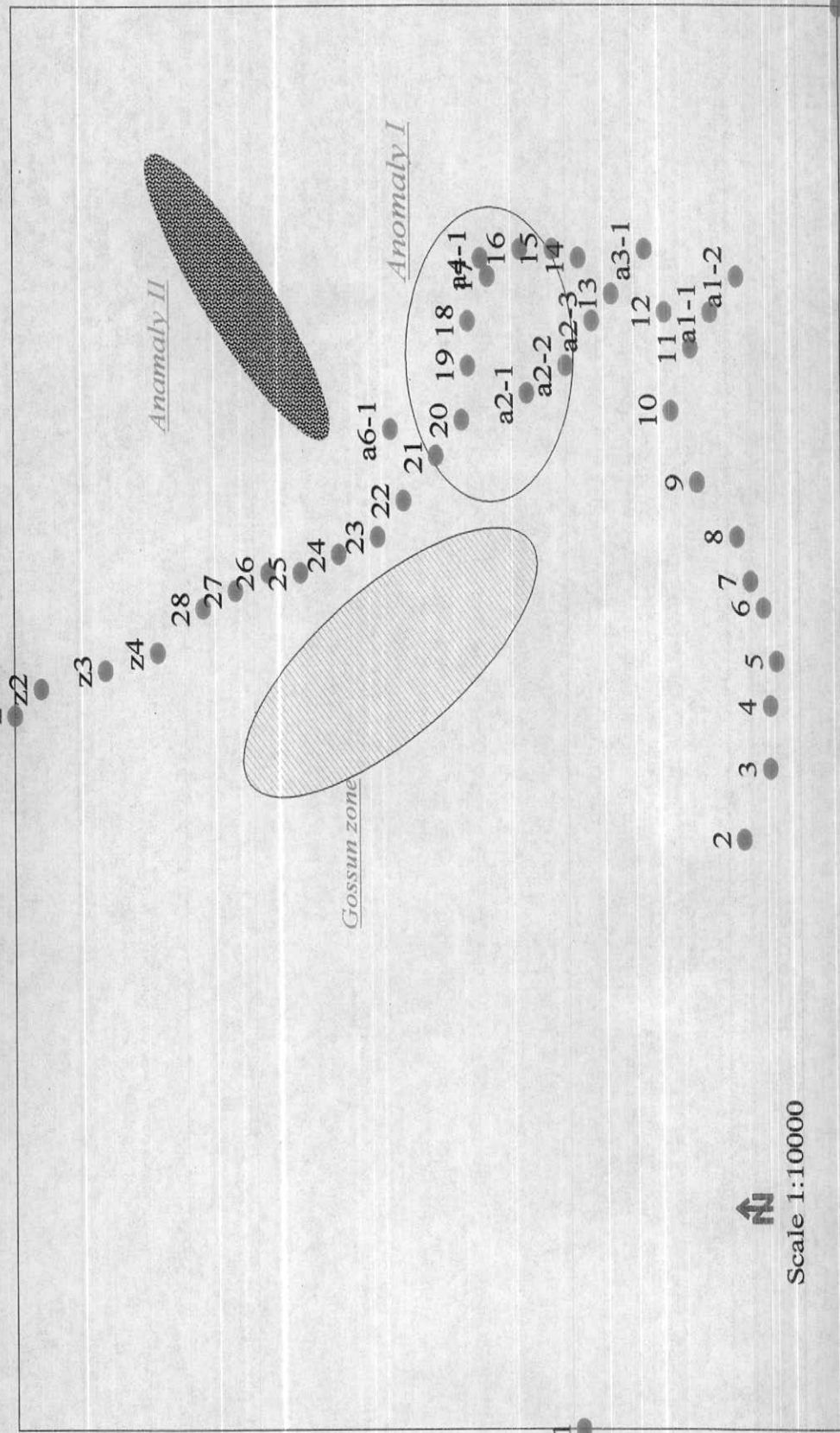


Fig. 103

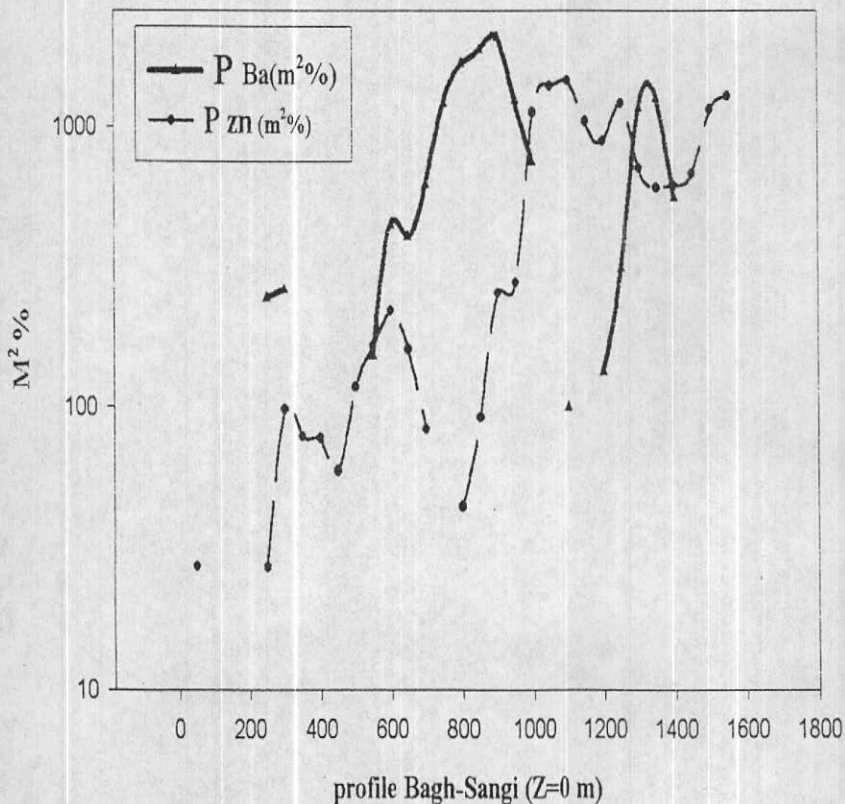
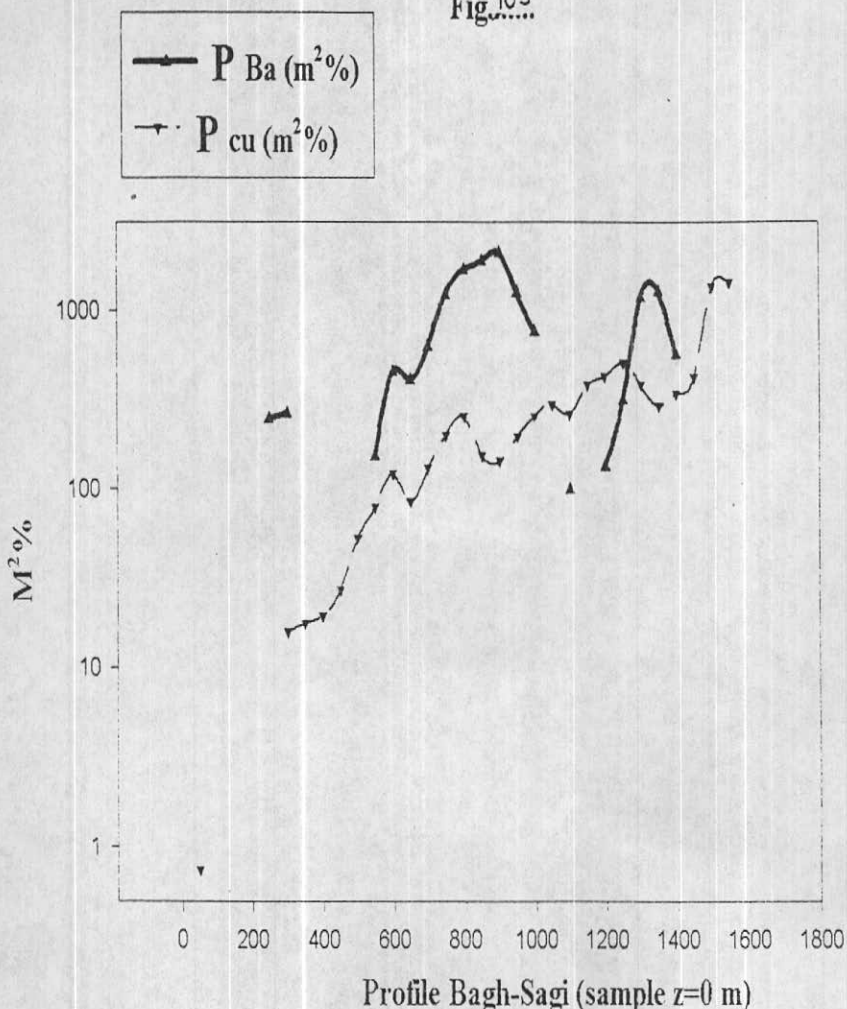
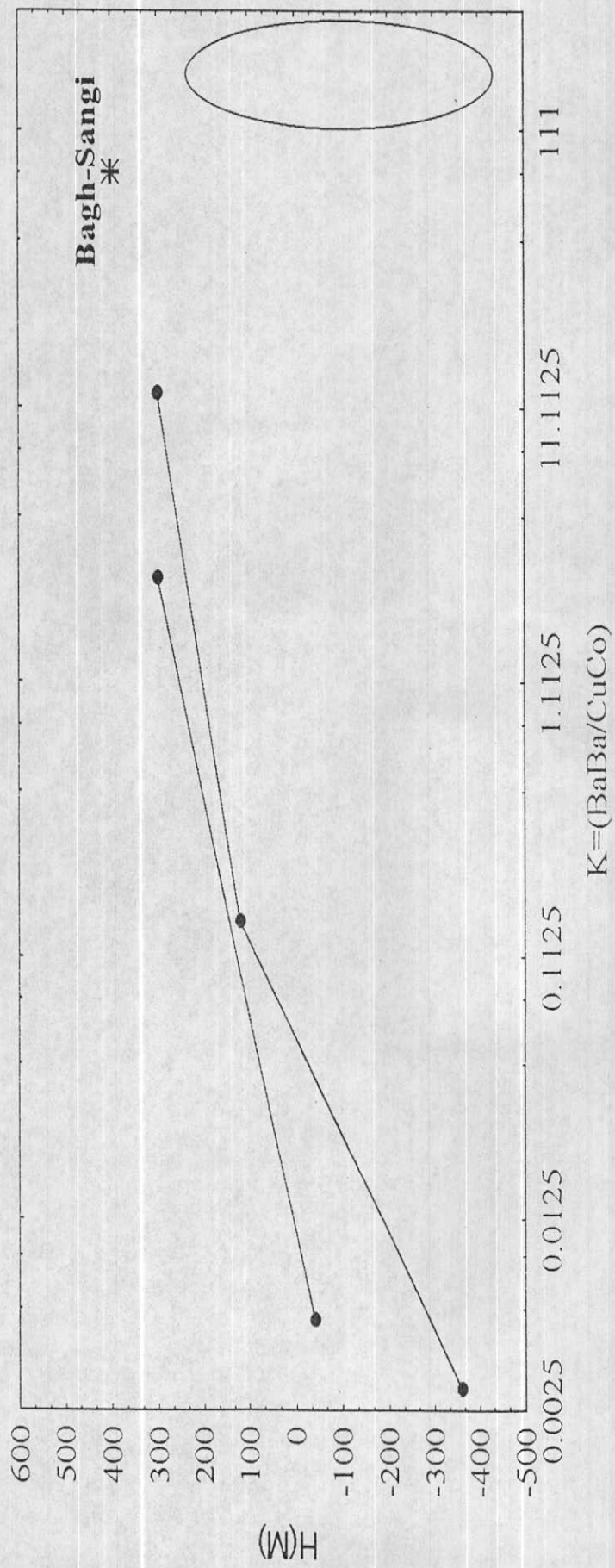


Fig.104 Superimposed curves of variation with depth of multiplicative zonality ratio for primary halos of polymetallic Kurusai deposit



یک اندیس آشکار از نوع تیپ زئوژیمیابی - کانی شناسی اسکارن پلی متال در بالای آبراهه شماره

۱-۴۶ می باشد.

طبق (شکل شماره ۲-۱۰۱) آنومالی || در آبراهه بند گرو (بالای آغل گوسنند) بطور احتمالی

مشخص شده که برای تعیین پارامترهای کمی آن نیازمند روش نمونه برداری به روش سیستماتیک

متالومتری و هاله ثانویه می باشد.

۱۱-۲-۲-نتایج

با توجه به اینکه مهمترین تیپ زئوژیمیابی - کانی شناسی مورد انتظار در اندیس باع سنگی تیپ

اسکارن پلی متال می باشد و زون گوسن مجاور آنومالی | براساس مقاطع صیقلی N_6 و بازدید

صرحایی بدون کانی سازی می باشد لذا گسترش زون گوسن بر امتداد شمال غرب بطرف جنوب

شرق در امتداد ساختار اندیس باع سنگی واقع شده است. داده های شاخص زوناییه $Ba.Ba/Cu.Co$

در پروفیل فرعی ۳-۲ به ۲-۱ مشخص کننده گسترش آنومالی پنهان ۱ به طرف زون گوسن می

باشد. این ایده در داده های ناحیه ای جدول ۲-۱۹ مورد بررسی قرار می گیرد. بر حسب مدل

ضربی $Ba.Ba/Co.Cu$ که در شکل (۲-۱۰۳) (طبق مدل معدن کورسای تاجیکستان) نسبت به تعیین

عمق کانی سازی محاسبه شده تغییرات این شاخص عنصری بین دو دامنه حداقل ۲۰ و حداقل

۰.۰۰۳۲ فرار گیرد. مقدار متوسط این شاخص در آنومالی | معادل کمتر از صد می باشد.

بنابراین طبق مدل حاصله از داده های معدن پلی متال کورسای عمقی در حدود ۵۰ الی ۱۰۰ متری تا

سطح کانی سازی پیش بینی می شود برای تعیین دقیق تر این عمق کانی سازی نمونه برداری از

آنومالی ا ضروری می باشد.

لازم به ذکر است عناصر شاخص و اصلی این آنومالی، روی، مس، کیالت، پیسموت، نقره و احتمالاً

سرب می باشد.

۱۲-۲-۲-پیشنهاد :

۱- نمونه برداری سیستماتیک از رسوبات آبراهه ای در امتداد شمال شرق اندیس باغ سنگی در بالا

دست نمونه ۱۶-۵۰ به تعداد ۵۰ نمونه.

۲- نمونه برداری سیستماتیک در شبکه 50×20 متر از نمونه شماره ۱۶ تا ۱۱ در محل قرارگیری

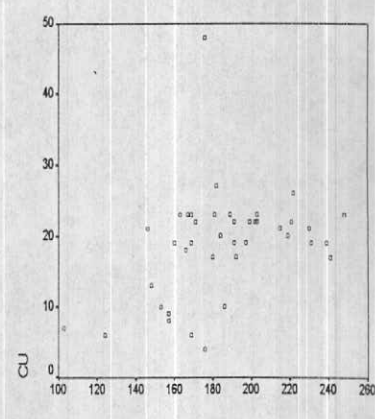
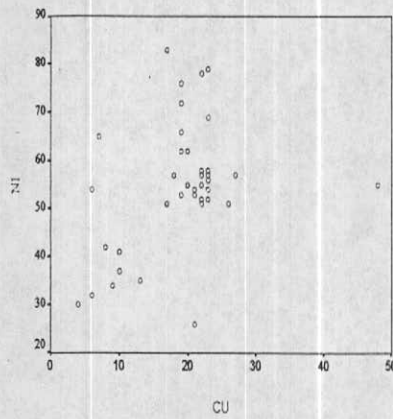
آنومالی ۱ (شکل ۱۰۱-۲).

۳- مطالعات کانی شناسی بر روی نمونه های کانی سازی شده برای عناصر طلا و پتاسیل آن در این

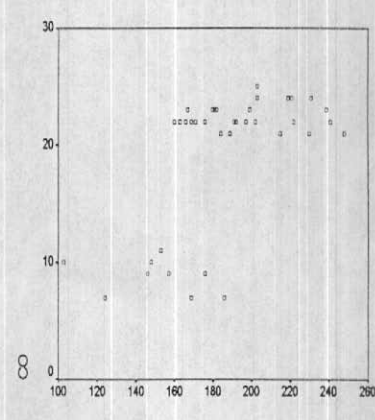
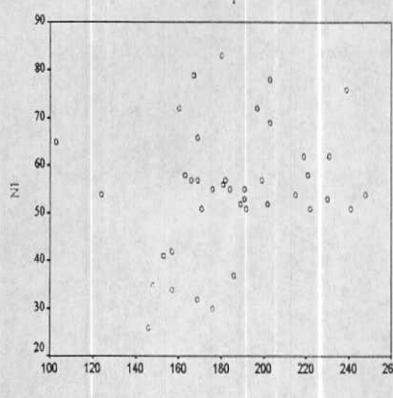
اندیس.

Table(2-27):Scatter Plots for Geochemical Variables(Bagh Sangi Area)

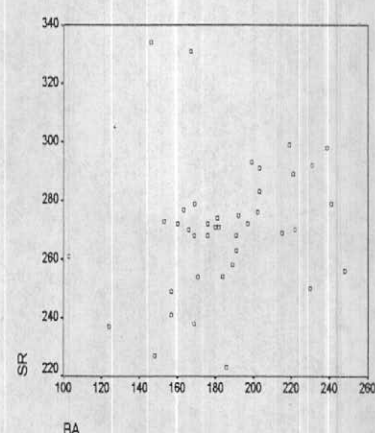
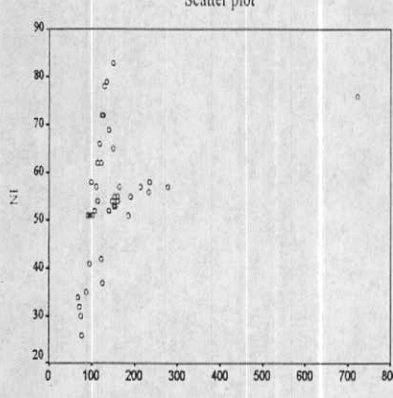
Scatter plot



Scatter plot



Scatter plot



Scatter plot

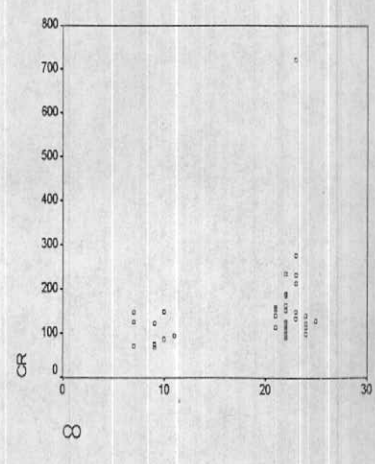
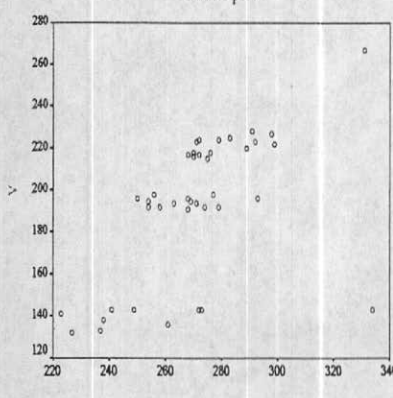
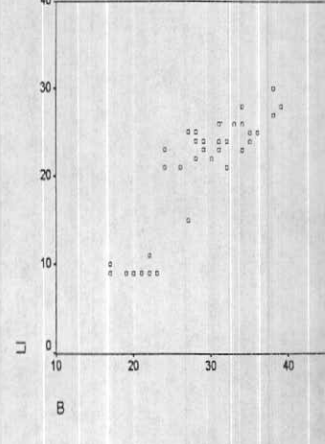
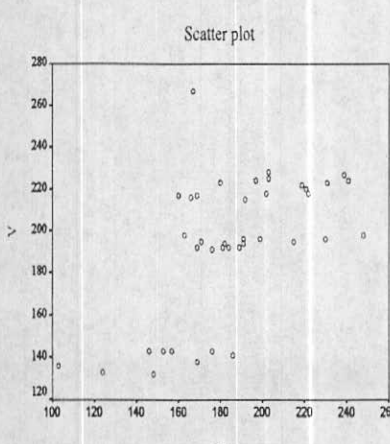
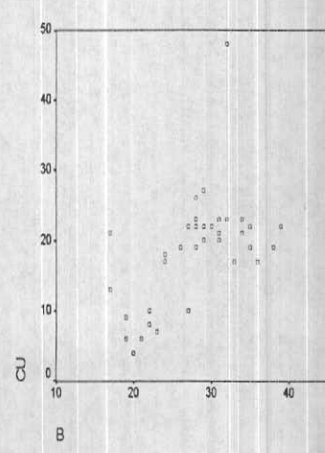
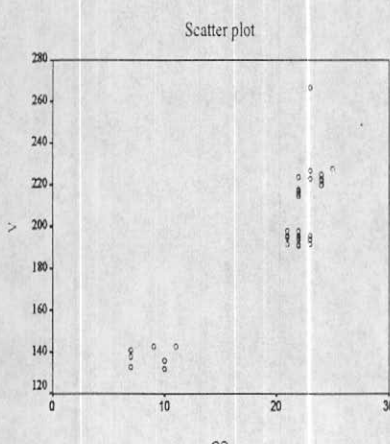
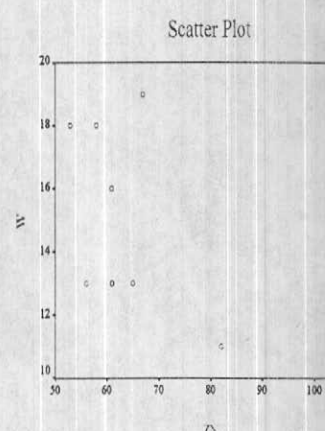
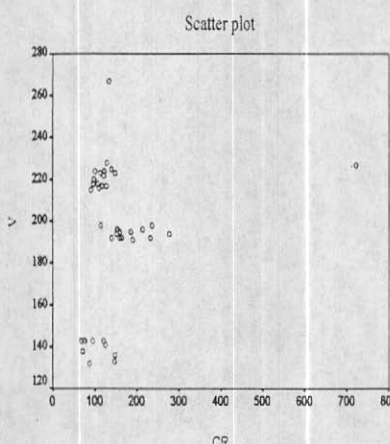
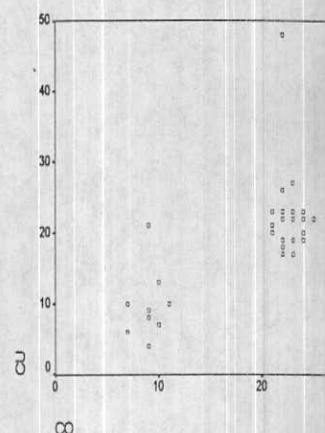
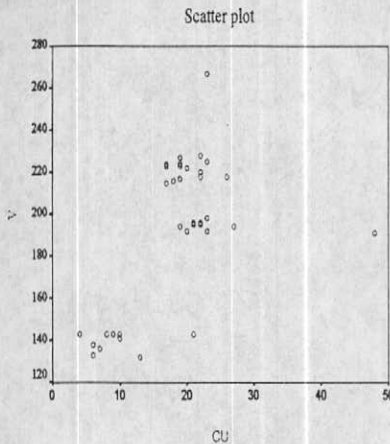
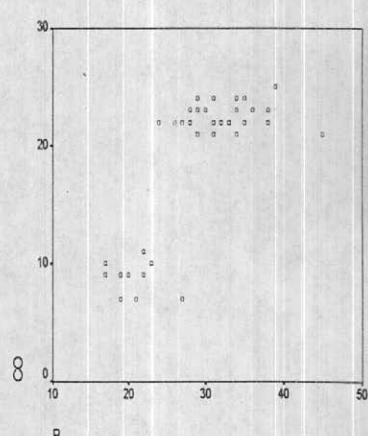
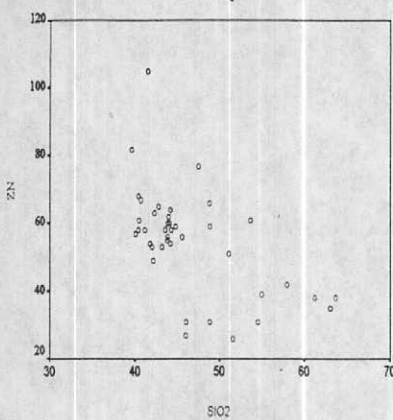


Table (2-28): Scatter Plots for Geochemical Variables(Bagh Sangi Area)

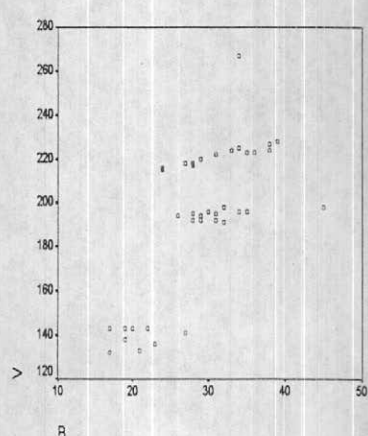
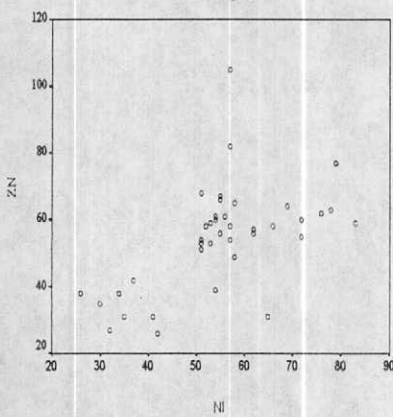


Table(2-20):Scatter Plots for Geochemical Variables(Bagh Sangi Area)

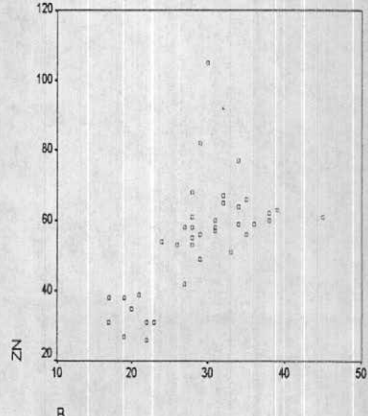
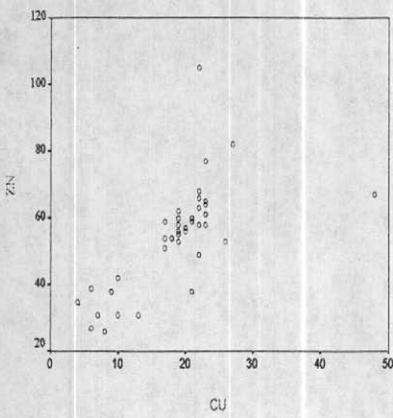
Scatter plot



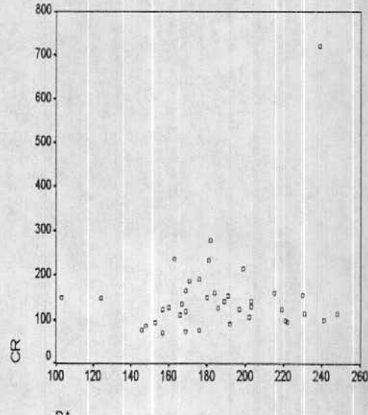
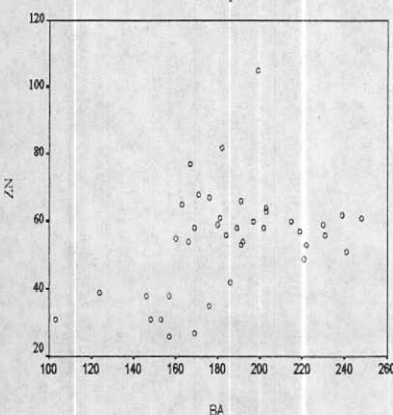
Scatter plot



Scatter plot



Scatter plot



No.	No.of	No.of	Coordinate(UTM)		Sio2	Al2o3	Fe2o3	Cao	Mgo	Mno	Tio2
	Field	Co.	x	y	(%)	(%)	(%)	(%)	(%)	(%)	(%)
1	1	79.AF.1	260900	3587341	53.7	10.9	3.5	13.1	1.6	0.05	0.67
2	2	79.AF.2	261548	3587077	40.7	8.9	3.1	20.9	1.6	0.05	0.61
3	3	79.AF.3	261623	3587039	40.5	8.9	3.1	21.4	1.5	0.05	0.60
4	4	79.AF.4	261693	3587036	42.8	9.2	3.3	21.2	1.8	0.06	0.65
5	5	79.AF.5	261745	3587025	42.0	8.2	2.9	21.6	1.7	0.05	0.60
6	6	79.AF.6	261802	3587044	43.9	9.3	3.1	19.5	1.7	0.05	0.64
7	7	79.AF.7	261836	3587068	48.8	10.1	3.3	17.0	1.7	0.05	0.65
8	8	79.AF.8	261876	3587088	44.3	9.4	3.1	18.3	1.6	0.05	0.63
9	9	79.AF.9	261941	3587154	39.6	8.8	3.2	22.4	1.9	0.05	0.61
10	10	79.AF.10	262023	3587194	43.9	8.7	3.0	19.4	1.7	0.05	0.61
11	11	79.AF.11	262086	3587164	40.4	8.8	3.0	21.2	1.7	0.05	0.60
12	12	79.AF.12	262138	3587210	41.5	8.8	3.2	22.7	1.9	0.06	0.63
13	13	79.AF.13	262157	3587293	40.4	8.8	3.1	20.4	2.1	0.05	0.61
14	14	79.AF.14	262201	3587346	48.9	9.8	3.3	16.4	1.5	0.06	0.66
15	15	79.AF.15	262212	3587384	45.6	10.0	2.8	21.9	1.9	0.06	0.63
16	16	79.AF.16	262210	3587434	40.1	9.5	2.8	24.8	2.0	0.07	0.61
17	17	79.AF.17	262180	3587486	42.2	9.2	2.6	24.8	1.5	0.07	0.58
18	18	79.AF.18	262133	3587515	43.2	9.1	2.5	21.7	1.8	0.06	0.58
19	19	79.AF.19	262079	3587516	41.8	8.5	2.3	23.3	1.9	0.06	0.54
20	20	79.AF.20	262018	3587529	41.2	9.3	2.6	23.5	1.8	0.06	0.57
21	21	79.AF.21	261981	3587569	42.3	10.8	3.1	19.8	2.1	0.06	0.64
22	22	79.AF.22	261931	3587622	44.2	10.4	3.0	19.7	2.3	0.06	0.64
23	23	79.AF.23	261894	3587663	44.2	8.0	2.4	20.5	1.7	0.06	0.56
24	24	79.AF.24	261876	3587725	43.6	8.7	2.6	20.2	2.3	0.06	0.58
25	25	79.AF.25	261853	3587791	43.8	8.8	2.6	20.7	2.1	0.06	0.58
26	26	79.AF.26	261856	3587844	44.8	9.9	2.9	20.5	2.6	0.06	0.64
27	27	79.AF.27	261839	3587893	44.1	12.0	2.9	18.4	2.0	0.06	0.64
28	28	79.AF.28	261820	3587944	44.0	11.3	3.1	18.2	2.2	0.07	0.66
29	a1-1	79.AF.29	262135	3587130	51.1	11.0	2.9	15.5	1.8	0.06	0.64
30	a1-2	79.AF.30	262174	3587092	46.0	8.8	1.4	12.2	1.0	0.05	0.57
31	a2-1	79.AF.31	262048	3587427	63.7	10.5	1.8	8.7	1.3	0.05	0.61
32	a2-2	79.AF.32	262076	3587364	61.3	11.0	1.9	8.5	1.5	0.05	0.59
33	a2-3	79.AF.33	262129	3587320	63.1	10.2	1.7	9.3	1.5	0.05	0.60
34	a3-1	79.AF.34	262207	3587237	46.1	8.1	1.6	18.0	2.2	0.05	0.60
35	a4-1	79.AF.35	262206	3587510	51.6	7.7	1.6	16.3	2.3	0.05	0.62
36	a6-1	79.AF.36	262010	3587644	54.6	8.0	1.5	15.8	1.5	0.04	0.58
37	Z1	79.AF.37	261702	3588262	47.5	10.1	2.9	18.0	3.4	0.04	0.63
38	Z2	79.AF.38	261735	3588201	55.0	7.8	1.7	14.0	2.8	0.04	0.61
39	Z3	79.AF.39	261751	3588110	48.9	7.7	1.6	15.7	3.3	0.04	0.60
40	Z4	79.AF.40	261773	3588018	58.0	9.1	1.8	11.3	2.2	0.05	0.65

جدول ٣٠-٢

No.	No.of	No.of	Coordinate(UTM)		P2o5	Ag	As	B	Ba	Be	Bi
	Field	Co.	x	y	(%)	(ppm)	(ppm)	(ppm)	(ppm)	(ppm)	(ppm)
1	1	79.AF.1	260900	3587341	0.09	<1	<20	45	248	2	<10
2	2	79.AF.2	261548	3587077	0.08	<1	<20	32	176	<2	<10
3	3	79.AF.3	261623	3587039	0.08	<1	<20	28	181	<2	<10
4	4	79.AF.4	261693	3587036	0.08	1.2	<20	32	163	<2	<10
5	5	79.AF.5	261745	3587025	0.09	1.5	<20	26	191	<2	<10
6	6	79.AF.6	261802	3587044	0.09	<1	<20	31	215	<2	<10
7	7	79.AF.7	261836	3587068	0.08	<1	<20	35	191	<2	<10
8	8	79.AF.8	261876	3587088	0.08	<1	<20	31	189	<2	<10
9	9	79.AF.9	261941	3587154	0.09	<1	<20	29	182	<2	<10
10	10	79.AF.10	262023	3587194	0.09	<1	<20	29	184	<2	<10
11	11	79.AF.11	262086	3587164	0.08	1.6	<20	28	171	<2	<10
12	12	79.AF.12	262138	3587210	0.09	<1	<20	30	199	<2	<10
13	13	79.AF.13	262157	3587293	0.08	<1	<20	31	169	<2	<10
14	14	79.AF.14	262201	3587346	0.09	<1	<20	34	230	<2	<10
15	15	79.AF.15	262212	3587384	0.09	<1	<20	35	231	<2	<10
16	16	79.AF.16	262210	3587434	0.09	<1	<20	31	219	<2	<10
17	17	79.AF.17	262180	3587486	0.09	<1	<20	29	221	<2	<10
18	18	79.AF.18	262133	3587515	0.09	<1	<20	28	222	<2	<10
19	19	79.AF.19	262079	3587516	0.09	<1	<20	24	192	<2	<10
20	20	79.AF.20	262018	3587529	0.09	<1	<20	27	202	<2	<10
21	21	79.AF.21	261981	3587569	0.10	<1	<20	39	203	<2	<10
22	22	79.AF.22	261931	3587622	0.10	<1	<20	34	203	<2	<10
23	23	79.AF.23	261894	3587663	0.10	<1	<20	24	166	<2	<10
24	24	79.AF.24	261876	3587725	0.10	<1	<20	28	169	<2	<10
25	25	79.AF.25	261853	3587791	0.09	<1	<20	28	160	<2	<10
26	26	79.AF.26	261856	3587844	0.10	<1	<20	36	180	<2	<10
27	27	79.AF.27	261839	3587893	0.10	<1	<20	38	197	<2	<10
28	28	79.AF.28	261820	3587944	0.10	<1	<20	38	239	<2	<10
29	a1-1	79.AF.29	262135	3587130	0.09	<1	<20	33	241	<2	<10
30	a1-2	79.AF.30	262174	3587092	0.09	<1	<20	19	169	<2	<10
31	a2-1	79.AF.31	262048	3587427	0.09	<1	<20	19	157	<2	<10
32	a2-2	79.AF.32	262076	3587364	0.09	<1	<20	17	146	<2	<10
33	a2-3	79.AF.33	262129	3587320	0.08	<1	<20	20	176	<2	<10
34	a3-1	79.AF.34	262207	3587237	0.08	<1	<20	22	153	<2	<10
35	a4-1	79.AF.35	262206	3587510	0.09	<1	<20	22	157	<2	<10
36	a6-1	79.AF.36	262010	3587644	0.09	<1	<20	17	148	<2	<10
37	Z1	79.AF.37	261702	3588262	0.11	<1	<20	34	167	<2	<10
38	Z2	79.AF.38	261735	3588201	0.09	<1	<20	21	124	<2	<10
39	Z3	79.AF.39	261751	3588110	0.09	<1	<20	23	103	<2	<10
40	Z4	79.AF.40	261773	3588018	0.09	<1	<20	27	186	<2	<10

جدول ٢-٣

No.	No.of	No.of	Coordinate(UTM)	Cd	Co	Cr	Cu	Li	Mo	Ni
	Field	Co.	x	y	(ppm)	(ppm)	(ppm)	(ppm)	(ppm)	(ppm)
1	1	79.AF.1	260900	3587341	<2	21	114	23	25	<5 54
2	2	79.AF.2	261548	3587077	<2	22	191	48	21	<5 55
3	3	79.AF.3	261623	3587039	<2	23	233	23	22	<5 56
4	4	79.AF.4	261693	3587036	<2	22	236	23	24	<5 58
5	5	79.AF.5	261745	3587025	<2	22	152	19	21	<5 53
6	6	79.AF.6	261802	3587044	<2	21	160	21	24	<5 54
7	7	79.AF.7	261836	3587068	<2	22	153	22	24	<5 55
8	8	79.AF.8	261876	3587088	<2	21	140	23	23	<5 52
9	9	79.AF.9	261941	3587154	<2	23	278	27	23	<5 57
10	10	79.AF.10	262023	3587194	<2	21	160	20	24	<5 55
11	11	79.AF.11	262086	3587164	<2	22	186	22	25	<5 51
12	12	79.AF.12	262138	3587210	<2	23	214	22	22	<5 57
13	13	79.AF.13	262157	3587293	<2	22	164	23	24	<5 57
14	14	79.AF.14	262201	3587346	<2	21	155	21	23	<5 53
15	15	79.AF.15	262212	3587384	<2	24	113	19	25	<5 62
16	16	79.AF.16	262210	3587434	<2	24	122	20	26	<5 62
17	17	79.AF.17	262180	3587486	<2	24	99	22	23	<5 58
18	18	79.AF.18	262133	3587515	<2	22	96	26	24	<5 51
19	19	79.AF.19	262079	3587516	<2	22	91	17	23	<5 51
20	20	79.AF.20	262018	3587529	<2	22	107	22	25	<5 52
21	21	79.AF.21	261981	3587569	<2	25	129	22	28	<5 78
22	22	79.AF.22	261931	3587622	<2	24	140	23	28	<5 69
23	23	79.AF.23	261894	3587663	<2	22	110	18	21	<5 57
24	24	79.AF.24	261876	3587725	<2	22	118	19	22	<5 66
25	25	79.AF.25	261853	3587791	<2	22	127	19	24	<5 72
26	26	79.AF.26	261856	3587844	<2	23	149	17	25	<5 83
27	27	79.AF.27	261839	3587893	<2	22	123	19	27	<5 72
28	28	79.AF.28	261820	3587944	<2	23	722	19	30	<5 76
29	a1-1	79.AF.29	262135	3587130	<2	22	101	17	26	<5 51
30	a1-2	79.AF.30	262174	3587092	<2	7	72	6	<10	<5 32
31	a2-1	79.AF.31	262048	3587427	<2	9	69	9	<10	<5 34
32	a2-2	79.AF.32	262076	3587364	<2	9	77	21	<10	<5 26
33	a2-3	79.AF.33	262129	3587320	<2	9	75	<5	<10	<5 30
34	a3-1	79.AF.34	262207	3587237	<2	11	95	10	11	<5 41
35	a4-1	79.AF.35	262206	3587510	<2	9	122	8	<10	<5 42
36	a6-1	79.AF.36	262010	3587644	<2	10	87	13	10	<5 35
37	Z1	79.AF.37	261702	3588262	<2	23	134	23	26	<5 79
38	Z2	79.AF.38	261735	3588201	<2	7	147	6	<10	<5 54
39	Z3	79.AF.39	261751	3588110	<2	10	149	7	<10	<5 65
40	Z4	79.AF.40	261773	3588018	<2	7	125	10	15	<5 37

جدول ٣٠-٢

No.	No.of	No.of	Coordinate(UTM)		Sb (ppm)	Sn (ppm)	Sr (ppm)	V (ppm)	W (ppm)	Zn (ppm)
	Field	Co.	x	y						
1	1	79.AF.1	260900	3587341	<10	<10	256	198	16	61
2	2	79.AF.2	261548	3587077	<10	<10	268	191	19	67
3	3	79.AF.3	261623	3587039	<10	<10	274	192	13	61
4	4	79.AF.4	261693	3587036	<10	<10	277	198	13	65
5	5	79.AF.5	261745	3587025	<10	<10	263	194	18	53
6	6	79.AF.6	261802	3587044	<10	<10	269	195	<10	60
7	7	79.AF.7	261836	3587068	<10	<10	268	196	<10	66
8	8	79.AF.8	261876	3587088	<10	<10	258	192	<10	58
9	9	79.AF.9	261941	3587154	<10	<10	271	194	11	82
10	10	79.AF.10	262023	3587194	<10	<10	254	192	13	56
11	11	79.AF.11	262086	3587164	<10	<10	254	195	<10	68
12	12	79.AF.12	262138	3587210	<10	<10	293	196	13	105
13	13	79.AF.13	262157	3587293	<10	<10	279	192	18	58
14	14	79.AF.14	262201	3587346	<10	<10	250	196	<10	59
15	15	79.AF.15	262212	3587384	<10	<10	292	223	<10	56
16	16	79.AF.16	262210	3587434	<10	<10	299	222	<10	57
17	17	79.AF.17	262180	3587486	<10	<10	289	220	<10	49
18	18	79.AF.18	262133	3587515	<10	<10	270	218	<10	53
19	19	79.AF.19	262079	3587516	<10	<10	275	215	<10	54
20	20	79.AF.20	262018	3587529	<10	<10	276	218	<10	58
21	21	79.AF.21	261981	3587569	<10	<10	291	228	<10	63
22	22	79.AF.22	261931	3587622	<10	<10	283	225	<10	64
23	23	79.AF.23	261894	3587663	<10	<10	270	216	<10	54
24	24	79.AF.24	261876	3587725	<10	<10	268	217	<10	58
25	25	79.AF.25	261853	3587791	<10	<10	272	217	<10	55
26	26	79.AF.26	261856	3587844	<10	<10	271	223	<10	59
27	27	79.AF.27	261839	3587893	<10	<10	272	224	<10	60
28	28	79.AF.28	261820	3587944	<10	<10	298	227	<10	62
29	a1-1	79.AF.29	262135	3587130	<10	<10	279	224	<10	51
30	a1-2	79.AF.30	262174	3587092	<10	<10	238	138	<10	27
31	a2-1	79.AF.31	262048	3587427	<10	<10	249	143	<10	38
32	a2-2	79.AF.32	262076	3587364	<10	<10	334	143	<10	38
33	a2-3	79.AF.33	262129	3587320	<10	<10	272	143	<10	35
34	a3-1	79.AF.34	262207	3587237	<10	<10	273	143	<10	31
35	a4-1	79.AF.35	262206	3587510	<10	<10	241	143	<10	26
36	a6-1	79.AF.36	262010	3587644	<10	<10	227	132	<10	31
37	Z1	79.AF.37	261702	3588262	<10	<10	331	267	<10	77
38	Z2	79.AF.38	261735	3588201	<10	<10	237	133	<10	39
39	Z3	79.AF.39	261751	3588110	<10	<10	261	136	<10	31
40	Z4	79.AF.40	261773	3588018	<10	<10	223	141	<10	42

جدول - ٢٠

مطالعات زئو شیمیایی به منظور اکتشاف کرومیت

۳-۲ - معرفی اندیس‌های کنیف و چاه پنچ سر

۱-۳-۲ - مقدمه

یکی از اهداف اکتشافی در مطالعات زئو شیمیایی منطقه تعیین نواحی امید بخش به منظور اکتشاف کانسارکرومیت در دوره مهرو دوبرنک می‌باشد. لایه‌های اطلاعاتی که در این قسمت از مطالعات مورد استفاده قرار گرفته عبارتست از:

۱ - اطلاعات سنجنده TM در ۷ باند

۲ - نواحی معرفی شده در گزارش بی - آر - جی - ام بعنوان اندیس کرومیت

۳ - جمع آوری اطلاعات محلی

مناطق معرفی شده در هر یک از موارد فوق مورد بازدید قرار گرفته و مشخصات اولیه مناطق مانند واحدهای زمین شناسی منطقه، سنگ شناسی، تپوپوگرافی، سیستم آبراهه و خصوصاً محل اندیس‌های کرومیتی معرفی شده ایکه گزارش بی آر جی ام مشخص کرده بود جزء اهداف این قسمت از کار قرار گرفت.

نهایتاً تلفیق اطلاعات کنترل شده مناطق مورد نمونه برداری معرفی شده است. لازم بذکر است هدف از نمونه برداری آبراهه‌ای و کانی سنگین در این مناطق تعیین آنومالی کروم بود. بطوریکه بتوان با تعیین روند غنی شدگی کروم در نقشه‌های نمادین در صورت وجود، به آنها دستیابی و یا حداقل نزدیک شویم. لذا در بعضی مناطق که اندیس کرومیت مشخص و آشکاربوده نمونه برداری آبراهه‌ای و کانی سنگین انجام نشده است مثل اندیس مهدی نژاد در چاه زالک، بطوریکه فقط این اندیس در نقشه

نهایی تعیین محل و مستقیما برای ارزیابی فنی اقتصادی و محاسبه حجم ذخیره پیشنهاد می شود در ذیل

نتایج حاصل از هر کدام از لایه های اطلاعاتی را مختصرآورده ایم:

۱- اطلاعات سنجنده TM لندهست ۵

پردازش اطلاعات سنجنده TM در ۷ باند طول موجی در کانالهای RGB (ترتیب قرمز، سبز و آبی) در

مناطق مورد مطالعه انجام گرفته است هدف از پردازش این نوع از اکتشافات تعیین واحد های محدوده

های سنگ درونگیر عدسی های کرومیتی بوده است.

در تصاویر ماهواره ای نوار افیولیتی در محدوده مورد مطالعه که عموما بازتاب رنگ سبز نایابی را از

خود نشان میدهد به خوبی خود را نسبت به دیگر واحد های زمین شناسی خصوصا در ترکیب باندهای ۵،

۲- در کانالهای R,G,B مجزا می کند.

اما آنچه بعنوان نتیجه بررسی های دور سنجی حاصل شده تقسیم بندی سنگهای اولترابازیک به دو

زیرگروه سنگی بترتیب از سرپانتینیت تا لرزولیت و لرزولیت تا هارزبورزیت است.

از آنجاییکه وابستگی کانسارها و عدسی های کرومیتی عموما با سنگ درونگیر دونبی است لذا می

توان با حذف سنگهای هارزبورزیتی مناطق گسترده ای از پی جویی و پتانسیل یا بی کرومیت حذف

کرد. سنگهای هارزبورزیتی که عموما در منطقه برزیتی نیز میباشند دارای بازتاب رنگ سبز تیره تری

در تصاویر ماهواره ای هستند در حالیکه سنگهای سرپانتینیت بازتاب رنگ قهوه ای را از خود نشان

میدهند و با توجه به قرار گرفتن عدسی های کرومیتی در گروه بندی سرپانتینیت- لرزولیت می توان

مناطق امید بخش را برای کانسارهای کرومیت دار معرفی کرد.

۲- نواحی معرفی شده در گزارش بی - آر - جی - ام

در گزارش بی - آر - جی - ام چهار گوش ۱:۲۵۰۰۰ گزیگ از لحاظ اندیس های کرومیت نیز

موربد بررسی قرار گرفته است ویک فصل را بنام رخمنوهای کرومیت به خود اختصاص داده است. در

این گزارش آنچه که بعنوان کلیات کانساری از کرومیت ذکر شده عبارت از تعلق اینکانسارهای رخساره

های الترباژیکی و قرارگیری سنگهای درونگیر کرومیت در انتهای ردیف کمپلکس های افیولیتی

منطقه می باشد. همچنین برای اکتشاف کرومیت در این منطقه به دو نیت های هوازده و غیر نازه

وسرپانه ای هانیزاشاره شده است. همچنین نوار منیزیتی را در این منطقه شاهدی برای سنگهای

اولتراباژیک و نهایتا کرومیت ذکر کرده است.

نهایتا گزارش بی - آر - جی - ام بعد از ذکر رخنمونهای متعدد از کرومیت در منطقه در رخنمون زیر

را معرفی میکند.

۱- رخنمون مزرعه با شماره ۳۲ با مختصات "۱۵؛ ۱۸؛ ۳۰؛ ۶۰" که نمونه هایی ژئوشیمیایی آن تا

۳۰۰۰ ppm با اکسید منیزیم بیش از ۱۰٪ اندازه گیری شده است.

۲- اندیس چاه پنج سر

به مختصات "۴۵؛ ۲۷؛ ۳۶" و "۳۰؛ ۱۷؛ ۲۰" و شماره رخنمون ۳۳ که در ۲۰ کیلومتری شمال جاده

بیرجند- درح واقع شده و این موقعیت را برای هونتیت و منیریت نیز پیشنهاد کرده است. کتابت

سرپانه ای کرومیت و آثار مترادف گابریو بر روی آن نیز جزو مشخصات این اندیس ذکر شده است.

۳- اطلاعات محلی

اطلاعات گزارش بی - آر - جی - ام گرچه به زمان خود جامع بنظر میرسد ولی با توجه به گذشت ۲۵

سال از این مطالعات نمی تواند حتی به همراه اطلاعات دورسنجی برای یک پژوهه ارزیابی کامل

باشد. لذا بعد از پردازش مجدد اطلاعات بی - آر - جی - ام و اضافه کردن اطلاعات دورسنجی

از اندیس های محدوده های اکتشافی که در چند سال اخیر در اداره معدن و فلزات شهرستان بیرجند ثبت

شده است صورت گرفته است اندیس هایی چون چاه زالک در جنوب غربی روستای درح از

جمله مناطق مشخص شده در این مرحله است.

۲- ۳- ۲- تلفیق اطلاعات

همانطور که ذکر شد برای مشخص شدن تمرکز کار مطالعات ژئوشیمیابی برای کارهای کرومیت

بعد از پردازش مجدد اطلاعات بی - آر - جی - ام مناطق معرفی شده بر روی تصاویر ماهاواره ای

مدلسازی شده و مناطق مشابه به لحاظ تصویری ، الگوی بافتی و ساختی الگوهای آبراهه ای ...

تعیین یافته است. سپس این مناطق مورد کنترل زمینی قرار گرفته و نهایتاً به همراه اطلاعات محلی

که همزمان با این مرحله از پردازه جمع آوری شده مورد تجزیه و تحلیل و امتیاز بندی قرار گرفته

است و نهایتاً مناطق ذیل معرفی شده است. ۱ - منطقه کنیف ۲ - منطقه چاه پنج سر ۳ - منطقه چاه

زالک (اندیس مهدی نژاد) ۴ - منطقه مالدار

۳-۳-۲ - موقعیت جغرافیایی و راههای دستیابی به مناطق کنیف ، چاه پنج سر و کلانه رشدید

محدوده های مطالعه شده بنامهای کنیف ، چاه پنج سر و کلانه رشدید به ابعاد حدودی 300×500 متر در موقعیت جغرافیایی نزدیک به $24^{\circ} 22' \text{ شمالی}$ و $18^{\circ} 10' \text{ شرقی}$ که محدوده دقیق آن طبق تقسیم بندی

UTM قرارداد ۱۹۲۴ در زون ۴۱ عبارت از ۳۵۸۷۵۰۰E نا ۲۴۸۵۰۰N میباشد. راه رسیدن

به محدوده کنیف از طریق روستای کنیف است که در جاده سربیشه به درج و ۲۰ کیلومتری روستای

درج واقع شده است. نقشه (۱-۲-۱۳۰) از لحاظ توبوگرافی این محدوده از غرب روستای کنیف

با شبیه ملایم شروع و به فاصله ۳ تا ۴ کیلومتری به رشتہ کوههای موازی باراستای شمالی - جنوبی با

ارتفاع نسبی کم ختم می شود.

محدوده دوم بنام چاه پنج سر در ۲ کیلومتری جنوب روستای چاه پنج سر قرار دارد. روستای چاه پنج

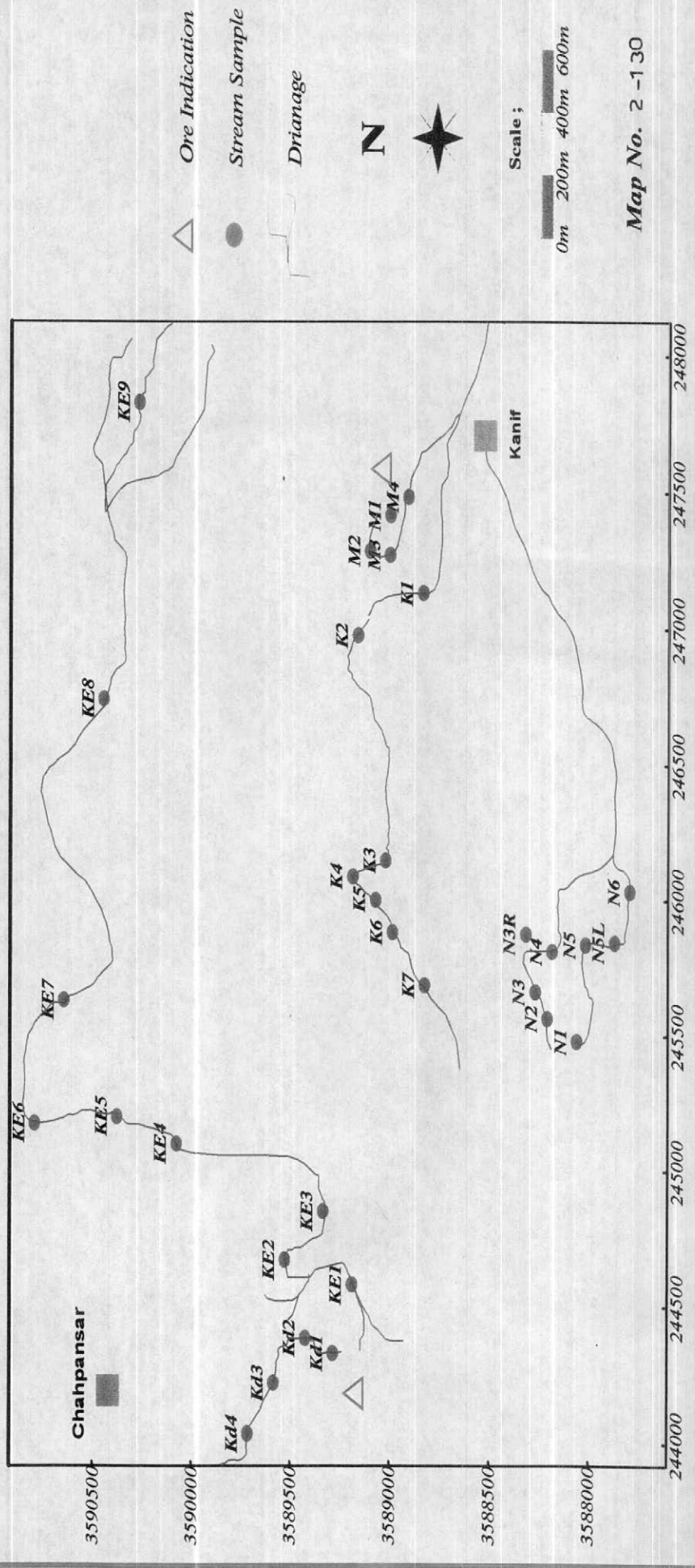
سر نیز در ۷ کیلومتری شمال غرب روستای کنیف واقع شده است و ارتفاعات شمالی و شمال غربی

. کنیف محسوب می شود.

به لحاظ آب و هوایی این منطقه گرم و خشک و آبراهه های آن نیز در اکثر ماههای سال بدون آب

می باشد.

Location Sampling in Kanif & Chahpangsar Area.



اندیس کلاته رشید نیز در این منطقه واقع شده که بعلت قرارگیری این اندیس در کنار آبگیر و یادگیر

کلاته رشید به این نام خوانده شده است.

۴-۳-۲ - محاسبه پارامترهای آماری

در اینجا از ساده ترین و در عین حال مهمترین محاسبات آماری بر روی داده های زنو شیمیابی در

درومنقه کنیف و چاه پنج سربه ترتیب با ۱۹ و ۱۳ نمونه آبراهه ای استفاده شده است. این محاسبات

عبارتند از مینیمم، ماکریم، میانگین، انحراف معیار، کشیدگی، چولگی که در جدول ۲۰-۲ آمده

است. همچنین با رسم نمودار Q-Q در این محاسبات می توان مقادیر داده ها را در برابر مقادیر

نرمال مورد انتظار آنها رسم کرد که اگر این نمودار بر روی یک خط راست قرار گیرد توزیع داده ها به

نرمال نزدیک می شود در غیر اینصورت فرض نرمال بودن داده ها رد می شود. با رسم نمودار P-P

می توان احتمال تجمعی مشاهدات را در برابر احتمالهای تجمعی مقادیر مورد انتظار از توزیع نرمال

رسم کرد که اگر این نقاط بر روی نیمساز مربعی با اصلاح واحد باشند داده ها توزیعی نرمال داشته در

غیر اینصورت نرمال نیستند.

بررسی آماره ها و نقشه های آنومالی تک متغیره

۱- کروم شکل (۱۰۵-۲)

طبق نمودار Q-Q و هیستوگرام مربوطه توزیع کرم در دومنقه کنیف و چاه پنج سر تقریبا نرمال

بوده و دامنه تغییرات آن بین ۱۵۰ تا ۵۰۰ گرم در تن می باشد. ضریب تغییرات آن حدود ۳۸٪

میباشد و بیشترین دامنه تغییرات آن حدود ۳۰۰ PPM است. انتشار کرم در منطقه چاه پنج سر بیشتر و بهتر

از منطقه کنیف دیده شده است که این مطلب را پراکندگی کانی سنگین کرومیت در منطقه تایید می

کند. بیشترین تمرکز نمونه های آبراهه ای حول نمونه های kd4 تا kd1 و KE1 تا KE6 می

Table2.20:Statistical Parameters for Elements in Kanif and Chahpangsar Area.

Statistics

	<i>CU</i>	<i>PB</i>	<i>ZN</i>	<i>AG</i>	<i>SN</i>	<i>B</i>	<i>N</i>	<i>CR</i>	<i>CO</i>	<i>BA</i>	<i>MN</i>
<i>N</i>	32	32	32	32	32	32	32	32	32	32	32
<i>Valid</i>	0	0	0	0	0	0	0	0	0	0	0
<i>Missing</i>	30.625	14.716	65.125	8.02E-02	2.541	22.969	249.031	414.688	27.781	283.125	669.063
<i>Mean</i>	30.000	10.000	60.000	7.90E-02	2.600	22.600	260.000	375.000	27.000	265.000	650.000
<i>Median</i>	6.729	11.450	17.520	1.05E-02	.321	7.329	84.411	159.697	5.785	57.104	92.156
<i>Std. Deviation</i>	32.823	131.100	306.952	1.10E-04	.103	63.709	7125.257	25603.1	33.467	3260.887	8492.641
<i>Variance</i>	-4.18	2.617	2.039	.611	-1.048	.003	-431	.504	-.047	.595	.416
<i>Skewness</i>	-1.63	6.066	3.734	.861	2.085	-.613	-.460	-.480	-.925	-.136	-.493
<i>Kurtosis</i>	20.0	7.1	44.0	.06	1.5	11.0	71.0	150.0	16.0	180.0	460.0
<i>Minimum</i>	44.0	56.0	115.0	.11	3.0	38.0	380.0	800.0	37.0	420.0	880.0
<i>Maximum</i>	25.000	8.600	56.000	7.18E-02	2.326	18.250	190.000	310.000	23.250	240.000	610.000
<i>Percentiles</i>	75	34.000	14.000	65.500	8.80E-02	2.800	28.750	300.000	550.000	320.000	720.000

Statistics

<i>N</i>	<i>Valid</i>	<i>SB</i>	
	<i>Missing</i>	32	32
<i>Mean</i>	7.4119	0	0
<i>Median</i>	6.3250	1.2850	
<i>Std. Deviation</i>	2.8119	.6354	
<i>Variance</i>	7.9070	.4038	
<i>Skewness</i>	1.033	1.188	
<i>Kurtosis</i>	.758	2.199	
<i>Minimum</i>	4.05	.38	
<i>Maximum</i>	15.50	3.47	
<i>Percentiles</i>	25	5.0600	1.0100
	75	8.8875	1.6800

باشد. تمرکز های بالای کانی سنگین کرومیت در نمونه های KE2 و KE4 و KE6 واقع شده

است. که این نشان دهنده غنی شدگی عنصر کروم در محدوده نمونه های یاد شده و انتباطق نتیجه مشابه در نمونه های کانی سنگین در مقایسه با نمونه های آبراهه است.

۲- بنکل (شکل ۱۰۶-۲)

طبق نمودار P-P، Q-Q و هیستوگرام، توزیع این عنصر چولگی منفی داشته و دامنه تغییرات آن بین ۷۱ تا ۲۸۰ گرم در تن می باشد. دارای ضریب تغییرات ۳۴٪ بوده و حد اکثر دامنه تغییرات آن حدود ۳۰۰ گرم در تن است.

بیشترین تمرکز در نمونه های N1 و N6 و N7 در منطقه کنیف و نمونه های KE0، KE1،

Kd1، Kd2، Kd3 در منطقه چاه پنج سر مشاهده شده است.

۳- کبالت (شکل ۱۰۷ - ۲)

بانوچه به نمودارهای P-P، Q-Q و هیستوگرام توزیع عنصر کبالت یک توزیع تقریبا نرمال دارد که دامنه تغییرات آن بین ۱۶ تا ۳۷ گرم در تن می باشد ضریب تغییرات آن ۲۰٪ است بیشترین دامنه تغییرات آن بین ۲۵ PPM است. بیشترین تمرکز حول نمونه های N1 و N6 و KD3 و KE1 و Kd1 و N3L و NSL می باشد.

۴- منگنز (شکل ۱۰۸ - ۲)

طبق نمودار P-P، Q-Q و همینطور هیستوگرام منگنز، توزیعی نرمال داشته و دامنه تغییرات آن بین ۴۶ تا ۸۸ PPM است که بیشترین دامنه تغییرات آن حدود ۶۵ PPM است و دارای ضریب

تغییرات ۱۳٪ است. بیشترین تمرکز حول نمونه های N5 تا N1 در منطقه کنیف و نمونه Kd4 در منطقه چاه پنج سر مشاهده شده است.

۵- مس (شکل ۲-۱۰۸)

طبق نمودار Q-Q، توزیعی تقریباً غیر نرمال داشته و دامنه تغییرات آن بین ۴۴تا ۲۰ ppm است. دارای ضریب تغییرات ۲۰ درصد است. در منطقه کنیف تمرکز مس بیشتر از منطقه چاه پنج سر است. تمرکز بیشتر در نمونه های N3,N5L مشاهده شده است.

۶- روی (شکل ۲-۱۰۵)

در درمنطقه مورد مطالعه با توجه به نمودار آماری این عنصر توزیعی غیرنرمال با چولگی مثبت مشاهده شده است. دامنه تغییرات بین ۴۴ تا ۱۱۵ ppm است و دارای ضریب تغییرات ۲۷ درصد است و بیشترین دامنه تغییرات آن حدود ۶۰ ppm می باشد. بیشترین تمرکز حول نمونه های M4,N3R و N5L در منطقه کنیف و نمونه Kd4 در منطقه چاه پنج سر می باشد.

۷- بروباریم (شکل ۲-۱۰۹)

با توجه به نمودارهای آماری و همینطور نقشه های نمادین این در عنصر باریم دارای توزیع تقریباً لاغ نرمال و بر توزیع تقریباً نرمال دارد دامنه تغییرات برای عنصر باریم و بر به ترتیب ۱۸۰ و ۱۱ تا ۳۸ گرم در تن بوده است. ضریب تغییرات باریم ۲۰٪ و بر ۳۲٪ می باشد. بیشترین تمرکز باریم در منطقه کنیف حواشی نمونه های K1-K4 و M1-M3 و N5L می باشد و در منطقه چاه پنج سر در نمونه های KE5, KE6, KE8 و KE9 دیده شده است و همینطور

تمرکز بالای عنصربر در نمونه های K4-M1-N5L و M3-K1 قرار دارد که یک همبستگی مثبت تری

بین این دو عنصر مشاهده می شود.

۸- عنصر S, Ag, Pb اشکال (۱۰۹-۲ و ۱۰۶-۲ و ۱۱۰-۲)

با توجه به نمودارهای آماری و همینظر نقشه های نمادین این عناصر سرب دارای توزیع لاغ نرمال با چولگی مثبت و دو عنصر قلع و نقره توزیعی نرمال دارند. دارای ضریب تغییراتی به

ترتیب ۷/۸٪، ۱۰٪ و ۱۲٪ برای عناصر سرب، قلع و نقره است. غلظت نقره در منطقه در حد

زمینه جهانی می باشد که دارای حد اکثر مقدار ۰/۱۱ ppm است. غلظت قلع هم که دامنه تغییرات آنها

بین ۲ تا ۳ ppm است در حد زمینه مناسب منطقه اعم از گالبرونا سرپانتین میباشد. غلظت سرب که

دامنه تغییرات آن بین ۷ تا ۵۶ گرم در تن است می تواند در این تیپ سنگها مورد توجه واقع شود

. مهمترین تمرکز سرب در نمونه های N5L, N3R, M4, M1, K3 مشاهده می شود.

۲-۳-۵- تجزیه و تحلیل دو متغیره عناصر

۱- بررسی همبستگی میان داده های ژئوشیمیابی

برای بهتر مشخص شدن تغییرات یک عنصر نسبت به عنصر دیگر میتوان از همبستگی گرافیکی عناصر استفاده کرد. شکل (۱۱۲-۲) در این شکل واستگی مثبت شدیدی بین Sb, AS و همینظر

Mn, Cr, Ni, Co دیده میشود. همینظر می توان ارتباطی بین Mn, Cr در جهت هم دید. سرب و روی هم

مخصوصا در غلظتها بالا همبستگی خوبی نشان می دهند و بین Co, Ni, Cr می توان ارتباط

مشاهده کرد.

Statistics

ZN

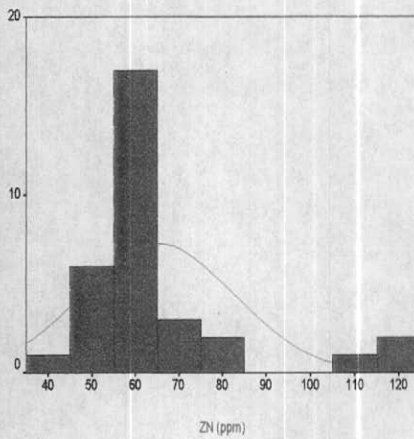
N	Valid	32
	Missing	0
Mean		65.125
Median		60.000
Std. Deviation		17.520
Variance		306.952
Skewness		2.039
Kurtosis		3.734
Minimum		44.0
Maximum		115.0

Statistics

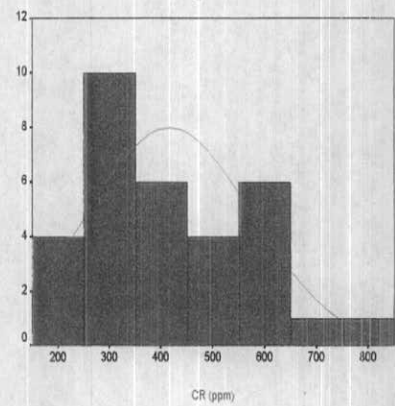
CR

N	Valid	32
	Missing	0
Mean		414.688
Median		375.000
Std. Deviation		159.697
Variance		25503.125
Skewness		.504
Kurtosis		-.480
Minimum		150.0
Maximum		800.0

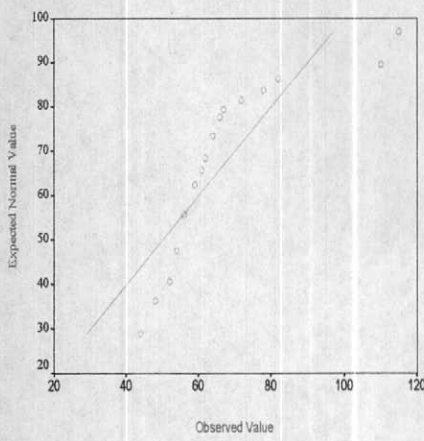
Histogram of Zn



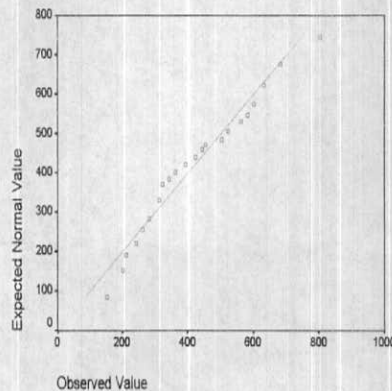
Histogram of Cr



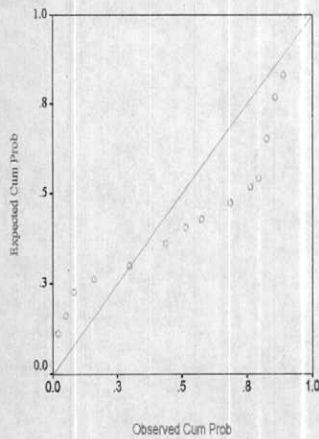
Normal Q-Q Plot of ZN



Normal Q-Q Plot of CR



Normal P-P Plot of ZN



Normal P-P Plot of CR

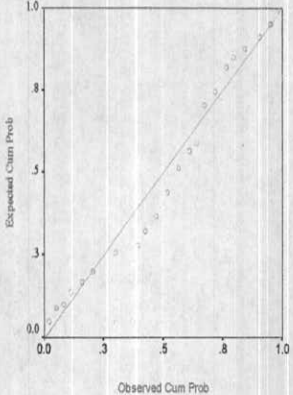


Fig.10.5 :Statistical Parameters for Elements.

Statistics

PB

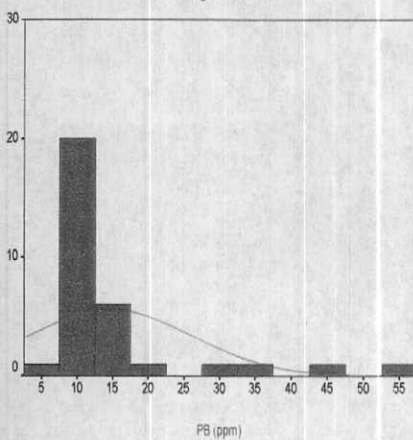
N	Valid	32
	Missing	0
Mean	14.716	
Median	10.000	
Std. Deviation	11.450	
Variance	131.100	
Skewness	2.517	
Kurtosis	6.066	
Minimum	7.1	
Maximum	56.0	

Statistics

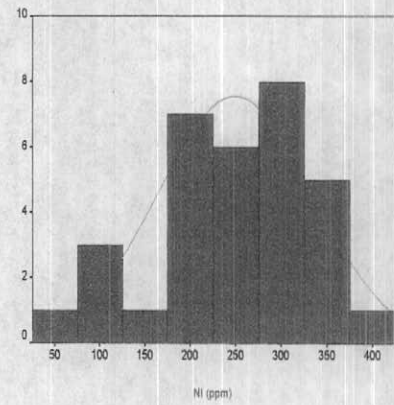
NI

N	Valid	32
	Missing	0
Mean	249.031	
Median	260.000	
Std. Deviation	84.411	
Variance	7125.257	
Skewness	-0.431	
Kurtosis	-0.450	
Minimum	71.0	
Maximum	380.0	

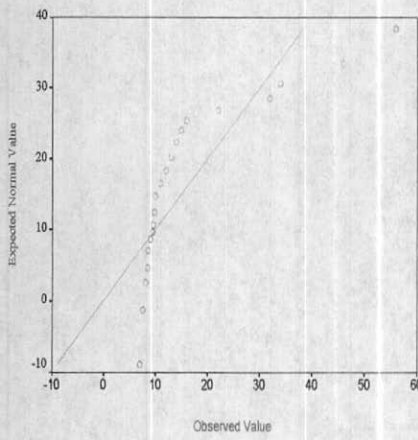
Histogram of Pb



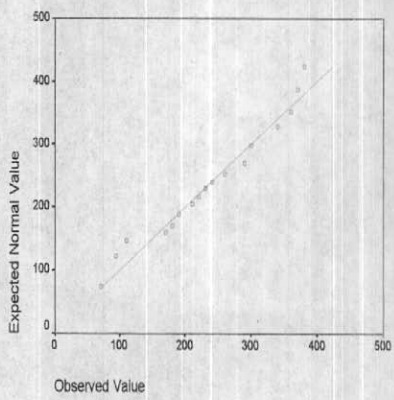
Histogram of Ni



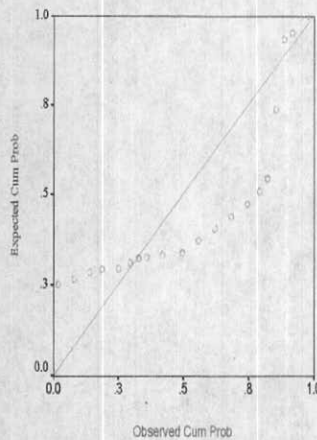
Normal Q-Q Plot of PB



Normal Q-Q Plot of NI



Normal P-P Plot of PB



Normal P-P Plot of NI

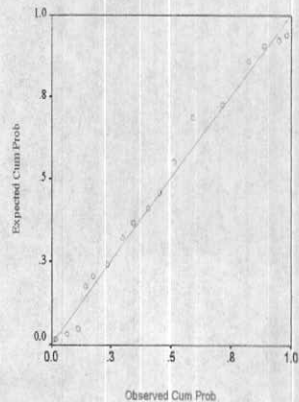


Fig.106 : Statistical Parameters for Elements.

Statistics

B

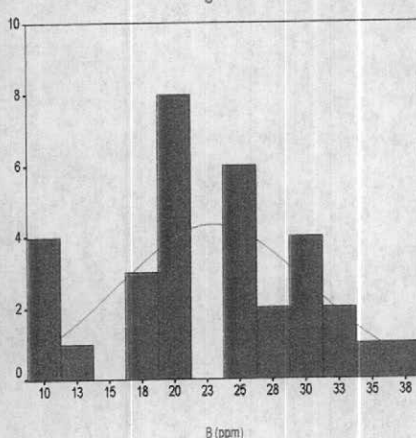
N	Valid	32
	Missing	0
Mean		22.969
Median		22.500
Std. Deviation		7.329
Variance		53.709
Skewness		.003
Kurtosis		-.613
Minimum		11.0
Maximum		38.0

Statistics

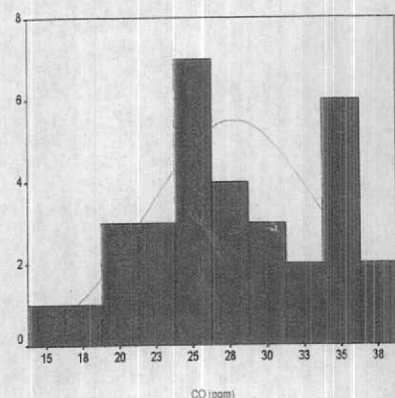
CO

N	Valid	32
	Missing	0
Mean		27.781
Median		27.000
Std. Deviation		5.785
Variance		33.467
Skewness		-.047
Kurtosis		-.925
Minimum		16.0
Maximum		37.0

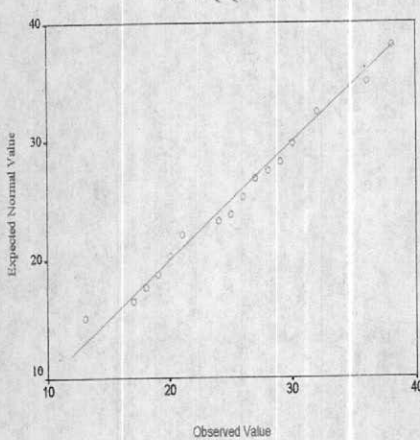
Histogram of B



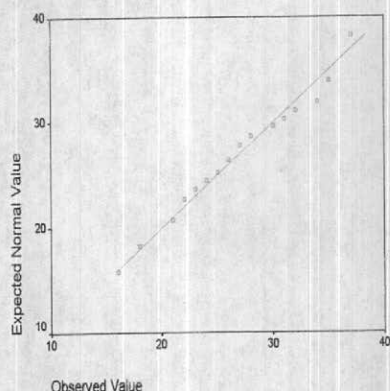
Histogram of Co



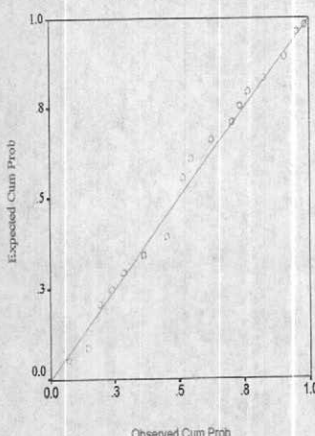
Normal Q-Q Plot of B



Normal Q-Q Plot of CO



Normal P-P Plot of B



Normal P-P Plot of CO

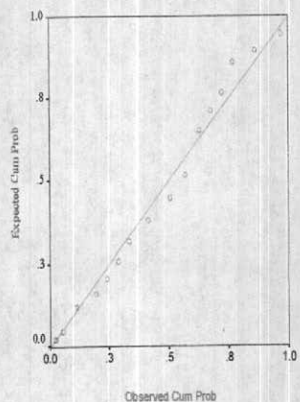


Fig10.7 .Statistical Parameters for Elements.

Statistics

CU

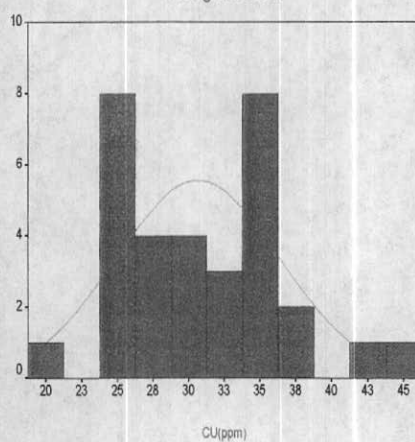
<i>N</i>	Valid	32
	Missing	0
Mean		30.625
Median		30.000
Std. Deviation		5.729
Variance		32.823
Skewness		.418
Kurtosis		-.163
Minimum		20.0
Maximum		44.0

Statistics

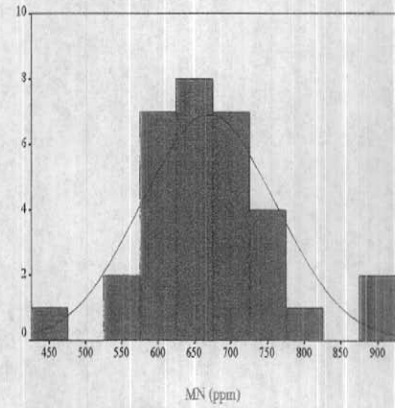
MN

<i>N</i>	Valid	32
	Missing	0
Mean		669.063
Median		650.000
Std. Deviation		92.156
Skewness		.416
Kurtosis		.493
Minimum		460.0
Maximum		880.0

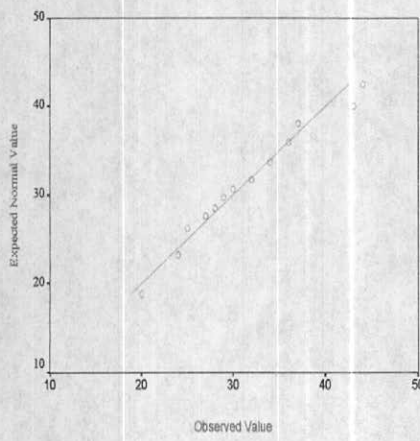
Histogram of Cu



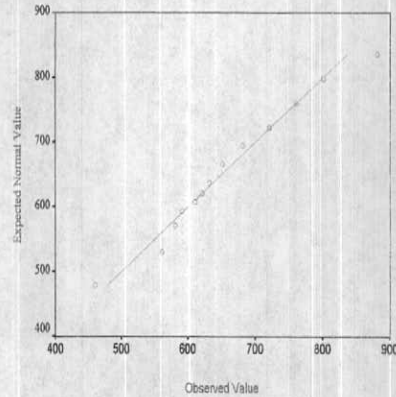
Histogram of Mn



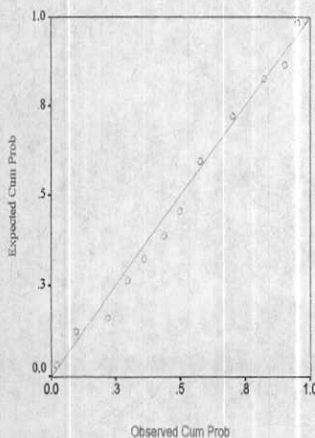
Normal Q-Q Plot of CU



Normal Q-Q Plot of MN



Normal P-P Plot of CU



Normal P-P Plot of MN

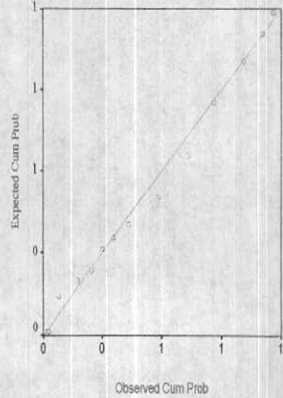


Fig108: Statistical Parameters for Elements.

Statistics

SN

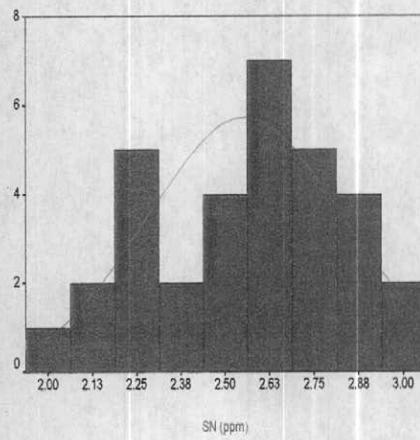
<i>N</i>	Valid	32
	Missing	0
Mean		2.556
Median		2.600
Std. Deviation		.278
Variance		7.738E-02
Skewness		-.244
Kurtosis		-.793
Minimum		2.0
Maximum		3.0

Statistics

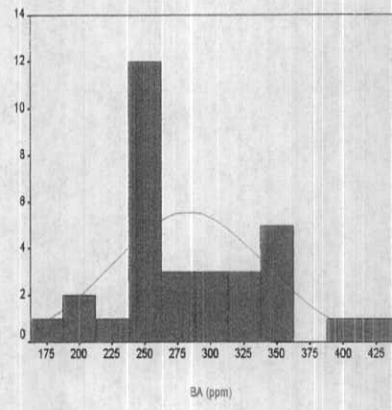
BA

<i>N</i>	Valid	32
	Missing	0
Mean		283.125
Median		265.000
Std. Deviation		57.104
Variance		3260.887
Skewness		.595
Kurtosis		-.136
Minimum		180.0
Maximum		420.0

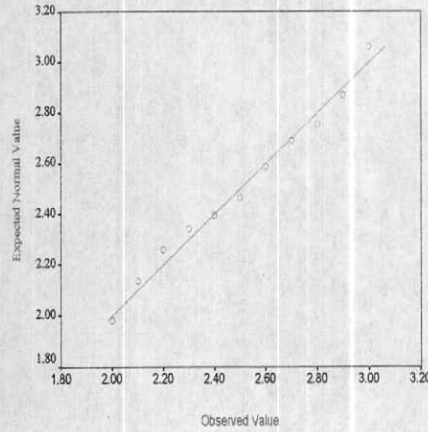
Histogram of Sn



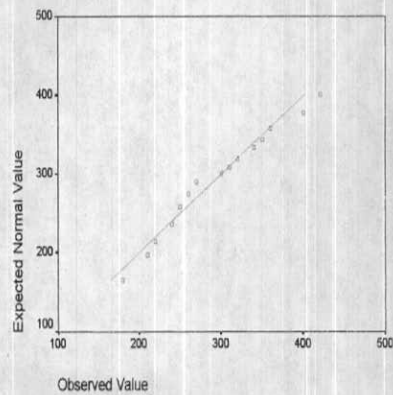
Histogram of Ba



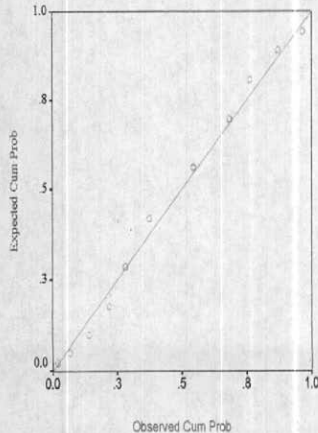
Normal Q-Q Plot of SN



Normal Q-Q Plot of BA



Normal P-P Plot of SN



Normal P-P Plot of BA

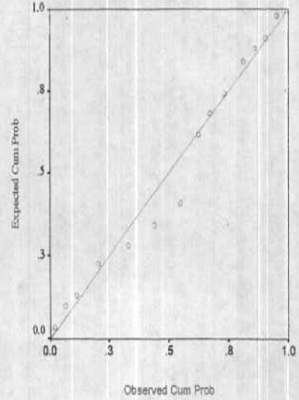


Fig.109 :Statistical Parameters for Elements.

Statistics

AG

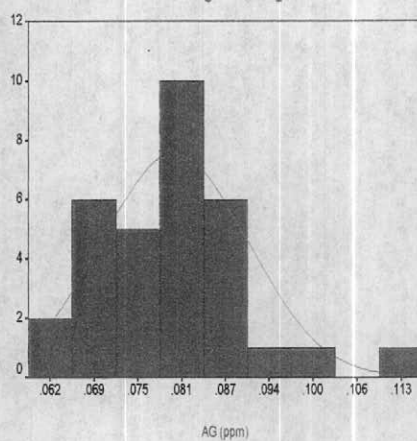
N	Valid	32
	Missing	0
Mean		.0022E-02
Median		.7900E-02
Std. Deviation		.1051E-02
Variance		.1104E-04
Skewness		.611
Kurtosis		.861
Minimum		.06
Maximum		.11

Statistics

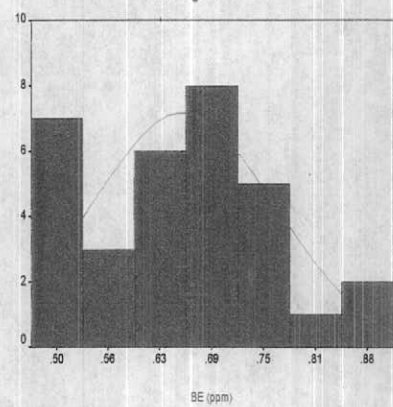
BE

N	Valid	32
	Missing	0
Mean		.6525
Median		.6550
Std. Deviation		.1109
Variance		.1231E-02
Skewness		.190
Kurtosis		-.762
Minimum		.50
Maximum		.89

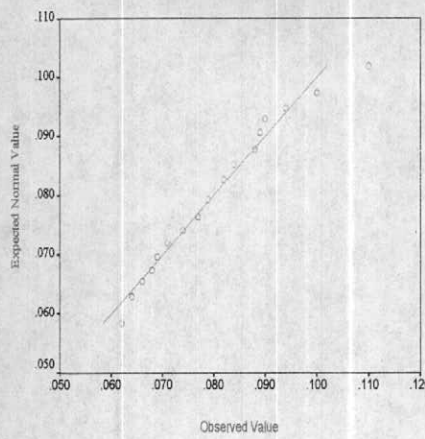
Histogram of Ag



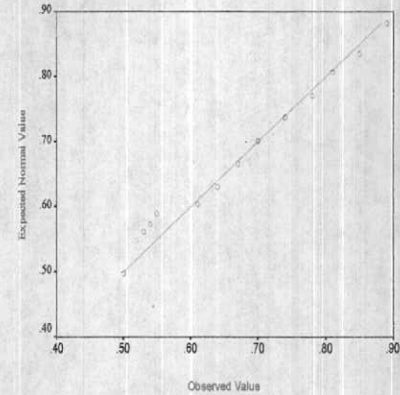
Histogram of BE



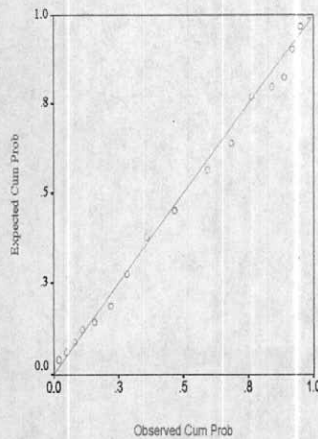
Normal Q-Q Plot of AG



Normal Q-Q Plot of BE



Normal P-P Plot of AG



Normal P-P Plot of BE

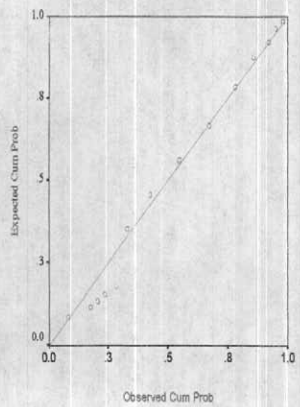


Fig.110 :Statistical Parameters for Elements.

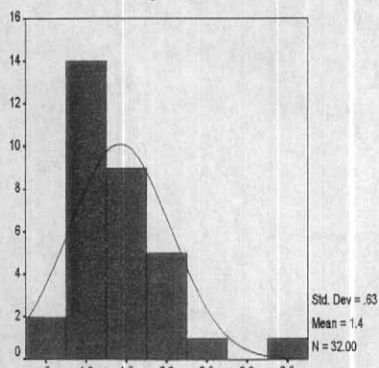
Statistics

Statistics

SB

N	Valid	32
	Missing	0
Mean		1.423
Median		1.285
Std. Deviation		.629
Variance		.396
Skewness		1.254
Kurtosis		2.268
Minimum		.5
Maximum		3.5

Histogram of As



SB

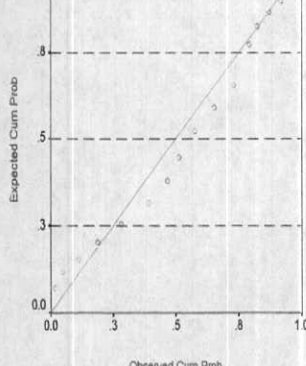
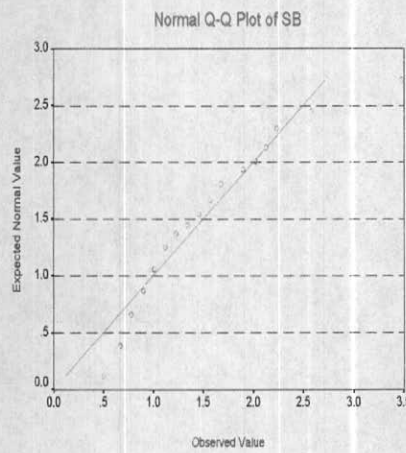
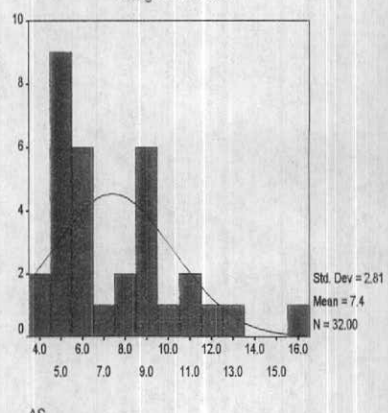


Fig.111 :Diagrams & Statistics for Sb

AS

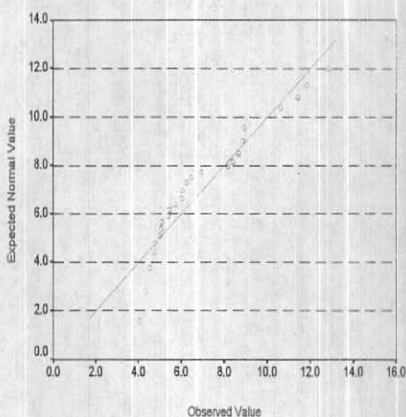
N	Valid	32
	Missing	0
Mean		7.412
Median		6.325
Std. Deviation		2.812
Variance		7.907
Skewness		1.033
Kurtosis		.758
Minimum		4.1
Maximum		15.5

Histogram of Sio2



AS

Normal Q-Q Plot of AS



Normal P-P Plot of AS

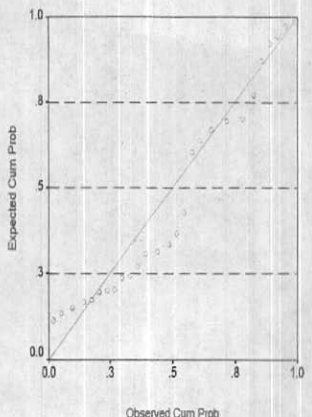
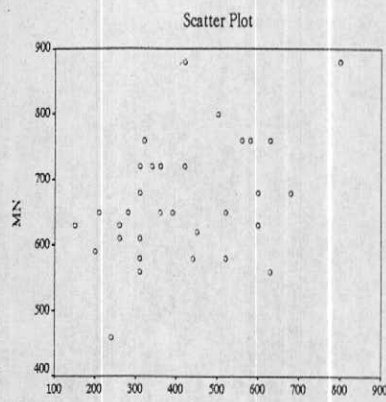
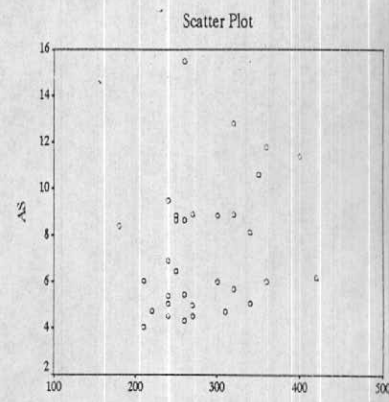


Fig.211 :Diagrams & Statistics for As

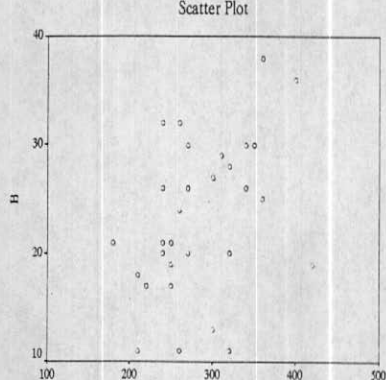
Fig.112 : Diagrams of Scatter Plots For Elements in Kanif and Chahpangsar Area.



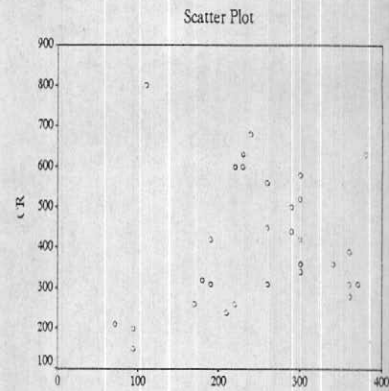
CR



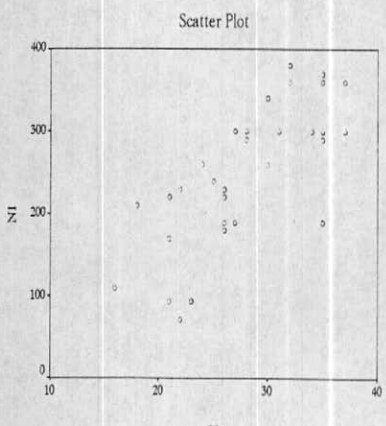
BA



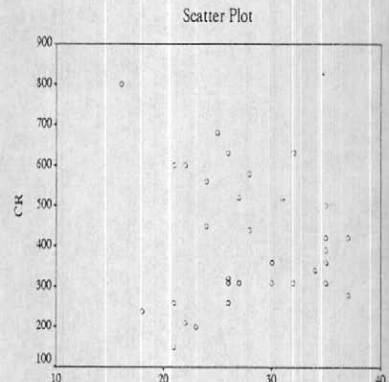
BA



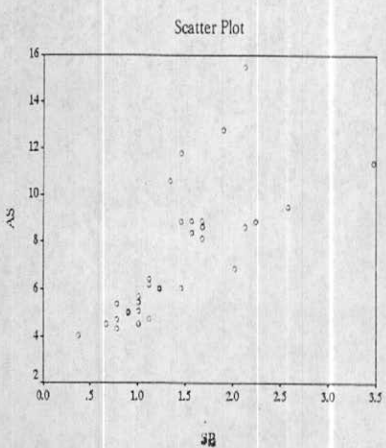
NI



Cu

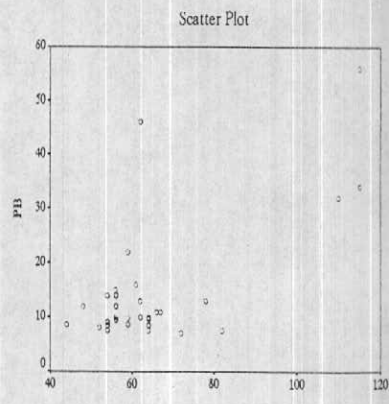


Cu



Pb

111



Zn

۲ - ماتریس همبستگی پرسون

- درجهت بررسی نحوه ارتباط میزان همبستگی عناصر مورد بررسی بعد از نرمال سازی داده های خام به محاسبه ماتریس همبستگی پرسون به همراه سطح معنی دار بودن رابسته به ضرایب همبستگی بین عناصر اقدام گردیده است. جدول (۲۱-۲) در این جدول وجود یک ستاره (*) بیانگر همبستگی معنی دار در سطح اعتماد ۹۵٪ (با اهمیت) و وجود دو ستاره (**) بیانگر همبستگی معنی دار در سطح اعتماد ۹۹٪ (بسیار با اهمیت) بین دو متغیر است. در این منطقه ضریب همبستگی شاخص عبارتند از:
- ۱ - همبستگی منفی کروم با عناصر ارسنیک به مقدار ۰/۶۴ - و با مس به مقدار ۰/۵ -
 - ۲ - همبستگی مثبت قوی نیکل با کالت به مقدار ۰/۷۴ و همبستگی منفی نیکل بباریم به مقدار ۰/۵۴
 - ۳ - همبستگی مثبت مس با آنتیموان و آرسنیک به ترتیب به مقدار ۰/۵۵ و ۰/۵۵
 - ۴ - همبستگی مثبت سرب با آنتیموان و آرسنیک به ترتیب به مقدار ۰/۵۷ و ۰/۶۵
 - ۵ - همبستگی مثبت قوی ارسنیک با آنتیموان به مقدار ۰/۸۴

۲-۳-۶ - تجزیه و تحلیل چند متغیره

ازمون خوشه ای:

در منطقه برای داده های موجود اقدام به یک آزمون خوشه ای شکل (۱۱۳-۲) گردید که نتیجه این آزمون طبق دندر و گرام سه گروه مجزا می باشد.

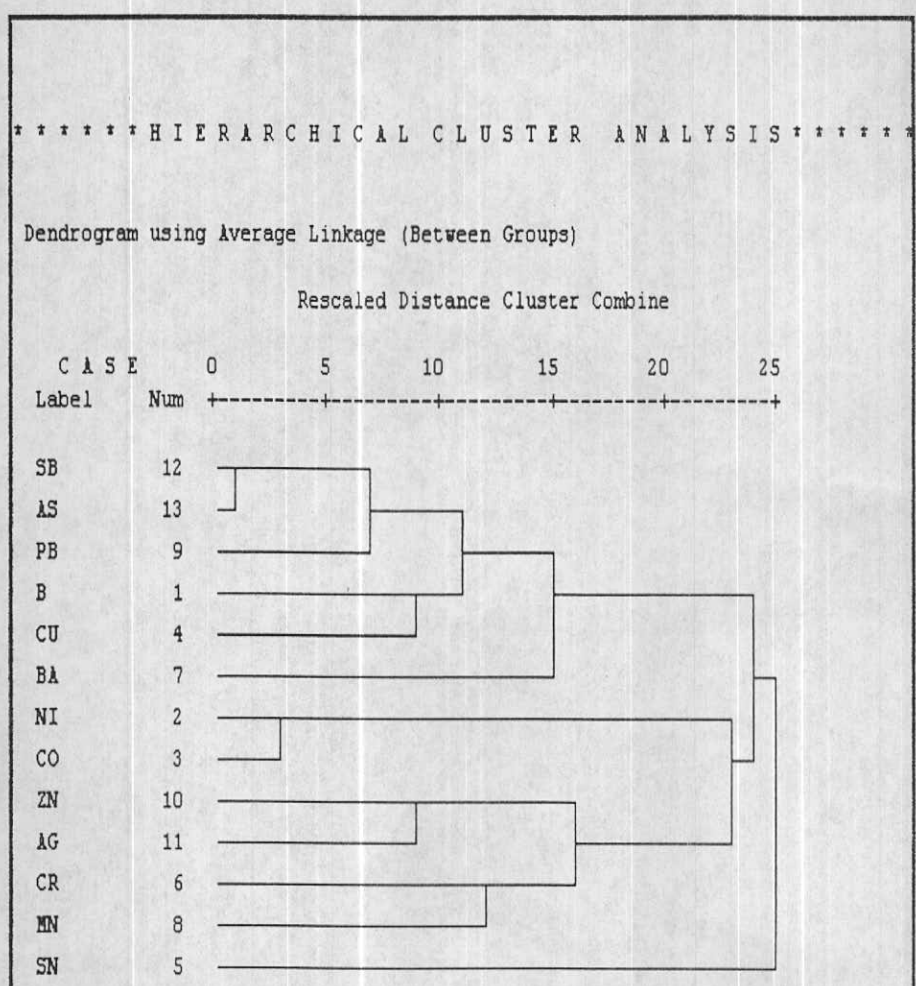
Table 21 : Correlation Coefficients of Pearson in Kamif and Chahpangsar Area.

B	Pearson Correlation	B	N	CO	CU	SN	CR	BA	MN	PB	ZN	AG	SB	AS
B	Pearson Correlation	1.000	-.242	.029	.496**	-.218	-.361*	.388*	-.280	.236	.216	.175	.476**	.538**
Sig. (2-tailed)		.182	.876	.004	.232	.043	.028	.120	.194	.234	.339	.006	.006	.001
N	Pearson Correlation	-.242	1.000	-.733**	.043	.029	.336	-.533**	.073	-.374*	.312	-.230	-.108	-.437*
Sig. (2-tailed)		.182	.000	.813	.874	.060	.002	.692	.035	.082	.205	.557	.012	
CO	Pearson Correlation	.029	.733**	1.000	.414*	-.249	.032	-.473**	.269	-.138	-.173	-.128	.316	.068
Sig. (2-tailed)		.876	.000	.018	.169	.863	.006	.136	.451	.344	.484	.078	.712	
CU	Pearson Correlation	.496**	.043	.414*	1.000	-.262	-.502**	.154	-.054	.358*	-.092	.138	.546**	.548**
Sig. (2-tailed)		.004	.813	.018	.147	.003	.399	.768	.044	.616	.452	.001	.001	
SN	Pearson Correlation	-.218	.029	-.249	-.262	1.000	-.108	-.116	-.383*	-.134	-.315	-.134	-.100	-.001
Sig. (2-tailed)		.232	.874	.169	.147	.558	.526	.030	.464	.079	.464	.535	.995	
CR	Pearson Correlation	-.361*	.336	.032	-.502**	-.108	1.000	-.220	1.000	-.433*	.155	.168	-.456*	-.639**
Sig. (2-tailed)		.043	.060	.863	.003	.558	.227	.020	.013	.397	.358	.011	.000	
BA	Pearson Correlation	.388*	-.533***	-.473**	.154	.116	-.220	1.000	-.208	-.427*	.082	.319	.240	.286
Sig. (2-tailed)		.028	.002	.006	.399	.526	.227	.253	.015	.654	.076	.185	.112	
MN	Pearson Correlation	-.280	.073	.269	-.054	-.383*	.409*	-.208	1.000	.016	.341	.342	.040	-.068
Sig. (2-tailed)		.120	.692	.136	.768	.030	.020	.253	.931	.056	.055	.826	.710	
PB	Pearson Correlation	.236	-.374*	-.138	.358*	-.134	-.433*	-.427*	.016	1.000	.326	.175	.571**	.647**
Sig. (2-tailed)		.194	.035	.451	.044	.464	.013	.015	.931	.069	.339	.001	.000	
ZN	Pearson Correlation	.216	-.312	-.173	-.092	-.315	.155	.082	.341	.326	1.000	.523**	.193	.237
Sig. (2-tailed)		.234	.082	.344	.616	.079	.397	.654	.056	.069	.002	.289	.192	
AG	Pearson Correlation	.175	-.230	-.128	.138	.134	.168	.319	.342	.175	.523**	1.000	.178	.201
Sig. (2-tailed)		.339	.205	.484	.452	.464	.358	.076	.055	.339	.002	.330	.270	
SB	Pearson Correlation	.476**	-.108	.316	.546**	-.100	-.445*	.240	.040	.571**	.193	.178	1.000	.844**
Sig. (2-tailed)		.006	.557	.078	.001	.585	.011	.185	.826	.001	.289	.330	.000	
AS	Pearson Correlation	.538**	-.437*	.068	.546**	-.004	-.639**	.286	-.068	.647**	.237	.201	.844**	1.000
Sig. (2-tailed)		.001	.012	.712	.001	.995	.000	.112	.710	.000	.192	.270	.000	

** Correlation is significant at the 0.01 level (2-tailed).

* Correlation is significant at the 0.05 level (2-tailed).

Fig.2.113 : Dendrogram of Elements for Kanif & Chahpangsar Area.



گروه اول شامل عناصر سرب ، ارسنیک و آنتیموان که دو عنصر مس و بر با ضریب انطباق

حدود ۱۲ خود را به این شاخه از عناصر وصل میکند. این گروه می تواند احتمالاً دلیلی بر يك

تزریق ثانویه در سنگهای منطقه برای کانی سازی سرب، ارسنیک و آنتیموان دانست.

گروه دوم شامل عناصر نیکل و کبالت که با ضریب تطابق حدود ۳ به هم وصل شده اند.

پراکندگی این دو عنصر در نمونه های آبراهه ای N1 تا N6 در منطقه کنیف و وابستگی شدید آنها

قابل توجه است.

گروه سوم که بطور ضعیف همبستگی نشان میدهد. عناصر روی و نقره در يك زیر گروه و

عناصر کروم و منگنز در زیر گروه دیگر با ضریب تطابق ۱۵ به هم متصل می شوند.

قابل توجه است که قلع عنصر مستقل نشان میدهد و هیچ ارتباطی با دیگر عناصر ندارد.

- نجزیه و تحلیل فاکتور آنالیز:

نتایج آزمون آنالیز فاکتوری در شکل ۲۲-۲ و ۲۳-۲ آورده شده است.

در این محدوده برای عناصر مورد بررسی بعد از نرمال سازی داده ها اقدام به آزمون فاکتوری شده

است. سه فاکتور بعد از دوران فاکتورها به روش Varimax انتخاب شد که به ترتیب ۶/۳٪ ، ۶/۲٪ و ۱۶٪ پراش (تغییر پذیری) کل جامعه را بیان میکند. فاکتور اول يك ترکیب خطی بین

عناصر ارسنیک، سرب ، مس ، بر و باریم است . بار فاکتوری این عناصر به ترتیب ۸۸/۰ ، ۸۵/۰ ،

۶۴/۰ و ۶۷/۰ است. این عناصر امی توان از نظر زیوژیتی ای ای تزریق یابلا آمدگی يك محلول ثانویه

با کانی سازی سرب و مس و اسیانا طلا همراه با عناصر ردیاب ارسنیک و آنتیموان دانست. در این

محدوده طلا و شلیلت در نمونه های کانی سنگین دیده شده است که دلیلی برای تایید این آزمون

(فاکتور آنالیز) میباشد. جدول (۲۲-۲) لازم به ذکر است که کروم عکس این فاکتور را نشان داده است.

(جدول ۲۳-۲ و شکل ۱۱۴-۲)

Fig.2.22 : Results of Factor Analysis for Kanif and Chahpangsar Area.

KMO and Bartlett's Test

Kaiser-Meyer-Olkin Measure of Sampling Adequacy		.513
Bartlett's Test of Sphericity	Approx. Chi-Square df	231.536 66
	Sig.	.000

Total Variance Explained

Component	Initial Eigenvalues			Extraction Sums of Squared Loadings			Rotation Sums of Squared Loadings		
	Total	% of Variance	Cumulative %	Total	% of Variance	Cumulative %	Total	% of Variance	Cumulative %
1	4.040	33.668	33.668	4.040	33.668	33.668	3.800	31.667	31.667
2	2.392	19.933	53.601	2.392	19.933	53.601	2.577	21.473	53.140
3	1.886	15.717	69.318	1.886	15.717	69.318	1.941	16.178	69.318
4	.972	8.096	77.414						
5	.713	5.938	83.352						
6	.674	5.614	88.966						
7	.485	4.045	93.011						
8	.314	2.620	95.631						
9	.220	1.834	97.465						
10	.175	1.456	98.922						
11	.101	.841	99.762						
12	3.E-02	.238	100.000						

Extraction Method: Principal Component Analysis.

Scree Plot

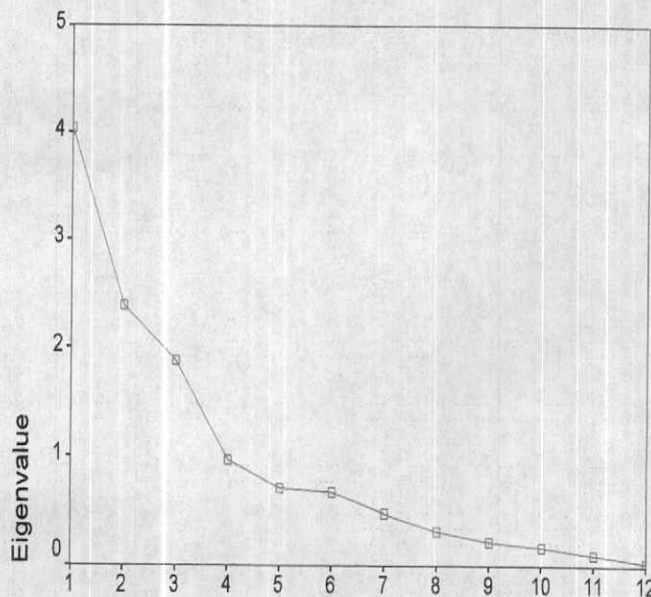


Fig2.23:Results of Factor Analysis for Kanif and Chahpangsar Area.

Component Matrix^a

	Component		
	1	2	3
AS	.908	.127	
SB	.787	.382	
PB	.744		.230
CR	-.703		.448
B	.682		
CU	.636	.520	-.217
BA	.540	-.523	
CO		.946	-.142
NI	-.518	.678	-.291
ZN	.258		.790
MN	-.187	.371	.722
SN	-.119	-.421	-.575

Extraction Method: Principal Component Analysis.

- a. 3 components extracted.

Rotated Component Matrix^a

	Component		
	1	2	3
AS	.887	-.223	
SB	.858		.164
CU	.800	.286	
CR	-.709	.156	.411
B	.669	-.165	
PB	.638	-.390	.224
CO	.274	.904	.170
NI	-.206	.875	
BA	.319	-.668	-.132
MN	-.154	.187	.797
ZN		-.387	.732
SN	-.169	-.160	-.684

Extraction Method: Principal Component Analysis.

Rotation Method: Varimax with Kaiser Normalization.

- a. Rotation converged in 4 iterations.

Component Score Coefficient Matrix

	Component		
	1	2	3
B	.173	-.024	-.008
NI	.001	.342	-.058
CO	.129	.378	.056
CU	.237	.167	-.033
SN	-.042	-.056	-.346
CR	-.193	.006	.223
BA	.048	-.246	-.056
MN	-.047	.043	.411
PB	.145	-.123	.114
ZN	-.013	-.171	.389
SB	.234	.066	.066
AS	.227	-.035	.020

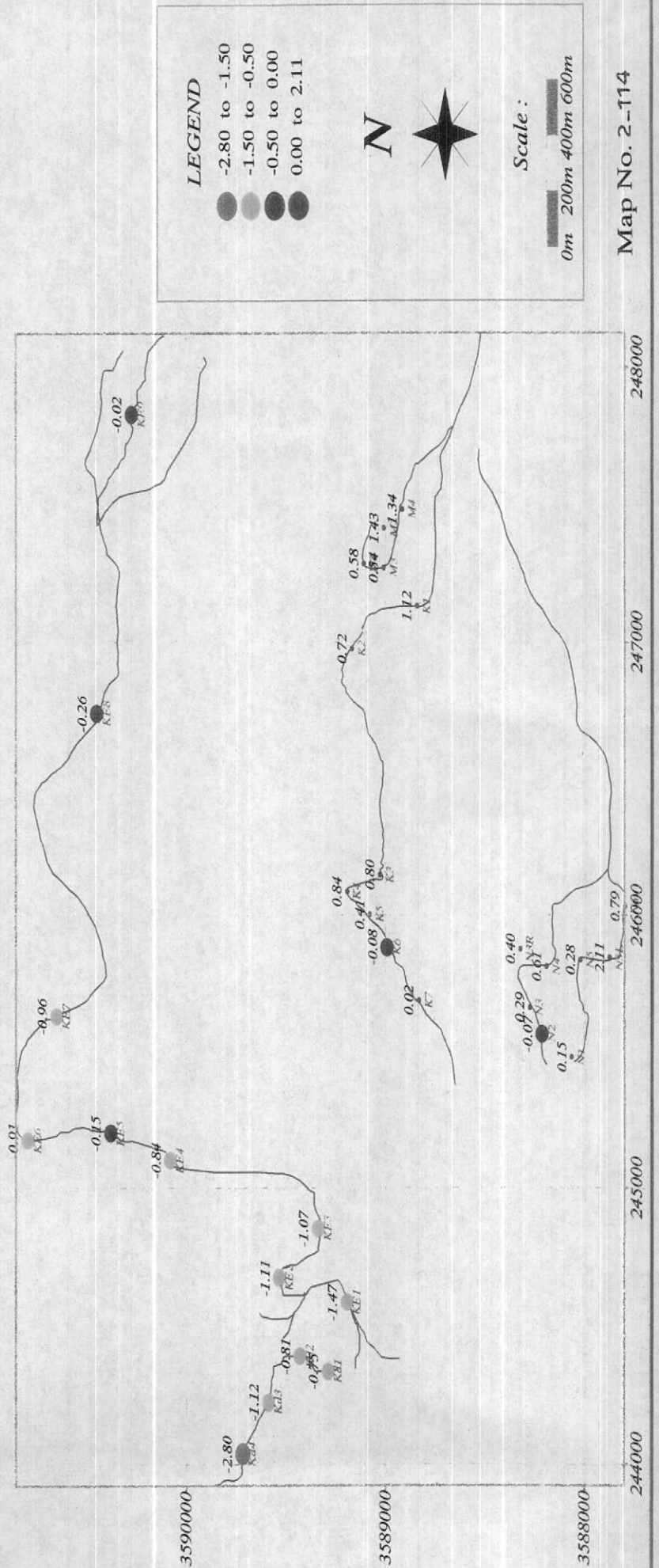
Extraction Method: Principal Component Analysis.

Rotation Method: Varimax with Kaiser Normalization.

Symbol Map of Scores Factor 1 (Low Values)

Value: Cr

(Kanif & Chahpangsar Area)



فاکتور دوم را میتوان ترکیبی از عناصر نیکل و کبالت دارای بار فاکتوری (شکل ۲-۱۱۴) و ۰/۸۷

میباشد. بیشترین ضریب این فاکتور در نمونه های N6-1 قراردارد. (جدول ۲-۲۲)

(شکل ۲-۱۱۵)

فاکتور سوم بین عناصر رروی و منگنز و تا حدودی مس میباشد که بار فاکتوری آنها به ترتیب ۰/۷۳ و

۰/۴۱ است بیشترین ضریب امتیاز این فاکتور در منطقه دستگرد حول نمونه های M4، N3R

مشاهده میشود. (جدول ۲-۲۳ و شکل ۲-۱۱۶)

۷-۳-۲ مشخصات ان迪س های کرومیت شناخته شده در منطقه

در دو ورقه مهروود و پرتک کانسار کرومیت کاملاً شناخته شده ای وجود ندارد اما یک معدن

متروکه بنام معدن مالدار در شمال غربی روستای چاه پنج سروجود دارد که موقعیت این ان迪س

در نقشه ۱-۲ مشخص شده است. مختصات UTM این ان迪س به حدود ۳۵۹۴۱۹۰ و E ۲۴۴۱۰۸ در

موقعیت زون ۴۱ میباشد.

در صد عیار کرومیت در این معدن متغیر بین ۳۷ تا ۴۲ درصد میباشد.

علاوه بر معدن کرومیت مالدار یک معدن در حال استخراج جدید بنام معدن گلاب (یا کیاسر)

در نزدیکی ورقه پرنک و در زون ۴۰ به مختصات UTM 3600328N و 773706E وجود دارد

که از شروع سال ۱۳۷۹ شروع به استخراج کرده و کرومیت آن از نوع پوست پلنگی ، عیار

تا ۴۲٪ است.

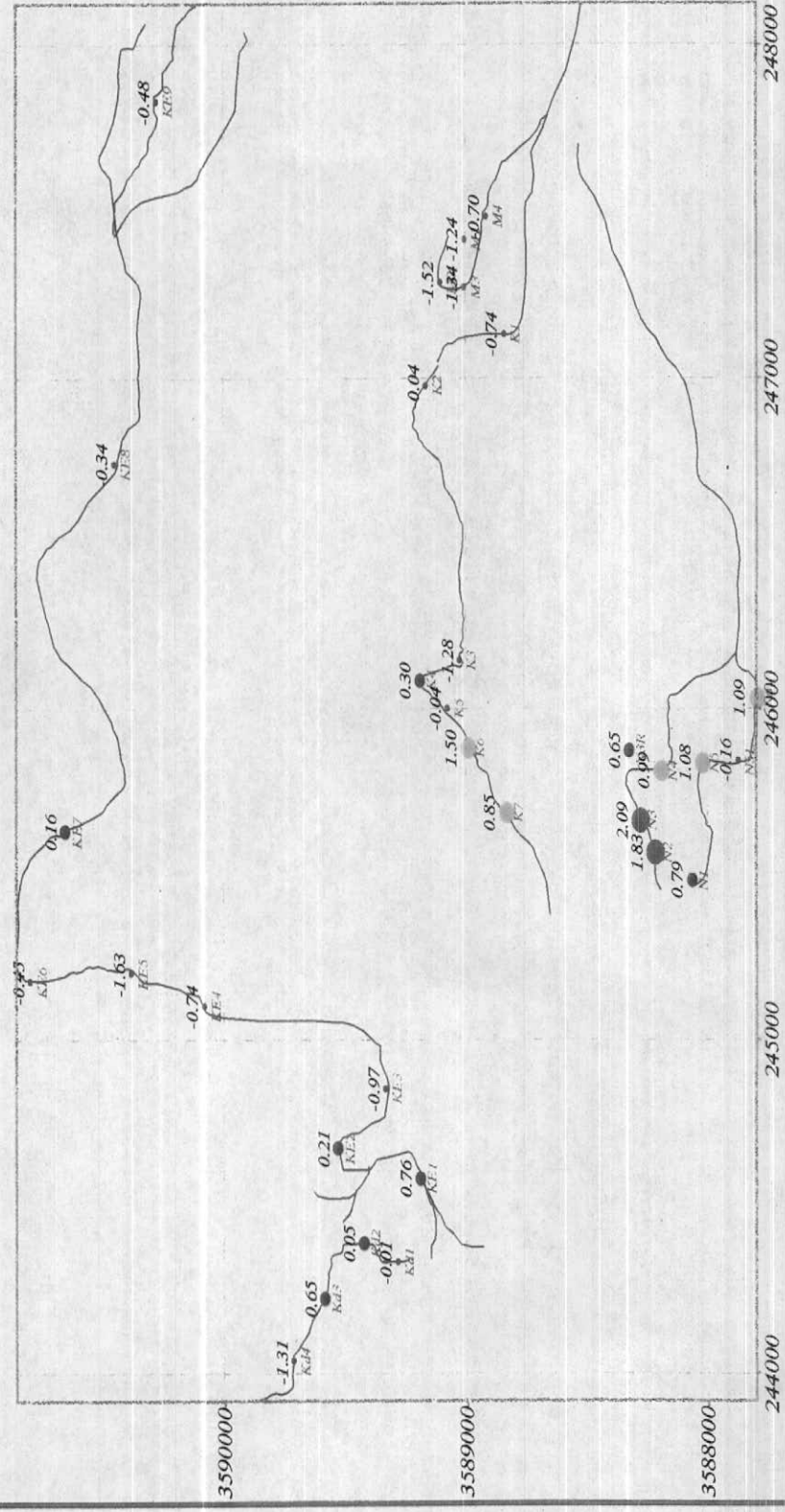
از معدن فوق برای تعیین یک الگوی ژئوشیمیایی با استفاده از نمونه گیری ژئوشیمیایی ابراهه ای استفاده

شده است.

Symbol Map of Scores Factor 2

Values : (Ni, Co)

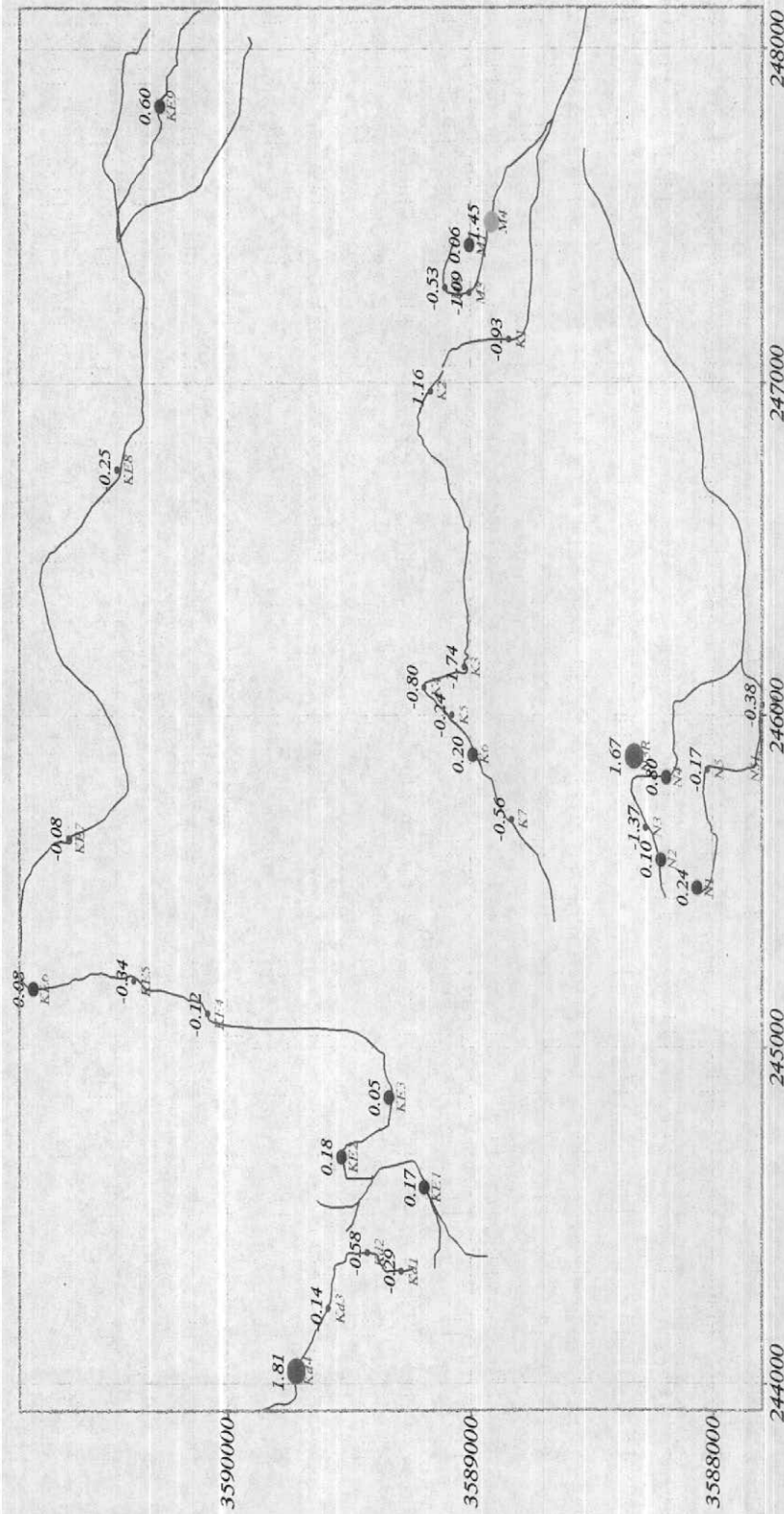
(Kanif & Chahpangsar Area)



Symbol Map of Scores Factor 3

Values : (Zn,Mn)

(Kanif & Chahpangsar Area)



۱- محدوده مالدار

در این منطقه چهار نمونه آبراهه ای و زئو شیمیابی توام برداشت گردیده است همچنین^۴ نمونه

به منظور مطالعه مقاطع صیقلی آن منطقه تهیه شده است.

در مقاطع صیقلی عموماً کرومیت کانی منحصر بفرد در نمونه بوده مقدار آن حداقل در حدود

۸۰٪ سنگ را تشکیل میدهد، ۲۰٪ کانیهای دیگر را اکسیدوئید روکسید آهن و کانی های سولفوری

تشکیل میدهد کانی های سولفوری در بعضی نمونه ها مشکوک به پیریت و کالکو پیریت و

پنتلانیت میباشد.

کانی کرومیت در این نمونه ها عموماً بصورت قطعات پراکنده با بافت کاناکلاستیک است در

بعضی نمونه ها عموماً زمینه سنگ را کانی سربانین تشکیل داده است.

در نمونه های نوع رسوبات آبراهه ای که در شکل ۱۰-۲ و جدول ۲۰-۲ نشان داده شده است

متوسط عنصر کروم به مقدار ۸۲۰ PPM می رسد انطباق میانه بامیانگین و همچنین چولگی صفر این

جامعه آماری حکایت از شرایط توزیع نرمال میکند. متوسط عنصر نیکل در ناحیه مالدار به

مقدار ۲۱۰ PPM می رسد که نسبت به دیگر منطقه الترا بازیکی منطقه که فاقد کانی سازی کرومیت است

از مقدار کمتری برخوردار است (جدول ۲۰-۲)

مشخصات آماری ناحیه مالدار در جدول ۲۴-۲ آورده شده است. در نمونه های بین کانی

های سنگین موجود در نمونه های محدوده مالدار بینهای MA2، MA3، MA4 و MA5 انجام شده

است. کرومیت علیرغم ماهیت بالابودن وزن مخصوص در این نمونه ها تجمع قابل انتظاری را در

قسمت کانی سنگین از خود نشان نمی دهد. حداقل کرومیت در قسمت کانی سنگین نمونه

MA5 به مقدار ۱۲۶/۶۲ PPM میرسد در حالیکه در قسمت رسوبات کمتر از ۸۰ آن مش کروم

نمونه به حد ۸۰۰ PPM می رسد.

Table 2.24 : Statistics for Elements in Maldar Area.

Statistics for Geochemical Elements

	Variables									
	CU	PB	ZN	SN	B	Ni	CR	CO	BA	MN
<i>N</i>	4	4	4	4	4	4	4	4	4	4
<i>Minimum</i>	25.0	10.0	52.0	2.5	19.0	150.0	780.0	18.0	320.0	720.0
<i>Maximum</i>	28.0	15.0	86.0	2.9	60.0	250.0	860.0	25.0	350.0	800.0
<i>Mean</i>	26	12	69	3	33	205	820	22	335	760
<i>Median</i>	26	12	69	3	27	210	820	23	335	760
<i>Std. Deviation</i>	1.500	2.217	15.903	.183	18.392	44.347	32.660	2.944	17.321	32.660
<i>Skewness</i>	.370	.482	.049	.000	1.653	-.482	.000	-.941	.000	.000
<i>Kurtosis</i>	-3.901	-1.700	-3.932	-3.300	2.835	-1.700	1.500	1.500	-6.000	1.500

Statistics for Geochemical Elements

	Variables		
	SB	AS	
<i>N</i>	4	4	
<i>Minimum</i>	.8	5.1	
<i>Maximum</i>	1.0	6.8	
<i>Mean</i>	.925	5.950	
<i>Median</i>	.955	5.975	
<i>Std. Deviation</i>	.110	.715	
<i>Skewness</i>	-.927	-.209	
<i>Kurtosis</i>	-.912	1.500	

**Table26 :Compare of Chromite between Stream Sediments and Heavy Minerals Sample.
(Maldar Area)**

Field No.	Stream Sediments	Heavy Mineral
	Cr (ppm)	Chromite (ppm)
MA2	820	303.06
MA3	860	1394.84
MA4	820	4398.15
MA5	780	1130.00

در جدول ۲۶-۲ مقایسه ای بین تمرکز عنصر کروم و مقدار کانی کرومیت در نمونه های رسوبات آبراهه

ای و قسمت کانی سنگین آن دیده می شود. در این مقایسه قسمت اعظم غنی شدگی کروم در بخش رسوبات زیر ۸۰ مش است.

۲ - محدوده گلاب

معدن کیاسر یا معدن کرومیت گلاب علیرغم خارج قرار گرفتن از ورقه ۲۵۰/۱۰۰ : ۱ گزیک ولی بعلت نزدیکی و تشابه کانساری و ساختاری بعنوان یک مدل اکتشافی برای کرومیت مورد نمونه برداری ژئوشیمیایی (رسوبات آبراهه ای) و کانی سنگین و چند نمونه مقطع صیقلی قرار گرفت، در

این نمونه ها کرومیت بعنوان فراوانترین کانی کدر و حدوداً ۷۰٪ نمونه را تشکیل داده است.

نمونه های ۳-۱، ۳-۲، ۳-۳ و ۳-۴ در محدوده B (گلاب) اکسیدهای آهن در میکروفرآچر مشاهده

شد. همچنین سولفورهای آهن، مس، نیکل نیز دیده میشود. بافت کاتا کلاستیک و قطعات

پراکنده کرومیت از دیگر مشخصات این نمونه هاست. لازم بذکر است گانگ این نمونه ها عموماً سرپانتین میباشد. در محدوده گلاب همچنین ۷ نمونه رسوبات آبراهه ای برداشت گردیده

است. میانگین کروم در این نمونه ها به مقدار ۴۰۳ PPM میرسد و حداقل کروم مشاهده

شده به مقدار ۴۶۰ PPM و حداقل آن به مقدار ۲۹۰ PPM میرسد. توزیع عنصر کروم نسبتاً

نرمال میباشد که دیگر مشخصات آماری آن در جدول ۲۴-۲ آورده شده است.

در نمونه های کانی سنگین نمونه H2H (پائین دست اندايس نامگذاري شده بنام حسن حسيني)

حداکثر کرومیت را به اندازه ۵۳۹ PPM نشان میدهد. جدول ۲۷-۲ مقایسه ای بین تمرکز کانی

کرومیت در نمونه های کانی سنگین و مقدار عنصر کروم در رسوبات زیر ۸۰ مش همان نمونه دیده

میشود. بجز نمونه H2H تمرکز کروم در بخش زیر ۸۰ مش به مرتب بیش از مقدار کرومیت در

بخش کانیهای سنگین آنست.

**Table 27: Compare of Chromite between Stream Sediments and Heavy Minerals Sample.
(Golab Area)**

Field No.	Stream Sediments	Heavy Mineral
	Cr (ppm)	Chromite (ppm)
LG1	390	133.73
LG2	390	8.24
LG3	390	1069.49
LG4	460	2409.60
LG5	290	48.48
HH1	460	34.56
HH2	440	60.95

مدلسازی کانسار کرومیت مالدار و کیاسر (گلاب)

به منظور شناخت بهتر کانسارهای کرومیت موجود در منطقه شناسایی دقیق کانسارهای شناخته شده

قبلی در همان منطقه بهره می‌بریم. به لحاظ محیط تشکیل کانسار کرومیت در منطقه همگی در زون

افروزیتی شرق بیرون چند قرار دارند و اگر بخواهیم از تقسیم بندی نقشه زمین شناسی در مقیاس ۱/۲۵۰،۰۰۰

گزینی استفاده کنیم می‌بایست کرومیتها را متعلق به اولترابازیکهای هارزبورژیتی بدانیم (زیرنویس:

در این تقسیم بندی اولترابازیکهای منطقه به دونوع هارزبورژیتی و لرزولیتی

تقسیم می‌شوند) و در نهایت سنگ درونگیر کرومیت را سرپا نمین تا دونیت می‌بایست در نظر گرفت.

یک عامل شناسایی هارزبورژیتها در منطقه از آثار برزنتی شدن آنهاست که بصورت پولکهای ریزی در سطح سنگ نالام مشخصی از خود نشان میدهد. عدسی های کرومیت در منطقه همانظر که

قبل از کشیدن سنگ درونگیر دونیتی و سنگهای دونیتی در آدامه سنگهای هارزبورژیتی قرار دارند. این

توالی در اکثر عدسی های شناخته شده مشاهده می‌گردد. مگر خردشیدگی های ناشی از عوامل

نکتونیکی این توالی را بهم بزنند مثلا در منطقه چاره زالک در جنوب روستای درح قرار گیرد.

عدسی آبی کرومیت در کنار سنگهای هارزبورژیتی ناشی از پدیده مذکور است. هدف از بازگشتن

مطلوب فوق ذکر این نکته است که تمامی کرومیتها موجود در منطقه از یک الگوی ساختاری و محیط

تشکیل یکسان برخوردارند و اگر در مناطقی این نظم بهم می خورد بعلت عوامل ثانویه ای چون

نکتونیک فعال منطقه است که می‌بایست بعلت فرآگیر بودن این پدیده در اکثر مناطق در الگوی

مورد نظر جایگاه مشخصی داشته باشد.

برای الگوسازی کانسارهای کرومیت دار در منطقه از یک منطقه آنالیز چند متغیره بنام تجزیه و تحلیل

تفريقی (تشخيصی) Discriment Analysis استفاده شده است. این تجزیه و تحلیل آماری و سیله

ایست برای سنجش میزان بستگی و ارتباط یک نمونه مجهول با یکی از دو جمعیت مشخص

و معلوم در اینجا از نمونه های رسوبات آبراهه ای دو کانسار مالدار و کیاسر بعنوان نمونه های

الگو استفاده می شود بطوریکه بتوان یک ترکیب خطی معنا دار از عبار کرومیت بوسیله

عبار عنصر وابسته ایجاد کرد. با ایجاد این تابع میتوان تک تک نمونه ها را در این آزمون شرکت داد

بطور مثال اگر به نمونه های کانسارهای الگو کدا و به نمونه هایی که عبار کرومیت آنها در

حد زمینه سنگی اولترابازیک است که 2 را بدھیم نهایتا میتوانیم سایر نمونه را طبق این دو کد معنی

دار، تقسیم بندی کنیم.

– تجزیه و تحلیل تفریقی (تشخیصی) Discrimant Analysis

نکنیک تجزیه و تحلیل تشخیص، نقطه مقابل تجزیه و تحلیل واریانس چند متغیره (MANOVA)

میباشد و همانطور که میدانیم در تحلیل واریانس چند متغیره، متغیرهای وابسته در یک متغیر ترکیب

میشوند به شکلی که میانگین اختیارات گروههای مختلف بر روی این متغیر جدید به بالاترین حد، پخش

با پراکنده میشود و اختلافات میان میانگین گروهها در یک متغیر جدید وابسته انجام میشود. در کل

میدانیم که نمونه های کدام گروه نعلق داردو می خواهیم متغیر مرکبی پیدا کنیم که اختلاف بین

گروهها را نشان دهد. حال آنکه در تجزیه و تحلیل تفریقی می خواهیم نشان دهیم که بر اساس نحوه

عملکرد نمونه ها بر روی متغیرهای وابسته، نمونه متعلق به کدام گروه (در ژئوشیمی ممکن

است این گروهها را آنومالی، حد آستانه، زمینه و ... فرض کنیم) میباشد.

در این تحلیل سعی بر آن میباشد که با استفاده از یک تابع تشخیص گروهی را که متغیر به آن

تعلق دارد، پیش بینی نماییم.

دلیل استفاده از تحلیل تشخیص یافتن یک تابع خطی (D) برای متغیرهای مستقل داده شده

(عناصر ژئوشیمیابی)، X_1 و X_2 و X_n میباشد. تا زمانیکه با انجام یک تحلیل واریانس تک عاملی

(ANOVA) برای مقایسه گروههای متغیر وابسته در مقابل D نسبت کل S^2 / میان گروهی S^2 تا حد امکان بزرگ شود. تابع D به شکل عمومی زیر بیان میشود:

$$D = b_0 + b_1 x_1 + b_2 x_2 + \dots + b_n x_n$$

(N) نسبت همبستگی نامیده می شود و یکی از قدیمترین روشها برای اندازه گیری قدرت آزمون می باشد)

و همانند رگرسیون چندگانه میتوان متغیرهایی را که برای عمل پیش گویی معنی دار و ضروری

میباشد، مشخص کرد و بقیه را از تابع نهایی حذف نماییم.

کسر کل S^2 / S^2 درون گروهی (وقتی که تنها یک متغیر وابسته وجود دارد) آماره ای است

به نام لاندای ویلسون و نحوه پراکندگی مقادیر نزدیک به میانگین های گروههایشان میباشد بدین

ترتیب مقادیر کمتر بیشتر معنی دار خواهد بود . در موارد چند متغیره ، لاندای ویلسون کسری است

از دترمینان های ماتریس مجموع مربعات و حاصلضرب متقاطع و از آن برای فهمیدن اینکه آیا

یک تابع با متغیرهای مستقل (متغیرهای تجزیه کننده) را فاصله بین گروههای متغیرهای وابسته فرق

میگذارد یا خیر استفاده میشود.

برای هر گروه از متغیر وابسته یک توزیع (ظاهر انرمال) D برای اعضاء آن گروه وجود دارد . البته

اغلب این گروه ها برروی یکدیگر قرار میگیرند. اما هدف تحلیل، تشخیص یافتن مقادیری است

برای مقادیر (b0,b1,bn) در تابع تشخیص به طوریکه این روش افتادگی در بین توزیعهای تابع D به

حداقل بررسد. به عبارت دیگر توسعه توزیع های D تا حد امکان گسترش یافته و بزرگ شود. و اگر

نهادو گروه در متغیر وابسته وجود داشته باشد تنها یک تابع تشخیص میتواند تولید شود.

در این تحلیل در روش گام به گام (Stepwise) که تنها محک های آماری تعیین کننده ترتیب ورود

است استفاده شده است و از آن میتوان برای تصمیم گیری در اضافه کردن یا حذف کردن متغیرها در

تحلیل بهره بردار. از جمله این محک های آماری دارای لاندای ویلسون میباشد . تغییر این لانداویتی

معنی دارمیباشد که متغیر حذف شده یا اضافه شده توسط آزمون فیشر (نسبت به تغییرپذیری بین

گروهها بر تغییر پذیری داخل گروهها) تائید شده باشد. در هر گام از اضافه کردن یک متغیر به

تحلیل، متغیری با بزرگترین F افزواده می شود. این روند افزون تازمانی که متغیرهای دیگر با

مقدار بزرگتر از کمترین مقدار ناحیه بحرانی وجود نداشته باشد تکرار میگردد. زمانی که مقدار F

متغیری (F to Remove) کمتر از بیشترین مقدار ناحیه بحرانی قرار گیرد، حذف میشود.

سرانجام روند حذف و اضافه کردن متغیرها کامل میشود. متغیرهای باقیمانده در تحلیل، آنهایی هستند

که در تابع تشخیص استفاده میشوند. این تابع بهترین وسیله را جهت پیشگویی عضویت در گروه،

در دسترس قرار میدهد.

حال با توجه به این مطلب و همینطور مشاهدات عینی در طول نمونه برداری و نظر به اینکه محل

تشکیل مناطق کرومیت دار (دونیت های سربانتبیزه) مشابه هستند، نمونه هایی به عنوان آنمالی در

یک گروه و نمونه هایی دیگر در گروه زمینه در سری سنگهای کرومیت دار انتخاب شد. بخش

آنمالی (مناطقی که به وضوح کرومیت دیده شده است را مالدار (کانسار پر پتانسیل) و معدن

کیاسر و همینطور نمونه های KE3 و KE2، KE1 درکنیف و نمونه ABC1 درستگرد که با عیار بالا

(۷۰ تا ۸۰٪ در نمونه های مقاطع صیقلی) رهیمنطر در سرزمین مشاهده شده اند انتخاب گردیده است.

بخش زمینه را که کرومیت در آن مشاهده نمی شود نمونه های M1، M2، M3، mK3، K4 درکنیف و

ABC18 و ABC26 در دستگرد شامل میگردند.

حال با داشتن این در گروه (آنمالی و زمینه) میتوان نمونه های دیگر را در نواحی کنیف، دستگرد و

گلاب طبق این گروه بندی مشخص و ضریب و درصد احتمال هر یک از نمونه ها در گروهایشان را

بیان کرد.

۲-۳-۸- تحلیل نتایج حاصل از روش نفریقی:

با مشخص شدن مناطق الگو نتایج آنالیز ژئوشیمیایی در گروه آنمالی ها قرار گرفته و همینطور چند

نمونه که عناصر آنها در حد زمینه عناصر سنگهای اولترابازیک بود در گروه زمینه Back ground

فرارگرفتند در جدول ۲۸-۲ مشخصات آماری این دو جامعه و مجموع این دو جامعه با عنوان Total آورده شده است. با مقایسه جامعه آنومالی و زمینه میتوان بطور خیلی ساده غنی شدگی ها و تنهی شدگی را برای عناصر در نظر گرفت بطور مثال غنی شدگی کروم در جامعه آنومالی به ۶۸۶ PPM میرسد و در

جامعه زمینه به ۲۲۸ PPM کاهش میابد در حالیکه ارسنیک و آنتیموان و سرب در جامعه آنومالی از

خود تنهی شدگی نشان میدهند.

در جدول ۲۸-۲ با محاسبه لاندای ویلسون و آماره F میتوان اختلافات معنی دار آماری در میان میانگین

های عناصر دو گروه پیدا کرد که به این ترتیب عناصر کروم، منگنز، آنتیموان، قلع دارای اختلافات

معنی دار بوده و دو جامعه مجزا را از خود نشان میدهند.

همچنین در جدول ۲۹-۲ و ۳۰-۲ نتایج حاصل از روش گام به گام (Stepwise) آورده شده است

که مقدار کمترین F بحرانی (Minimum F to Enter) برای ورود عناصر به تحلیل برابر با مقدار

۳/۸۴ در نظر گرفته شده است که در نهایت در پله اول کروم با آماره F به مقدار ۴۷ و در پله دوم باریم

با آماره F برابر با ۵/۸ به ترتیب وارد تحلیل میشوند و بقیه عناصر بدليل داشتن F کمتر از

مقدار بحرانی حذف میشوند و از تحلیل خارج میشود. همچنین آماره های مربوط به تابع تشخیص

ایبرامیرساندکه تابع تشخیص در بالاترین سطح معنی دار میباشد (ستون Sig) و بین تابع و متغیرهای

تشخیص ضرایب همبستگی داخل گروهها آورده شده است که باریم و کروم خود را مجزا کرده و وارد

تحلیل شدند.

در جدول ۳۱-۲ و ۳۲-۲ نمودارهای مربوط به تابع تشخیص گروه آنومالی و زمینه و همینظر نمونه

های غیرگروه بندی شده Ungrouped case برای ۵۲ نمونه محاسبه شده و در صدپیش بینی موفقیت

در گروه آورده شده است. بطور کلی از مجموع ۱۰۰ درصد نمونه ها ۵۳/۸٪ آن جزو نمونه های آنومالی

و مقدار ۴۶/۲ جزو نمونه های در حد زمینه (غیر آنومالی) بودند. در اشکال ۱۱۷-۲ و ۱۱۸-۲ و -۲

۱۱۹ نقشه های نمادین حاصل آنالیز تفريقي آورده شده است.

Table 228 : Statistical Parameters for Selected Groups (Anomaly & Background)
 (Discriminant Analysis method)

Group Statistics

CODE	Mean	Std. Deviation	Valid N (listwise)		
			Unweighted	Weighted	
Anomaly	Cu	27.600	5.147	10	10.000
	Pb	13.420	4.227	10	10.000
	Zn	69.500	14.909	10	10.000
	Sn	2.800	.211	10	10.000
	B	24.400	14.253	10	10.000
	Ni	193.000	65.498	10	10.000
	Cr	686.000	169.457	10	10.000
	Co	23.300	2.751	10	10.000
	Ba	293.500	52.496	10	10.000
	Mn	719.000	57.436	10	10.000
Background	As	7.218	4.304	10	10.000
	Sb	.963	.152	10	10.000
	Cu	28.571	5.563	7	7.000
	Pb	19.286	12.446	7	7.000
	Zn	63.714	12.711	7	7.000
	Sn	2.514	.367	7	7.000
	B	26.857	6.414	7	7.000
	Ni	169.857	95.265	7	7.000
	Cr	228.571	50.143	7	7.000
	Co	23.714	5.281	7	7.000
Total	Ba	301.429	48.107	7	7.000
	Mn	604.286	71.381	7	7.000
	As	8.823	2.475	7	7.000
	Sb	1.423	.418	7	7.000
	Cu	28.000	5.172	17	17.000
	Pb	15.835	8.775	17	17.000
	Zn	67.118	13.937	17	17.000
	Sn	2.682	.311	17	17.000
	B	25.412	11.457	17	17.000
	Ni	183.471	77.164	17	17.000

Tests of Equality of Group Means

	Wilks' Lambda	F	df1	df2	Sig.
Cu	.991	.137	1	15	.716
Pb	.885	1.949	1	15	.183
Zn	.956	.696	1	15	.417
Sn	.782	4.172	1	15	.059
B	.988	.180	1	15	.678
Ni	.977	.355	1	15	.560
Cr	.241	47.249	1	15	.000
Co	.997	.045	1	15	.834
Ba	.993	.100	1	15	.756
Mn	.527	13.488	1	15	.002
As	.950	.782	1	15	.391
Sb	.591	10.398	1	15	.006

Table 2.29: Stepwise Method for Optimized Separation of Important Variables.

Variables Entered/Removed^{a,b,c,d}

	Entered	Wilks' Lambda					Exact F			
		Statistic	df1	df2	df3	Statistic	df1	df2	Sig.	
Step	1	Cr	.241	1	1	15.000	47.249	1	15.000	,000
	2	Ba	.170	2	1	15.000	34.251	2	14.000	,000

At each step, the variable that minimizes the overall Wilks' Lambda is entered.

- a. Maximum number of steps is 24.
- b. Minimum partial F to enter is 3.84.
- c. Maximum partial F to remove is 2.75.
- d. F level, tolerance, or VIN insufficient for further computation.

Variables in the Analysis

Step		Tolerance	F to Remove	Wilks' Lambda
1	Variables			
	Cr	1.000	47.249	
2	Variables			
	Cr	.679	67.953	,993
	Ba	.679	5.880	,241

(Discriminant Analysis method)

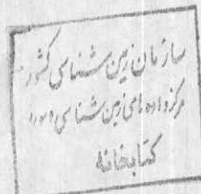


Table 2.30 : Stepwise Method for Optimized Separation of Important Variables.

Variables Not in the Analysis

Step		Tolerance	Min. Tolerance	F to Enter	Wilks' Lambda
0	Variables				
	Cu	1.000	1.000	.137	.991
	Pb	1.000	1.000	1.949	.885
	Zn	1.000	1.000	.696	.956
	Sn	1.000	1.000	4.172	.782
	B	1.000	1.000	.180	.988
	Ni	1.000	1.000	.355	.977
	Cr	1.000	1.000	47.249	.241
	Co	1.000	1.000	.045	.997
	Ba	1.000	1.000	.100	.993
	Mn	1.000	1.000	13.488	.527
	As	1.000	1.000	.782	.950
1	Variables				
	Cu	.754	.754	2.751	.201
	Pb	.900	.900	.150	.238
	Zn	.908	.908	2.106	.209
	Sn	.964	.964	2.608	.203
	B	.937	.937	1.104	.223
	Ni	1.000	1.000	.047	.240
	Cr				
	Co	.991	.991	.042	.240
	Ba	.679	.679	5.880	.170
	Mn	.762	.762	.030	.240
	As	.718	.718	2.395	.206
2	Variables				
	Cu	.754	.550	1.933	.148
	Pb	.899	.824	.151	.168
	Zn	.669	.500	.038	.169
	Sn	.907	.621	3.380	.135
	B	.937	.649	.724	.161
	Ni	.915	.621	.171	.167
	Cr				
	Co	.510	.349	2.795	.140
	Ba				
	Mn	.734	.508	.057	.169
	As	.701	.571	.921	.158
	Sb	.895	.618	.067	.169

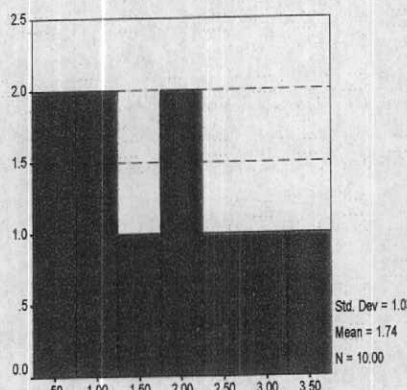
Wilks' Lambda

Step	Number of Variables	Lambda	df1	df2	df3	Exact F			
						Statistic	df1	df2	Sig.
Step	1	.241	1	1	15	47.249	1	15.000	5.E-06
	2	.170	2	1	15	34.251	2	14.000	4.E-06

*Table 2-31: Separate-Groups Graphs & Classification Results.
(Discriminant Analysis method)*

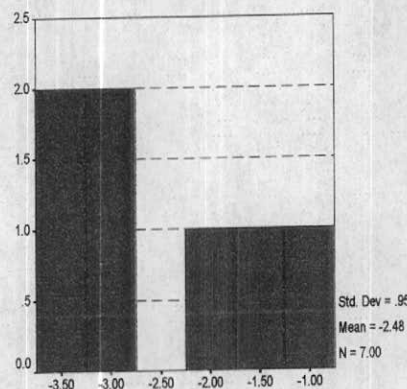
Canonical Discriminant Function 1

CODE = Anomaly



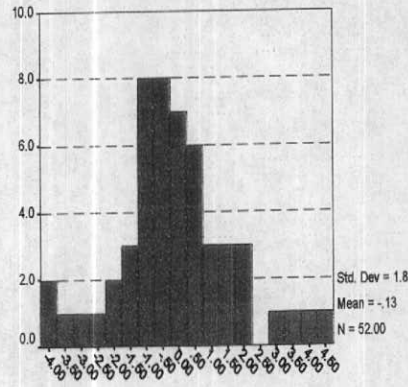
Canonical Discriminant Function 1

CODE = Background



Canonical Discriminant Function 1

Ungrouped Cases



Classification Results^b

			Predicted Group Membership		Total
Original	Count	CODE	Anomaly	Background	
			10	0	10
			0	7	7
		Ungrouped cases	28	24	52
	%	Anomaly	100.0	.0	100.0
		Background	.0	100.0	100.0
		Ungrouped cases	53.8	46.2	100.0

^b 100.0% of original cases correctly classified

*Table 2.32 : Summary of Canonical Discriminant Functions.
(Discriminant Analysis method)*

Eigenvalues

Function	Eigenvalue	% of Variance	Cumulative %	Canonical Correlation
1	4.893 ^a	100.0	100.0	.911

a. First 1 canonical discriminant functions were used in the analysis.

Wilks' Lambda

Test of Function(s)	Wilks' Lambda	Chi-square	df	Sig.
1	.170	24.833	2	.000

Standardized Canonical Discriminant Function Coefficients

	Function
	1
Cr	1.213
Ba	-.724

Structure Matrix

	Function
	1
Cr	.802
Mn ^a	.491
Cu ^a	-.411
As ^a	-.348
Co ^a	.339
Sb ^a	-.302
Sn ^a	-.295
Pb ^a	-.275
B ^a	.201
N ^a	.190
Zn ^a	.049
Ba	-.037

Pooled within-groups correlations between discriminating variables and standardized canonical discriminant functions

Variables ordered by absolute size of correlation within function.

a. This variable not used in the analysis.

Canonical Discriminant Function Coefficients

	Function
	1
Cr	.009
Ba	-.014
(Constant)	-.237

Unstandardized coefficients

Functions at Group Centroids

	Function
	1
CODE	1
Anomaly	1.738
Background	-2.463

Unstandardized canonical discriminant functions evaluated at group means

در نقشه نمادین ۱۱۷-۲ قطعیت واقع شدن هر نمونه در دو گروه زمینه و آنومالی بیان شده است.

در نقشه نمادین ۱۱۸-۲ ضرایب تشخیص که برای هر نمونه بعد از اعمال آنالیز تغییری محاسبه شده

نشان داده میشود. این ضرایب در دو حد $2/95 <> 3/89$ - استاندارد شده است.

در نقشه ۱۱۹-۲ احتمالات عضویت در گروه آنومالی محاسبه شده و در چهاردهسته شامل زمینه، حد

آستانه ای و آنومالی، ممکن و آنومالی احتمالی در این نقشه نمونه هایی که بین احتمال $99/5$ تا

۱۰۰٪ هستند با رنگ قرمز بعنوان مناطق با احتمال مناسب معرفی شده اند.

۹-۳-۲- نتیجه گیری

۱ - نتایج آنالیز و نقشه های تک متغیره

طبق نقشه نمادین کروم و کانی سنگین کرومیت (۱۲۰-۲) نمونه های KE2,Kd2,Kd3,KE و N4 در

نمونه رسوبات آبراهه نمرکر پیش از ۱۰۰ PPM غنی شدگی از خود نشان میدهد.

در نمونه های کانی سنگین (نقشه نمادین، کانی های سنگین ۱۲۰-۲) نمونه های KE6 و N3L از خود

غنی شدگی پیش از ۱۵۰۰ PPM را نشان میدهند و این در حالیست که نمونه های رسوب آبراهه ای

KE6 و N3L که بطور همزمان و هم مکان با نمونه های کانی سنگین آنها برداشته شده این غنی

شدگی را در خود نشان نمیدهد. تفاوت بین نمونه های با عیار بالا در رسوبات آبراهه ای و نمونه های

کانی سنگین عمدتاً به علت تجمع فیزیکی قسمت کانی سنگین در پائین دست محل اصلی ماده

معدنی است. خصوصاً نمونه KE6 به علت قرارگیری در قسمت محدب آبراهه از تمرکز مناسب

کانی سنگین کرومیت برخوردار شده است. با توجه به شواهد زمینی موجود در موقعیت انتهای آبراهه

KE (جنوب روستای چاه پنج سر) چند عدسی کرومیت که عمدتاً در سطح گسلی نیز قرار دارند و

از این پس بنام اندیس کلاته رشید خوانده میشوند میتواند منبع اصلی این نمونه های غنی شده باشد.

۲- در نقشه نمادین توزیع عنصر نیکل کلیه سرشاخه های دو آبراهه کنیف غنی شدگی بیش از ۳۰۰ PPM را از خود نشان میدهد. همچنین سرشاخه آبراهه اصلی چاه پنج سر این غنی شدگی وجود دارد (شکل ۱۲۱-۲)

عنصر کالت فقط در سرشاخه آبراهه N (نمونه های N6 و N1) غنی شدگی در حد ۳۵ PPM را دارا می‌نماید.

نقشه توزیع عنصر منگنز نیز سرشاخه آبراهه N را در نمونه N4 و N5L غنی شدگی در حد ۸۰۰ PPM از خود نشان میدهد (شکل ۱۲۲-۲)

۳- در نقشه نمادین توزیع عنصر آرسنیک دو نمونه M1 و M4 که از محل معروفی شده بنام اندیس کرومیت کنیف در گزارش بی- آر- جی- ام برداشته شده است در حدود ۱۵ PPM غلظت دارند که قابل توجه است (شکل ۱۲۳-۲). با توجه به شواهد زمین شناسی کرومیت نامبرده شده یک عدیست نابرجا در میان آبرفت بوده که از واحدهای الترباژیکی بالادست این آبراهه به این مکان منتقل شده است و به واسطه آبرفتی بودن منطقه عبار آرسنیک نمونه های M1 و M4 نیز به سنگهای بالا دست (حدود ۲ کیلومتر بطرف غرب) تعلق دارد در نقشه نمادین توزیع عنصر روی و نقره نیز، این محدوده را شاخص کرده است (شکل ۱۲۴-۲)

نتایج آنالیز و نقشه های چند متغیره

نتایج حاصل از آنالیز فاکتوری به شرح زیر است:

در فاکتور اول که کروم خود را به تنهایی جدا کرده بر مبنای تهی شدگی در نقشه ۲۸-۲ مشخص می‌باشد. این آنالیز چند متغیره که بروی نمونه های رسوبات آبراهه ای انجام شده در نمونه KD4 بالاترین تهی شدگی را از خود نشان میدهد. اما در مقادیر بزرگ فاکتور اول میتوان از هم فاکتوری عناصر

آرسنیک ، آنتیموان ، مس ، سرب و بر نام برد که منطقه کنیف از این حیث خصوصاً در نمونه N5L

و همچنین با کمی کاهش در طول آبراهه K و M خود را مجزا کرده است.

فاکتور دوم عنصر نیکل و کروم را خصوصاً در نمونه N2 و N3 شاخص کرده است.

فاکتور سوم عناصر روی و منگنز را در نمونه های Kd4 و N3R مشخص کرده است.

در نهایت میتوان محل نمونه های N3R و N3 از آبراهه N تا محل نمونه های K6 که در شکل

۱۲۹-۲ به لحاظ کانسار (بانام محدوده ۳ مشخص شده) پلی متال مورد مطالعه دقیق ترقیار داد.

نتایج حاصل از آنالیز تفریقی به شرح زیر است

با توجه به مدل سازی کانسارهای کرومیت کیاسر و مالدار از مجموع ۳۱ نمونه رسوبات آبراهه

ای ۱۵ نمونه جزو نمونه های آنومالی قرار گرفته اند. در این مدل که از روش آنالیز تفریقی استفاده شده

است درصد احتمال وابستگی هر نمونه به جامعه آنومالی و ضرایب آن بترتیب در نقشه های ۱۱۸-۲

و ۱۱۹-۲ مشخص شده است.

همانطور که در نقشه ۱۱۷-۲ مشخص است سرشاخه آبراهه اصلی چاه پنج سر (نمونه های KE) همگی

جزو نمونه های گروه آنومالی میباشند که منطبق به اندیس کلانه رشد میباشد. همچنین در آبراهه N در

منطقه کنیف نمونه های N5 و در آبراهه K نمونه N6 جز نمونه های گروه آنومالی میباشند

که از روند قرار گیری این نمونه میتوان این محدوده را پیشنهاد داد.

۲- با توجه به نمودارهای اسکترو (۱۲-۲) همبستگی منفی عناصر کبات و نیکل با عنصر

کرومیت قابل توجه است که تهی شدگی کبات و نیکل را در عین غنی شدگی کروم محدوده های پر

عيار از کرومیت را بوجود آورده است.

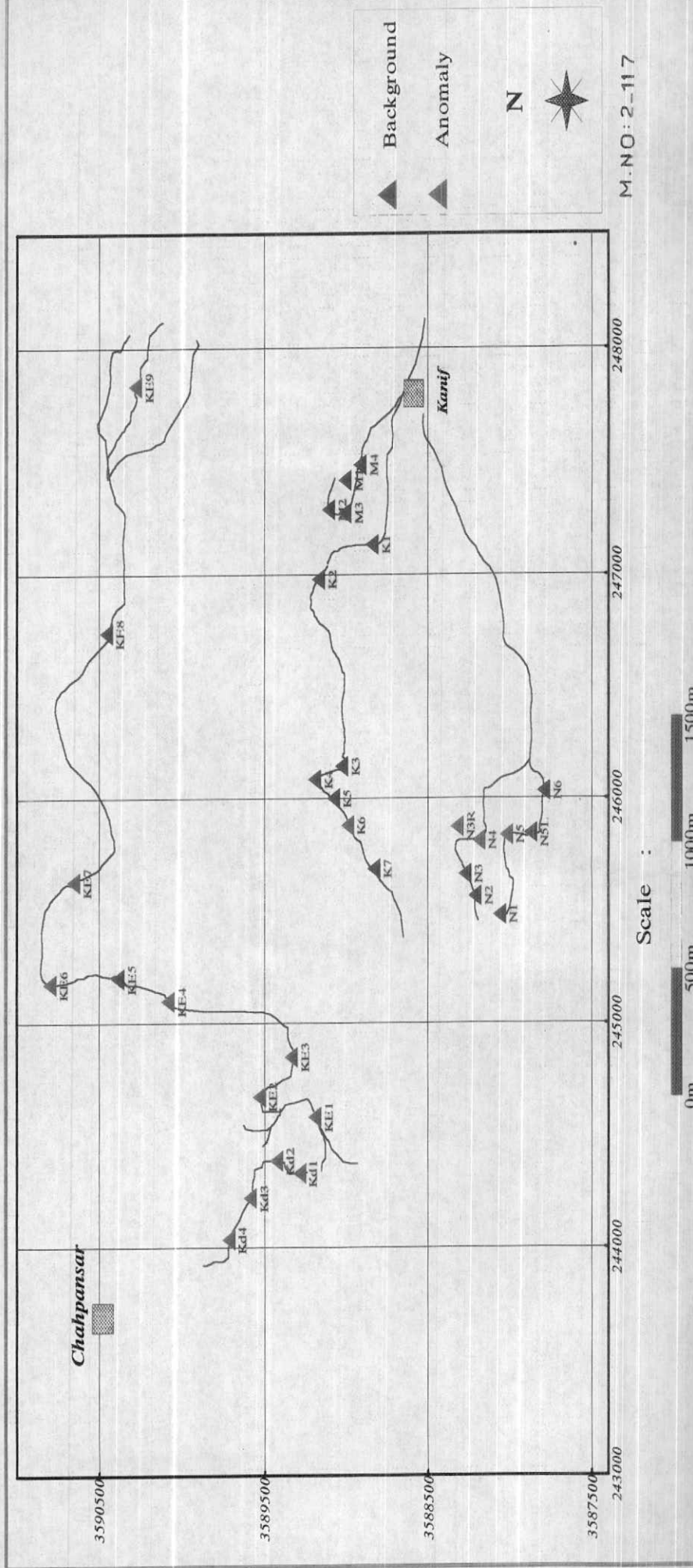
۳- با توجه به نمونه های سنگی بر جا که برای مطالعه مقاطع صیقلی برداشت گردیده است عیار

کرومیت را میتوان در اکثر خنمنها بیش از ۴۰٪ در نظر گرفت. (پیوست - نتایج مقاطع صیقلی)

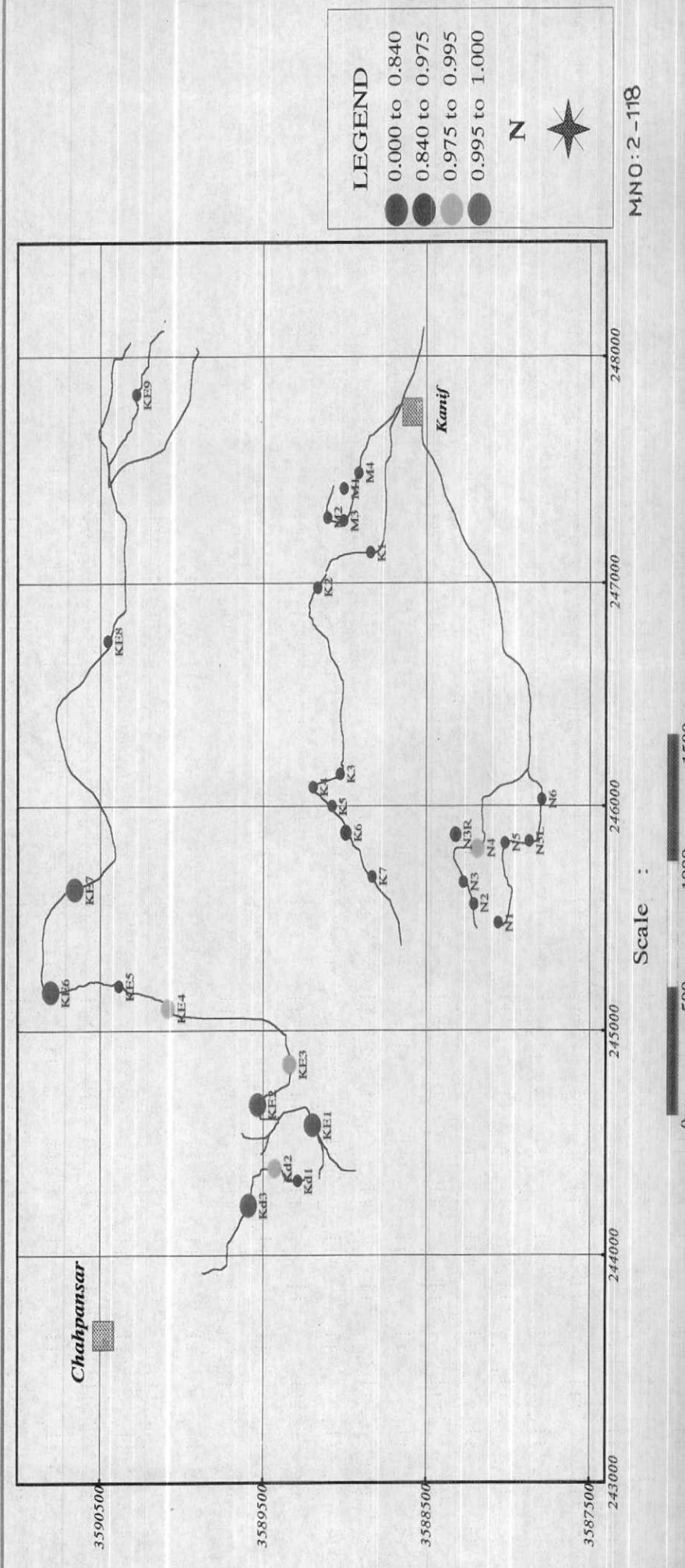
Symbol Map Predicted Group

(based on Discriminate Analysis)

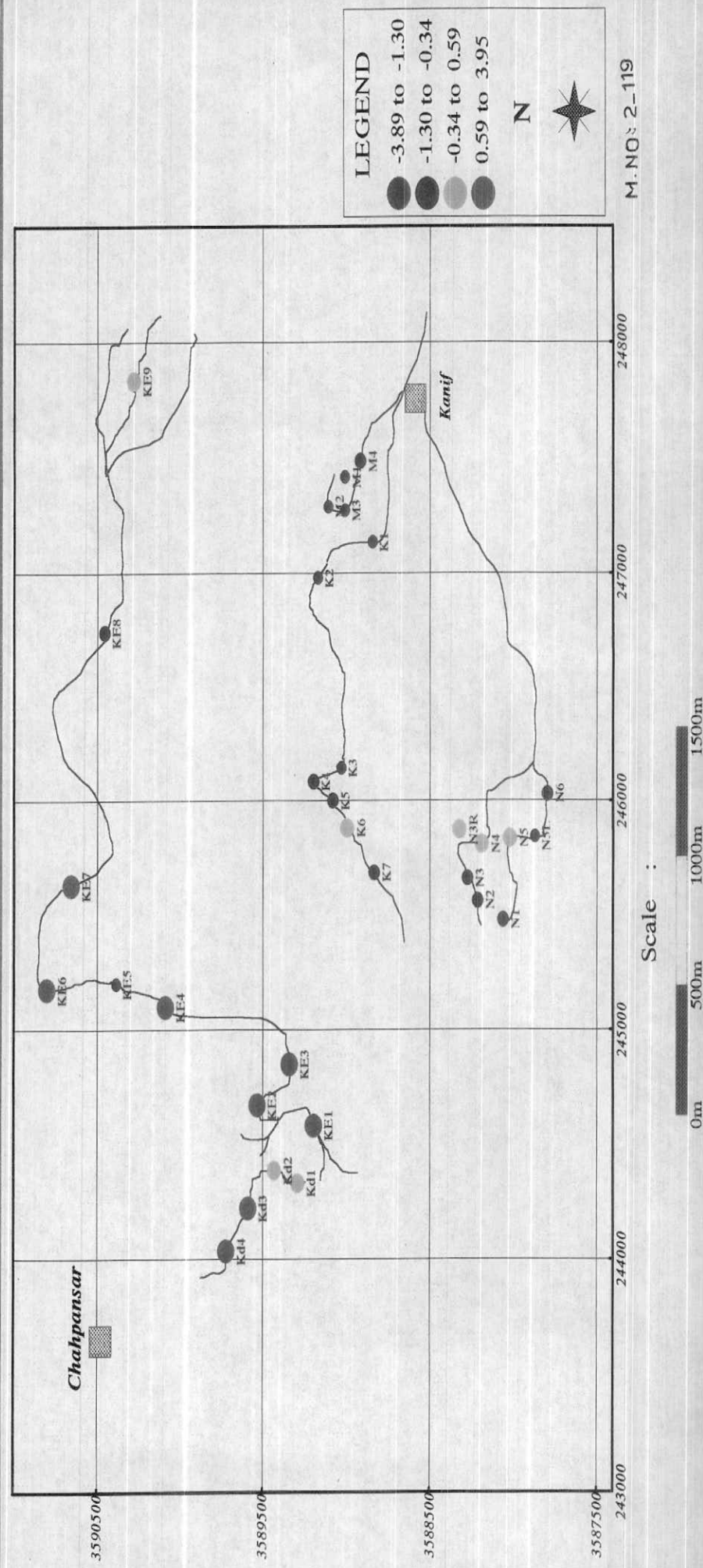
(Kanif & Chahpansar Area)



Symbol Map of Probabilities of Membership in Anomaly Group
(based on Discriminate Analysis)
(Kanif & Chahpansar Area)

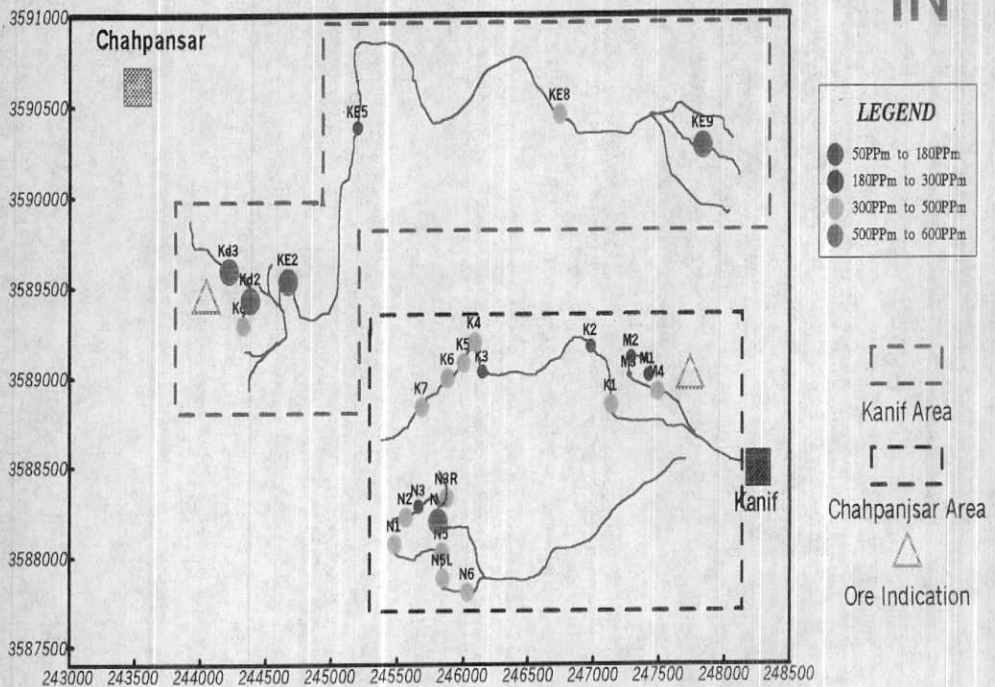


Symbol Map of Discriminate Scores
(based on Discriminate Analysis)
(Kanif & Chahpansar Area)

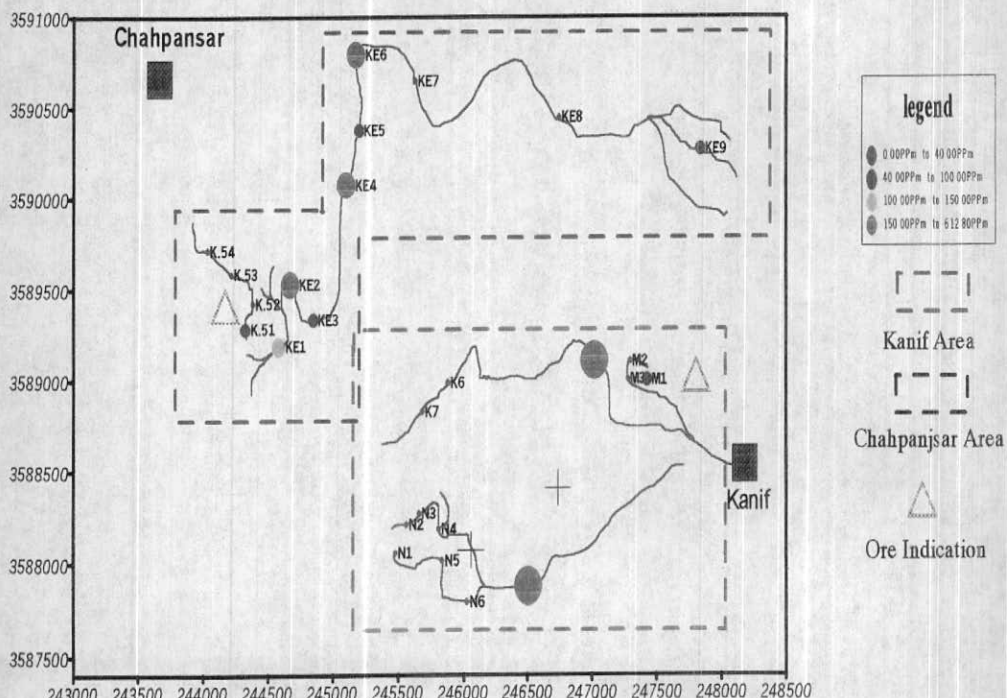


*Symbol Map of Cr (for Geochemical & Heavy Minerals Sample)
in Kanif & Chahpansar Area*

Geochemical Symbol Map NO : 2-120



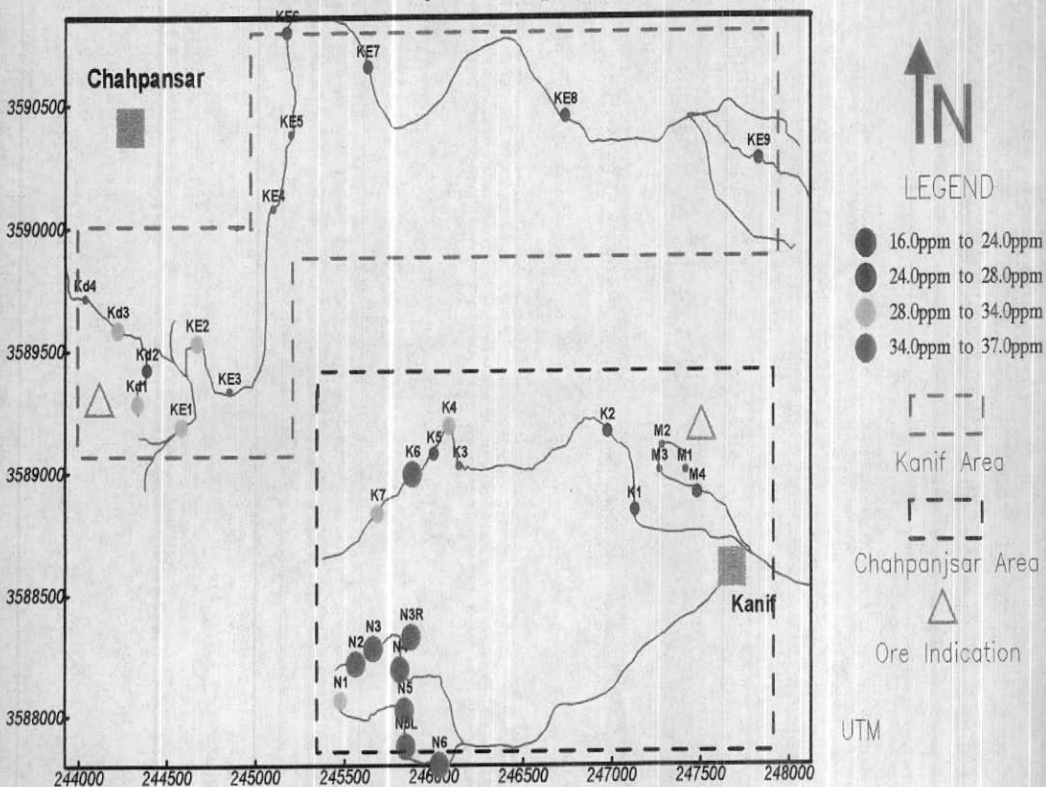
Heavy Minerals Symbol Map



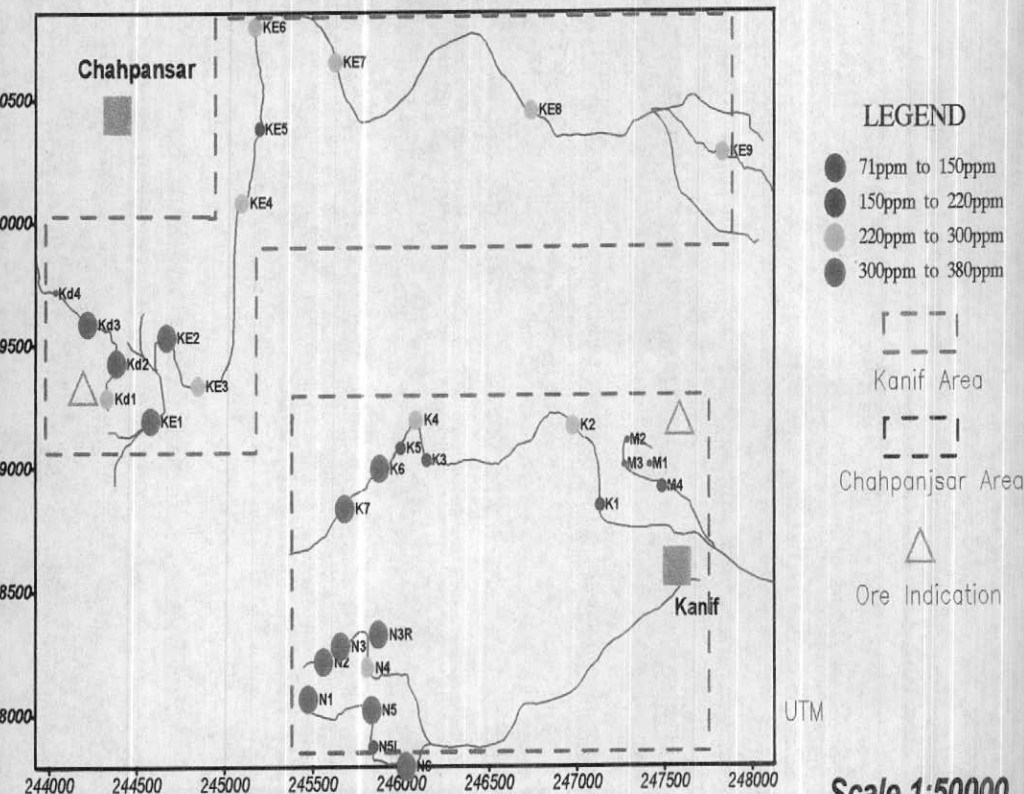
Scale 1:50000

Symbol Map of Geochemical Data in Kanif & Chahpansar Area

Geochemical Symbol Map of Co



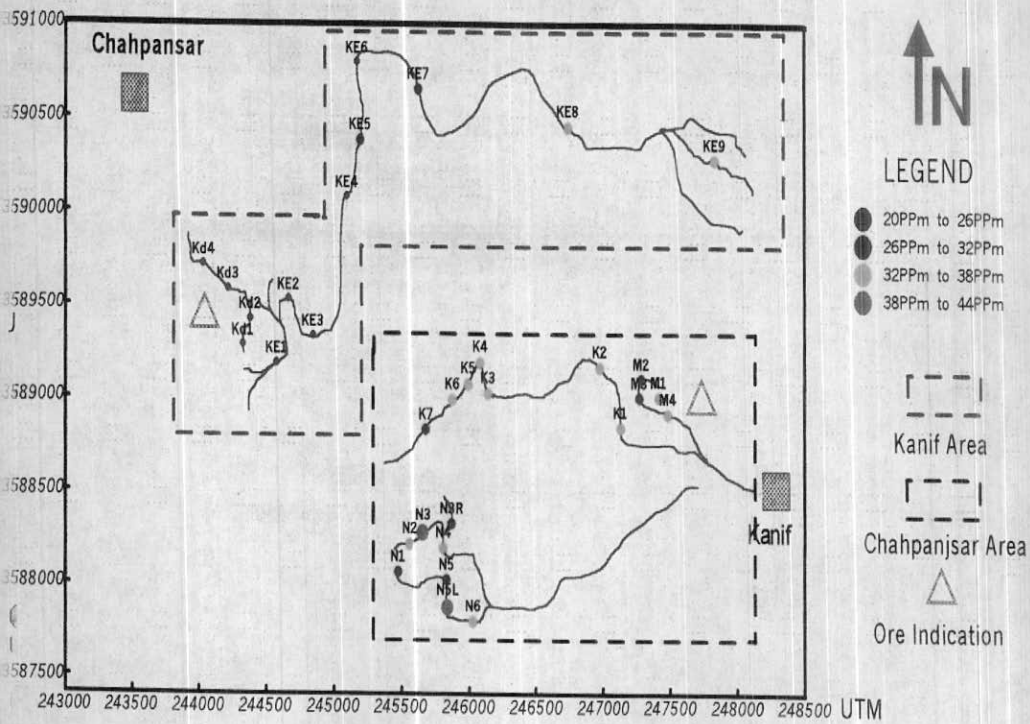
Geochemical Symbol Map of Ni



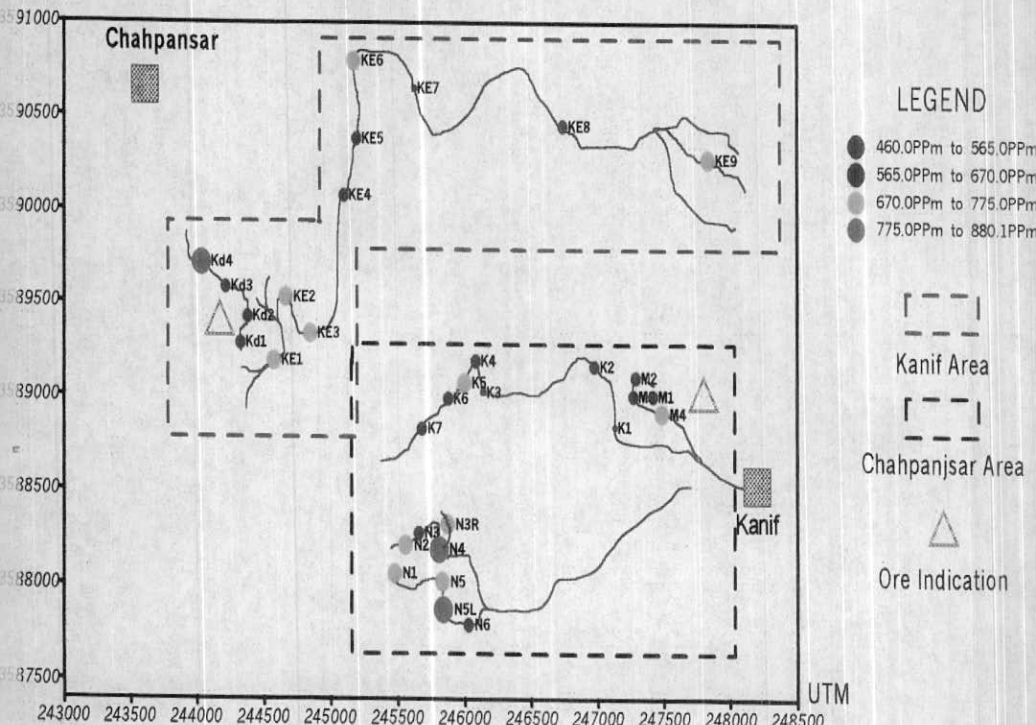
Scale 1:50000

Symbol Map of Geochemical Data in Kanif & Chahpansar Area

Geochemical Symbol Map of Cu

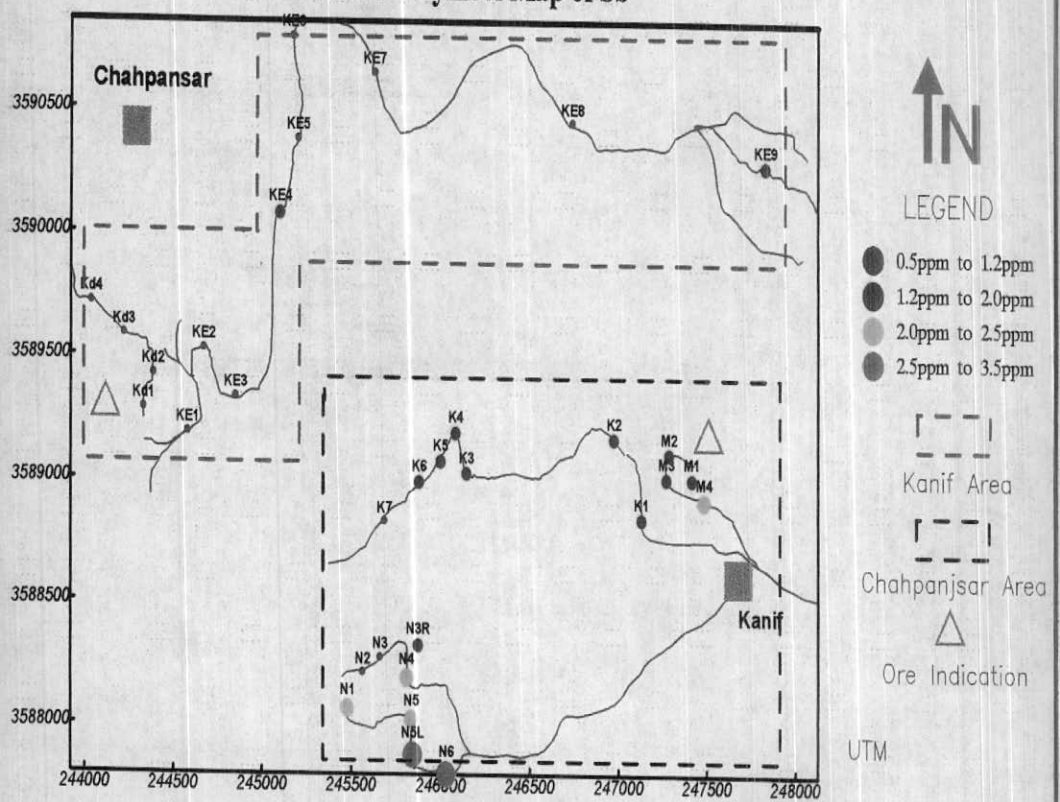


Geochemical Symbol Map of Mn

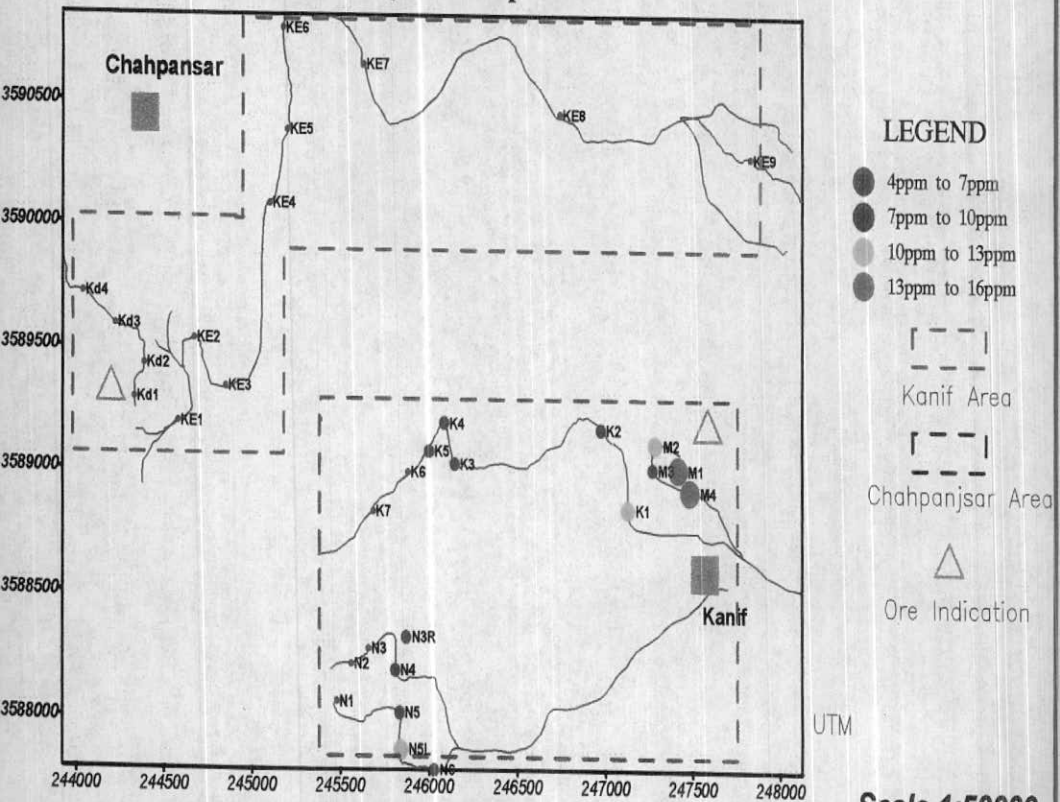


Symbol Map of Geochemical Data in Kanif & Chahpansar Area

Geochemical Symbol Map of Sb

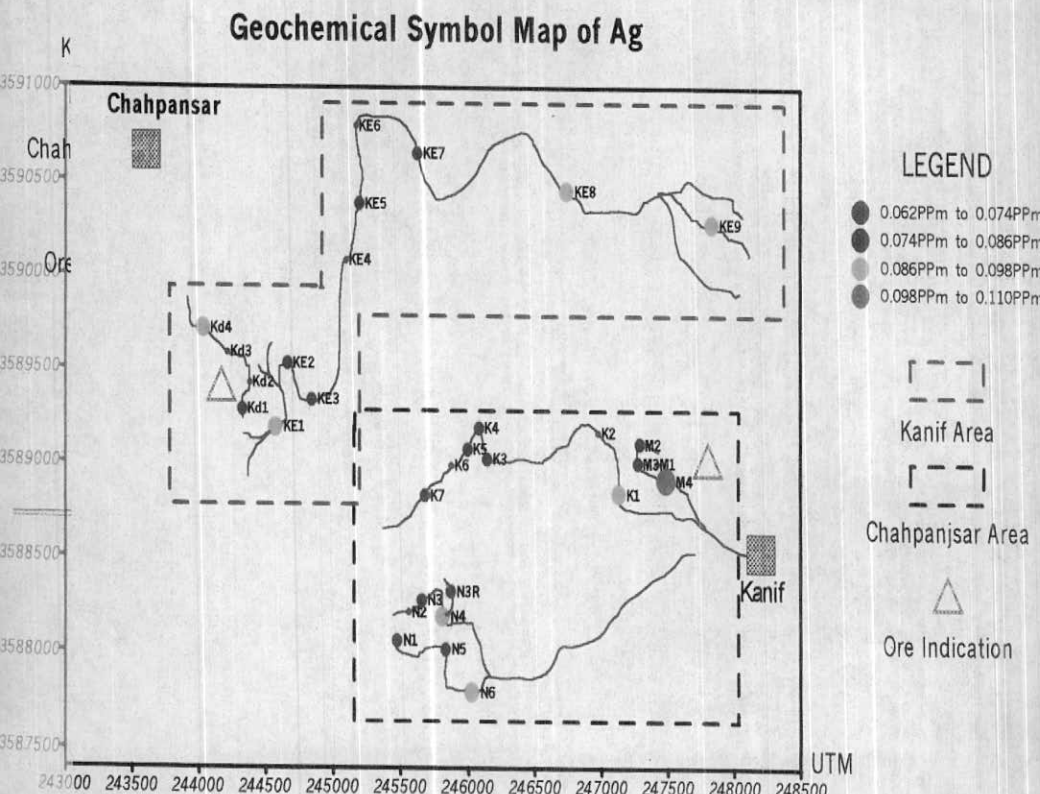
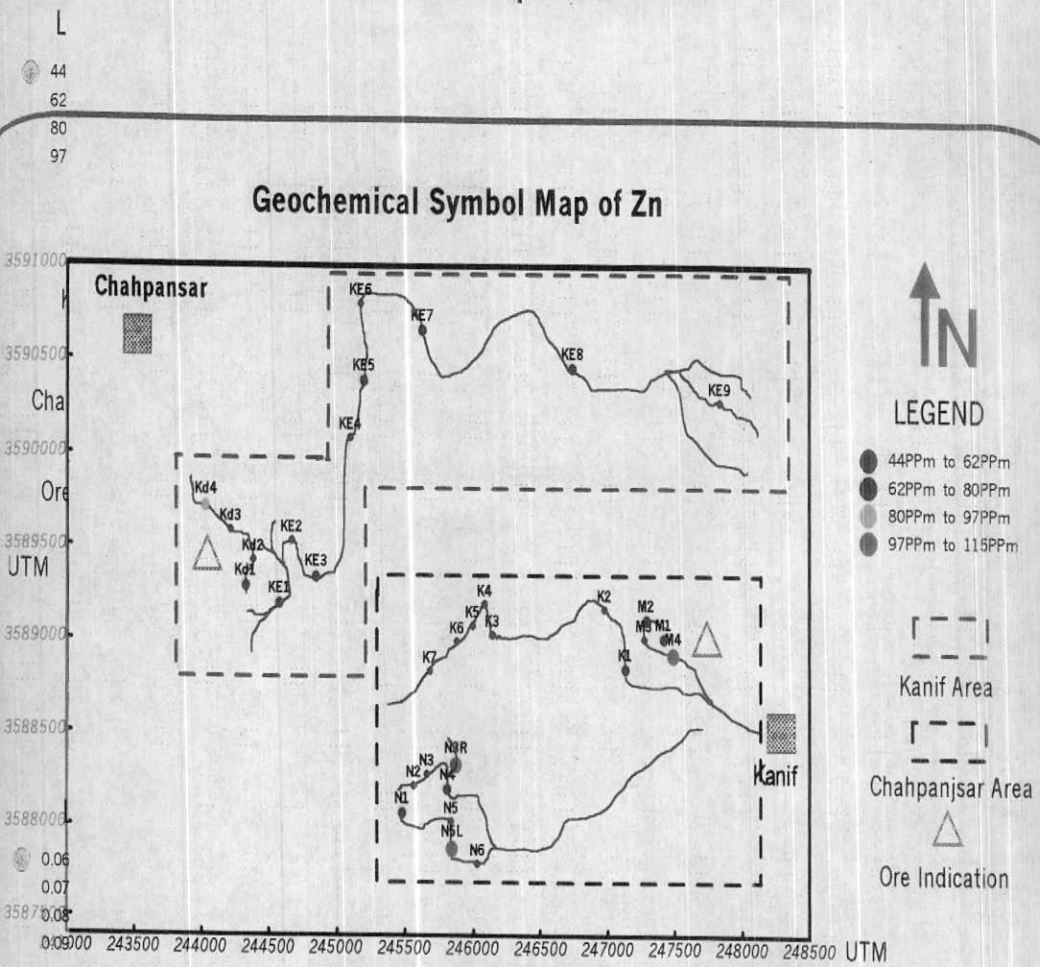


Geochemical Symbol Map of As



Scale 1:50000

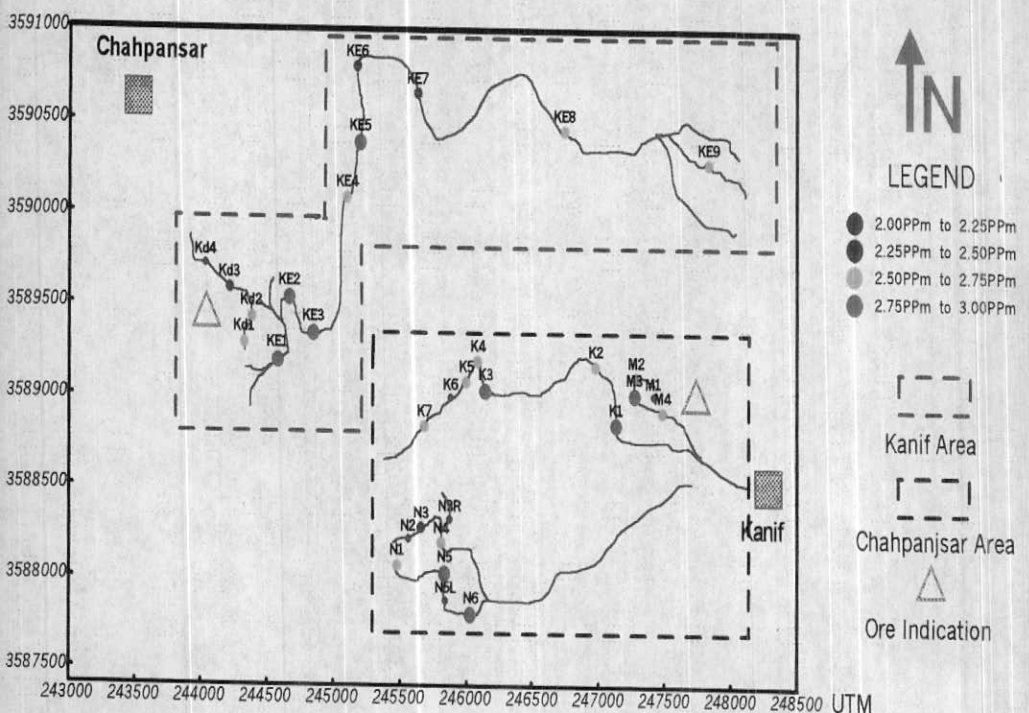
Symbol Map of Geochemical Data in Kanif & Chahpansar Area



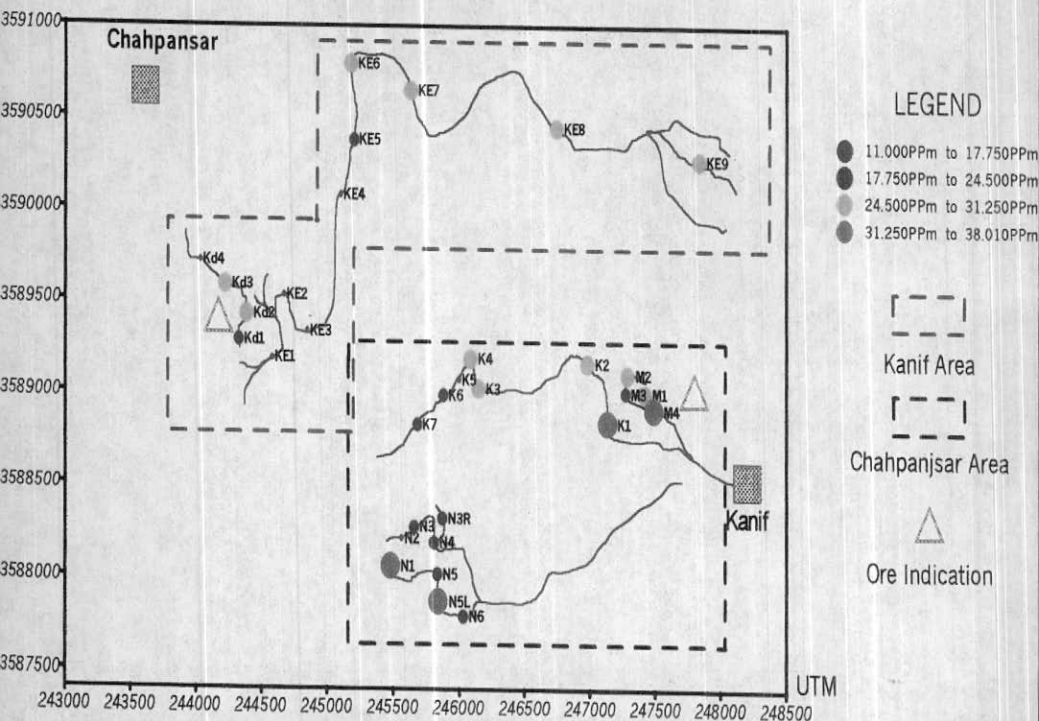
Scale 1:50000

Symbol Map of Geochemical Data in Kanif & Chahpansar Area

Geochemical Symbol Map of Sn



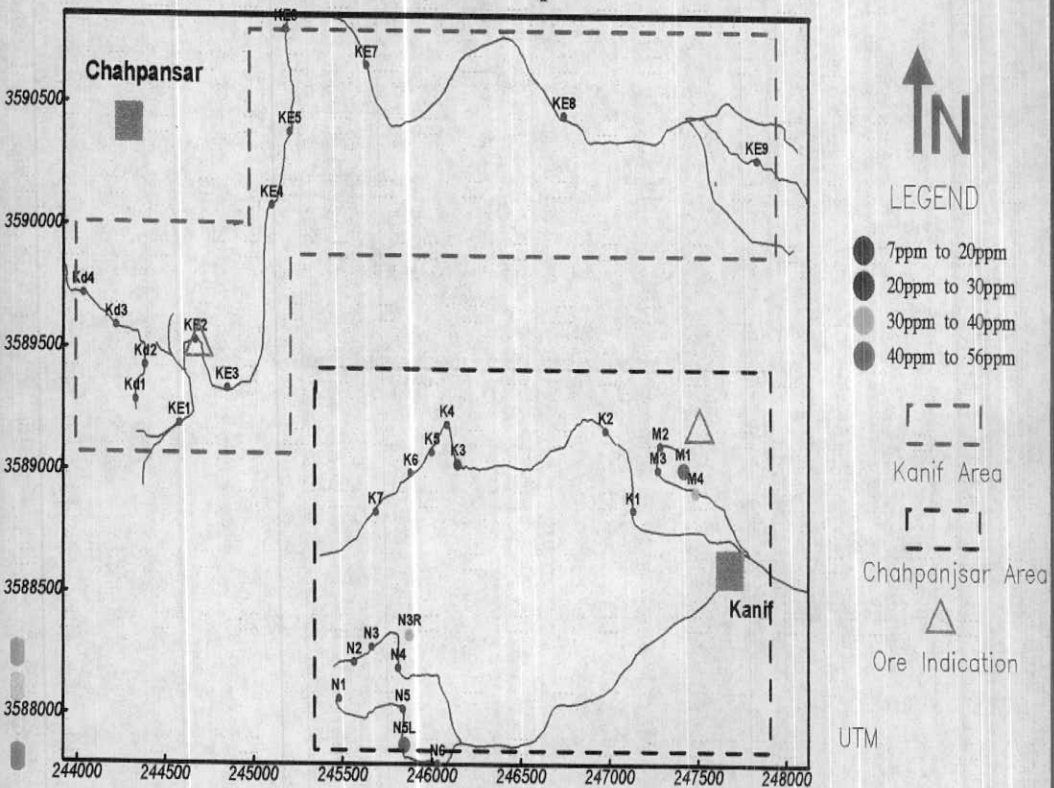
Geochemical Symbol Map of B



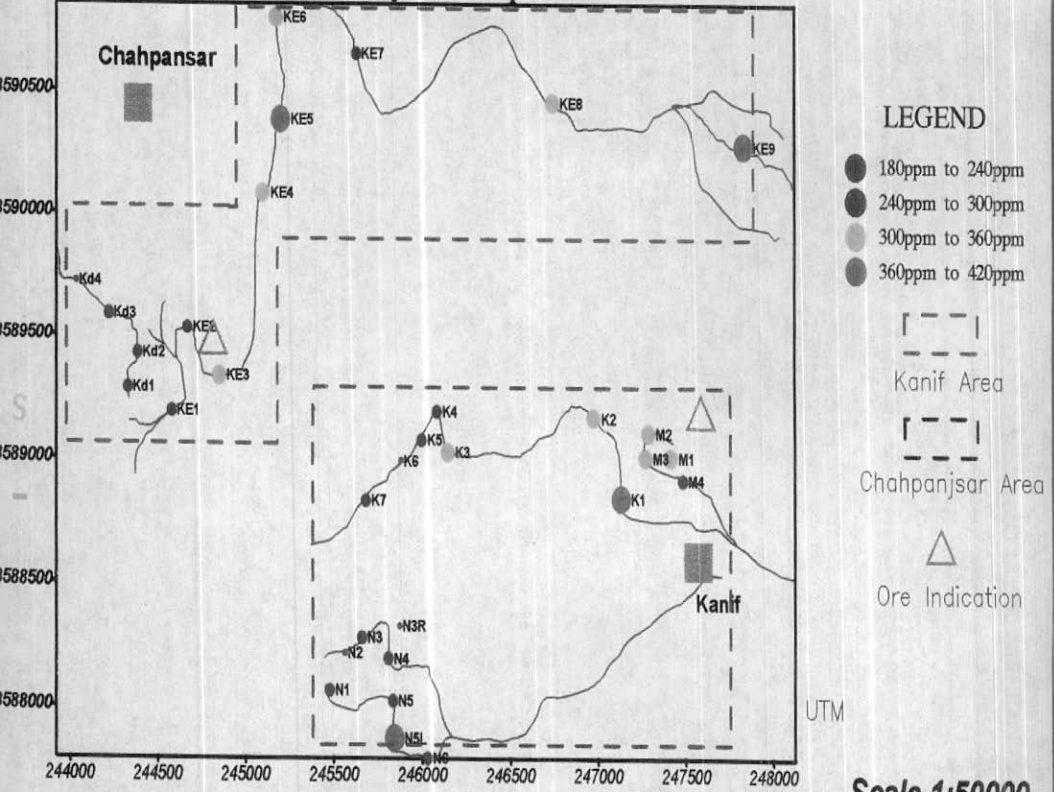
Scale 1:50000

Symbol Map of Geochemical Data in Kanif & Chahpansar Area

Geochemical Symbol Map of Pb



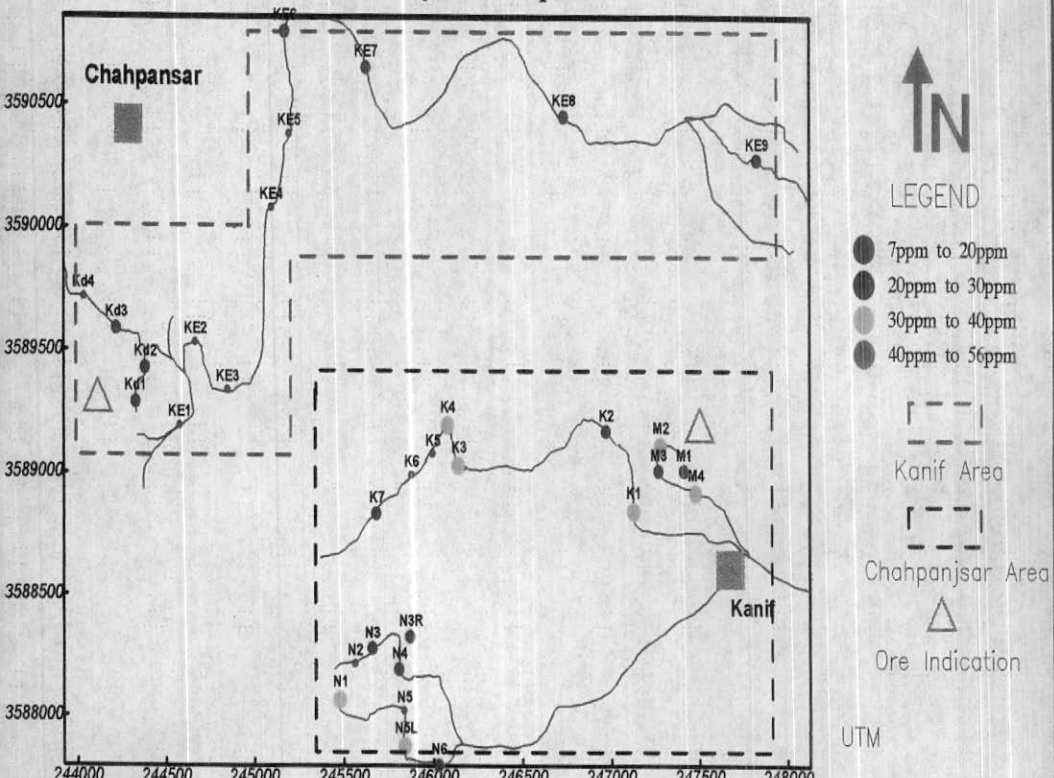
Geochemical Symbol Map of Ba



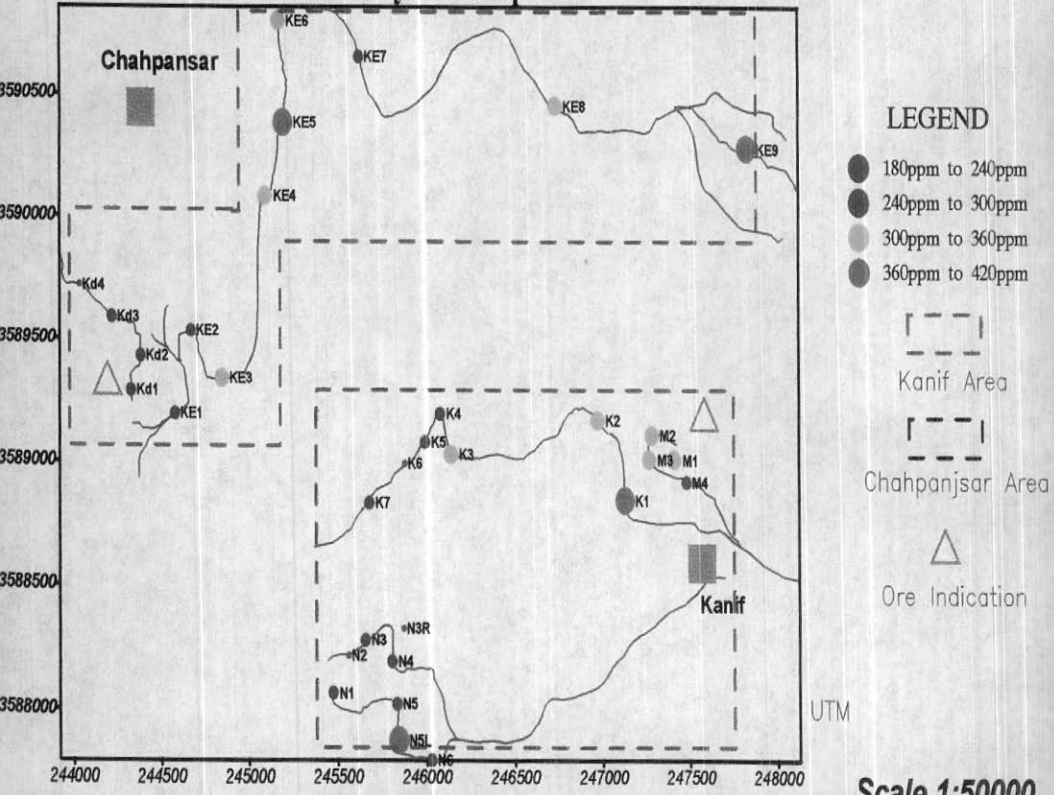
Scale 1:50000

Symbol Map of Geochemical Data in Kanif & Chahpansar Area

Geochemical Symbol Map of B



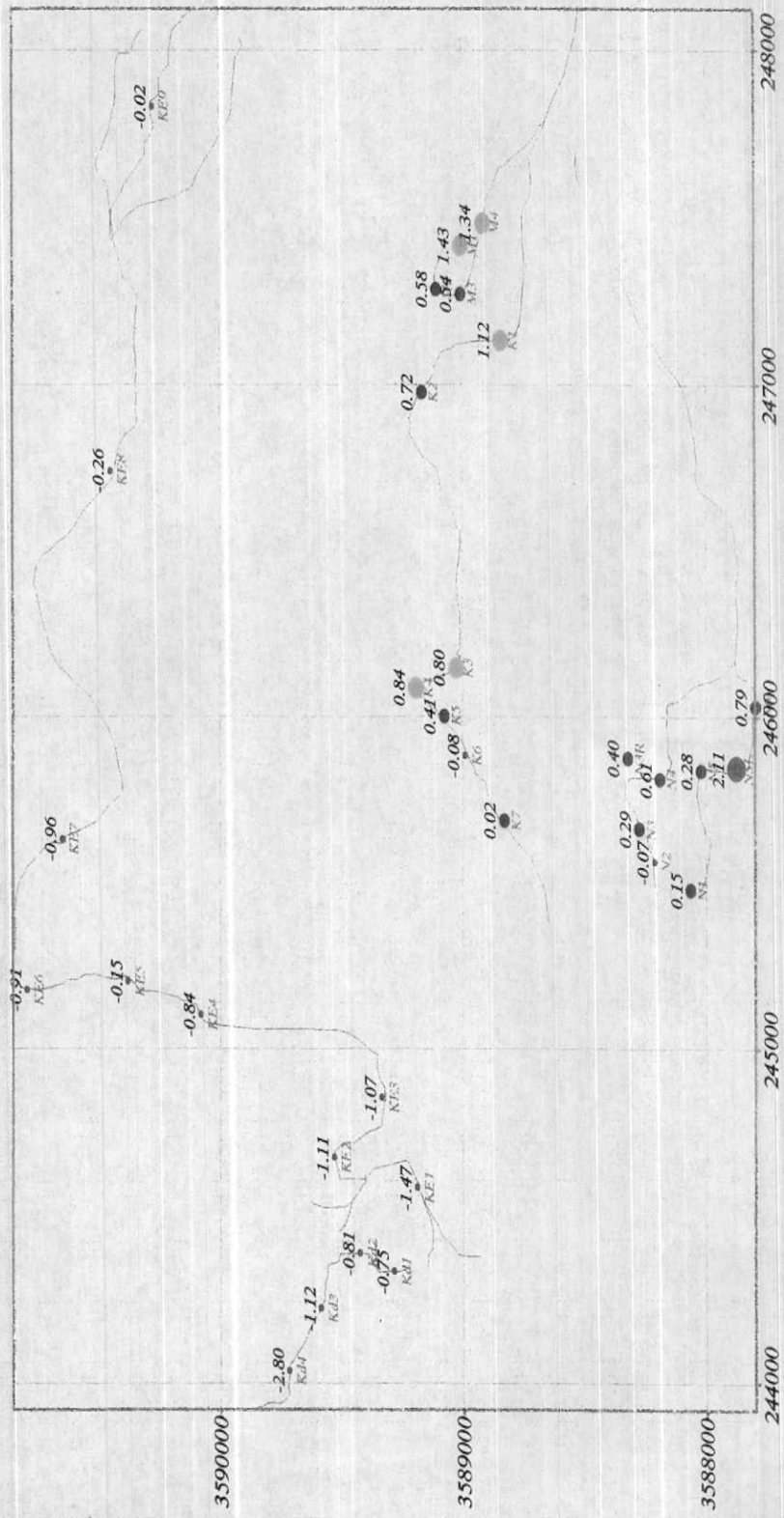
Geochemical Symbol Map of Ba



Scale 1:50000

Symbol Map of Scores Factor I

Values : (As, Sb, Cu, B, Pb)
(Kanif & Chahpangsar Area)



پیشنهاد

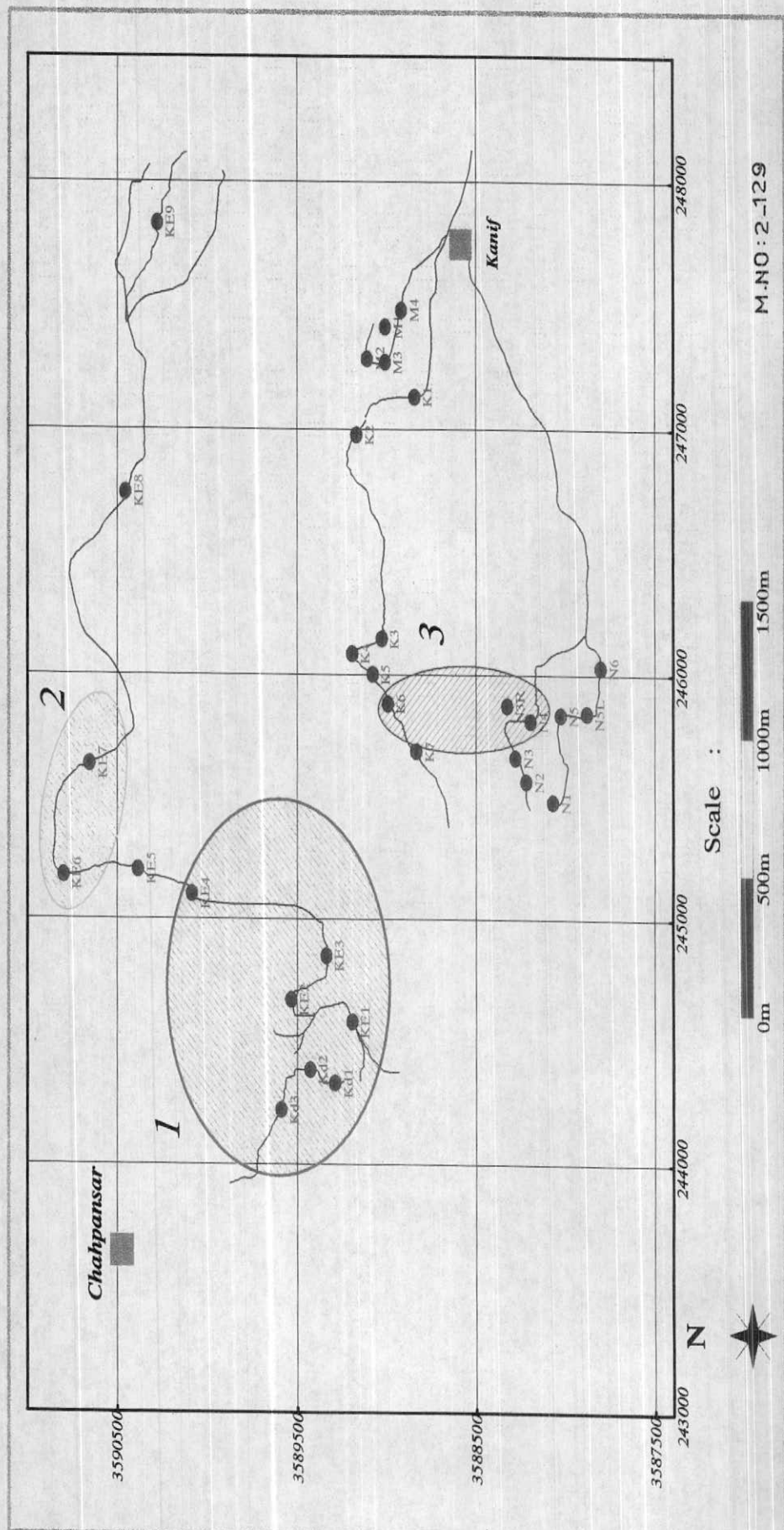
با توجه به نقشه ۱۲۹-۲ مناطق پیشنهادی بر ترتیب الوبت ۱ و ۲ و ۳ با مشخصات ذیل معرفی میگردد.

- ۱- منطقه یک با وسعت حدود $1/5$ کیلومتر مربع در منطقه بادگیر و چشمکه کلانه رشید در یک کیلومتری جنوب شرقی روستای چاه پنج سر برای اکتشاف تفصیلی کرومیت معرفی میگردد.
مختصات UTM مرکز محدوده عبارتست از $N ۲۴۴۵۰۰$ و $E ۳۵۸۵۰۰$ در زون (۴۱).
- ۲- منطقه دو با وسعت $1/5$ کیلومتر مربع در $1/5$ کیلومتر شمال شرقی روستای چاه پنج سر برای اکتشاف تفصیلی کرومیت معرفی میشود. مختصات UTM مرکز محدوده عبارتست از $N ۲۴۵۵۰۰$ و $E ۳۵۰۰۷۵۰$ در زون (۴۱).
- ۳- منطقه سوم با وسعت $1/5$ کیلومتر مربع در 2 کیلومتری غرب روستای کنیف برای اکتشاف تفصیلی کرومیت و دیگر عناصر فلزی معرفی میشود مختصات UTM مرکز محدوده عبارتست از $N ۲۴۶۱۰۰$ و $E ۳۵۸۸۵۰$ در زون (۴۱).
- ۴- همچنین مختصات اندیس های کرومیت ذیل معرفی میشود.
 - ۱- اندیس چاه زالک در جنوب روستای درج به مختصات (زون ۴۰) $N ۳۵۶۴۶۴۱$ و $E ۲۴۸۳۶۷$.
 - ۲- اندیس مالدار در جنوب شرقی سربیشه به مختصات $N ۳۶۰۰۳۲۸$ و $E ۷۷۳۷۰۶$.
 - ۳- اندیس گلاب در جنوب شرقی سربیشه به مختصات (زون ۴۱) $N ۳۶۰۰۲۷۵$ و $E ۷۷۴۹۰۳$.

۴-۴- اندیس تیغ نواب

۱-۴-۲ مقدمه:

Target Area in order for Chromite
(Kanif & Chahpanjsar Area)



اندیس تیغ نوآب در ۶ کیلومتری جنوب غربی روستای تیغ نوآب واقع شده است. کانی سازی در یک سری ماسه سنگهای خاکستری، سبز تا قرمز متعلق به دوره ائوسن میانی صورت گرفته است.

این سری سنگها شامل میان لایه هایی از ماسه سنگ با ماتریکس کربناته و آهک ماسه ای است که رخساره کربناته آن در همیزی با توده نفوذی اسیدی (کوارتز دیبوریت - میکروگرانودیبوریت) در دوره میوسن دگرگون شده و کانی سازی اسکارن را بوجود آورده است. مختصات جغرافیایی این اندیس عبارت است از $60^{\circ}33'E$ و $32^{\circ}06'N$.

۲-۴-۲- روش نمونه برداری و آنالیز نمونه ها
نمونه برداری در مجاورت زون گوسن اندیس تیغ نوآب از یک رگه کوارتز کانی سازی شده بطول ۲۰ متر به روش پوکنیتر - برزدوی انجام شد. ۶ نمونه سنگی از این رگه برداشت و به روش ICP تجزیه گردید لازم به ذکر است برای عناصر مس و جبوه و بیسموت جذب اتمی صورت گرفته است که نتایج این آنالیزها در جدول ۲-۳ آورده شده است.

۲-۴-۳- نتایج مطالعه مقاطع صیقلی از اندیس تیغ نوآب:
۱۴ نمونه مقطع صیقلی (A1-A3)، (B1-B6)، (C1-C2) و (F1-F3) تهیه شد. که نتایج کامل آنها در پیوست آمده است. با مطالعه این مقاطع کانی های اصلی زون سوبرزن عبارتند از اکسید و هیدرورکسید های مس شامل کوپریت، کولین، کالکوزین، ملاکیت و آزوریت و همچنین اکسید هیدرورکسیدهای آهن شامل هماتیت، گوتیت، لیمونیت و ... میباشد. کانی های زون هیپرزن شامل سولفیدهای مس و آهن از قبیل پیریت، کالکوپیریت، منیت و احتمالاً ذرات آزاد مشکوک به طلا شناسایی شد.

Table (33) :Results of Analytical Rock Samples (Tigh Now Ab Area)

No.	No.of Field	Sio2 (%)	Al2o3 (%)	Fe2o3 (%)	Cao (%)	Mgo (%)	MnO (%)	Tio2 (%)	P2o5 (%)	Ag (ppm)	As (ppm)	B (ppm)	Ba (ppm)	Be (ppm)	Bi (ppm)	Pb (ppm)
1	Tigh2	37.7	<1	32	35.4	<1	0.3	0.33	0.2	4.8	<20	19	<10	3	<10	18
2	Tigh3	94.2	<1	1.4	<1	<1	<0.01	0.31	0.1	<1	<20	<10	<10	2	<10	9
3	Tigh4	95.1	<1	4	<1	<1	<0.01	0.31	0.09	<1	136	<10	<10	2	<10	9
4	Tigh5	91.3	<1	2.1	<1	<1	<0.01	0.31	0.1	<1	25	<10	<10	2	<10	9
5	Tigh6	91.7	<1	1.5	1.4	<1	<0.01	0.31	0.19	<1	42	<10	<10	2	<10	9
6	Tigh7	84.1	<1	8.7	<1	<1	<0.01	0.31	0.1	<1	255	<10	<10	2	<10	9

No.	No.of Field	Cd (ppm)	Co (ppm)	Cr (ppm)	Cu (ppm)	Li (ppm)	Mo (ppm)	Ni (ppm)	Sb (ppm)	Sn (ppm)	Sr (ppm)	V (ppm)	W (ppm)	Zn (ppm)	Hg (ppb)	Au (ppb)
1	Tigh2	<2	34	79	4484	<10	<5	39	<10	55	139	151	7	<100	41	
2	Tigh3	<2	111	<10	489	10	<5	<10	<10	47	85	554	17	<100	17	
3	Tigh4	<2	96	17	339	30	31	<10	<10	56	108	464	19	<100	15	
4	Tigh5	<2	100	15	553	22	<5	<10	<10	46	99	461	11	<100	13	
5	Tigh6	<2	91	11	3766	<10	<5	<10	<10	48	98	368	7	<100	25	
6	Tigh7	<2	63	21	659	17	12	<10	17	50	143	263	15	<100	13	

۴-۴-۲ مقایسه نتایج حاصل از آنالیز نمونه ها با مقدار زمینه:

به علت مشخص بودن موقعیت اندیس تیغ نوآب نیازی به اجرای پروفیل نمونه برداری یا اجرای نمونه برداری شبکه آبراهه ای نبود. لذا تعداد ۶ نمونه سنگی از رگه کانی سازی شده کافی به نظر میرسید. برای تعیین مقدار غنی شدگی این نمونه ها مقدار غلظت عناصر موردانالیز با مقدار متوسط عناصر در سنگهای گرانودیبوریتی مقایسه شده است که در اشکال ۱۳۱-۲ و ۱۳۲-۲ و ۱۳۳-۲ و ۱۳۴-۲ این نمودارهای مقایسه ای آورده شده است.

در نمودار ۱۳۱-۲ یک غنی شدگی از سیلیس (جز نمونه تیغ ۲) دیده میشود. و یک تهی شدگی از Al₂O₃,MgO,TiO₂,P₂O₅ در تمام نمونه هادیده میشود. برای اکسید کلسیم و اکسید آهن فقط نمونه تیغ ۲ بیش از حد زمینه میباشد.

در نمودار غنی شدگی در عناصر مس خصوصا در نمونه تیغ ۲ و تیغ ۶ و همچنین برای عنصر کبات و تنگستن و همچنین یک تهی شدگی برای عناصر لیتیم و استرانسیم دیده شود. در نمودار ۱۳۳-۲ غنی شدگی ارسنیک و مولیبدن در نمونه ها و تهی شدگی باریم نیز واضح است. در نمودار ۱۳۴-۲ غنی شدگی طلا، آنتیموان و یک تهی شدگی را برای عنصر روی شاهد هستیم.

۵-۴-۲ تیپ ژئوشیمیابی - کانی شناسی اندیس تیغ نوآب

در اطراف درح و تیغ نوآب زون کانی سازی شده ای بین کن tact ماسه سنگهای آهکی اثرسن و توده نفوذی (کوارتز دیبوریت و میکروگرانودیبوریت) بوجود آمده است که اندیس تیغ نوآب از نظر اقتصادی مهمترین آنها پیشنهاد شده است (بازوچه به نتایج (BRGM))

نتائج داده های ژئوشیمیابی و همینصور مقاطع صیقلی و مطالعات صحرایی مشخص کننده تیپ

اسکارن مس دار برای این اندیس میباشد. تنها تیپ دیگر اسکارن مس دار در ایران همانطوریکه

Fig131 :Comparative Diagram for major oxides in Tigh Now Ab Area.

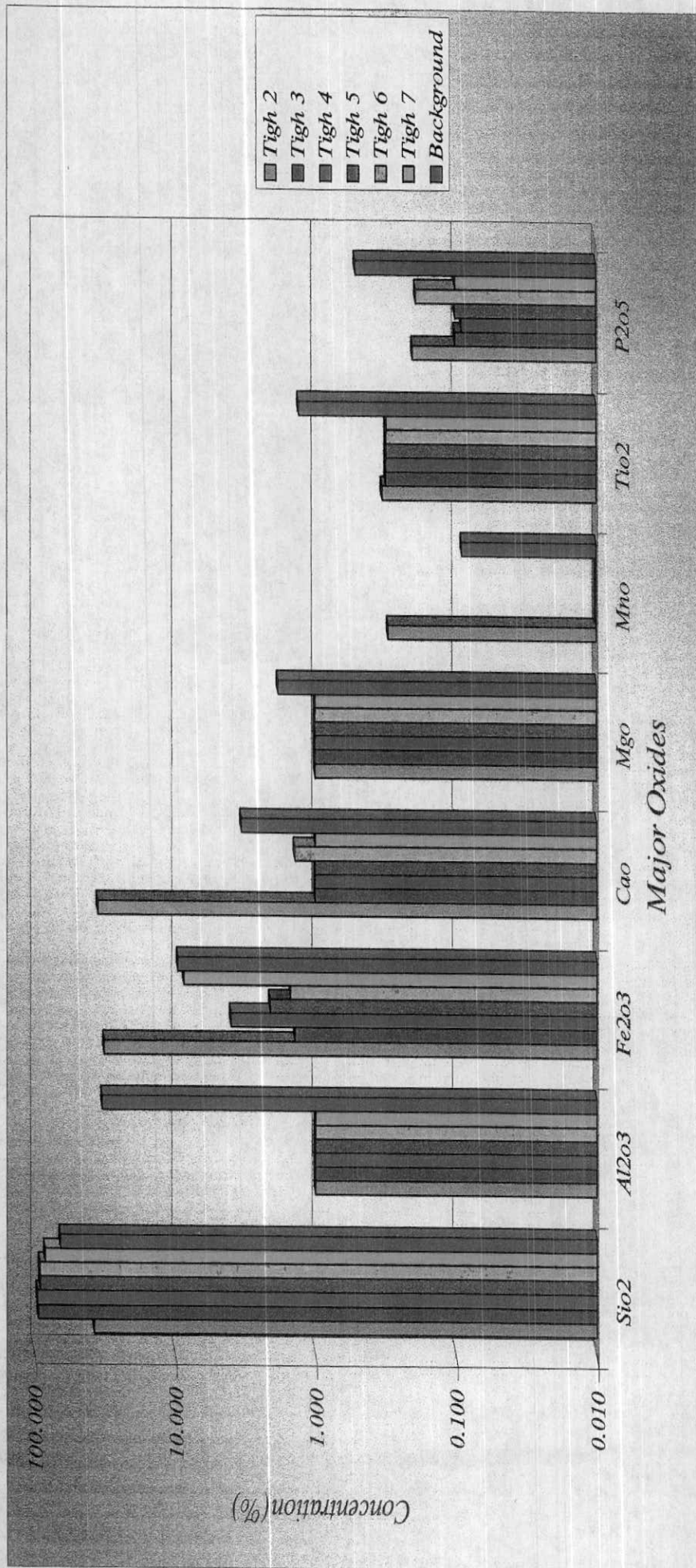


Fig.132 .Comparative Diagram for Major Elements in Tigh Now Ab Area.



Fig. 133 :Comparative Diagram for Major Elements in Tigh Now Ab Area.

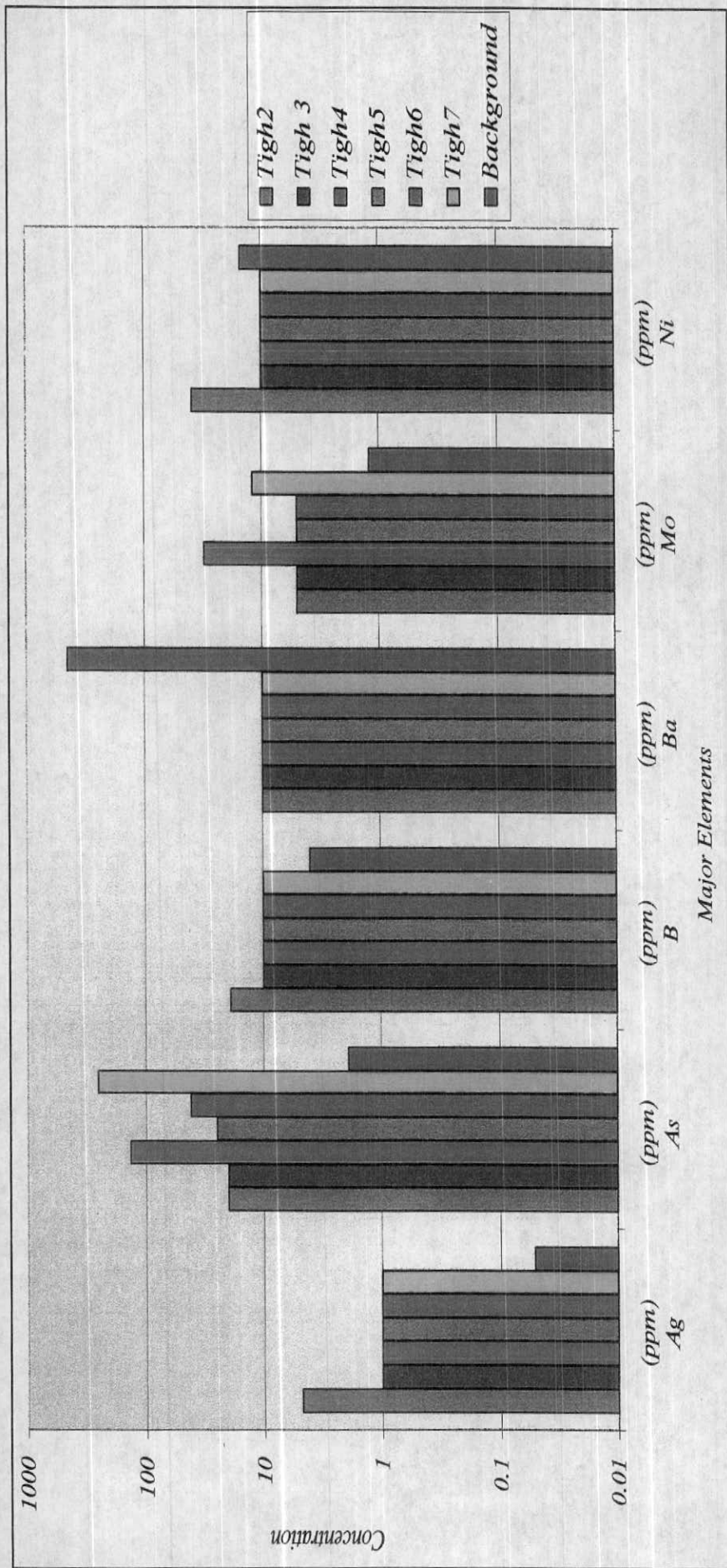
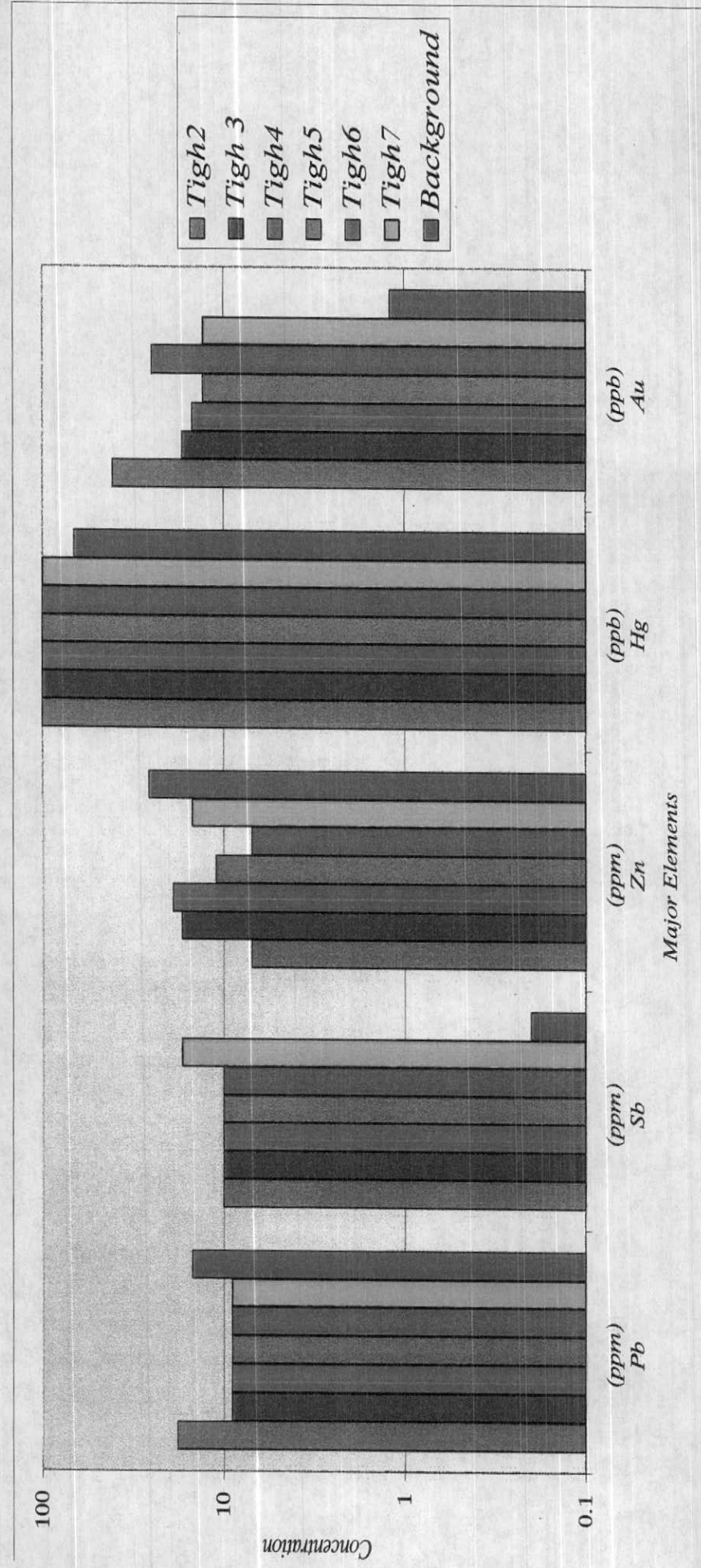


Fig.134 :Comparative Diagram for Major Elements in Tigh Now Ab Area.



گزارش میکند در آذربایجان شرقی در ناحیه مزرعه بنام معدن انجرت واقع شده است که BRGM

مطالعات این نوع اندیس ها میتواند با روشهای ژئوشیمیابی نتایج مشتبه را در بر داشته باشد.

۶-۴-۲ نتایج و پیشنهادات

براساس آمار (کریستف ۱۹۸۹) ازین ۶۴ معدن اسکارن مس دار فقط ۱۶ معدن برای طلا پتانسیل دار

بوده است که ذخیره متوسط مس آنها حدود نیم میلیون تن میباشد. داده های نمونه برداری شده

از تبع نوآب اکثراً بروش نیمه کمی آنالیز شده است که ارزیابی پتانسیل دار بودن این اندیس برای طلا

و نقره ممکن نمیباشد. همچنین تجزیه میکروعنصر پیریت برای این ارزیابی لازم است.

پیشنهاد می شود بدون توجه به پتانسیل این اندیس برای طلا و نقره اکتشافات نکملی به منظور تعیین

ذخیره عنصر مس به روش سیستماتیک در برگیرنده هاله ثانویه اجرا شود که برای محدوده کمتر از

یک کیلومتر مربع شبکه نمونه برداری 100×100 متر حداقل 300 نمونه برآورد میشود. این نمونه

ها از هاله ثانویه سطحی برداشت خواهد شد.

P. 31
Fig. :Comparative Diagram Between Elements in Maldar Area.

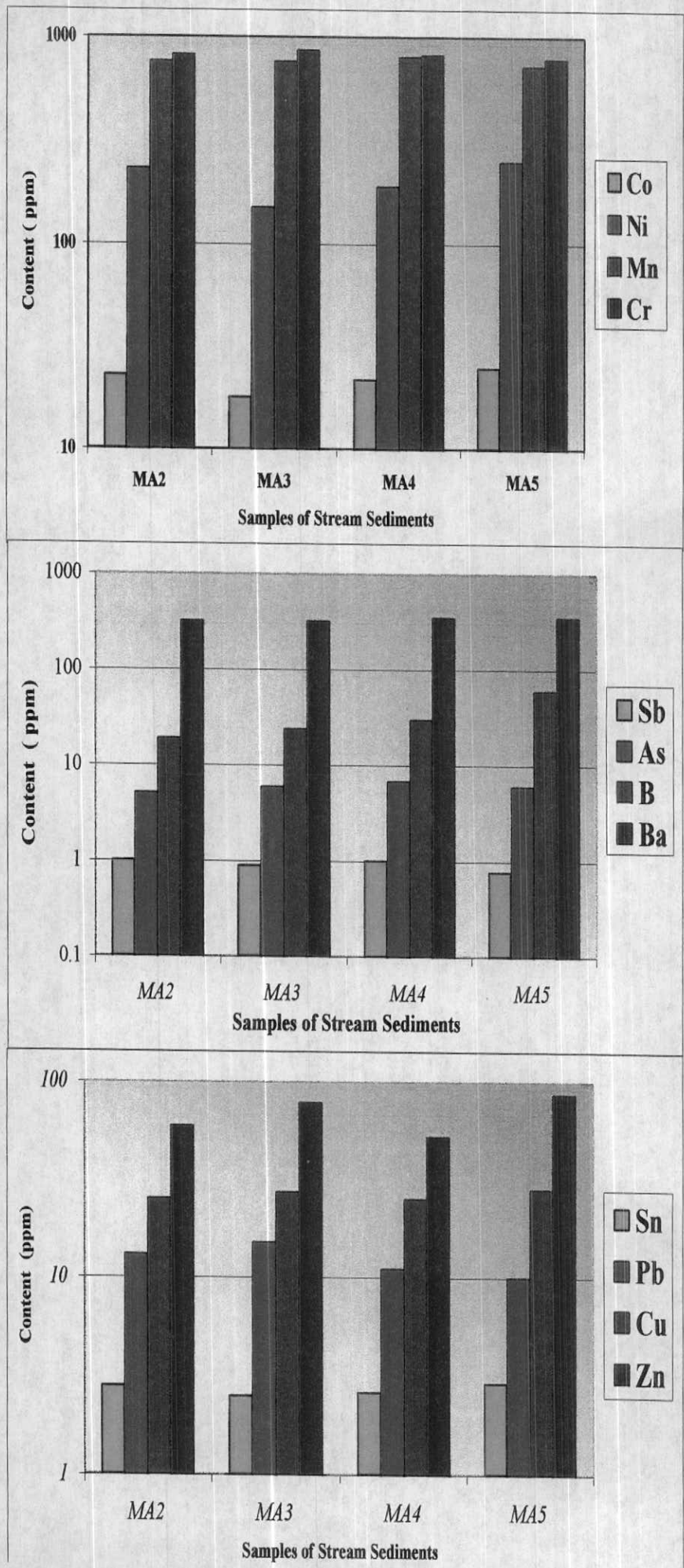


Fig. P. 32 :Comparative Diagram Between Samples of Heavy Minerals in Maldar Area.

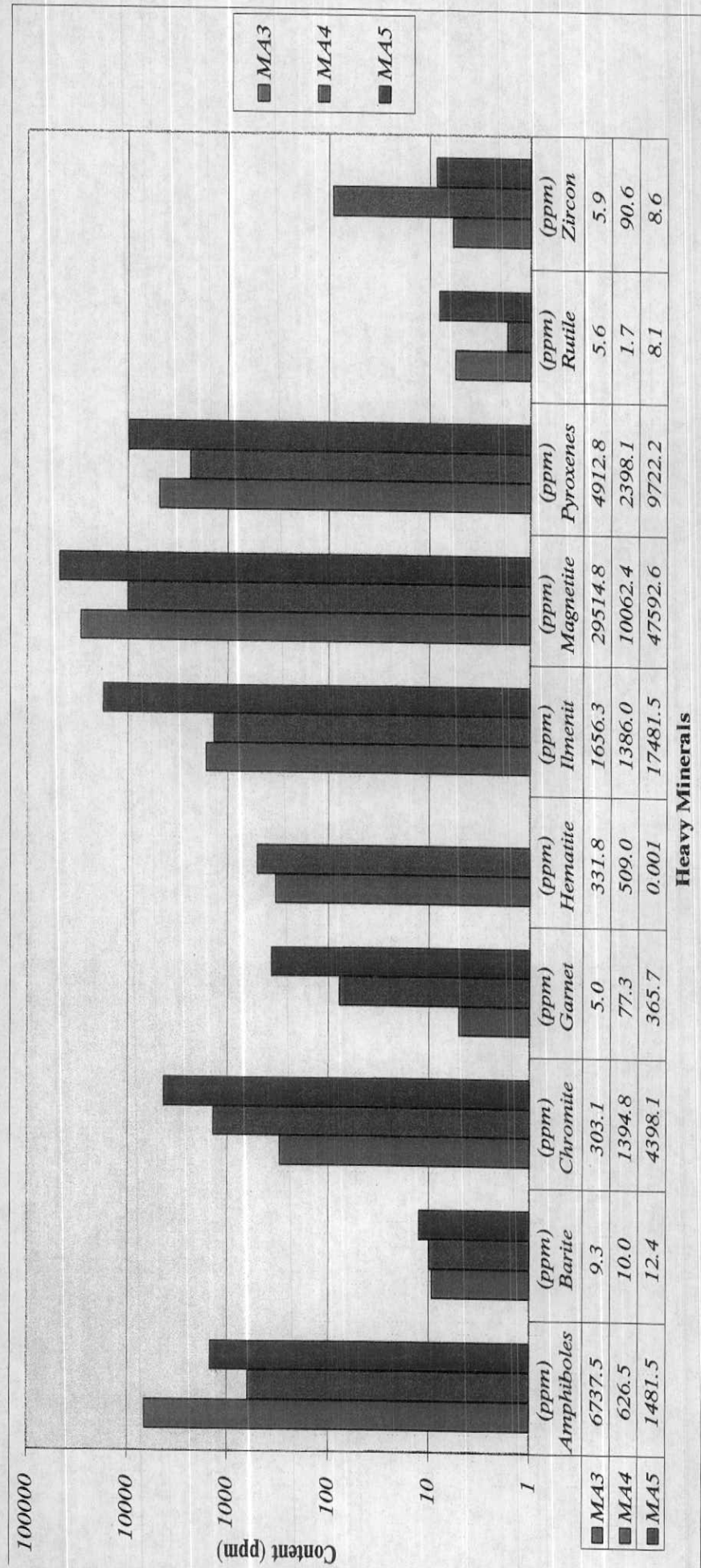


Fig. P.32 .Comparative Diagram Between Samples of Heavy Minerals in Golab Area.

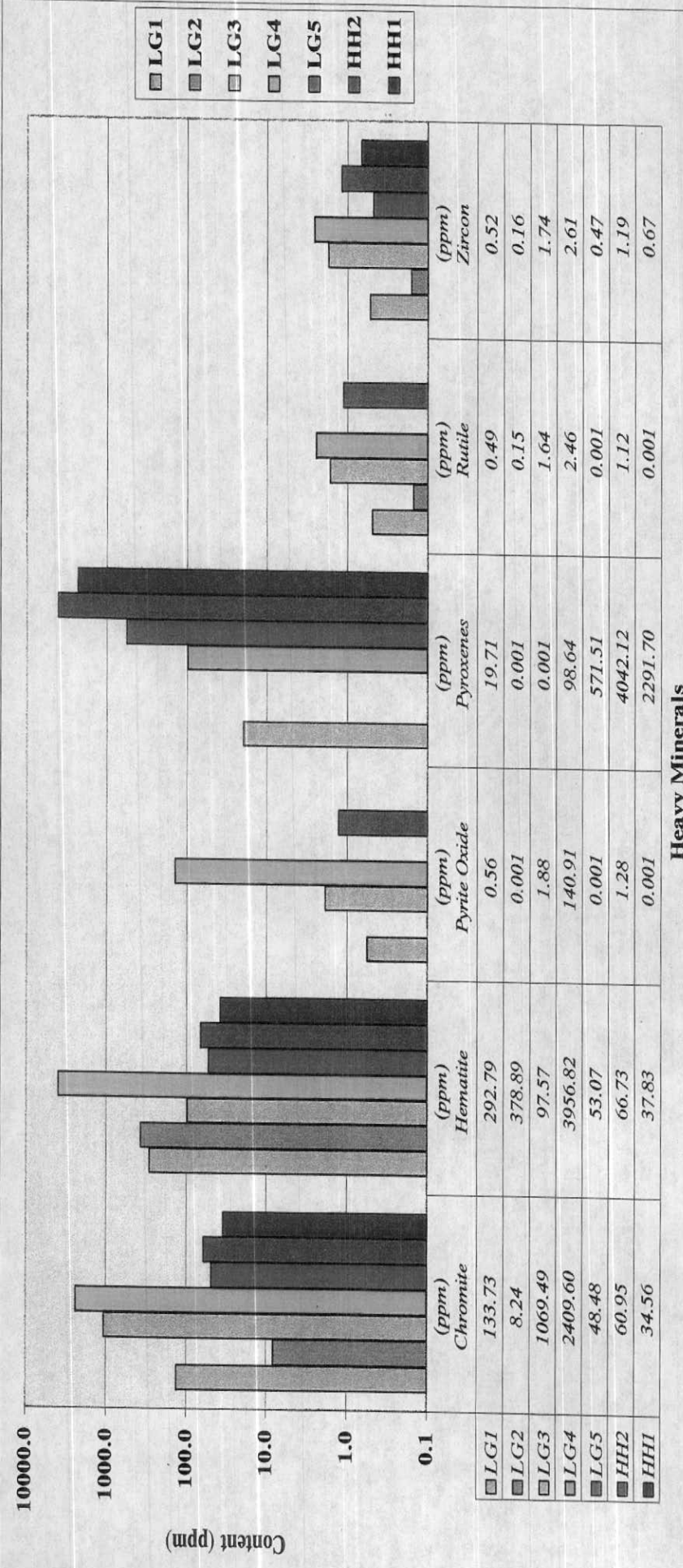


Fig. 2.33 :Comparative Diagram for Samples of Heavy Minerals in Golab Area.

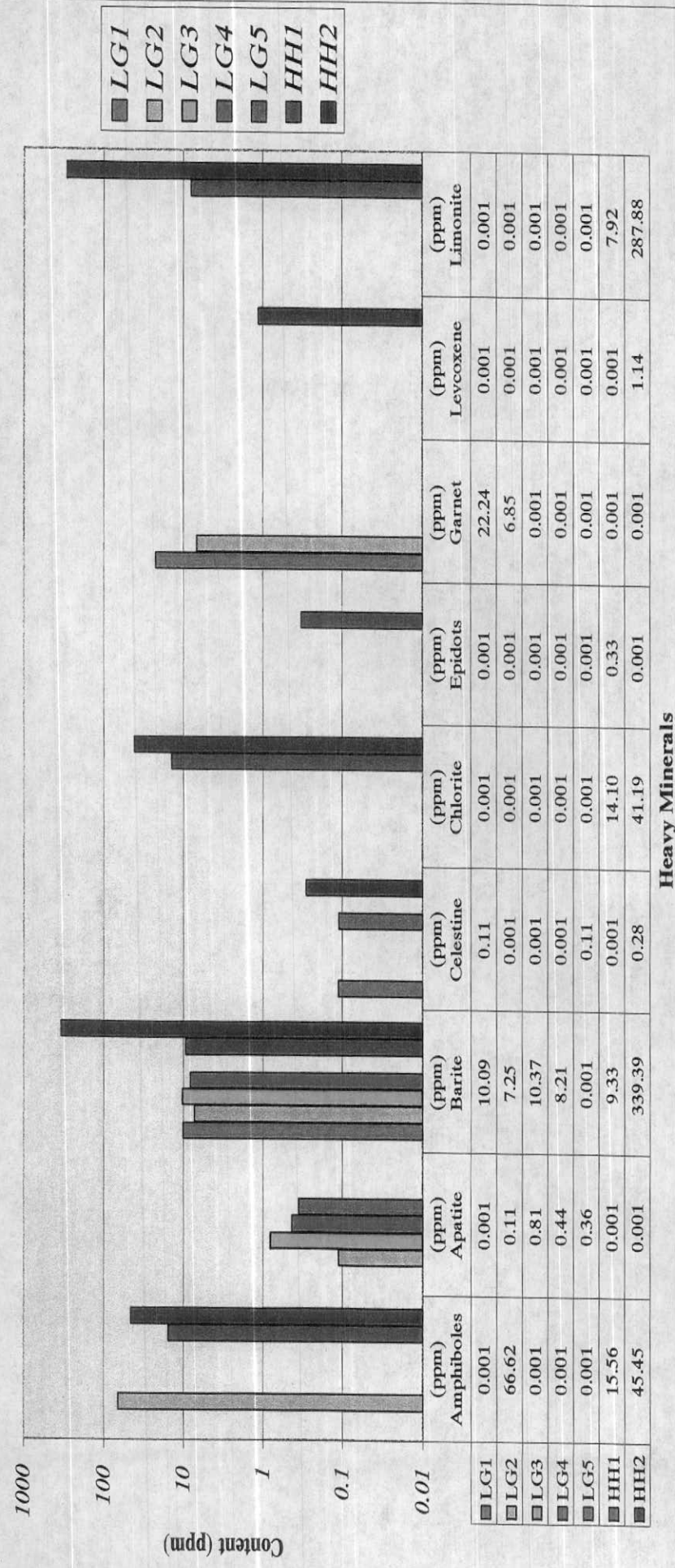


Fig.P.2.3.3 :Comparative Diagram for Samples of Heavy Minerals in Golab Area.

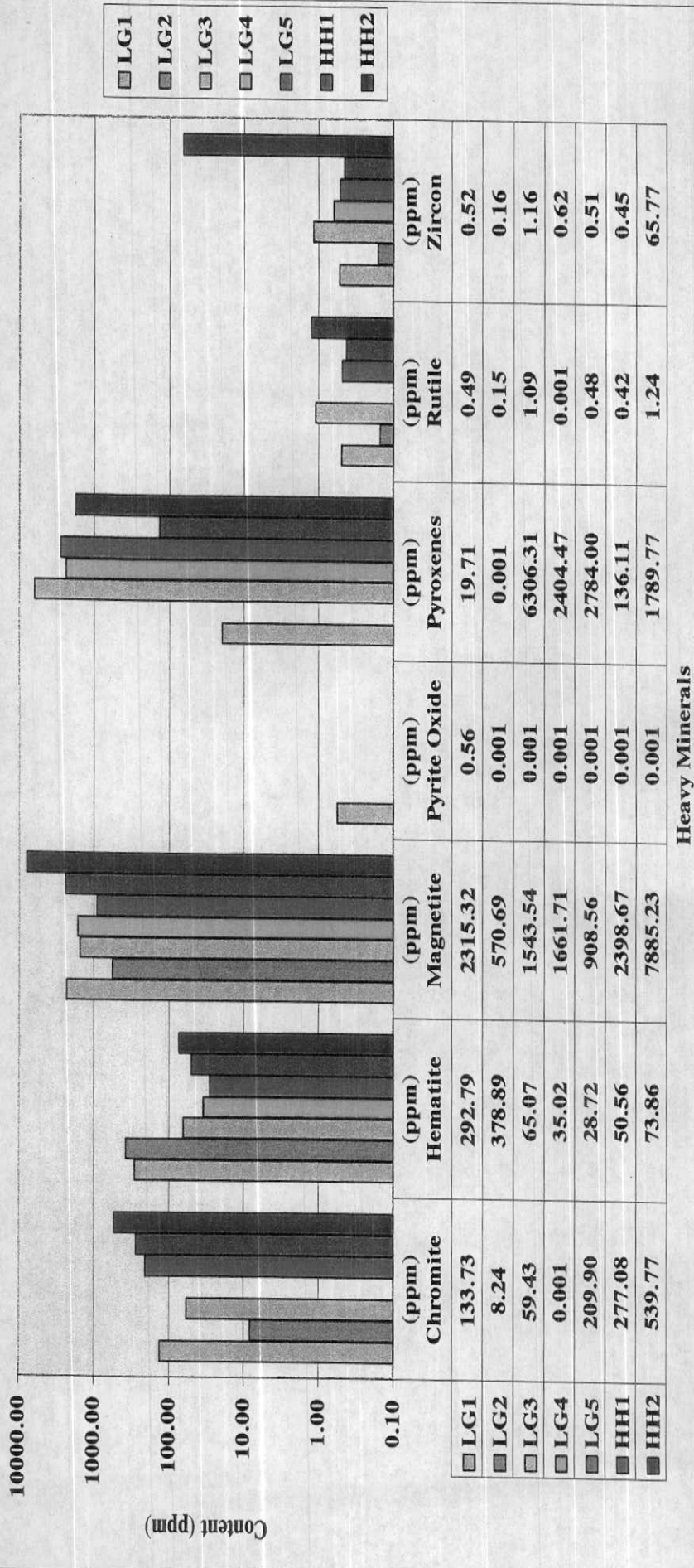


Table P34 :Results of Analysis for Elements in Golab Area.

Row	Field No.	Co.No.	Coordinate(UTM)			Analysis of Elements on PPM																
			X	Y	Zn	Pb	Cu	B	Ag	Sn	Ni	Cr	Co	Be	Ba	Mn	W	Mo	Hg	As	Sb	Bi
1	LG1	79.AF.256	773727	3600518	28	14	89	0.08	2.5	40	180	390	21	0.84	320	590	1.24	0.5	0.05	6.6	0.9	0.12
2	LG2	79.AF.257	773520	3600397	29	28	95	0.11	2.6	40	130	390	21	0.76	320	560	0.52	0.5	0.05	6.3	0.78	0.12
3	LG3	79.AF.258	773990	3600546	41	12	88	0.08	2	36	120	390	23	0.72	230	620	0.5	0.5	0.05	8.4	1.23	0.42
4	LG4	79.AF.259	774121	3600448	37	23	115	0.09	2.6	23	100	460	24	0.5	170	690	0.5	0.5	0.05	18.6	1.34	0.12
5	LG5	79.AF.260	774315	3600528	37	60	150	0.12	2.2	25	130	290	26	0.57	250	620	0.5	0.69	0.05	7.8	1.34	0.12
6	HH1	79.AF.261	774617	3600561	37	21	84	0.1	2.7	26	130	460	25	0.5	195	660	0.5	0.05	19.2	1.12	0.18	
7	HH2	79.AF.262	774511	3600621	37	19	95	0.09	3.2	27	150	440	24	0.57	220	660	0.6	0.5	0.05	7.65	0.78	0.18

*Table P35 : Compare of Chromite between Stream Sediments and Heavy Minerals
Sample.
(Kanif Area)*

	Stream Sediments	Heavy Mineral
Field No.	Cr (ppm)	Chromite (ppm)
K1	310	1.30
K2	260	0.48
K3	240	27.50
K4	310	0.39
K5	310	0.61
K6	390	1.28
K7	310	25.60
N1	360	20.50
N2	310	48.54
N3	280	0.27
N4	500	13.45
N5	420	41.45
N6	360	0.85
M1	200	21.26
M2	210	0.50
M3	150	141.72
M4	320	277.08
Kd1	440	159.67
Kd2	520	70.04
Kd3	520	612.73
Kd4	800	67.72
KE1	630	186.27
KE2	580	1.92
KE3	600	1.61
KE4	600	85.46
KE5	260	1.45
KE6	680	45.24
KE7	630	27.51
KE8	450	146.60
KE9	560	142.94
N3R	340	59.43
N3L	-1	-1
N5L	420	209.90

Table P3: Compare of Chromite between Stream Sediments and Heavy Minerals Sample.
(Dastgerd Area)

Field No.	Stream Sediments Cr (ppm)	Heavy Mineral Chromite (ppm)
ABC1	900	1130.95
ABC2	920	-1
ABC3	760	646.26
ABC4	960	7270.41
ABC5	490	950.00
ABC6	420	1161.11
ABC7	-1	1053.99
ABC8	650	0.28
ABC9	760	75.48
ABC10	-1	2316.58
ABC11	900	219.12
ABC12	300	491.96
ABC13	430	336.20
ABC14	390	14.56
ABC15	440	146.88
ABC16	560	114.79
ABC17	360	27.11
ABC18	260	77.86
ABC19	290	384.43
ABC20	320	22.09
ABC21	320	-1
ABC22	290	104.87
ABC23	320	95.21
ABC24	280	29.84
ABC25	320	8.15
ABC26	230	539.77

Fig.P37: Comparative Diagrams Between Major Elements in Golab Area.

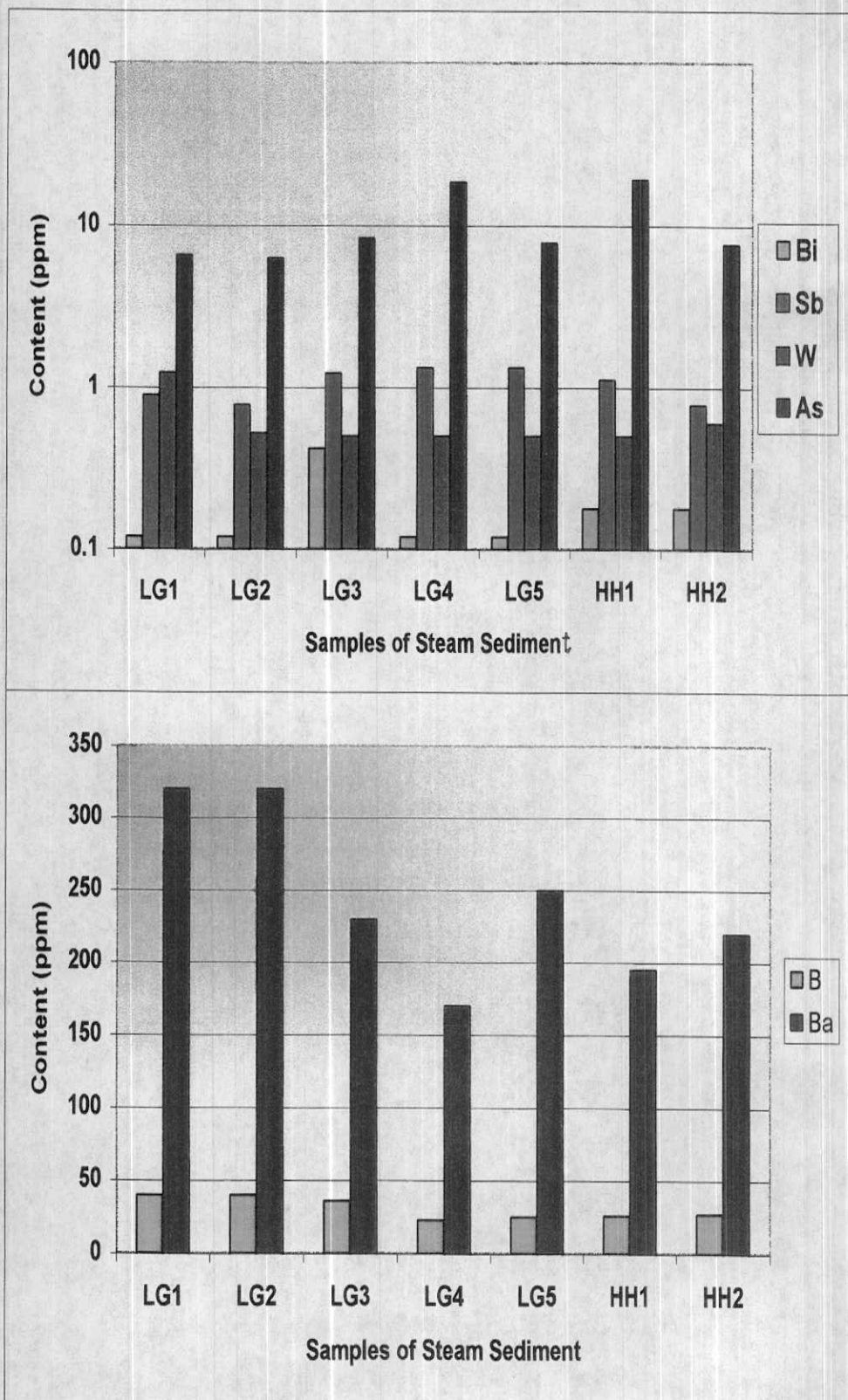


Fig.37: Comparative Diagrams Between Major Elements in Golab Area.

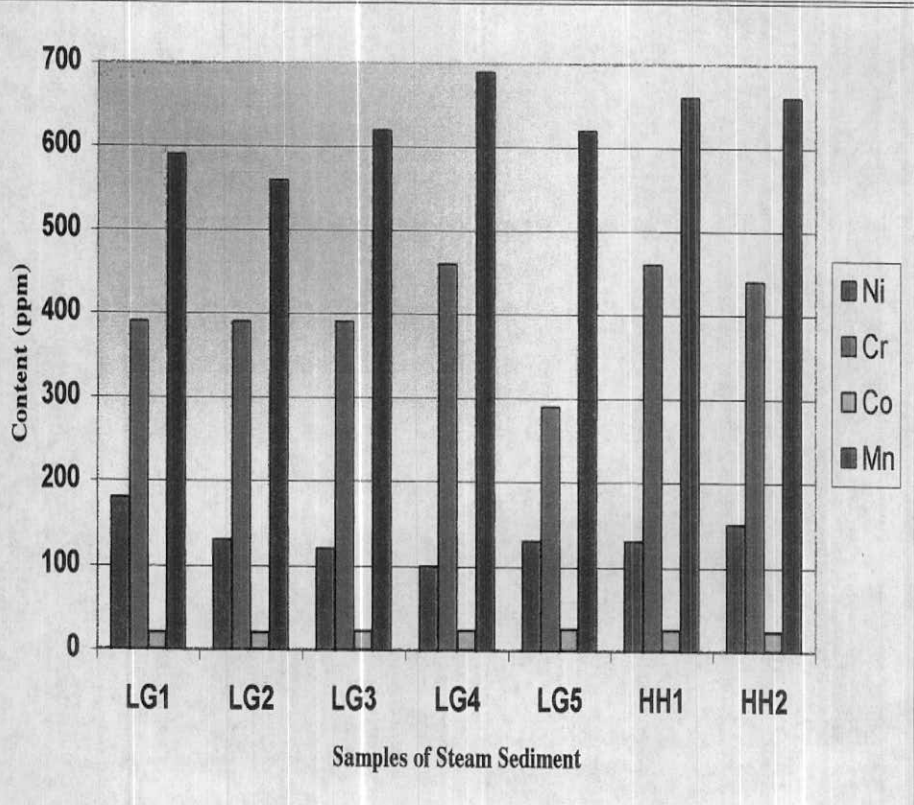
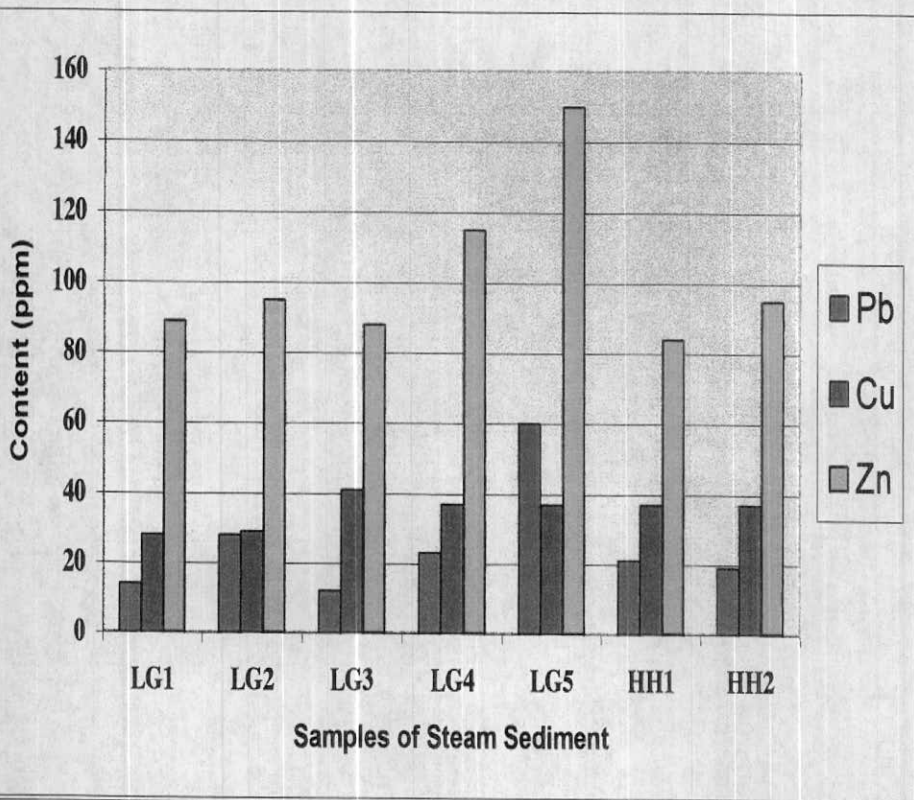


Table P. 2. 38 :Results of Grade Heavy Minerals in Kanif and Chahpanjsar Area.

Row	Field No.	Co.No.	Coordinate(UTM)	T.W(a) Y	S.W(C) X	H.W(y) (gr)	Scheelite (gr)	Gold (ppm)	Amphiboles (ppm)	Anatase (ppm)	Apatite (ppm)	Arragonite (ppm)	Barite (ppm)	Celestine (ppm)
1	K1	79.AF.196	247132	35888442	23.38	9.0	1.65	4.55	1844.05	2.74	44.32	336.15	159.68	82.32
2	K2	79.AF.197	246977	3589167	51.16	25.40	7.8	0.60	-1	880.36	2.53	0.32	-1	2.94
3	K3	79.AF.198	246147	3589027	37.28	18.53	4.8	-1	-1	889.41	-1	-1	-1	4.03
4	K4	79.AF.199	246087	3589192	46.52	11.77	2.7	-1	1.36	946.78	-1	-1	0.29	-1
5	K5	79.AF.200	246002	3589077	31.36	15.24	3.7	-1	-1	1816.74	4.21	-1	-1	-1
6	K6	79.AF.201	245882	3588992	14.94	14.94	3.6	-1	-1	688.16	-1	-1	249.89	-1
7	K7	79.AF.202	245687	3588832	33.48	17.09	3.7	-1	-1	137.95	-1	-1	218.45	-1
8	N1	79.AF.203	245481	3588065	39.73	19.93	4.1	-1	-1	165.69	-1	-1	187.32	-1
9	N2	79.AF.204	245565	3588215	47.90	12.94	1.9	-1	-1	65.39	-1	-1	288.51	-1
10	N3	79.AF.205	245662	3588277	43.63	10.69	1.6	-1	-1	9.15	-1	-1	6.98	-1
11	N4	79.AF.206	245812	3588192	61.52	15.79	3.3	-1	-1	217.42	-1	-1	236.44	-1
12	N5	79.AF.207	245837	3588022	36.04	18.02	6.8	-1	-1	335.06	-1	-1	207.18	-1
13	N6	79.AF.208	246032	3587797	20.00	13.50	2.9	-1	-1	687.41	-1	-1	5.53	-1
14	M1	79.AF.209	247417	3589006	36.55	18.85	3.7	-1	-1	458.27	-1	-1	198.05	-1
15	M2	79.AF.210	247287	3589107	44.15	23.40	6.5	0.63	-1	1073.78	-1	-1	159.54	-1
16	M3	79.AF.211	247272	3589007	10.57	10.57	4.0	-1	-1	1527.56	6.07	1.93	-1	353.20
17	M4	79.AF.266	247485	3588915	60.00	8.00	2.8	-1	-1	15.56	-1	-1	9.33	-1
18	KD1	79.AF.212	244332	3589287	13.36	13.36	7.2	-1	-1	860.55	-1	2.17	-1	279.44
19	KD2	79.AF.213	244387	3589427	91.57	11.11	4.5	-1	-1	47.18	-1	-1	6.72	-1
20	KD3	79.AF.214	244222	3589587	19.49	19.49	9.8	-1	-1	412.78	-1	1.39	1.50	191.55
21	KD4	79.AF.215	244037	3589717	42.77	12.30	9.0	-1	-1	91.24	-1	-1	-1	2428.18
22	KE1	79.AF.216	244582	3589192	34.00	18.00	3.6	-1	-1	125.49	-1	-1	4.15	-1
23	KE2	79.AF.217	244672	3589532	12.00	12.00	3.5	-1	-1	1296.30	-1	-1	-1	311.11
24	KE3	79.AF.218	244852	3589337	18.00	9.00	3.3	-1	-1	543.21	-1	-1	8.30	-1
25	KE4	79.AF.219	245102	3590082	22.00	12.00	5.7	-1	-1	1727.27	-1	-1	-1	311.11
26	KE5	79.AF.220	245202	3590382	14.00	7.00	1.8	-1	-1	1469.39	-1	-1	533.33	0.31
27	KE6	79.AF.221	245177	3590797	35.00	7.00	2.8	-1	-1	685.71	-1	-1	533.33	-1
28	KE7	79.AF.222	245632	3590652	37.00	7.00	1.8	-1	-1	463.32	-1	0.37	-1	10.67
29	KE8	79.AF.223	246742	3590452	9.00	9.00	3.0	-1	-1	4740.74	-1	-1	414.81	-1
30	KE9	79.AF.224	247832	359027	12.00	12.00	5.2	-1	-1	3851.85	-1	-1	311.11	0.60
31	N3R	79.AF.263	245875	3588325	29.60	7.20	3.2	-1	-1	0.81	-1	-1	10.37	-1
32	N3L	79.AF.264	245746	3588074	77.50	9.10	5.7	-1	-1	0.44	-1	-1	8.21	-1
33	N5L	79.AF.265	245845	3587875	87.50	10.00	5.8	-1	-1	0.36	-1	-1	-1	0.11

-1 = Not Observed

Table F.2 . 38 :Results of Grade Heavy Minerals in Kanif and Chahpanj sar Area.

Row	Field No.	Co.No.	Coordinate(UTM) X Y	Chlorite (ppm)	Epidots (ppm)	Garnet (ppm)	Goethite (ppm)	Hematite (ppm)	Ilimenit (ppm)	Levoxene (ppm)	Limonite (ppm)	Magnetite (ppm)
1	K1	79.AF.196	247132	3588842	-1	1.30	46.65	-1	3852.74	453.33	-1	70.52
2	K2	79.AF.197	246977	3589167	14.51	0.48	0.34	0.40	260.11	-1	124.67	2313.95
3	K3	79.AF.198	246147	3589027	16.79	27.50	-1	0.46	180.66	-1	1025.36	2142.91
4	K4	79.AF.199	246087	3589192	11.92	0.39	-1	-1	170.95	-1	269.05	760.38
5	K5	79.AF.200	246002	3589077	18.71	0.61	-1	0.51	268.38	-1	0.52	207.79
6	K6	79.AF.201	245882	3588992	-1	1.28	-1	-1	139.78	-1	-1	4.24
7	K7	79.AF.202	245687	3588832	-1	25.60	-1	-1	28.02	-1	-1	4487.16
8	N1	79.AF.203	245481	3588065	-1	20.50	-1	-1	67.31	-1	-1	2949.79
9	N2	79.AF.204	245565	3588215	-1	48.54	-1	-1	13.28	-1	-1	1260.48
10	N3	79.AF.205	245662	3588277	0.17	0.27	-1	-1	-1	-1	-1	1763.28
11	N4	79.AF.206	245812	3588192	8.21	13.45	-1	-1	44.16	-1	-1	1629.73
12	N5	79.AF.207	245837	3588022	25.30	41.45	-1	-1	-1	-1	175.73	5650.95
13	N6	79.AF.208	246032	3587797	25.96	0.85	-1	-1	186.17	-1	-1	4968.67
14	M1	79.AF.209	247417	3589006	-1	21.26	15.22	17.68	-1	372.34	-1	1343.94
15	M2	79.AF.210	247287	3589107	-1	0.50	570.45	0.41	-1	218.11	-1	135.33
16	M3	79.AF.211	247272	3589007	-1	141.72	4869.10	2.36	-1	2482.29	-1	-1
17	M4	79.AF.266	247485	3588915	14.10	277.08	0.33	-1	-1	50.56	-1	7.92
18	KD1	79.AF.212	244332	3589287	-1	159.67	114.29	2.66	-1	699.20	-1	-1
19	KD2	79.AF.213	244387	3589427	10.69	70.04	-1	-1	19.17	-1	-1	2046.21
20	KJ3	79.AF.214	244222	3589587	-1	612.73	438.58	-1	335.39	-1	-1	14697.24
21	KD4	79.AF.215	244037	3589717	-1	67.72	193.89	-1	74.13	-1	1.14	11871.21
22	KE1	79.AF.216	244582	3589192	14.22	186.27	66.67	-1	25.49	-1	0.39	2872.35
23	KE2	79.AF.217	244672	3589532	58.74	1.92	688.66	1.60	-1	105.32	-1	1
24	KE3	79.AF.218	244852	3589337	49.23	1.61	865.74	1.34	-1	441.36	-1	7.04
25	KE4	79.AF.219	245102	3590082	-1	85.46	1.22	1.42	-1	467.80	-1	5.28
26	KE5	79.AF.220	245202	3590382	44.39	1.45	624.49	1.21	-1	79.59	-1	9.05
27	KE6	79.AF.221	245177	3590797	27.62	45.24	32.38	0.75	-1	-1	-1	5115.52
28	KE7	79.AF.222	245632	3590652	16.80	27.51	-1	0.46	-1	30.12	-1	-1
29	KE8	79.AF.223	246742	3590452	89.51	146.60	104.94	2.44	-1	160.49	-1	-1
30	KE9	79.AF.224	247832	3590277	87.27	142.94	102.31	2.38	-1	156.48	-1	5.28
31	N3R	79.AF.263	245875	3588325	-1	59.43	-1	-1	65.07	-1	-1	1543.54
32	N3L	79.AF.264	245746	3588074	-1	-1	-1	-1	35.02	-1	-1	1661.71
33	N5L	79.AF.265	245845	3588795	-1	209.90	-1	-1	28.72	-1	-1	908.56

-1 = Not Observed

Table P.2.38 :Results of Grade Heavy Minerals in Kanif and Chahpanj Sar Area.

Row	Field No.	Ca.No.	Coordinate(X)	Coordinate(Y)	Peridotite	Pyrite	Oxide	Pyroxenes	Rutile	Sphene	Tourmaline	Zircon
1	K1	79.AF.196	247132	35888842	64.49	-1	68.60	0.96	1.20	-1	3349.05	1.27
2	K2	79.AF.197	246977	3589167	-1	0.51	-1	525.22	21.81	0.34	-1	23.16
3	K3	79.AF.198	246147	3589027	-1	0.58	0.58	972.79	0.50	-1	-1	0.54
4	K4	79.AF.199	246087	3589192	-1	0.42	-1	1035.54	17.92	-1	-1	19.03
5	K5	79.AF.200	246002	3589077	-1	0.65	-1	1264.49	0.56	0.44	-1	29.87
6	K6	79.AF.201	245882	3588992	-1	1.36	1.34	752.68	1.17	-1	-1	1.24
7	K7	79.AF.202	245687	3588832	-1	-1	-1	132.03	0.47	-1	-1	24.95
8	N1	79.AF.203	245481	3588065	-1	0.44	-1	90.61	0.38	-1	-1	0.40
9	N2	79.AF.204	245565	3588215	-1	-1	0.26	107.29	0.22	0.17	-1	11.83
10	N3	79.AF.205	245662	3588277	-1	0.29	-1	10.01	-1	0.20	-1	0.26
11	N4	79.AF.206	245812	3588192	-1	-1	-1	89.18	0.25	0.19	-1	0.26
12	N5	79.AF.207	245837	3588022	-1	-1	0.87	458.09	0.76	-1	-1	0.81
13	N6	79.AF.208	246032	3587797	0.84	-1	0.90	375.93	-1	-1	-1	0.83
14	M1	79.AF.209	247417	3589006	-1	0.45	-1	563.89	-1	-1	-1	20.72
15	M2	79.AF.210	247287	3589107	-1	-1	-1	880.84	0.46	0.36	-1	24.28
16	M3	79.AF.211	247272	3589007	-1	3.01	2.98	9606.93	130.08	2.04	-1	138.14
17	M4	79.AF.266	247485	3588915	-1	-1	-1	136.11	0.42	-1	-1	0.45
18	KD1	79.AF.212	244332	3589287	-1	-1	-1	470.62	2.93	2.30	-1	3.11
19	KD2	79.AF.213	244387	3589427	-1	-1	-1	103.21	0.32	-1	-1	0.34
20	KD3	79.AF.214	244222	3589587	-1	2.17	-1	75.25	1.87	1.47	-1	99.54
21	KD4	79.AF.215	244037	3589719	-1	1.44	-1	49.90	1.24	0.98	-1	66.01
22	KE1	79.AF.216	244582	3589192	-1	-1	-1	137.25	0.43	-1	-1	0.45
23	KE2	79.AF.217	244672	3589532	-1	-1	2.03	354.46	-1	-1	-1	93.78
24	KE3	79.AF.218	244852	3589337	-1	-1	1.70	297.07	-1	-1	-1	-1
25	KE4	79.AF.219	245102	3590082	-1	-1	89.96	629.73	-1	-1	-1	-1
26	KE5	79.AF.220	245202	3590382	-1	-1	1.53	1285.71	1.33	-1	-1	-1
27	KE6	79.AF.221	245177	3590797	-1	-1	0.95	1500.00	-1	0.65	-1	44.10
28	KE7	79.AF.222	245632	3590652	-1	-1	0.58	608.11	-1	-1	-1	0.54
29	KE8	79.AF.223	246742	3590452	-1	-1	-1	3888.89	2.69	-1	-1	-1
30	KE9	79.AF.224	247832	3590277	-1	-1	150.46	2633.10	2.62	-1	-1	2.79
31	N3R	79.AF.263	245875	3588325	-1	-1	-1	6306.31	1.09	-1	-1	1.16
32	N3L	79.AF.264	245746	3588074	-1	-1	-1	2404.47	-1	-1	-1	0.62
33	N5L	79.AF.265	245845	3587875	-1	-1	-1	2784.00	0.48	-1	-1	0.51

-1 = Not Observed

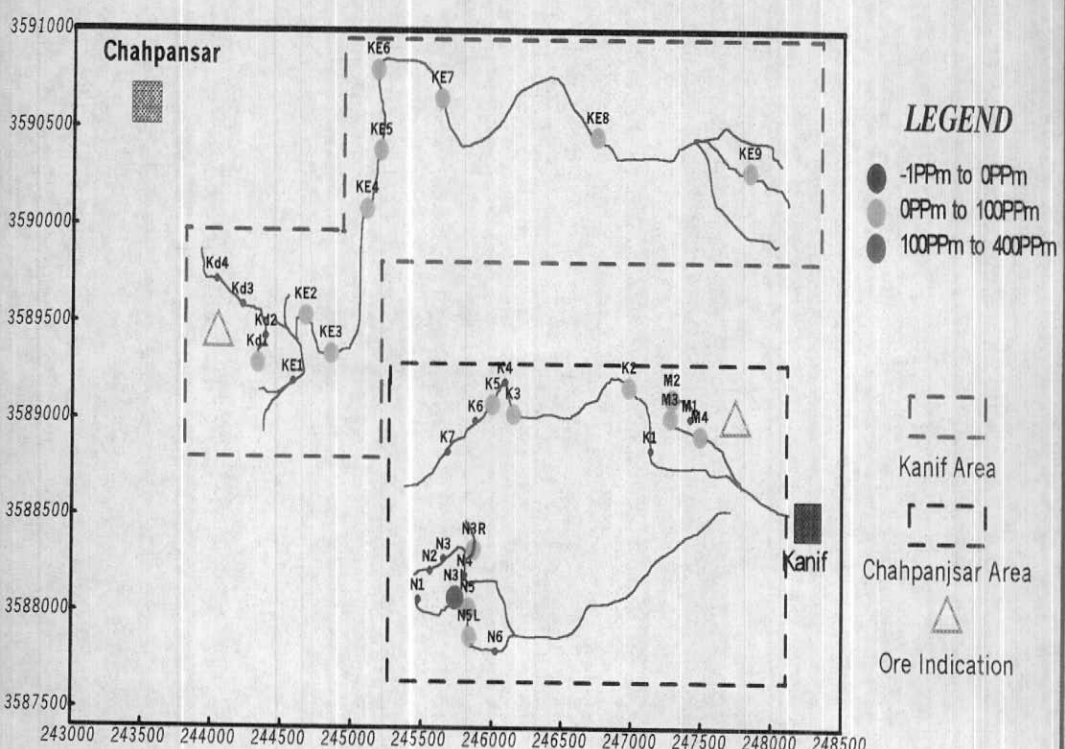
Table P47 :Results of Analysis for Elements in Kanif and Chahpangsar Area.

Row	Field No.	Co.No.	Coordinate(UTM)			Analysis of Elements on PPM																	
			X	Y	Zn	Cu	Pb	Sn	Ag	Sn	B	Ni	Cr	Co	Ba	Mn	W	Mo	Hg	As	Sb	Bi	
1	K1	79.AF.196	247132	3588842	36	11.0	67	0.09	3	38	190	310	27	0.7	360	560	5.29	0.5	0.05	11.8	1.46	0.18	
2	K2	79.AF.197	246977	3589167	34	12.0	48	0.07	2.6	27	220	260	26	0.64	300	610	1.92	1.26	0.05	8.85	1.46	0.18	
3	K3	79.AF.198	246147	3589027	32	22.0	59	0.08	2.9	30	210	240	18	0.78	340	460	2.73	0.5	0.05	8.15	1.68	0.18	
4	K4	79.AF.199	246087	3589192	34	12.0	56	0.08	2.7	30	260	310	30	0.67	270	580	1.62	0.5	0.05	8.9	1.68	0.18	
5	K5	79.AF.200	246002	3589077	34	14.0	54	0.08	2.6	17	190	310	26	0.64	250	680	0.93	0.5	0.05	8.65	1.68	0.18	
6	K6	79.AF.201	245882	3588992	32	8.6	59	0.06	2.2	18	360	390	35	0.55	210	650	0.59	0.5	0.05	6.05	1.23	0.18	
7	K7	79.AF.202	245687	3588832	30	9.8	59	0.08	2.6	21	360	310	32	0.64	250	610	0.54	0.5	0.05	6.45	1.12	0.12	
8	N1	79.AF.203	245481	3588065	27	7.6	64	0.08	2.5	32	340	360	30	0.5	240	720	0.64	0.5	0.05	6.9	2.02	0.18	
9	N2	79.AF.204	245565	3588215	37	8.2	52	0.07	2.1	17	370	310	35	0.7	220	720	0.59	0.5	0.05	4.76	1.12	0.12	
10	N3	79.AF.205	245662	3588277	44	8.6	44	0.07	2.4	20	360	280	37	0.85	240	650	3.32	0.5	0.05	5.4	78	0.12	
11	N4	79.AF.206	245812	3588192	37	9.6	64	0.09	2.6	24	290	500	35	0.74	260	800	1.7	0.5	0.05	8.65	2.13	0.18	
12	N5	79.AF.207	245837	3588022	28	9.1	54	0.08	2.9	19	300	420	37	0.61	250	720	1.33	0.5	0.05	8.85	2.24	0.12	
13	N6	79.AF.208	246032	35877797	1	10.0	56	0.09	2.8	21	300	360	35	0.67	240	650	0.69	0.5	0.05	9.5	2.58	0.12	
14	M1	79.AF.209	2474117	3589006	34	46.0	62	0.06	2.1	28	94	200	23	0.78	320	590	0.89	0.5	0.05	12.8	1.9	0.12	
15	M2	79.AF.210	247287	3589107	29	10.0	62	0.08	2.7	30	71	210	22	0.64	350	650	0.84	0.5	0.05	10.6	1.34	0.18	
16	M3	79.AF.211	247272	3589007	29	14.0	56	0.08	2.9	20	94	150	21	0.74	320	630	0.54	0.5	0.05	8.9	1.57	0.18	
17	M4	79.AF.266	247485	3588915	36	34.0	115	0.1	2.5	32	180	320	26	0.54	260	760	0.79	0.5	0.05	15.5	2.13	0.12	
18	Kd1	79.AF.212	244332	3589287	25	9.8	64	0.08	2.5	20	290	440	28	0.7	270	580	0.5	0.05	5	0.9	0.12		
19	Kd2	79.AF.213	244387	3589427	24	9.5	56	0.07	2.6	26	300	520	27	0.64	270	580	0.5	0.05	4.52	1.01	0.18		
20	Kd3	79.AF.214	244222	3589587	24	7.6	54	0.07	2.3	26	300	520	31	0.5	240	650	0.5	0.05	4.52	0.67	0.18		
21	Kd4	79.AF.215	244037	3589717	20	7.6	82	0.09	2.2	11	110	800	16	0.52	210	880	0.5	0.05	4.05	0.5	0.18		
22	KE1	79.AF.216	244582	3589192	25	8.5	64	0.09	3	11	380	630	32	0.5	260	760	0.5	0.05	4.33	0.78	0.12		
23	KE2	79.AF.217	244672	3589532	25	9.8	59	0.08	2.9	11	300	580	28	0.5	260	760	0.62	0.5	0.05	5.45	1.01	0.12	
24	KE3	79.AF.218	244852	3589337	25	13.0	62	0.08	2.8	11	220	600	21	0.81	320	680	0.65	0.5	0.05	5.7	1.01	0.12	
25	KE4	79.AF.219	245102	3590082	24	15.0	56	0.07	2.6	13	230	600	22	0.89	300	630	0.5	0.05	6	1.23	0.18		
26	KE5	79.AF.220	245202	3590382	28	13.0	78	0.08	2.8	19	170	260	21	0.78	420	630	0.52	0.5	0.05	6.2	1.12	0.12	
27	KE6	79.AF.221	245177	3590797	24	8.5	54	0.07	2.4	26	240	680	25	0.53	340	680	0.5	0.05	5.09	1.01	0.12		
28	KE7	79.AF.222	245632	3590652	30	7.1	72	0.08	2.3	26	230	630	26	0.55	240	560	0.5	0.05	5.05	0.9	0.12		
29	KE8	79.AF.223	246742	3590452	36	11.0	66	0.09	2.6	29	260	450	24	0.67	310	620	0.5	0.05	4.71	0.78	0.18		
30	KE9	79.AF.224	247832	3590277	32	16.0	61	0.09	2.5	25	260	560	24	0.7	360	760	0.5	0.05	6.05	1.46	0.18		
31	N3R	79.AF.263	245875	3588325	28	32.0	110	0.07	2.2	21	300	340	34	0.5	180	720	0.54	0.05	8.4	1.57	0.12		
32	N5L	79.AF.265	245845	3587875	43	56.0	115	0.11	2	36	190	420	35	0.7	400	880	0.59	0.05	11.4	3.47	0.12		

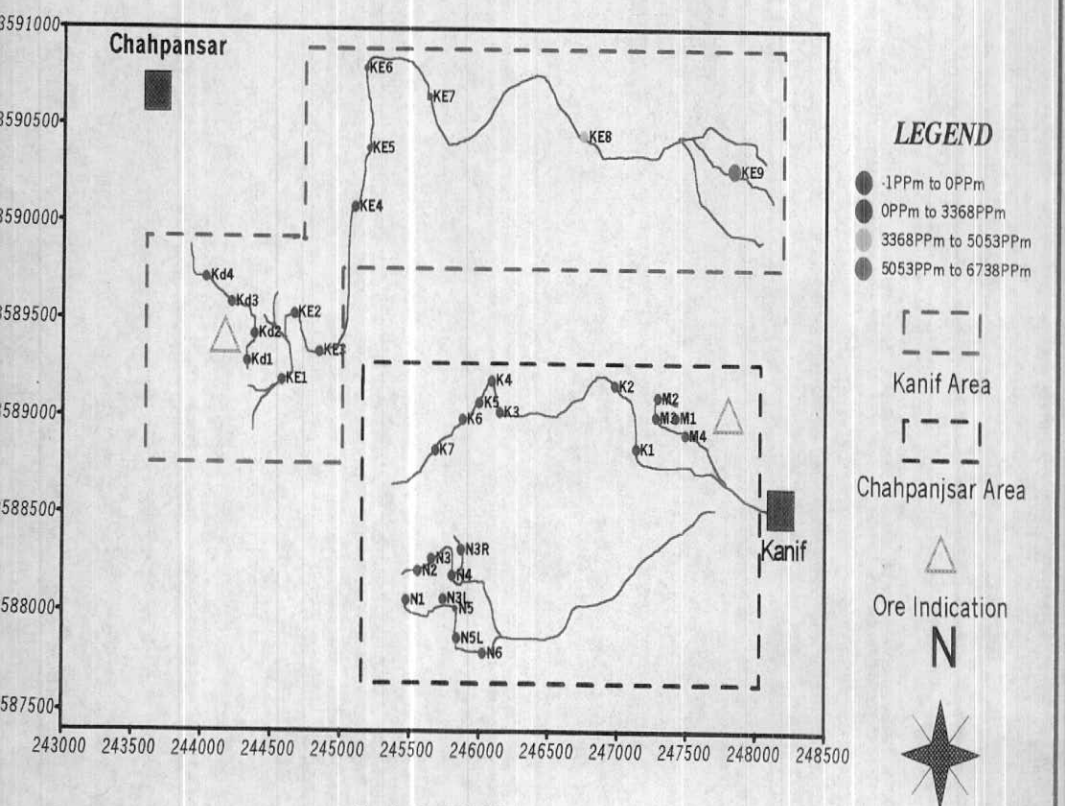
NO:P.2.39 Symbol Map of Heavy Minerals Sample

in Kanif & Chahpansar Area

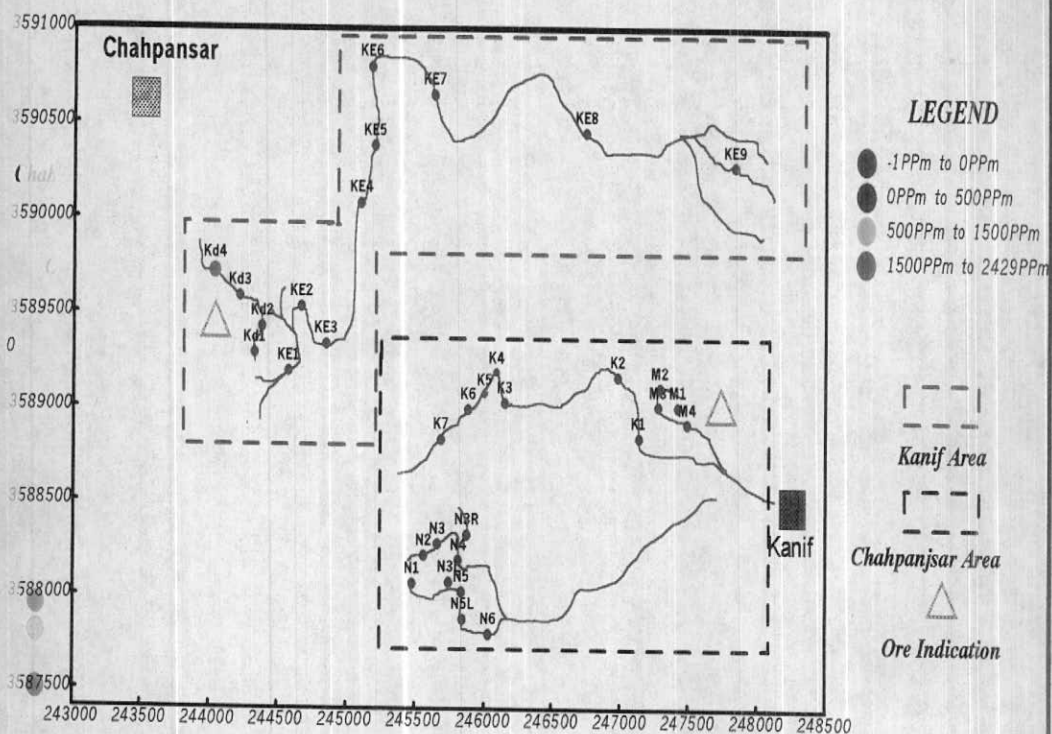
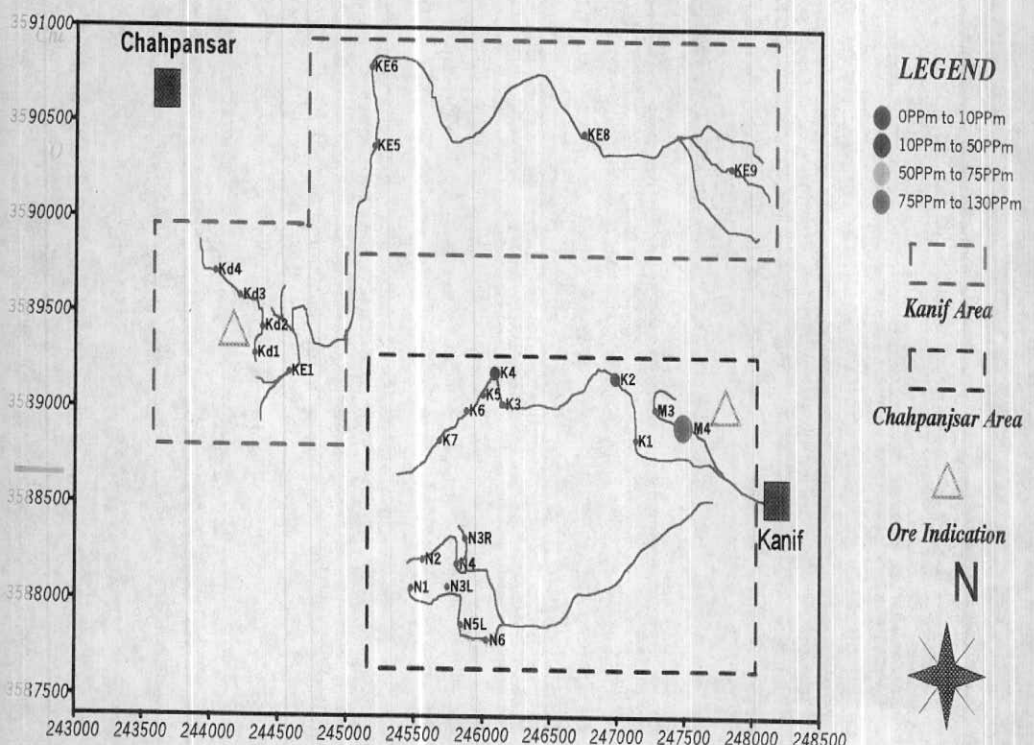
Symbol Map of Garnet



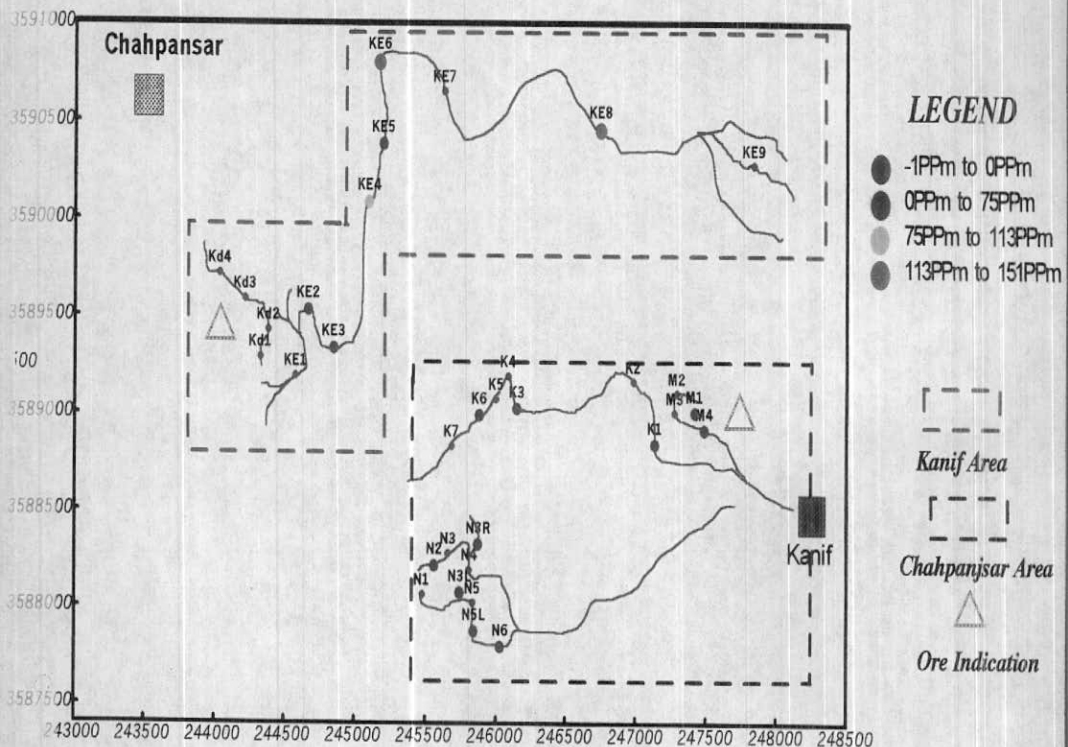
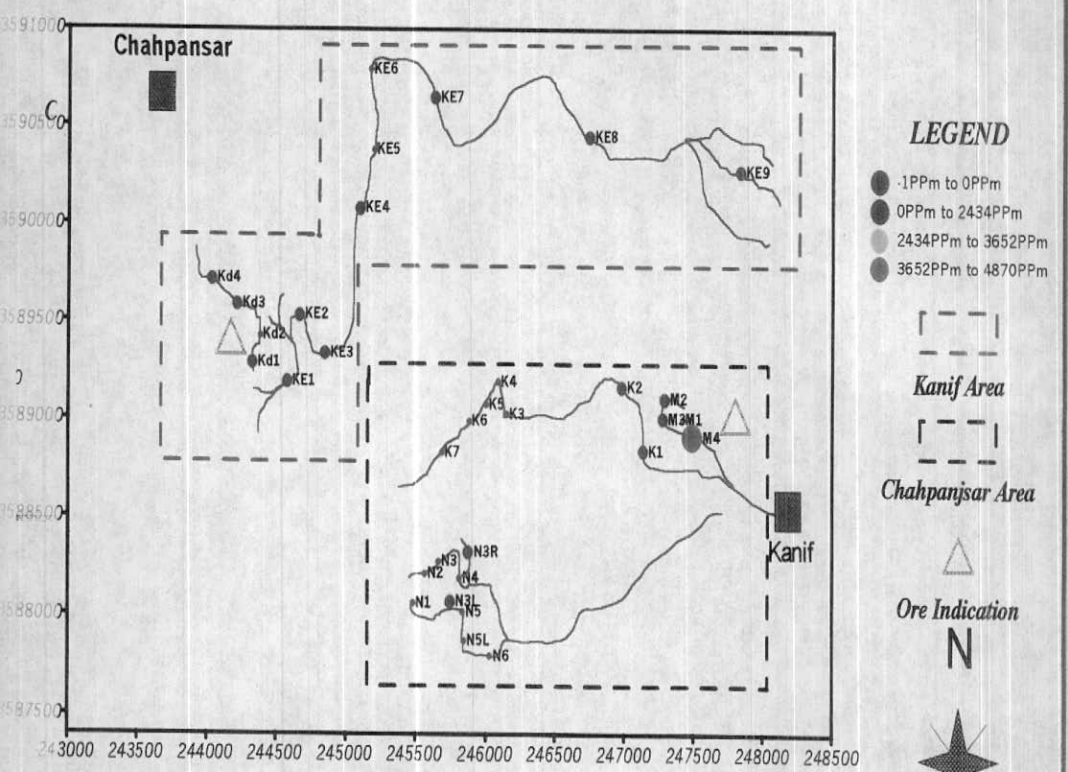
Symbol Map of Amphibole



Scale 1:50000

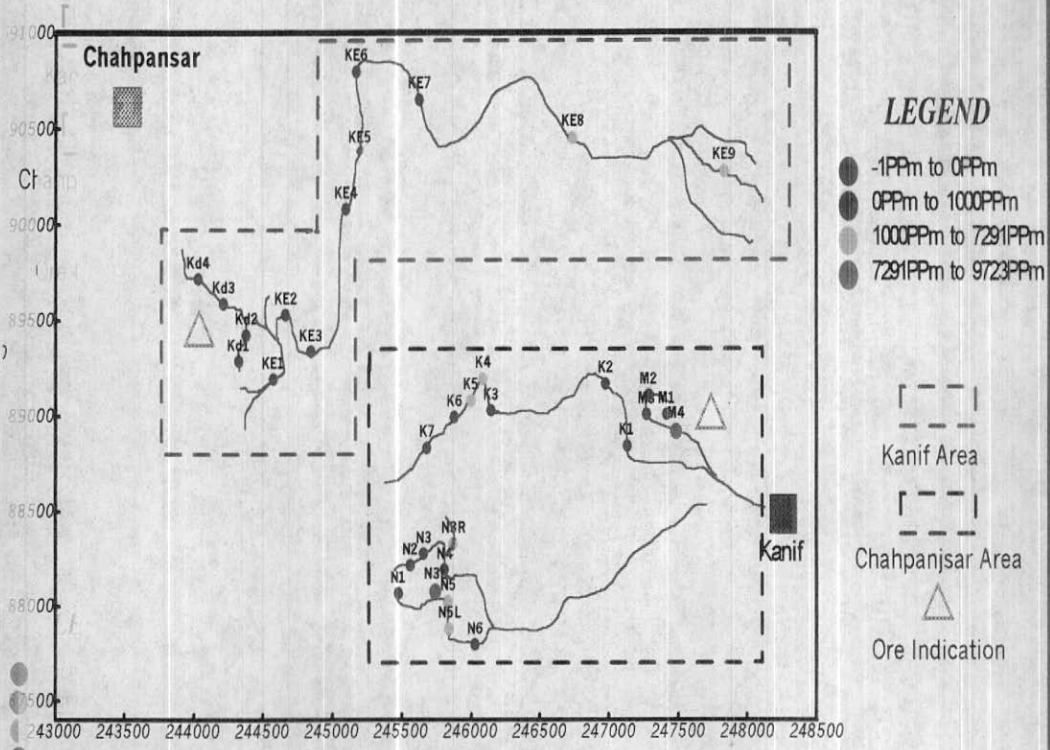
*in Kanif & Chahpansar Area**Symbol Map of Barite**Symbol Map of Rutile*

Scale 1:50000

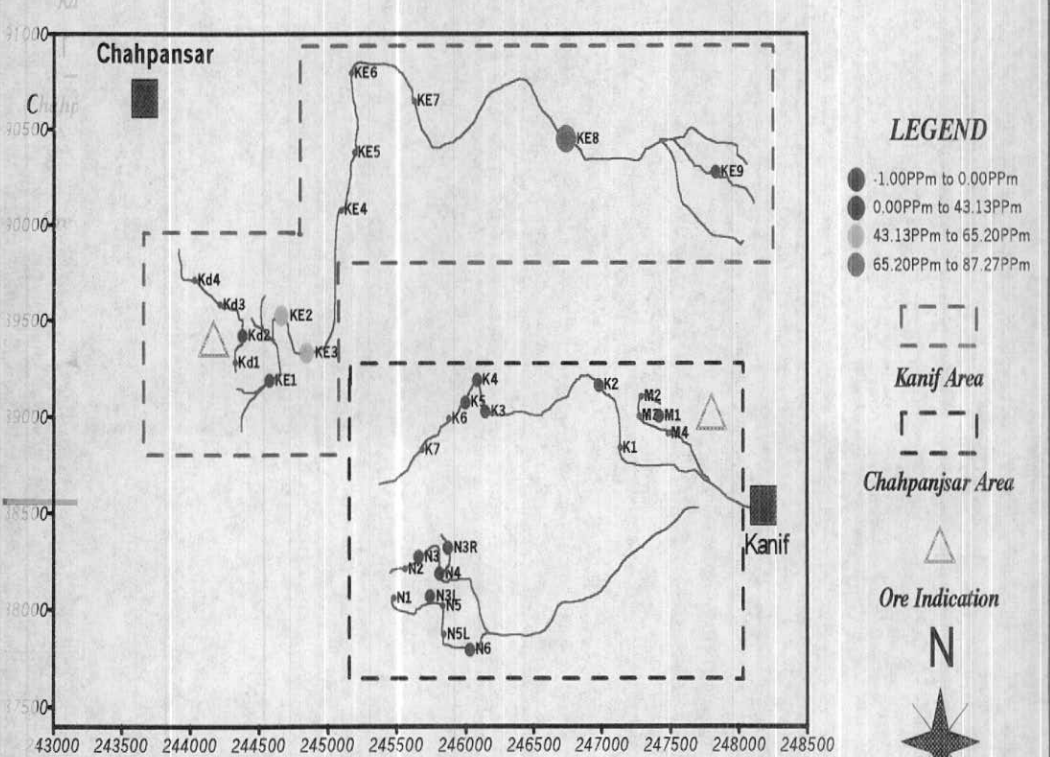
*Symbol Map of Heavy Minerals Sample**in Kanif & Chahpansar Area**Symbol Map of Pyrite Oxide**Symbol Map of Epidots*

in Kanif & Chahpansar Area

Symbol Map of Pyroxenes



Symbol Map of Chlorite



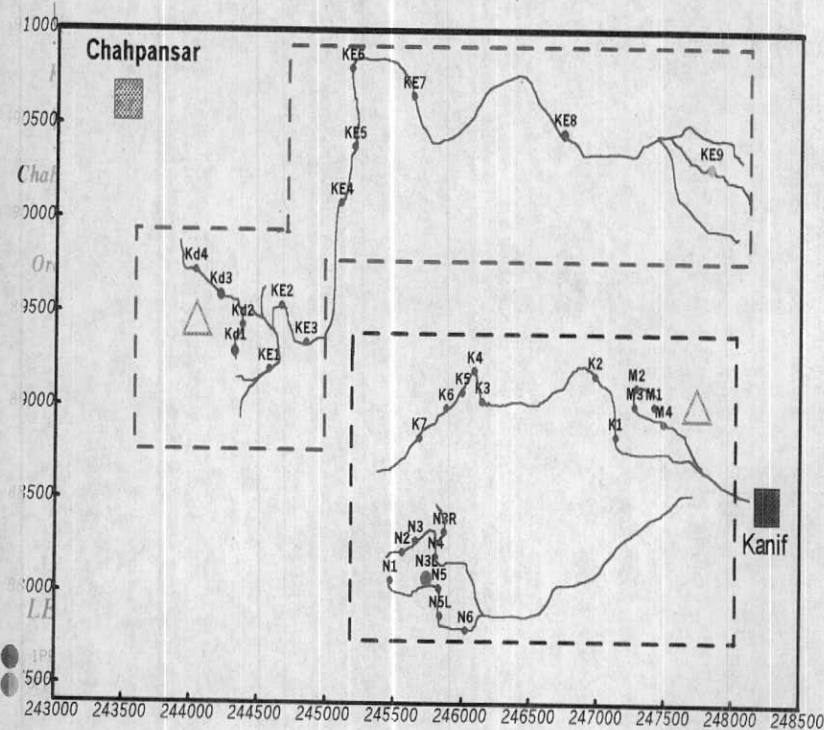
Scale 1:50000



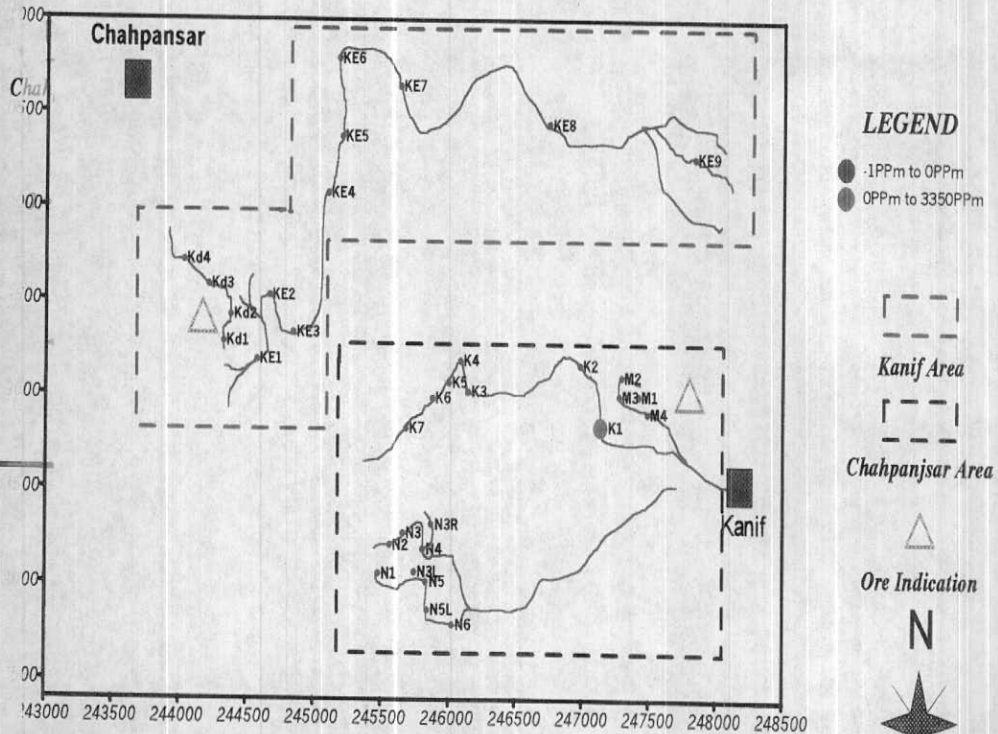
NO:P.2.43 Symbol Map of Heavy Minerals Sample
in Kanif & Chahpansar Area

71PF
1195
2383
3571

Symbol Map of Magnetite

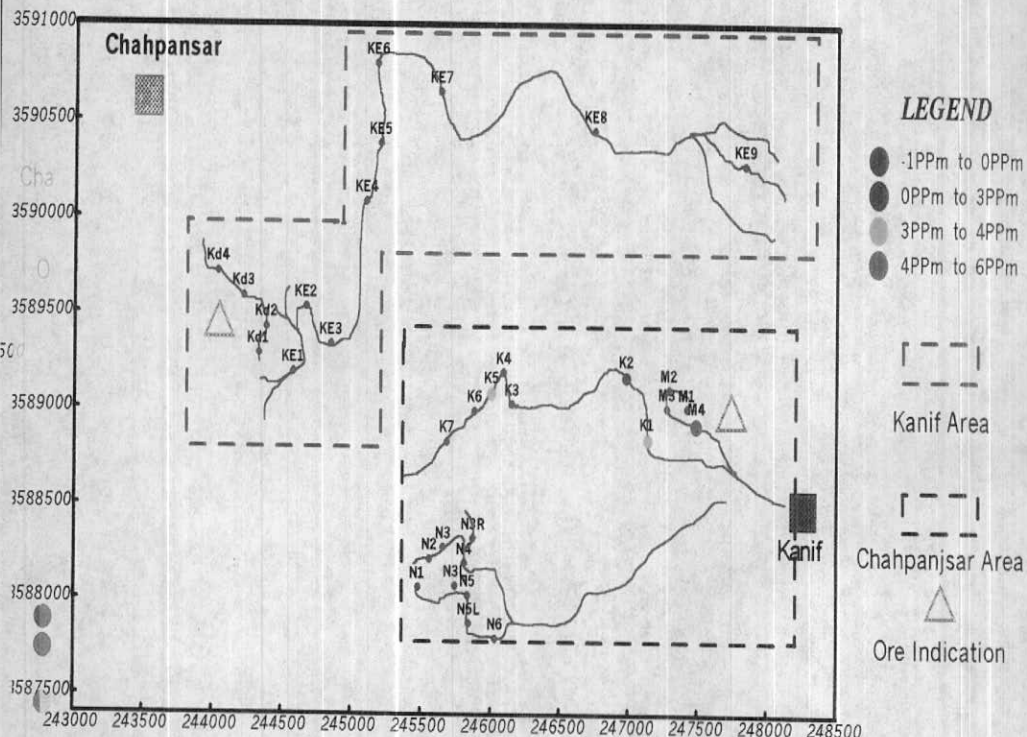


Symbol Map of Tourmaline

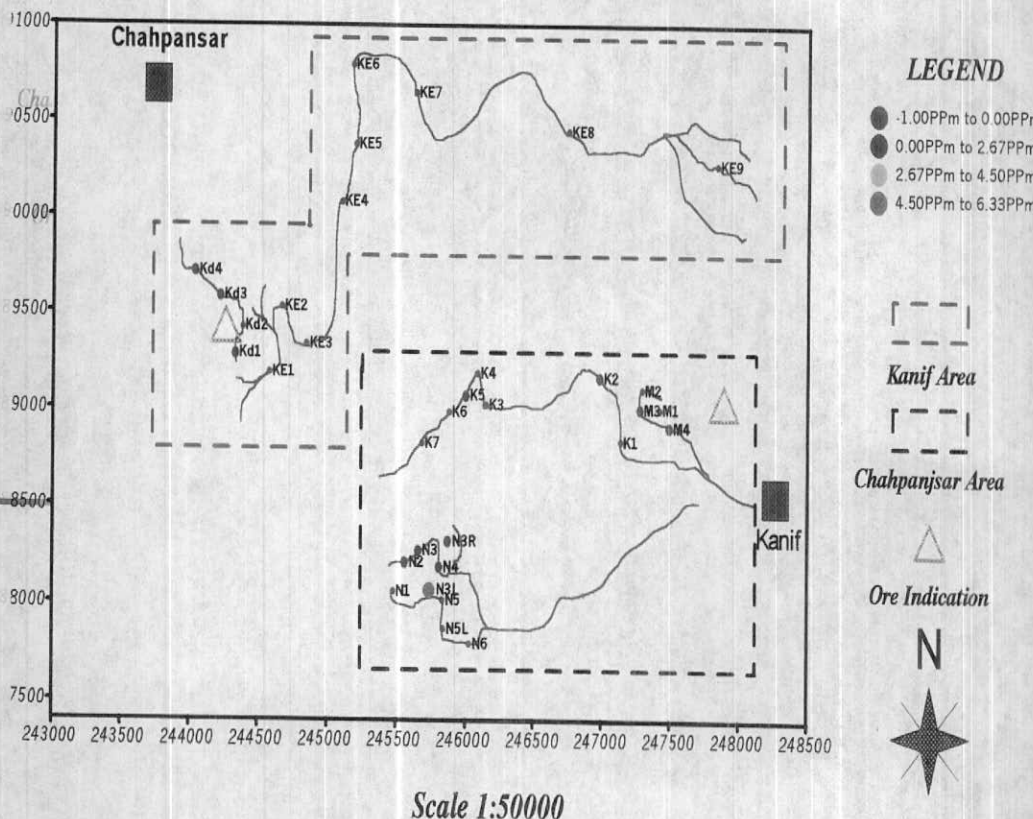


NO:P.2.44 *Symbol Map of Heavy Minerals Sample
in Kanif & Chahpansar Area*

Symbol Map of Anatase



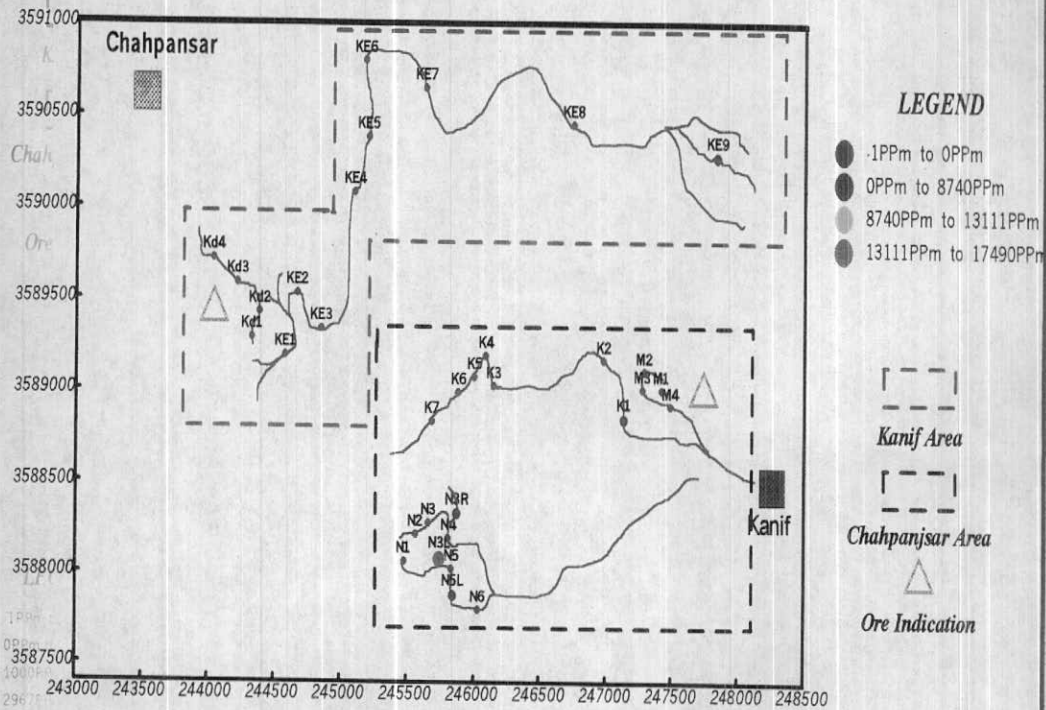
Symbol Map of Sphene



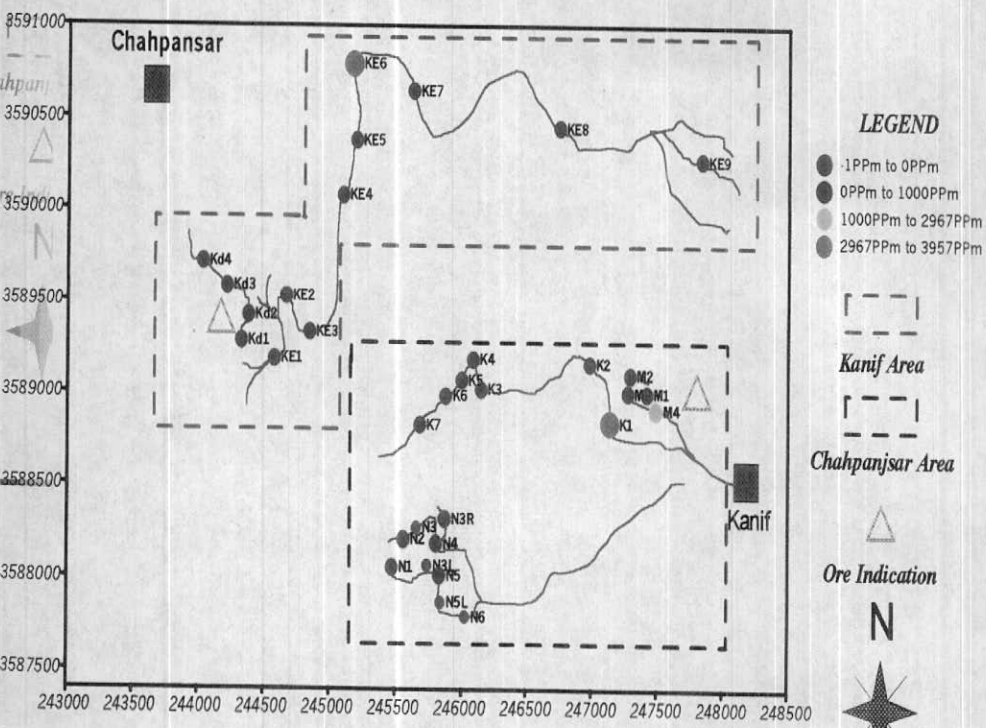
Scale 1:50000

NO:P.2.45 Symbol Map of Heavy Minerals Sample
in Kanif & Chahpansar Area

Symbol Map of ilmenite



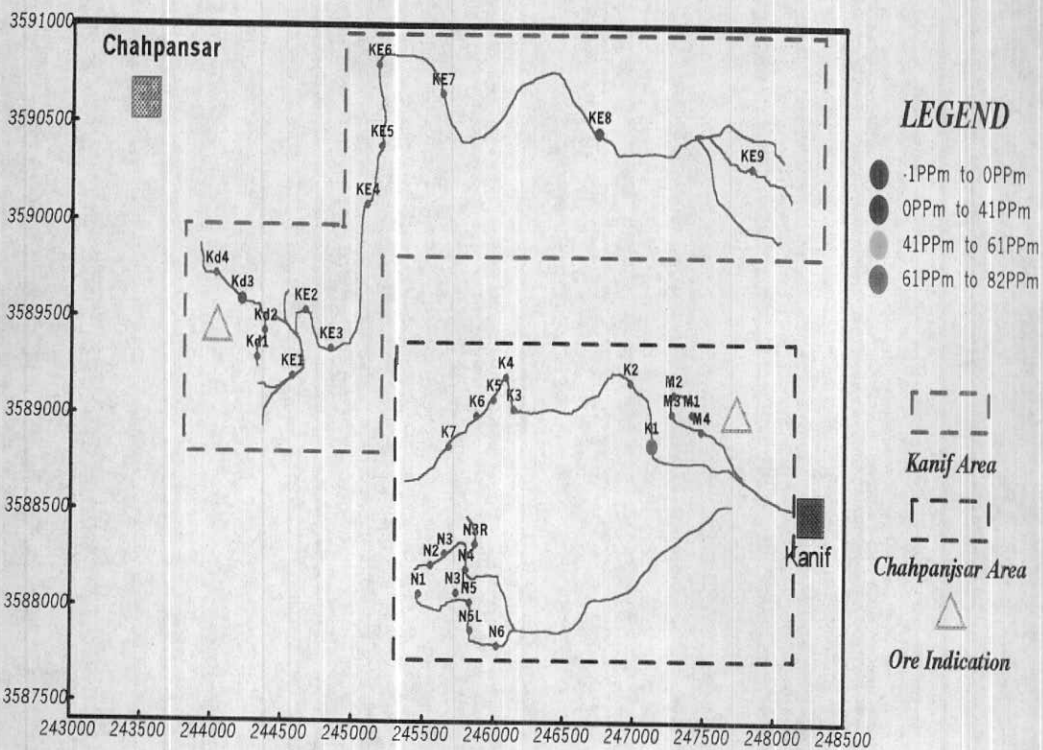
Symbol Map of Hematite



Scale 1:50000

*Symbol Map of Heavy Minerals Sample
in Kanif & Chahpansar Area*

Symbol Map of Celestine



LEGEND

- 1PPm to 0PPm
- 0PPm to 41PPm
- 41PPm to 61PPm
- 61PPm to 82PPm

Kanif Area

Chahpansar Area

Ore Indication



LEGEND

- 1.00PPm to 0.00PPm
- 0.00PPm to 2.05PPm
- 2.05PPm to 3.58PPm
- 3.58PPm to 5.11PPm

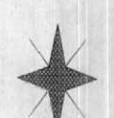
Kanif Area

Chahpansar Area

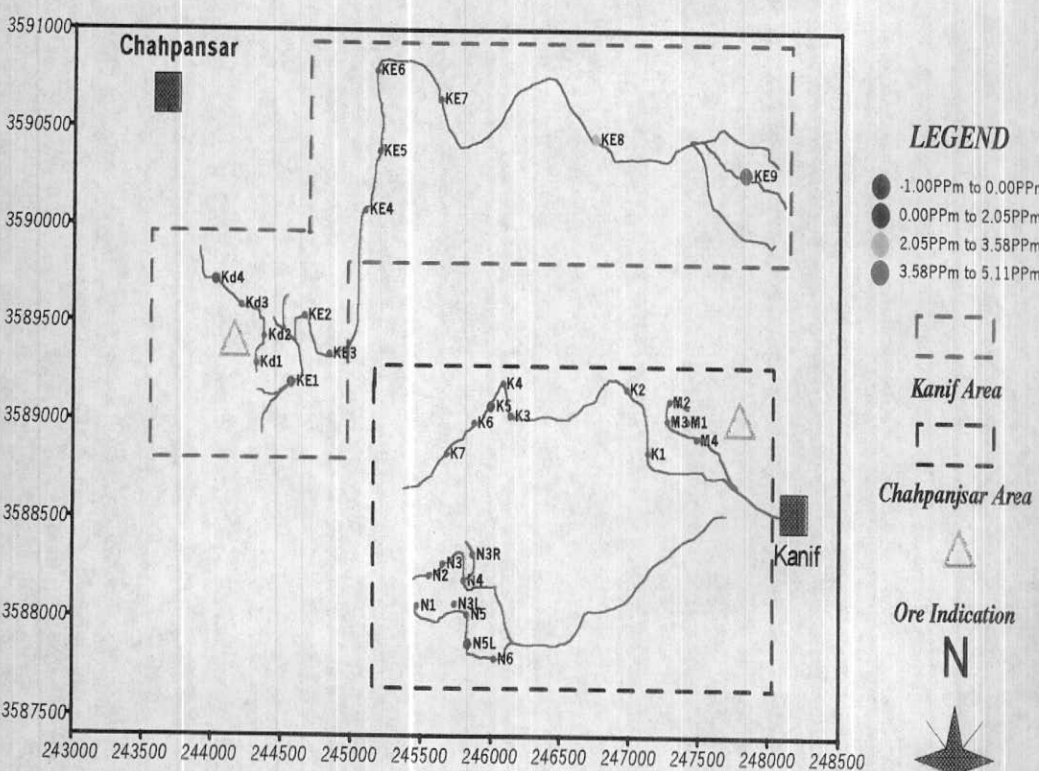
Ore Indication



N



Symbol Map of Levcoxene



Scale 1:50000

Table P4.7 :Results of Analysis for Elements in Kanif and Chahpangsar Area.

Row	Field No.	Co.No.	Coordinate(UTM)						Analysis of Elements on PPM												
			X	Y	Cu	Pb	Zn	Ag	Sn	B	Ni	Cr	Co	Be	Ba	Mn	W	Mo	Hg	As	Sb
1	K1	79.AF.196	247132	3588842	36	11.0	67	0.09	3	38	190	27	360	560	52.9	0.5	0.05	11.8	1.46	0.18	
2	K2	79.AF.197	246977	3589167	34	12.0	48	0.07	2.6	27	260	0.64	300	610	1.92	1.26	0.05	8.85	1.46	0.18	
3	K3	79.AF.198	246147	3589027	32	22.0	59	0.08	2.9	30	210	240	18	0.78	340	460	2.73	0.5	0.05	8.15	1.68
4	K4	79.AF.199	246087	3589192	34	12.0	56	0.08	2.7	30	260	310	30	0.67	270	580	1.62	0.5	0.05	8.9	1.68
5	K5	79.AF.200	246002	3589077	34	14.0	54	0.08	2.6	17	190	310	26	0.64	250	680	0.93	0.5	0.05	8.65	1.68
6	K6	79.AF.201	245882	3588992	32	8.6	59	0.06	2.2	18	360	390	35	0.55	210	650	0.59	0.5	0.05	6.05	1.23
7	K7	79.AF.202	245687	3588832	30	9.8	59	0.08	2.6	21	360	310	32	0.64	250	610	0.54	0.5	0.05	6.45	1.12
8	N1	79.AF.203	245481	3588065	27	7.6	64	0.08	2.5	32	340	360	30	0.5	240	720	0.64	0.5	0.05	6.9	2.02
9	N2	79.AF.204	245565	3588215	37	8.2	52	0.07	2.1	17	370	310	35	0.7	220	720	0.59	0.5	0.05	4.76	1.12
10	N3	79.AF.205	245662	3588277	44	8.6	44	0.07	2.4	20	360	280	37	0.85	240	650	3.32	0.5	0.05	5.4	78
11	N4	79.AF.206	245812	3588192	37	9.6	64	0.09	2.6	24	290	500	35	0.74	260	800	1.7	0.5	0.05	8.65	2.13
12	N5	79.AF.207	245837	3588022	28	9.1	54	0.08	2.9	19	300	420	37	0.61	250	720	1.33	0.5	0.05	8.85	2.24
13	N6	79.AF.208	246032	3587797	34	10.0	56	0.09	2.8	21	300	360	35	0.67	240	650	0.69	0.5	0.05	9.5	2.58
14	M1	79.AF.209	247417	3589006	34	46.0	62	0.06	2.1	28	94	200	23	0.78	320	590	0.89	0.5	0.05	12.8	1.9
15	M2	79.AF.210	247287	3589107	29	10.0	62	0.08	2.7	30	71	210	22	0.64	350	650	0.84	0.5	0.05	10.6	1.34
16	M3	79.AF.211	247272	3589007	29	14.0	56	0.08	2.9	20	94	150	21	0.74	320	630	0.54	0.5	0.05	8.9	1.57
17	M4	79.AF.266	247485	3588915	36	34.0	11.5	0.1	2.5	32	180	320	26	0.54	260	760	0.79	0.5	0.05	15.5	2.13
18	Kd1	79.AF.212	244332	3589287	25	9.8	64	0.08	2.5	20	290	440	28	0.7	270	580	0.5	0.05	5	0.9	0.12
19	Kd2	79.AF.213	244387	3589427	24	9.5	56	0.07	2.6	26	300	520	27	0.64	270	580	0.5	0.05	4.52	1.01	0.18
20	Kd3	79.AF.214	244222	3589587	24	7.6	54	0.07	2.3	26	300	520	31	0.5	240	650	0.5	0.05	4.52	0.67	0.18
21	Kd4	79.AF.215	244037	3589717	20	7.6	82	0.09	2.2	11	110	800	16	0.52	210	880	0.5	0.05	4.05	0.5	0.18
22	KE1	79.AF.216	244582	3589192	25	8.5	64	0.09	3	11	380	630	32	0.5	260	760	0.5	0.05	4.33	0.78	0.12
23	KE2	79.AF.217	244672	3589532	25	9.8	59	0.08	2.9	11	300	580	28	0.5	260	760	0.62	0.5	0.05	5.45	1.01
24	KE3	79.AF.218	244852	3589337	25	13.0	62	0.08	2.8	11	220	600	21	0.81	320	680	0.65	0.5	0.05	5.7	1.01
25	KE4	79.AF.219	245102	3590082	24	15.0	56	0.07	2.6	13	230	600	22	0.89	300	630	0.5	0.05	6	1.23	0.18
26	KE5	79.AF.220	245202	3590382	28	13.0	78	0.08	2.8	19	170	260	21	0.78	420	630	0.52	0.5	0.05	6.2	1.12
27	KE6	79.AF.221	245177	3590797	24	8.5	54	0.07	2.4	26	240	680	25	0.53	340	680	0.5	0.05	5.09	1.01	0.12
28	KE7	79.AF.222	245632	3590652	30	7.1	72	0.08	2.3	26	230	630	26	0.55	240	560	0.5	0.05	5.05	0.9	0.12
29	KE8	79.AF.223	246742	3590452	36	11.0	66	0.09	2.6	29	260	450	24	0.67	310	620	0.5	0.05	4.71	0.78	0.18
30	KE9	79.AF.224	247832	3590277	32	16.0	61	0.09	2.5	25	260	560	24	0.7	360	760	0.55	0.05	6.05	1.46	0.18
31	N3R	79.AF.263	245875	3588325	28	32.0	110	0.07	2.2	21	300	340	24	0.5	180	720	0.54	0.05	8.4	1.57	0.12
32	N5L	79.AF.265	245845	3587875	43	56.0	115.0	0.11	2	36	190	420	35	0.7	400	880	0.59	0.05	11.4	3.47	0.12

۴۸۲ - بررسی دقت آنالیز نمونه ها

به منظور کنترل دقت آزمایشگاه در حین آماده سازی نمونه ها تعداد ۲۰ نمونه ژئوشیمیابی تکراری بطور کاملاً تصادفی از نمونه های اولیه برداشت گردید که در جدول نتایج حاصل از تجزیه این نمونه ها همراه با نمونه های اصلی آورده شده است. این نمونه ها به گونه ای انتخاب شده اند که تمام سطح محدوده مورد اکتشاف را بپوشاند.

روش بکار برده شده جهت تخمین میزان خطاهای آنالیز شیمیابی روشی است که توسط تامپسون و هوارت (۱۹۷۸) در بررسی های ناحیه ای توصیه شده است. در این روش دریک سیستم مختصات تمام لگاریتمی که بر روی محور افقی میانگین نمونه های تکراری و نمونه اصلی مرتبط با آن و بر روی محور قائم قدر مطلق اختلاف بین دو اندازه گیری آورده شده است. دیاگرام فوق به عنوان نمودار کنترلی خوانده می شود. در این دیاگرام خطوط مایلی که دیده می شود معرف سطح دقت مورد نظر است که در اینجا معادل 10% ادرصد می باشد. معادلات این خطوط رامی توان بر حسب روابط ریاضی زیر تعریف کرد. اگر میزان تغییرات انحراف معیار متغیر مورد اندازه گیری را Kc نماییم می توان آنرا تابعی از غلظت (Kc) و انحراف معیار در غلظت را برابر صفر (S_0) دانست. بطوریکه

$$Sc = S_0 + Kc$$

حال اگر دقت موردنظر را بصورت $P_c = 2Sc/c$ تعریف نماییم خواهیم داشت :

$$P_c = 2S_0/c + 2K$$

بنابراین با درنظر گرفتن موردنظر معادله خطوط مایل نمودار کنترلی بصورت زیر خواهد بود:

$$d_{90} = 2.326(S_0 + Kc)$$

$$d_{99} = 3.643(S_0 + Kc)$$

در نمودار کنترلی مورداستفاده که برای خطای 10% ادرصد طراحی شده است، برای رسم خطوط مایل

فرض شده است که $S_0 = 0.0Sc$ باشد. با محاسبه کمیتهای میانگین و اختلاف بین هر صفت نمونه تکراری

می توان آنها را بصورت نقطه ای در نمودار کترلی شان داد. حال اگر در مجموعه نقاط طوری در نمودار

توزیع شوند که ۹۰ درصد آنها زیر خط پایینی (d90) و ۹۹ درصد آنها زیر خط بالای

(d99) قرار گیرند راین صورت خطای آنالیز ۱۰ درصد خواهد بود.

در اشکال نمودار کترلی، متغیرهای اندازه گیری شده ارائه گردیده است.

بر اساس مقایسه نمودارهای کترلی میتوان گفت که میزان خطاهای اندازه گیری در مورد عناصر

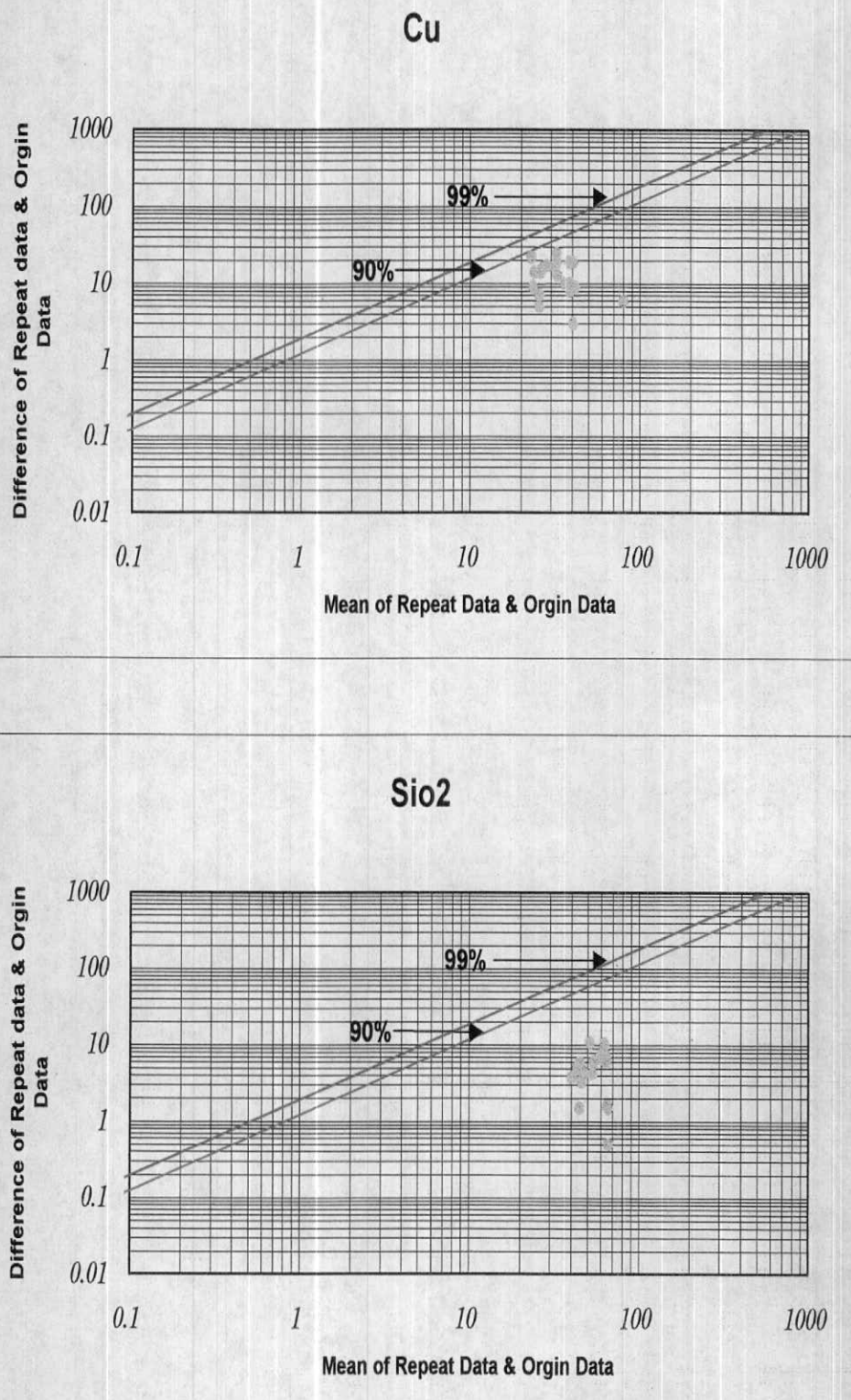
قابل قبول و در مورد عناصر SiO₂, Al₂O₃, Ni, P₂O₅, TiO₂, MgO, Fe₂O₃, CaO, Sr, Zn, B, Ba

باید با احتیاط برخورد شود؛ زیرا خطای در مورد این عناصر بیشتر از ۱۰ درصد می

باشد. لازم به ذکر است که در مورد عناصر MnO و P₂O₅ اختلاف و میانگین نمونه های تکراری در عدد

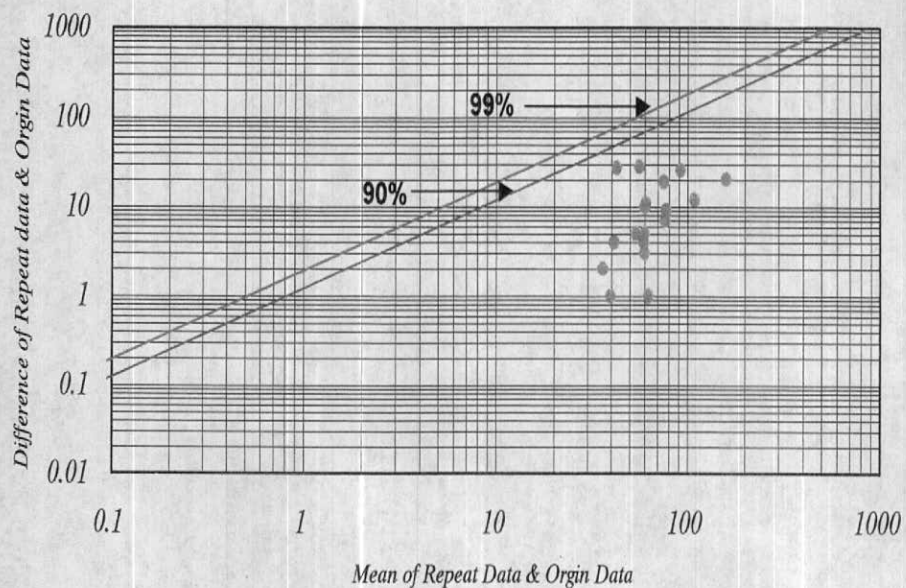
۱۰ ضرب شده است تا بتوان مقادیر خطای را بهتر نشان داد.

P. 2.49
Fig. :Control Diagram of Tompson

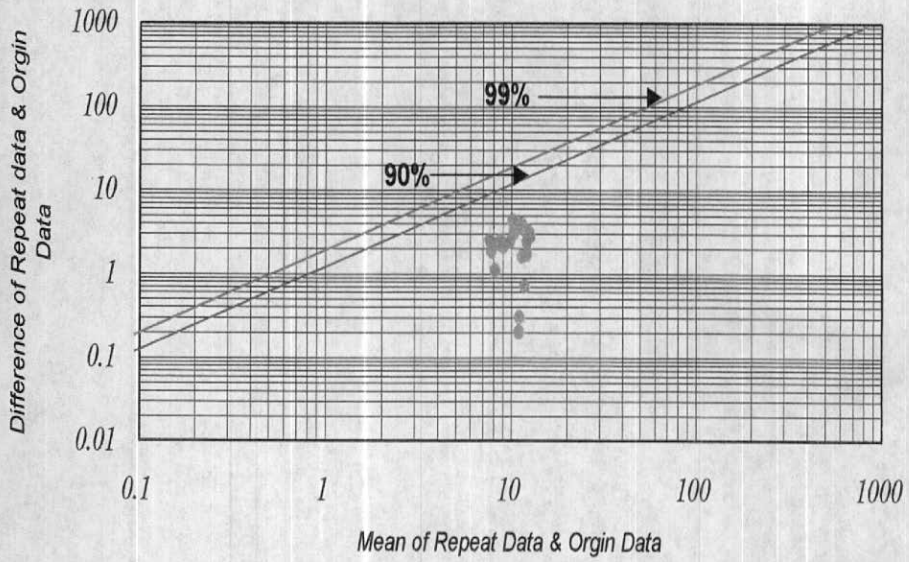


P. 2.50
Fig. :Control Diagram of Tompson

Ni



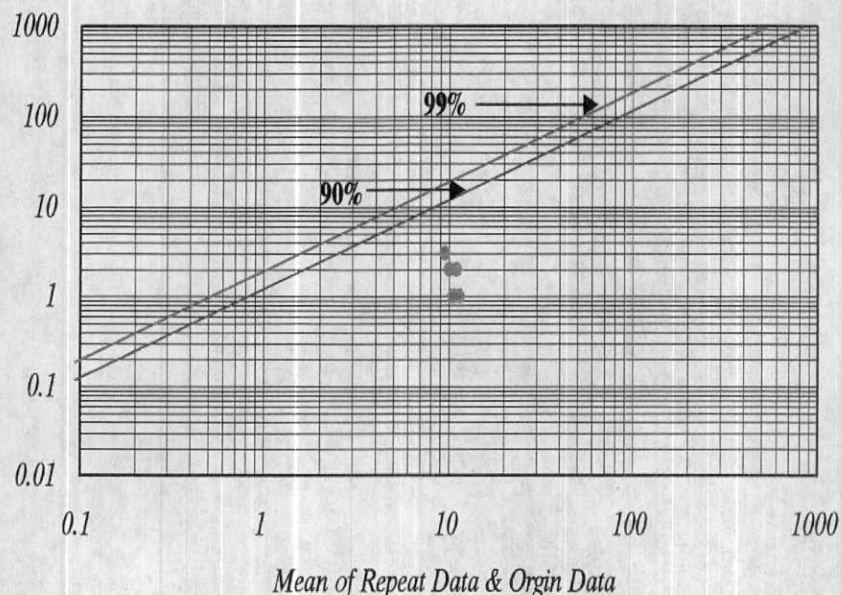
Al₂O₃



P.2.51
Fig. :Control Diagram of Tompson

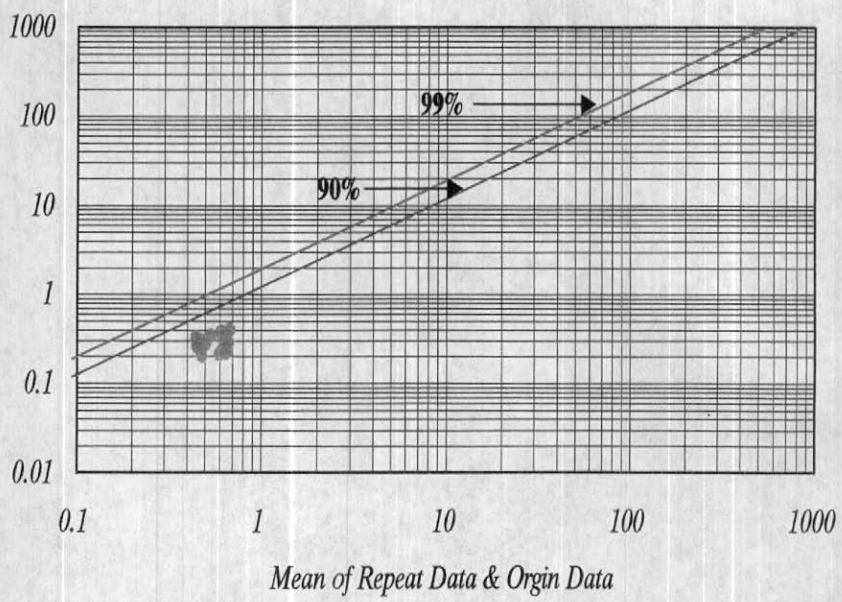
P2o5

Difference of Repeat data & Origin Data



Tio2

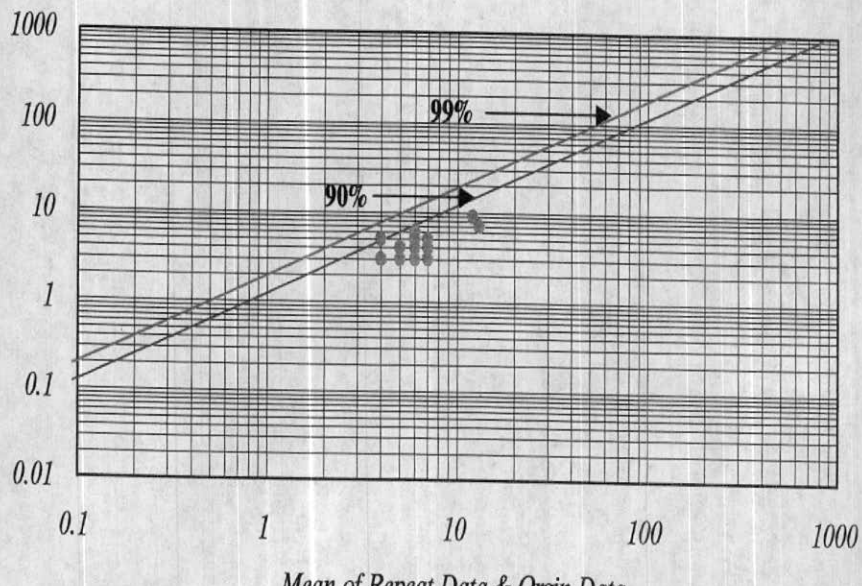
Difference of Repeat data & Origin Data



P.2.52
Fig. :Control Diagram of Tompson

Difference of Repeat data & Origin Data

Mno



Difference of Repeat data & Origin Data

Mgo

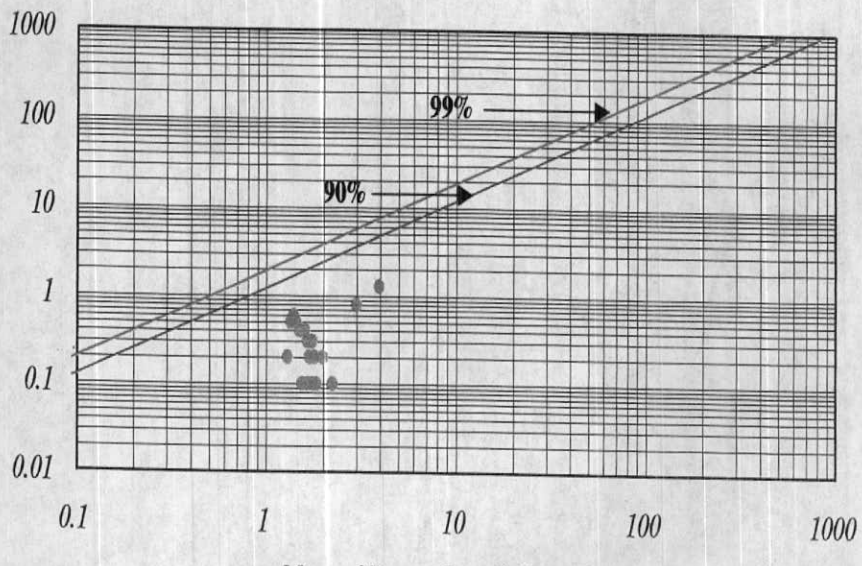
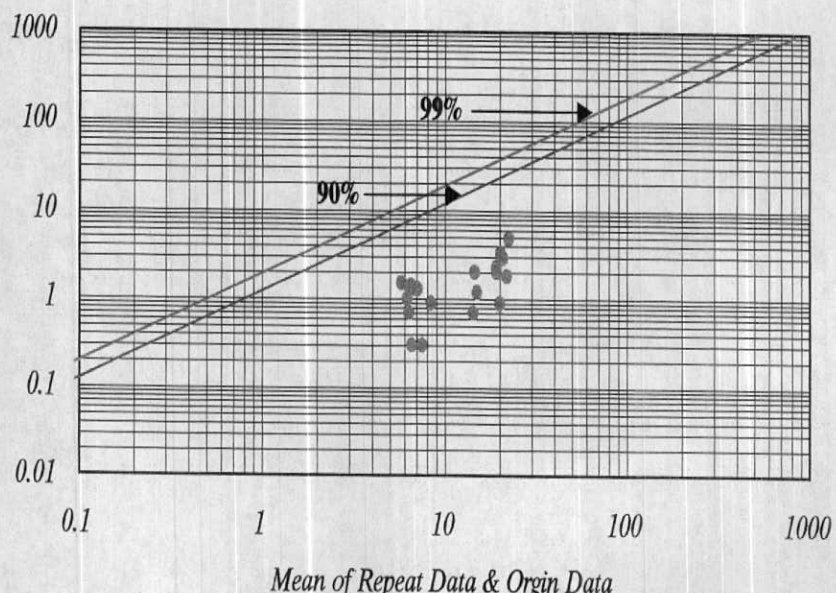


Fig. :Control Diagram of Tompson

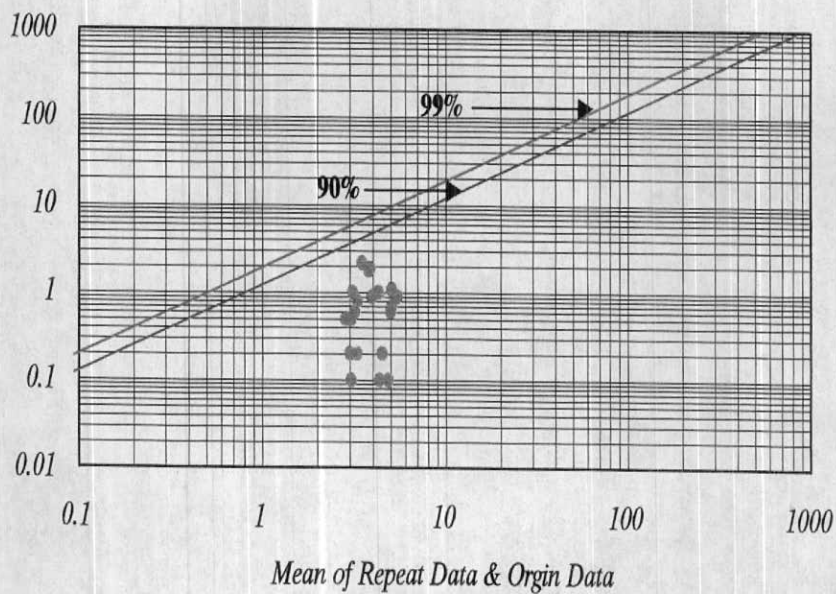
Cao

Difference of Repeat data & Origin Data



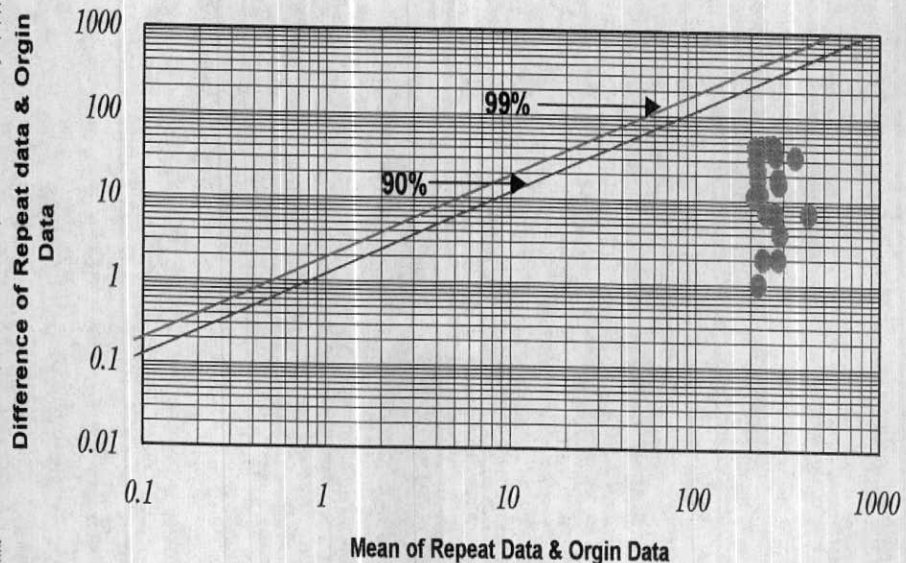
Fe2o3

Difference of Repeat data & Origin Data

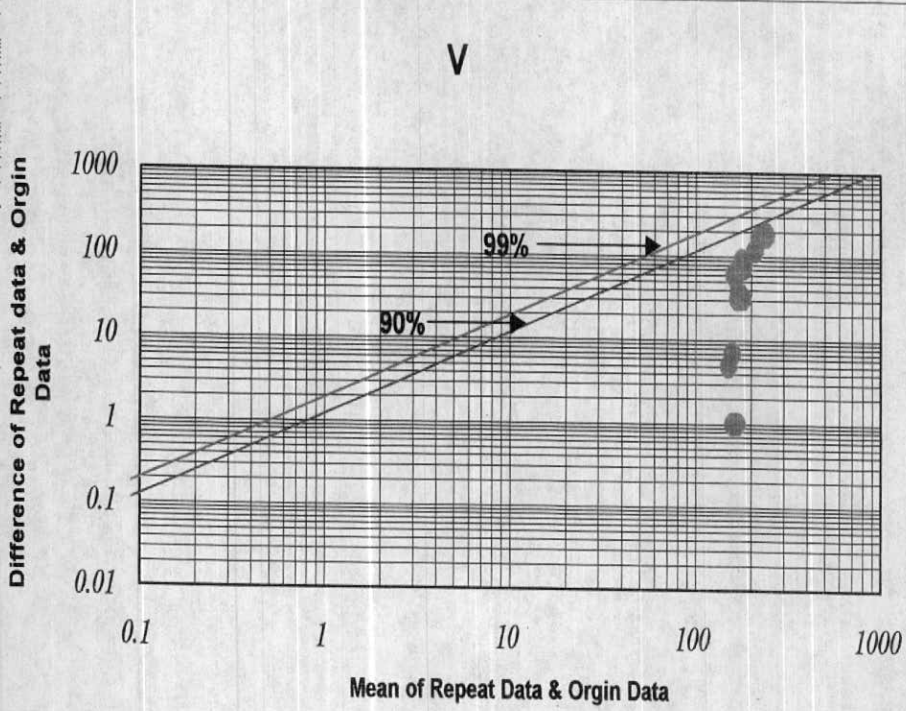


P.2.54
Fig. :Control Diagram of Tompson

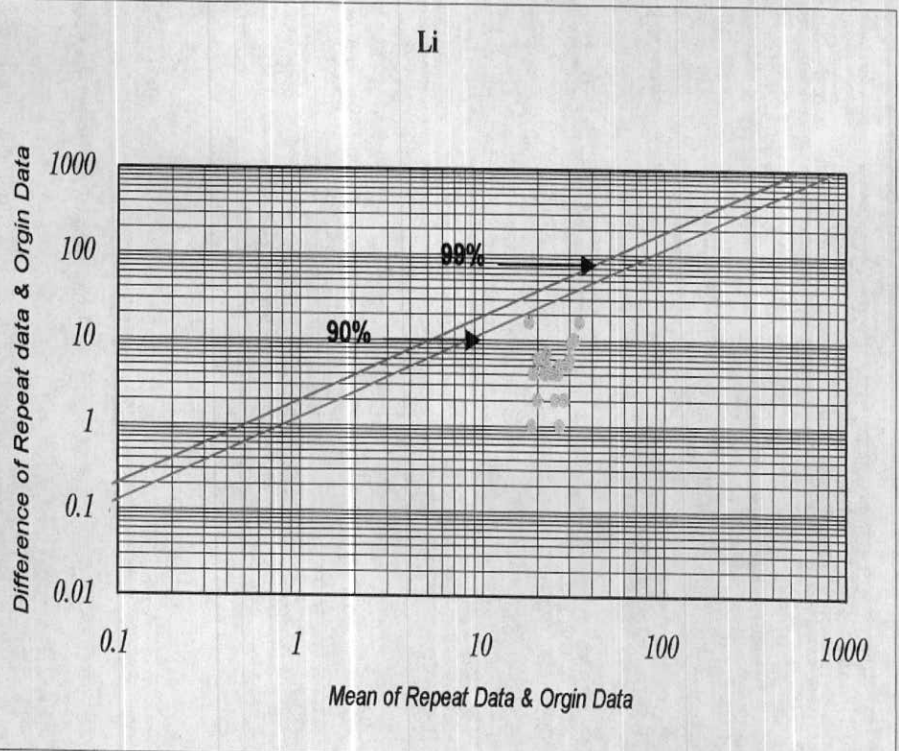
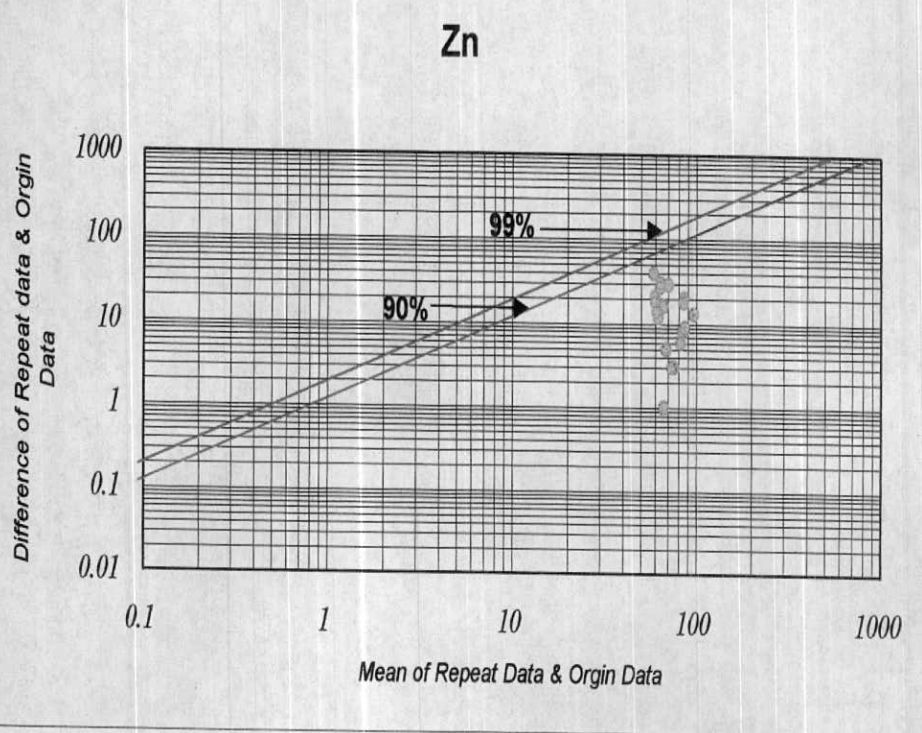
Sr



V

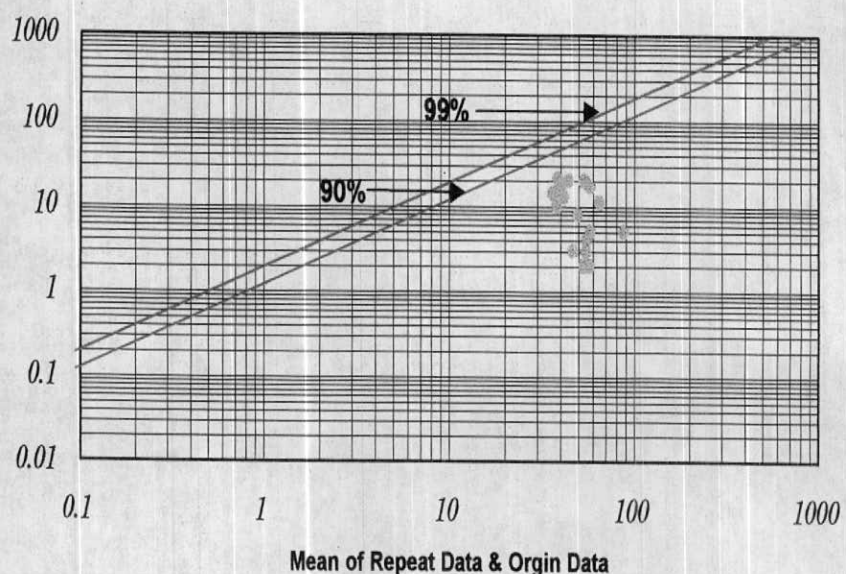


P. 2.55
Fig. :Control Diagram of Tompson

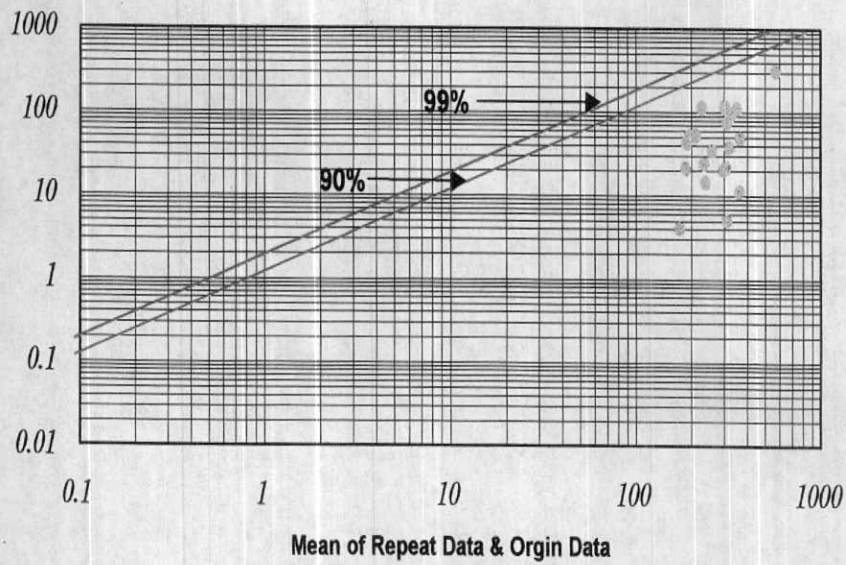


P.2.56
Fig. :Control Diagram of Tompson

Difference of Repeat data & Origin Data



Difference of Repeat data & Origin Data



P. 2.57
Fig. :Control Diagram of Tompson

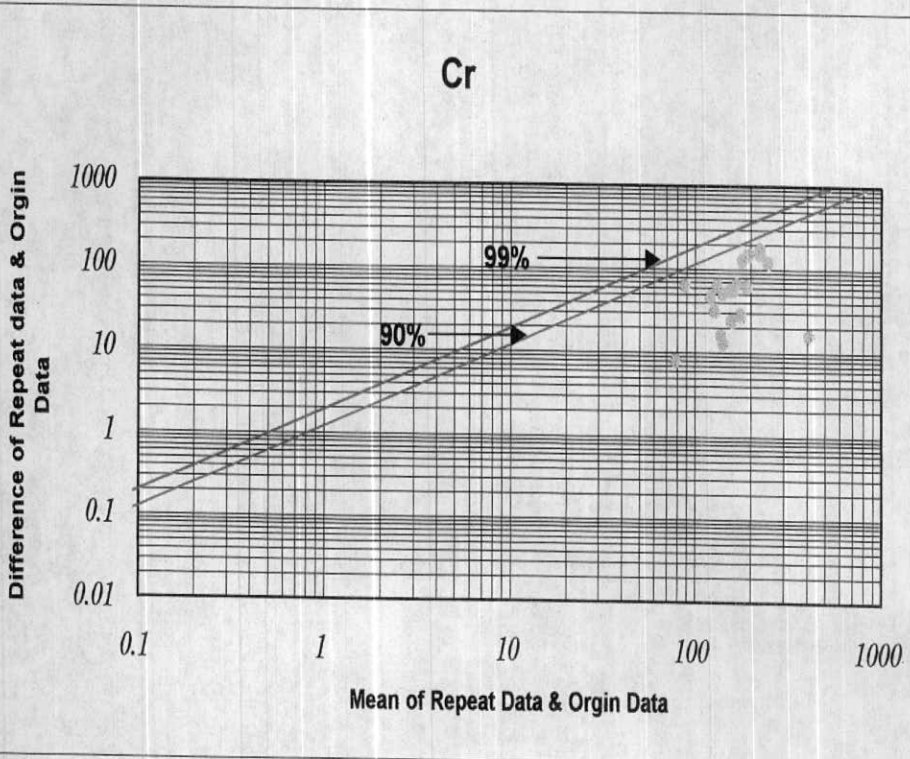
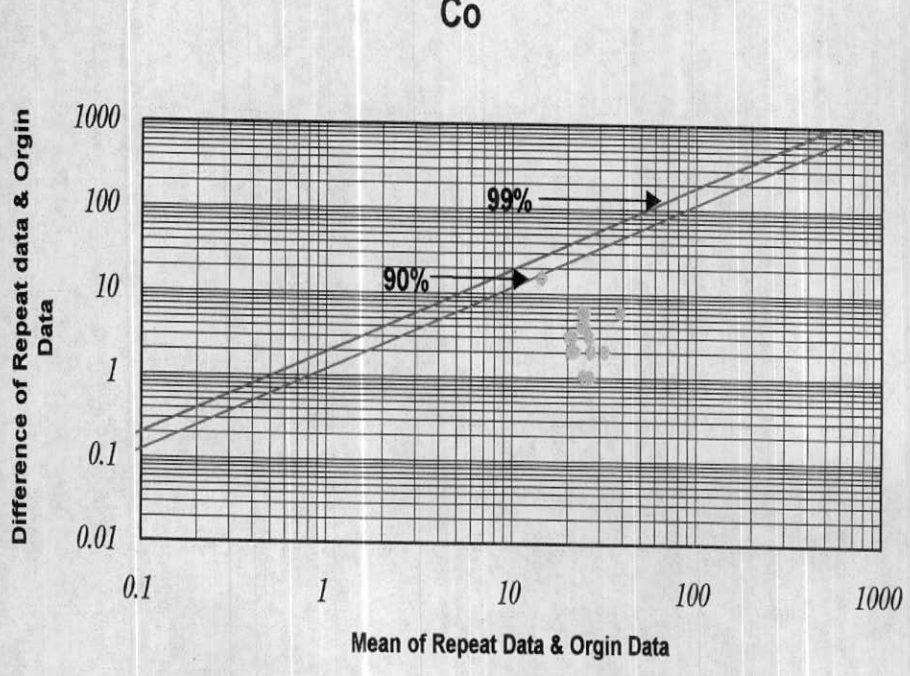


Fig. : Compare of Statistics for Chromite in Different Area.

<i>Kanif Area</i>	
	Chromite (ppm)
	CR (PPM)
N	32
Minimum	150.0
Maximum	800
Mean	415
Median	375
Std. Deviation	160
Skewness	.504
Kurtosis	-480
	11.750

<i>Golab Area</i>	
	Chromite (ppm)
	CR (PPM)
N	7
Minimum	290
Maximum	460
Mean	403
Median	390
Std. Deviation	59
Skewness	-1.137
Kurtosis	1.573
	3.260

<i>Dastgerd Area</i>	
	Chromite (ppm)
	Cr (PPM)
N	24
Minimum	230
Maximum	960
Mean	495
Median	405
Std. Deviation	242
Skewness	.869
Kurtosis	-.764
	17.535

<i>Maldar Area</i>	
	Chromite (ppm)
	CR (PPM)
N	4
Minimum	780
Maximum	860
Mean	820
Median	820
Std. Deviation	33
Skewness	.000
Kurtosis	1.500
	2.912

Table P 2.59 .List of Compairre's Elements Analysis in Two Different Methods.

Row No	Element	Analysis Method				Analysis Method				Analysis Method				Analysis Method			
		AAS		I.C.P		AAS		I.C.P		AAS		I.C.P		AAS		I.C.P	
		Ni	Cr	Co	Be	Ba	Mn										
1	2	79.AF.2	42	55	110	191	13	22	0.5	<2	195	176		300	-1		
2	10	79.AF.10	38	55	110	160	12	21	0.5	<2	220	184		330	-1		
3	15	79.AF.15	42	62	92	113	13	24	0.5	<2	240	231		330	-1		
4	17	79.AF.17	42	58	120	99	14	24	0.5	<2	210	221		350	-1		
5	24	79.AF.24	44	66	150	118	14	22	0.5	<2	195	169		350	-1		
6	a1-1	79.AF.29	44	51	120	101	13.5	22	0.5	<2	280	241		460	-1		
7	Z1	79.AF.37	53	79	130	134	13.5	23	0.5	<2	195	167		370	-1		
8	A3	79.AF.43	21	42	20	117	56	7	0.5	<2	130	244		70	-1		
9	A17	79.AF.57	74	73	130	135	18	19	0.96	<2	370	282		590	-1		
10	L7	79.AF.68	53	69	120	146	17	20	0.85	<2	390	274		540	-1		
11	R1	79.AF.92	87	170	200	420	28	42	0.6	3	300	306		720	-1		
12	D6	79.AF.106	56	57	110	128	15	23	0.96	3	370	301		490	-1		
13	Q2	79.AF.117	82	103	130	189	18	26	0.85	3	370	340		490	-1		
14	G1	79.AF.135	53	57	97	131	13	23	0.6	3	350	357		540	-1		
15	C5	79.AF.144	47	29	110	137	14	27	0.9	3	370	308		520	-1		
16	E10	79.AF.155	56	57	140	122	15	27	1	3	320	295		520	-1		
17	E23	79.AF.168	72	73	160	149	18	28	0.96	2	440	296		540	-1		
18	ZS1	79.AF.174	25	37	84	74	16	33	0.5	3	195	175		620	-1		
19	a1	79.AF.180	30	43	160	139	11	27	0.5	3	630	420		490	-1		
20	E4	79.AF.191	27	39	110	57	13	28	0.5	2	420	171		460	-1		

-1 = No Analysis

AAS = Atomic Absorption
I.C.P = Induced Couple Plasma

Table P.2.59 :List of Compaire's Elements Analysis in Two Different Methods.

Row No	$\frac{Z}{A}$ Element	Symbol	Analysis Method				Analysis Method				Analysis Method				Analysis Method			
			AAS		I.C.P		AAS		I.C.P		AAS		I.C.P		AAS		I.C.P	
			W	MO	Hg	As	W	MO	Hg	As	W	MO	Hg	As	W	MO	Hg	As
1	2	79.AF.2	1.08	<5	0.05	-1	18	<20	0.78	-1	0.12	-1	0.12	-1	2	79.AF.10	2.07	0.57
2	10	79.AF.15	2.12	<10	0.65	<5	0.05	-1	17.4	<20	0.67	-1	0.12	-1	3	79.AF.15	2.12	0.65
4	17	79.AF.17	4.43	<10	0.5	<5	0.05	-1	17.7	<20	0.67	-1	0.12	-1	5	79.AF.24	1.85	<10
5	24	79.AF.29	1.77	<10	0.85	<5	0.05	-1	19.2	<20	0.67	-1	0.12	-1	6	a1-1	79.AF.37	2.8
7	Z1	79.AF.37	2.8	<10	0.5	<5	0.05	-1	17.1	<20	0.56	-1	0.12	-1	8	A3	79.AF.43	341
8	A17	79.AF.57	2.55	<10	0.5	<5	0.05	-1	5.9	<20	0.67	-1	0.12	-1	9	A17	79.AF.68	2.51
10	L7	79.AF.92	1.81	<10	0.5	<5	0.05	-1	8.4	<20	0.9	-1	0.18	-1	11	R1	79.AF.92	1.81
12	D6	79.AF.106	2.77	<10	0.5	<5	0.05	-1	6.8	<20	0.78	-1	0.18	-1	13	Q2	79.AF.117	1.99
14	G1	79.AF.135	1.92	<10	0.5	<5	0.05	-1	10.3	<20	0.78	-1	0.18	-1	15	C5	79.AF.144	4.86
16	E10	79.AF.155	2.18	<10	0.5	<5	0.05	-1	8.65	<20	0.78	-1	0.18	-1	17	E23	79.AF.168	4.12
18	ZS1	79.AF.174	2.44	<10	0.5	<5	0.05	-1	13.9	<20	0.9	-1	0.24	-1	19	a1	79.AF.180	1.4
20	E4	79.AF.191	1.33	<10	0.5	<5	0.05	-1	9.7	<20	0.78	-1	0.3	-1				
									11.9	<20	0.78	-1	0.18	-1				
									78.1	<20	0.5	-1	0.12	-1				
									13.6	<20	0.56	-1	0.18	-1				
									22.8	<20	0.56	-1	0.12	-1				

-I = No Analysis

AAS = Atomic Absorption

I.C.P = Induced Couple Plasma

Table P.2.59 :List of Compairre's Elements Analysis in Two Different Methods.

Row	Element	Symbol	Atomic Number	Analysis Method				Analysis Method				Analysis Method				Analysis Method			
				AAS		I.C.P		AAS		I.C.P		AAS		I.C.P		AAS		I.C.P	
				Pb	Cu	Pb	Cu	Zn	Sn	Ag	Sn	AAS	I.C.P	AAS	I.C.P	AAS	I.C.P	AAS	I.C.P
1	H ₂	H_2	79.AF.2	24	48	11	-1	89	67	0.074	<1	2.5	<10	12	32				
2	10	Si	79.AF.10	21	20	12	-1	86	56	0.09	<1	2.4	<10	15	29				
3	15	Cl	79.AF.15	23	19	10	-1	67	56	0.074	<1	2	<10	22	35				
4	17	S	79.AF.17	26	22	13	-1	69	49	0.087	<1	2.1	<10	25	29				
5	24	Cr	79.AF.24	32	19	8	-1	80	58	0.093	<1	2	<10	34	28				
6	a1-1	79.AF.29	26	17	16	-1	69	51	0.087	<1	2.2	<10	30	33					
7	Z1	79.AF.37	23	23	8	-1	67	77	0.092	<1	2.1	<10	19	34					
8	A3	79.AF.43	48	12	8.2	-1	20	39	0.16	<1	2	<10	26	43					
9	A17	79.AF.57	34	20	22	-1	80	49	0.081	<1	2.7	<10	48	53					
10	L7	79.AF.68	30	19	18	-1	72	50	0.074	<1	2.5	<10	46	53					
11	R1	79.AF.92	50	31	13	-1	92	103	0.096	<1	2.3	<10	34	53					
12	D6	79.AF.106	34	26	17	-1	67	88	0.074	<1	2.2	<10	52	58					
13	Q2	79.AF.117	32	25	14	-1	100	91	0.064	<1	2	<10	14	52					
14	G1	79.AF.135	25	23	16	-1	98	96	0.074	<1	2.5	<10	36	56					
15	C5	79.AF.144	37	46	16	-1	67	94	0.079	<1	2.3	<10	40	55					
16	E10	79.AF.155	46	43	24	-1	64	77	0.068	<1	2.4	<10	40	49					
17	E23	79.AF.168	74	83	14	-1	81	85	0.074	<1	2.3	<10	58	59					
18	ZS1	79.AF.174	34	44	8.8	-1	100	71	0.1	<1	2.2	<10	48	85					
19	a1	79.AF.180	37	41	14	-1	57	68	0.071	<1	2.3	<10	26	45					
20	E4	79.AF.191	21	42	12	-1	96	72	0.1	<1	2.7	<10	38	45					

-1 = No Analysis

AAS = Atomic Absorption

I.C.P = Induced Couple Plasma

Fig. :Results of Origin Data and Repeat Data .

No.	Field no.	co.no.	Sio2(%)	R-Sio2(%)	Al2o3(%)	R-Al2o3(%)	Fe2o3(%)	R-Fe2o3(%)	Cao(%)	R-Cao(%)
1	2	79.AF.2	40.7	45.7	8.9	6.4	3.1	2.9	20.9	22.7
2	10	79.AF.10	43.9	45.4	8.7	6.9	3.0	3.1	19.4	22.3
3	15	79.AF.15	45.6	49.9	10.0	7.5	2.8	3.3	21.9	18.6
4	17	79.AF.17	42.2	48.0	9.2	7.0	2.6	3.1	24.8	20.0
5	24	79.AF.24	43.6	48.3	8.7	7.6	2.6	3.6	20.2	18.2
6	a1-1	79.AF.29	51.1	57.1	11.0	8.6	2.9	3.5	15.5	13.5
7	Z1	79.AF.37	47.5	44.2	10.1	8.0	2.9	3.7	18.0	20.3
8	A3	79.AF.43	66.0	66.5	11.1	10.9	2.4	4.6	5.0	6.5
9	A17	79.AF.57	64.3	65.9	12.1	11.4	2.9	4.8	5.7	6.7
10	L7	79.AF.68	65.2	66.7	11.2	10.9	2.9	4.7	6.0	6.7
11	R1	79.AF.92	54.6	61.4	13.3	10.9	5.0	5.9	8.8	7.9
12	D6	79.AF.106	61.3	67.4	12.2	10.6	4.4	4.6	6.6	6.6
13	Q2	79.AF.117	59.9	66.0	14.0	11.2	4.8	4.9	6.7	6.4
14	G1	79.AF.135	58.0	66.6	13.5	10.2	4.4	4.3	7.6	7.3
15	C5	79.AF.144	57.1	67.5	14.0	10.9	5.6	4.5	7.4	6.1
16	E10	79.AF.155	60.4	67.5	13.0	11.3	5.3	4.7	7.2	5.8
17	E23	79.AF.168	57.5	66.7	13.8	10.5	5.4	4.7	7.7	6.4
18	ZS1	79.AF.174	38.5	42.3	13.3	9.4	3.2	3.4	20.4	19.5
19	a1	79.AF.180	46.0	56.7	12.3	8.1	4.8	3.8	15.6	14.4
20	E4	79.AF.191	51.4	55.7	11.9	8.8	4.4	3.5	13.9	14.6

No.	Mno(%)	R-Mno(%)	Tio2(%)	R-Tio2(%)	P2o5(%)	R-P2o5(%)	Mgo(%)	R-Mgo(%)
1	0.05	0.03	0.61	0.28	0.08	0.11	1.6	1.7
2	0.05	0.04	0.61	0.31	0.09	0.11	1.7	1.8
3	0.06	0.03	0.63	0.34	0.09	0.11	1.9	1.8
4	0.07	0.03	0.58	0.32	0.09	0.11	1.5	1.6
5	0.06	0.03	0.58	0.38	0.10	0.12	2.3	2.2
6	0.06	0.03	0.64	0.37	0.09	0.11	1.8	1.6
7	0.04	0.03	0.63	0.33	0.11	0.12	3.4	2.6
8	0.05	0.04	0.70	0.49	0.10	0.12	1.7	1.7
9	0.06	0.05	0.76	0.54	0.11	0.12	1.7	1.9
10	0.06	0.06	0.73	0.50	0.10	0.12	1.5	1.8
11	0.13	0.07	0.80	0.46	0.10	0.11	1.3	1.7
12	0.06	0.05	0.74	0.50	0.10	0.11	1.3	1.7
13	0.07	0.05	0.81	0.53	0.10	0.12	1.9	2.1
14	0.07	0.04	0.78	0.49	0.10	0.12	1.5	1.8
15	0.06	0.04	0.88	0.48	0.11	0.11	1.3	1.7
16	0.06	0.04	0.81	0.51	0.11	0.12	1.1	1.7
17	0.06	0.04	0.82	0.46	0.11	0.11	1.6	1.9
18	0.12	0.09	0.78	0.47	0.1	0.11	1.1	1.6
19	0.07	0.04	0.8	0.42	0.1	0.11	1.2	1.4

Fig. :Results of Origin Data and Repeat Data.

No.	Field no.	co.no.	Ag(ppm)	R-Ag(ppm)	As(ppm)	R-As(ppm)	B(ppm)	R-B(ppm)	Ba(ppm)	R-Ba(ppm)	Be(ppm)	R-Be(ppm)
1	2	79.AF.2	<1	<20	47	32	47	176	197	<2	2	
2	10	79.AF.10	<1	<1	<20	57	29	49	184	236	<2	2
3	15	79.AF.15	<1	<1	<20	<20	35	48	231	245	<2	2
4	17	79.AF.17	<1	<1	<20	84	29	43	221	245	<2	2
5	24	79.AF.24	<1	<1	<20	<20	28	49	169	220	<2	2
6	a1-1	79.AF.29	<1	<1	<20	<20	33	43	241	276	<2	2
7	Z1	79.AF.37	<1	<1	<20	<20	34	54	167	209	<2	2
8	A3	79.AF.43	<1	<1	<20	<20	43	63	244	359	<2	3
9	A17	79.AF.57	1.2	<1	<20	<20	53	57	282	378	<2	3
10	L7	79.AF.68	4.1	<1	<20	<20	53	56	274	348	<2	3
11	R1	79.AF.92	<1	<1	<20	<20	53	45	306	286	3	2
12	D6	79.AF.106	<1	<1	<20	<20	58	56	301	338	3	3
13	Q2	79.AF.117	<1	<1	<20	<20	52	54	340	389	3	3
14	G1	79.AF.135	<1	<1	<20	<20	56	53	357	368	3	3
15	C5	79.AF.144	<1	<1	<20	<20	55	60	308	313	3	3
16	E10	79.AF.155	<1	<1	<20	<20	49	66	295	405	3	3
17	E23	79.AF.168	<1	<1	<20	<20	59	70	296	317	2	3
18	ZS1	79.AF.174	<1	<1	<20	<20	85	90	175	171	3	2
19	a1	79.AF.180	<1	<1	<20	<20	45	48	420	726	3	2
20	E4	79.AF.191	<1	<1	<20	<20	45	64	171	283	2	3

No.	Bi(ppm)	R-Bi(ppm)	Cd(ppm)	R-Cd(ppm)	Co(ppm)	R-Co(ppm)	Cr(ppm)	R-Cr(ppm)	Cu(ppm)	R-Cu(ppm)	Li(ppm)	R-Li(ppm)
1	<10	22	<2	7	22	28	191	163	48	29	21	17
2	<10	20	<2	7	21	27	160	222	20	45	24	20
3	<10	11	<2	5	24	24	113	144	19	33	25	20
4	<10	14	<2	4	24	25	99	145	22	29	23	17
5	<10	13	<2	3	22	26	118	244	19	28	22	22
6	<10	<10	<2	<2	22	22	101	163	17	31	26	19
7	<10	15	<2	4	23	27	134	189	23	28	26	24
8	<10	<10	<2	<2	7	22	117	167	12	34	<10	26
9	<10	<10	<2	<2	19	22	135	201	20	37	26	27
10	<10	<10	<2	<2	20	22	146	170	19	35	28	24
11	<10	<10	<2	<2	42	36	420	404	31	50	42	26
12	<10	<10	<2	<2	23	21	128	183	26	39	27	29
13	<10	<10	<2	<2	26	27	189	308	25	39	33	27
14	<10	<10	<2	<2	23	20	131	147	23	42	35	26
15	<10	<10	<2	<2	27	21	137	150	46	37	29	24
16	<10	<10	<2	<2	27	22	122	271	43	35	32	27
17	<10	<10	<2	<2	28	26	149	301	83	77	37	27
18	<10	18	<2	<2	6	33	74	44	34	21	19	18
19	<10	<10	<2	<2	3	27	31	139	41	31	26	22
20	<10	<10	<2	<2	28	25	57	120	42	39	19	18

Fig. :Results of Origin Data and Repeat Data .

No.	Mo(ppm)	R-Mo(ppm)	Ni(ppm)	R-Ni(ppm)	Sb(ppm)	R-Sb(ppm)	Sn(ppm)	R-Sn(ppm)	Sr(ppm)	R-Sr(ppm)
1	<3	<3	55	65	<10	<10	<10	35	268	224
2	<5	<5	55	66	<10	<10	<10	31	254	289
3	<5	<5	62	63	<10	<10	<10	<10	292	276
4	<5	<5	58	61	<10	<10	<10	<10	289	271
5	<5	<5	66	85	<10	<10	<10	<10	268	275
6	<5	<5	51	56	<10	<10	<10	<10	279	281
7	<5	<5	79	105	<10	<10	<10	<10	331	364
8	<5	<5	42	70	<10	<10	<10	<10	190	233
9	<5	<5	73	80	<10	<10	<10	<10	200	229
10	<5	<5	69	69	<10	<10	<10	<10	198	227
11	<5	<5	170	150	<10	<10	<10	<10	231	233
12	<5	<5	57	62	<10	<10	<10	<10	206	229
13	<5	<5	103	115	<10	<10	<10	<10	209	227
14	<5	<5	57	61	<10	<10	<10	<10	239	246
15	<5	<5	29	56	<10	<10	<10	<10	219	220
16	<5	<5	57	61	<10	<10	<10	<10	202	213
17	<5	<5	73	82	<10	<10	<10	<10	218	230
18	<5	<5	37	35	<10	<10	<10	<10	416	409
19	<5	<5	43	39	<10	<10	<10	<10	289	285
20	<5	<5	39	40	<10	<10	<10	<10	243	287

No.	V(ppm)	R-V(ppm)	W(ppm)	R-W(ppm)	Zn(ppm)	R-Zn(ppm)
1	191	130	19	10	67	66
2	192	135	13	<10	56	85
3	223	132	<10	<10	56	68
4	220	137	<10	<10	49	70
5	217	145	<10	<10	58	74
6	224	140	<10	<10	51	69
7	267	150	<10	<10	77	74
8	148	153	<10	<10	39	78
9	160	159	<10	<10	49	79
10	162	155	<10	<10	50	77
11	167	168	<10	<10	103	90
12	184	153	<10	<10	88	80
13	195	164	<10	<10	91	82
14	189	151	<10	<10	96	76
15	332	142	<10	<10	94	76
16	326	144	<10	<10	77	77
17	326	143	<10	<10	85	79
18	329	152	<10	<10	71	66
19	319	142	<10	<10	72	71

Table P.2.61 :Results of Grade Heavy Minerals in ppm (Golab Area)

Sample No.	Co.No.	Coordinate(UTM)	T.W(a)	S.W(C)	H.W(y)	Scheelite	Gold	Amphiboles	Anatase	Apatite	Arragonite	Barite	Celestine	Chlorite
		X	Y	(gr)	(gr)	(ppm)	(ppm)	(ppm)	(ppm)	(ppm)	(ppm)	(ppm)	(ppm)	(ppm)
I.LC1	79.AF.256	773727	3600518	30.00	7.40	1.5	-1	-1	-1	-1	-1	10.09	0.11	-1
I.LC2	79.AF.257	773520	3600397	51.30	10.30	1.1	-1	-1	-1	0.11	-1	7.25	-1	-1
I.LC3	79.AF.258	773990	3600546	23.00	11.20	5.8	-1	-1	-1	-1	-1	6.67	-1	-1
I.LC4	79.AF.259	774121	3600448	12.40	12.40	5.2	-1	-1	-1	-1	-1	6.02	-1	-1
I.LC5	79.AF.260	774315	3600528	64.00	7.40	2.9	-1	-1	-1	0.33	-1	10.09	-1	-1
I.IH2	79.AF.262	774511	3600621	36.00	9.20	5.1	-1	-1	-1	0.83	-1	-1	-1	-1
I.IH1	79.AF.261	774617	3600561	44.70	8.20	3.2	-1	-1	-1	0.47	-1	9.11	-1	-1

Old No.	Co.No.	Coordinate (UTM)			T.W(a)	S.W(C)	H.W(y)	Chromite	Epidots	Garnet	Goethite	Hematite	Ilmenit	Levcoxene	Limonite	Magnetite
		X	Y	(gr)	(gr)	(ppm)	(ppm)	(ppm)	(ppm)	(ppm)	(ppm)	(ppm)	(ppm)	(ppm)	(ppm)	(ppm)
LG1	79.AF.256	773727	3600518	30.00	7.40	1.5	133.73	-1	22.24	-1	292.79	-1	-1	-1	2315.32	
LG2	79.AF.257	773520	3600397	51.30	10.30	1.1	8.24	-1	6.85	-1	378.89	-1	-1	-1	570.69	
LG3	79.AF.258	773990	3600546	23.00	11.20	5.8	1069.49	-1	74.11	405.28	97.57	-1	-1	-1	10801.45	
LG4	79.AF.259	774121	3600448	12.40	12.40	5.2	2409.60	-1	2.23	913.11	3956.82	-1	-1	-1	11154.05	
LG5	79.AF.260	774315	3600528	64.00	7.40	2.9	48.48	0.35	20.16	-1	53.07	-1	-1	-1	2098.25	
IH2	79.AF.262	774511	3600621	36.00	9.20	5.1	60.95	0.87	1.01	-1	66.73	-1	-1	-1	3975.43	
IH1	79.AF.261	774617	3600561	44.70	8.20	3.2	34.56	-1	0.57	-1	37.83	-1	-1	-1	1405.45	

		Coordinate(UTM)		T.W(a)	S.W(C)	H.W(y)	Peridotite	Pyrite	Pyrite Oxide	Pyroxenes	Rutile	Sphene	Tourmaline	Zircon
Sample No.	Co.No.	X	Y	(gr)	(gr)	(gr)	(ppm)	(ppm)	(ppm)	(ppm)	(ppm)	(ppm)	(ppm)	(ppm)
G1	79.AF.256	773727	3600518	30.00	7.40	1.5	-1	0.56	19.71	0.49	-1	-1	0.52	
G2	79.AF.257	773520	3600397	51.30	10.30	1.1	-1	-1	-1	0.15	-1	-1	0.16	
G3	79.AF.258	773990	3600546	23.00	11.20	5.8	-1	-1	1.88	-1	1.64	-1	1.74	
G4	79.AF.259	774121	3600448	12.40	12.40	5.2	-1	-1	140.91	98.64	2.46	-1	-1	
G5	79.AF.260	774315	3600528	64.00	7.40	2.9	-1	-1	571.51	-1	-1	-1	2.61	
H2	79.AF.262	774511	3600621	36.00	9.20	5.1	-1	-1	1.28	4042.12	1.12	-1	0.47	
H1	79.AF.261	774617	3600561	44.70	8.20	3.2	-1	-1	-1	2291.70	-1	-1	1.19	

Table P.2.62 :Results of Grade Heavy Minerals in ppm (Maldar Area)

Row	Field No.	Co.No.	X	Y	(gr)	(gr)	(gr)	(ppm)	(ppm)	(ppm)
			Coordinate(UTM)		T.W(a)	S.W(C)	H.W(y)	Scheelite	Gold	Amphiboles
1	MA3	79.AF.226	243994	3594191	8.00	8.00	4.9	-1	-1	6737.50
2	MA4	79.AF.227	244123	3594216	21.00	7.50	3.7	-1	-1	626.46
3	MA5	79.AF.228	244157	3594241	6.00	6.00	4.0	-1	-1	1481.48

Row	Field No.	Co.No.	X	Y	(ppm)	(ppm)	(ppm)	(ppm)	(ppm)	(ppm)
			Coordinate(UTM)		Anatas	Apatite	Arragonite	Barite	Celestine	Chlorite
1	MA3	79.AF.226	243994	3594191	-1	4.12	-1	9.33	-1	3.70
2	MA4	79.AF.227	244123	3594216	-1	1.26	-1	9.96	-1	1.14
3	MA5	79.AF.228	244157	3594241	-1	5.98	-1	12.44	-1	5.37

Row	Field No.	Co.No.	X	Y	(ppm)	(ppm)	(ppm)	(ppm)	(ppm)	(ppm)
			Coordinate(UTM)		chromit	Epidots	Garnet	Goethite	Hematite	Ilmenit
1	MA3	79.AF.226	243994	3594191	303.06	216.93	5.04	-1	331.77	1656.30
2	MA4	79.AF.227	244123	3594216	1394.84	66.56	77.33	-1	508.99	1386.03
3	MA5	79.AF.228	244157	3594241	4398.15	6.30	365.74	-1	-1	17481.48

Row	Field No.	Co.No.	X	Y	(ppm)	(ppm)	(ppm)	(ppm)	(ppm)	(ppm)
			Coordinate(UTM)		evcoxe	limonit	Magnetite	Peridote	Pyrite	Pyrite Oxide
1	MA3	79.AF.226	243994	3594191	5.10	-1	29514.84	-1	-1	-1
2	MA4	79.AF.227	244123	3594216	-1	-1	10062.43	-1	-1	1.96
3	MA5	79.AF.228	244157	3594241	-1	-1	47592.59	-1	-1	9.26

Row	Field No.	Co.No.	X	Y	(ppm)	(ppm)	(ppm)	(ppm)	(ppm)	(ppm)
			Coordinate(UTM)		pyroxen	Rutile	Sphene	Tourmalin	Zircon	
1	MA3	79.AF.226	243994	3594191	4912.76	5.56	-1	-1	5.91	
2	MA4	79.AF.227	244123	3594216	2398.15	1.71	1.34	-1	90.64	
3	MA5	79.AF.228	244157	3594241	9722.22	8.07	6.33	-1	8.57	

نمونه D1 شورک ۱

تشکیل دهنده ها عبارتنداز: اکسیدوئیدروکسیدهای آهن، کربناتهای مس، کانیهای گانگ کانیهای کدر موجود منحصر به اکسیدوئیدروکسیدهای آهن و عمدتاً گوتیت بوده؛ مقدار آن در حد ۲-۳٪ است. کانیهای سولفوری وجود ندارد. انعکاسات داخلی سبزرنگ در میکروفراکچرها احتمال آغشتنگی به کربناتهای مس (مالاکیت) را نشان میدهد. گانگ کوارتزی است.

نمونه D2

تشکیل دهنده ها عبارتنداز: اکسیدوئیدروکسیدهای آهن، اکسیدهای مس، سولفورهای مس، کربناتهای مس، کانیهای گانگ بافت کانیهای کدر به صورت قطعات پراکنده و رگجه های نازک متعدد (استوک ورک) می باشد. عمدتاً کانیهای کدر از اکسیدوئیدروکسیدهای آهن شامل گوتیت و اکسیدهای مس شامل کوبیریت تشکیل شده است. بلورهای سورزی نیز وجود دارد که احتمالاً هماتیت است. مقدار کانیهای مذکور حدود ۵٪ است. از سولفورهای اولیه ندر تر قطعات ریز از کالکوبیریت و برینیت مشاهده شد: و احتمالاً در برخی قطعات همراهی ایندوناشی از نامیختگی میباشد. اندازه قطعات سولفوری از ۰.۵ میکرون کمتر بوده و مقدار آن در حد ۱٪ است. از دیگر کانیهای مس مالاکیت قابل ذکر است که به صورت پرشی دارند. در فضاهای خالی تشکیل گردیده و مقدار آن نیز در حد ۱٪ است. گانک کوارتزی بوده و شدیداً پرشی شده است.

تشکیل دهنده هاعبارتنداز: اکسیدونیدر و کسیدهای آهن، کانیهای گانگ.

در این نمونه کانیهای کدر منحصر به مقادیر جزئی اکسیدونیدر و کسیدهای آهن میباشد که در فضای شکستگیها آغشته است. ندرتاً نیز قطعات کوچک گوتیت دیده میشود. کانیهای سولفوری وجود ندارد. کانیهای گانگ کوارتزی است.

تشکیل دهنده هاعبارتنداز: اکسیدونیدر و کسیدهای آهن (گوتیت، هماتیت، لپیدوکروسیت)،

روتیل، کالکوپیریت، پیریت، کالکوزین، کولین، اکسیدهای مس (کوپریت)، قطعات سفید نامشخص؟ کانیهای گانگ.

اکسیدونیدر و کسیدهای آهن شامل گوتیت، لپیدوکروسیت و هماتیت فراوانترین کانیهای کدر بوده و دومورداول ناشی از دگرسانی پیریت میباشد. همراه با قطعات مذکور قطعات خاکستری رنگ دیگری نیز وجود دارد که تا حدودی متمایز بوده و احتمالاً اکسیدهای مس (عدم تا کوپریت) بوده و ناشی از دگرسانی کالکوپیریت است. گوتیت دارای اشکال پسودومورف پیریت و هم دارای اشکال ثانوی

ریتمیک است. هماتیت به صورت بلورهای منشوری و سوزنی هم در زمینه گانگ به حالت مستقل و هم در گیر با نیدر و کسیدهای آهن مشاهده شده و مقدار آنها در مجموع حداقل ۱۰٪ است. مقدار اکسیدهای مس رانمی توان قاطعانه تخمین زد پیریت به صورت قطعات با قیمانده در گوتیت مشاهده شده و مقدار آنرا ۱٪ کمتر است. از سولفورهای هیپوژن مس کالکوپیریت به صورت قطعات کوچک پراکنده با توریع نامتجانس مشاهده شده و مقدار آن در حد ۲-۳٪ است. آثار دگرسانی کالکوپیریت با تشکیل هاله های کولین و کالکوزین در اطراف آن مشخص بوده و این مجموعه خود توسط کانیهای

اکسید محصور گردیده است. چند مورد نیز قطعات سفیدرنگ نامشخص؟ در همراهی با این کانیها دیده

میشود که مقدار آن جزئی و در حد ۱۰٪ است. چند مورد نیز قطعات مشکوک به روئی حضور دارد.

مالاکیت نیز به مقدار کم در برخی شکستگی هادیده میشود. گانگ کوارتزی است.

نمونه D5

در این نمونه کانیهای کدر مشاهده نمی شود. کانیهای شفاف (گانگ) از دو بخش تشکیل گردیده

است. بخش عمده وزمینه غالب دارای بلورهای درشت ماسکل (از نوع پلی سنتیک) بوده و قطعات

پراکنده کوارتز در آن جانشین شده است.

شورک ۲

نمونه E1

تشکیل دهنده هابارتنداز کالکوپیریت، اکسیدوئیدروکسیدهای آهن، اکسیدهای

مس، کالکوزین

برنیت، کولین، کانی سفیدرنگ درخشان؟، ملاکیت، آزوریت، کانیهای گانگ.

بافت کانی سازی پراکنده (دیس آمینه) بوده و اندازه قطعات کدر ندر تا ۳ میلیمتر تجاوز می کند. کانیهای

کدر مجموعه در همی از کانیهای اکسید، سولفورهای سوپرژن و انواع هیبوژن است. از سولفورهای اولیه

کالکوپیریت فراوانترین بوده و مقدار آن در حد ۳-۴٪ است. ندر تا همراه کالکوپیریت، برنیت نیز مشاهده می

شود. علاوه بر این قطعات سفیدرنگ درخشان نیز در همراهی نزدیک با کالکوپیریت وجود دارد. در

قطعات دگرسان شده کالکوپیریت قطعات مذکور بیشتر قابل تمایز میباشد. قطعات سفید علاوه در زمینه

گانگ نیز وجود داشته و اندازه قطعات آن عموماً از ۱۰۰ میکرون کوچکتر است. کالکوپیریت در قطعات

کوچک نسبتاً سالم بوده ولی در قطعات بزرگتر به مجموعه ای از سولفورهای ثانوی و ترکیبات اکسیده

ثانوی تبدیل شده است. درین ترکیبات اکسیدگوتیت متمایز بوده و همراه آن احتمالاً کربیریت نیز وجود دارد. سولفورهای ثانوی شامل کالکوزین و کولین است. دگرسانی از حواشی قطعات با ظاهر سولفورهای ثانوی شروع گردیده و نهایتاً به ترکیبات اکسیدختم می‌شود. شدت دگرسانی متفاوت بوده و در برخی قطعات دگرسانی به صورت کامل انجام شده است. مقدار سولفورهای هیپوژن ازانواع سوپرژن بیشتر است. مقدار کانیهای سولفوری حد اکثر 3% است. و مقدار اکسیدهای نیز در حد $2-3\%$ است. در فضاهای میکروفراکچر هاندرتا کربناتهای مس شامل مالاکیت و آزو ریت مشاهده شده و مقدار آن جزئی است. ندرتاً قطعات پیریت در مجموعه حضور دارند. بخش اعظم گانگ کوارتز می‌باشد.

نمونه E2 شورک ۲

تشکیل دهنده هابارتنداز اکسید و نیدروکسیدهای آهن، اکسیدهای مس، سولفورهای هیپرژن و سوپرژن مس، کربناتهای مس، کانیهای گانگ، طلا؟ کانیهای کدر موجود شامل بخش سولفوری و هم بخش اکسیدی می‌باشد. بخش سولفوری منشکل از کانیهای هیپرژن و هم سوپرژن بوده و مقدار آن حدود $1-2\%$ است. کانیهای هیپرژن شامل کالکوبیریت و برنتیت و انواع سوپرژن شامل کالکوزین و کولین می‌باشد. برنتیت عموماً در همراهی نزدیک با کالکوزین بوده و توسط هاله نازکی از کالکوزین احاطه شده است. بخش اکسیدی نیز به مقدار $2-3\%$ بوده و گوتیت متمایز ترین کانیها می‌باشد. وجود کوبیریت نیز مورد تردید است. چند مورد قطعات در خشان با قدرت انعکاس بالانیز وجود دارد که مشکوک به طلا است؟ در فضای بین شکستگیهای کربناتهای مس و به صورت مشخص آنوریت وجود دارد. مقدار این کانی در حد 1% است. کانیهای گانگ متعدد بوده و بخش عمده آنرا کوارتز تشکیل داده است.

نمونه E3

شورک ۲

تشکیل دهنده ها عبارتنداز: اکسیدوئیدروکسیدهای آهن شامل گوتیت و هماتیت، کانیهای سولفوری شامل کالکوپیریت و کربناتها شامل مالاکیت، کانیهای گانگ شامل کوارتز، اکسیدوئیدروکسیدهای آهن فراوان ترین کانیهای کدررسوده و مقدار آن در حد ۲-۳٪/میاشد. گوتیت در مجموعه مذکور فراوانترین بوده و با اشکال خاص (ریتمیک و کنکرسیونی) و در مواردی با اشکال کاذب (پسودومorf) پیریت دیده میشود. اندازه قطعات مذکور از ۲۰۰ میکرون کوچکتر است. مورددیگر از ترکیبات آهن قطعات تیغه ای و سوزنی مشکوک به هماتیت می باشد. کانیهای سولفوری که شامل کالکوپیریت و پرنیت به صورت قطعات ریز در ابعاد حدود ۲۰ میکرون است به مقدار جزئی در حد ۱۰٪/میاشد. مالاکیت در فضای شکستگیها آغشتنگی ایجاد نموده و مقدار آن در حد ۱٪ است. بخش عمده گانگ کوارتز است.

نمونه E4

شورک ۲

تشکیل دهنده ها عبارتنداز اکسیدوئیدروکسیدهای آهن، اکسیدهای مس، سولفورهای مس و آهن، کربناتهای مس، کانیهای گانگ. بخش اعظم کانیهای کدر شامل ترکیبات اکسیدی آهن عمدتاً گوتیت است. مقدار کانیهای مذکور حداقل ۱٪ است. درین کانیهای مذکور کانیهای با قدرت انعکاس کمی متفاوت نیز وجود دارد که احتمالاً از اکسیدهای مس و نوع کوبیریت است. مقدار این قطعات در حد ۲٪/میاشد. کانیهای سولفوری مس به صورت مجموعه درهمی از انواع هیپوژن عمدتاً "کالکوپیریت و ندرتاً پرنیت" است. انواع سوپرژن شامل کالکوزین و کولین میاشد که در اکثر موارد در همراهی نزدیک با کانیهای اکسید است. سولفورهای ثانوی مس به صورت پوششی قطعات کالکوپیریت را حاطه نموده و جانشین

آن شده است. مقدار سولفورهای مس نیز که عمدتاً از کالکوپیریت تشکیل شده حدود ۵٪ میباشد. در کالکوپیریت گاهی ادخالهای از پیریت نیز مشاهده میشود. از کربناتهای مس آزوریت و مالاکیت به صورت پرشدگی در فضای شکستگی ها مشاهده شده و مقدار آن در حد ۲-۳٪ است. بخش اعظم کانیهای گانگ کوارتزی است.

نمونه E5 شورک ۲

تشکیل دهنده ها عبارتند از: اکسیدوئیدروکسیدهای آهن، سولفورهای مس و آهن، کربناتهای مس، کانیهای گانگ، کانی نامشخص؟. کانیهای کدر موجود در نمونه عمدتاً با ترکیبات اکسید مشاهده شده و فراوانترین آنها گوتیت است. وجود اکسیدهای مس از نوع کوپیریت مشخص گردیده ولی ازانواع آهن دار قابل تفکیک نیست. مقدار ترکیبات اکسید حدود ۱۰٪ است. از کانیهای سولفوری قطعات با قیمانده برنت و کالکوپیریت قابل ذکر است. مقدار سولفورهای ۱٪ کمتر است. در زمینه قطعات گوتیت که ناشی از دگرسانی پیریت است گاهی با قیمانده های پیریت نیز مشاهده میشود. اندازه قطعات سولفوری ندرتاً در حد میلیمتر است و اکثراً به صورت قطعات کوچکتر دیده میشوند. چند مورد نیز قطعات کانی سفیدرنگ که در نمونه های دیگر نیز روئیت و اشاره شده وجود دارد. کربناتهای مس عمدتاً ملاکیت به صورت آغشته‌گی و پرشدگی در فضاهای خالی وجود داشته و مقدار آن در حد ۱-۲٪ است. بخش اعظم کانیهای گانگ کوارتز است.

نمونه G باغ سنگی ۲۵

کانیهای کدر منحصر به اکسیدوئیدروکسیدهای آهن و عمدتاً گوتیت میباشد. مقدار این کانی از ۱٪ کمتر میباشد. بعضاً گوتیت به صورت شکل دارد دیده می شود که مربوط به پسودمورف پیریت است.

نمونه N

باغ سنگی ۲۴

کانی های کدر منحصر به چند موردنقطعات پراکنده اکسیدوئیدروکسیدهای آهن

واحتمالاً تینایوم می باشد که مقدار آن از ۱٪ تجاوز نمی کند.

نمونه R1

باغ سنگی

کانی های فلزی موجود در نمونه بصورت کانی های ذیل دیده می شوند:

کالکوپیریت بصورت لکه های ریز با عاد کمتر از میلی متر، بافت پراکنده (D iseminated) آن توزیع

متجانس که ناشی از جانشینی است و مقدار آن در حد ۳٪ می باشد. قطعات مذکور عموماً سالم بوده

و در موارد دگرسانی همراه با اکسیدهای مس دیده می شود و فاز دوم قطعات سفیدرنگ عموماً همراه با

کالکوپیریت که مقدار آن در حد ۱۰٪ بوده و مشخصات آنها با کالکوزین؟ تطابق می نماید. فاز سوم

ادخالهای کوچک در خشان در زمینه کالکوپیریت است که شناسایی گردیده ولی بلحاظ وجود کانی های

بالارزش بایستی مورد آزمایش های دقیق تر قرار گیرد و با عاد آن در حد چند میکرون است. یک موردنیز قطعه

مشکوک بلند که در قسمت میانی کالکوپیریت رام حصور کرده است دیده می شود. در کالکوپیریت بعلاوه

ادخال بر نیت نیز مشاهده می شود.

نمونه R2

باغ سنگی

کانی کدر موجود در نمونه شامل کالکوپیریت و قطعات شکل دار سفیدرنگ است. کالکوپیریت

بصورت قطعات B شکل با توزیع متجانس به مقدار حداقل ۵٪ وجود دارد. قطعات آن تقریباً سالم

بوده، ندرتاً در فضای شکستگیها کانی های ثانوی مس دیده می شود (از نوع اکسید). فاز دوم موجود به

مقدار بسیار جزئی وجود داشته و به شکل قطعات سفید در خشان مستقل از کالکوپیریت تشکیل شده است

مقدار این کانی نیز در حد ۱۰٪/نمی باشد و اندازه قطعات آن عموماً از ۵۰ میکرون کوچکتر است. این نمونه

از نظر عناصر بالارزش بایستی مورد مطالعات دقیق ترقیار گیرد. کانیهای گانگ حداقل ۴ نوع متفاوت بوده

و دارای شکستگیهای متعدد بوده و بافت خردشده دارد.

نمونه R3 باع سنگی

تشکیل دهنده هاعبار تنداز: کالکوپیریت، بلند پیروویتن، کالکوزین، کولین، برنت، قطعات سفید؟

کالکوپیریت به صورت قطعات پراکنده در ابعاد عموماً کمتر از ۲۰۰ میکرون با توزیع تقریباً متجانس

مشاهده شده و مقدار آن حداقل ۳٪/است. در زمینه کالکوپیریت عموماً ادخالهای کوچک سفید در خشان

وجود دارد که اندازه آن در حد چند میکرون است و براین اساس امکان شناسایی میسر نمی باشد، در

نمونه های شیمیابی روی این نکته بایستی تعمق نمود. علاوه بر قطعات سفیدرنگ ادخالهای

بلند برنت، پیریت نیز بعضاً در همراهی با کالکوپیریت دیده می شوند. مقدار بلند در حد حداقل

۳٪/ مقدار پیریت کمتر از ۱٪/ و مقدار برنت نیز در حد جزئی و ۰٪/ است. برنت علاوه بر حالت در گیر با

کالکوپیریت به صورت مستقل نیز مشاهده می شود ولی در مورد سایر تشکیل دهنده ها قطعات

مجازار نیست نشده است. توضیح اینکه دوقطعه تراشه مانند زردنگ نیز با ابعاد میکرونی ملاحظه شده که

مشکوک به طلامی باشد؟

کانیهای سولفورهای ثانوی به صورت کالکوزین، کولین، بعضاً در حواشی کالکوپیریت خیلی نازکی

ایجاد نموده است.

کانیهای کدر شامل ۳ بخش است: بخش اکسید شامل اکسیدوئیدروکسیدهای آهن

واکسیدهای مس، بخش سولفوری شامل سولفورهای هیپوژن و سوپرژن مس و بخش کانیهای شفاف

و نیمه شفاف شامل کانیهای گانگ و کربناتهای مس، مقدار اکسید، ئیدروکسیدهای آهن حداقل ۱۰٪ بوده

شامل عمدتاً گوتیت و همانلت است. قطعات مذکور عموماً فاقد کانیهای سولفوری اولیه می باشد. اشکال

قطعات نامنظم و توزیع آن نامتجانس است. در قطعاتی که همراه با کانیهای سولفوری هستند، اکسیدهای

مس از نوع کوپریت نیز حضور دارند ولی متمایز نمودن این دو نوع بین مقدارها این روش میسر نیست.

سولفورهای هیپوژن شامل کالکوپریت بوده که با بافت پراکنده عمدتاً دیده می شوند و مقدار آن حداقل

۵٪ است. قطعات این کانی در حواشی و شکستگیها تو سط کالکوزین، کولین و اکسیدهای مس جانشین

گردیده است. در قطعات کوچکتر نیز آثار دگر سانی دیده نمی شود. گانگ عمدتاً کوارتزی بوده و در

فضای شکستگیها آن آزوریت بصورت پرشدگی وجود دارد و در تا قطعات مس طبیعی نیز آزوریت

دیده می شود. اندازه قطعات کالکوپریت عمدتاً کمتر از میلیمتر است.

نمونه F1 تیغ نوآب ۱

کانیهای کدر منحصر به چند مورد قطعات پراکنده کالکوپیریت و پیریت بوده اند از هر قطعات عموماً از ۱۰۰ امیکرون کوچکتر است. کالکوپیریت تعداد بیشتری را شامل شده ولی با اینحال عبار آن در حد ۱۰٪ است. قطعات کوچک سالم هستند ولی یک قطعه که نسبت به بقیه اندازه های بیشتری دارد در حواشی به ترکیبات اکسید آهن و مس تبدیل گردیده که اشکال کنکرسیونی آن را متمایز می سازد.

نمونه F2 تیغ نوآب ۱

کانیهای کدر شامل دو بخش است ترکیبات اکسید و ترکیبات سولفوری. ترکیبات اکسید شامل گرتیت می باشد که بعضًا "شکل اولیه قطعات پیرینی را فقط و مقدار آن در حد ۱٪ قابل ذکر است. بخشنی از قطعات مذکور نیز که در مجاورت کالکوپیریت واقع شده احتمالاً با اکسیدهای مس (کوپیریت) همراه می باشد. از کانیهای سولفوری کالکوپیریت، کالکوزین و کولین وجود دارد. کانیهای مذکور در فضای شکستگی بصورت پرشدگی قرار گرفته و عمدتاً از کالکوپیریت تشکیل گردیده است. کالکوزین و کولین جزوی بوده و در حد ۱٪ است. مقدار کالکوپیریت نیز از ۱٪ تجاوز نمی کند. مالاکیت ندرتاً در فضای شکستگی ها با شکل آغشتنگی دیده می شود. وجود کانیهای تیتانیوم (روتیل) موردن تردید ندارد.

نمونه F3 تیغ نوآب ۱

کانیهای کدر موجود در نمونه که بطرین پرشدگی در فسفانهای خالی و هم جانشینی تشکیل شده است شامل کالکوپیریت، اکسیدهای مس، اکسیدوئیدروکسیدهای آهن است مقدار کالکوپیریت جزئی و در حد ۱۰٪ باشد. در اطراف قطعه مذکور اکسیدهای مس نیز شکل گرفته است. چند مورد قطعات گوتیت بالشکال کاذب پیریت حضور دارند مقدار بین قطعات نیز حداقل ۱٪ است. یک موردنیز قطعه مانیتیت با تیغه های همانیتی ادخال درون آن دیده می شود.

نمونه A1 تیغ نوآب ۲

تشکیل دهنده ها عبارتند از: مانیتیت، گوتیت، همانیت، پیریت، کالکوپیریت، کانیهای گانگ کانیهای کدر موجود در نمونه بجز موارد معدود، اکسیدوئیدروکسیدهای آهن شامل مانیتیت، همانیت و گوتیت است. مانیتیت به صورت بلورهای ریز شکل وجود دارد. همانیت ناشی از: گرسانی (مانیتیت شدن) بوده به شکل بلورهای تیغه ای طریف در سطح شکست کانی مانیتیت تشکیل شده است. گوتیت عمده تا "بالشکال ریتمیک و کمتر با شکل کاذب (پسودومورف) پیریت مشاهده می شود. کانیهای مذکور در ارتباط نزدیک با یکدیگر بوده، اندازه آنها از حد دید چشم غیر مسلح خارج بوده و مقدار آنها حدود ۵٪ است. چند مورد نیز قطعات پراکنده پیریت و کالکوپیریت با ابعاد کمتر از ۵۰ میکرون وجود دارد. مقدار سولفورها در حد ۱۰٪ است. بخش عمده گانگ کوارنزی بوده و بافت برشی در آن مشاهده می شود. در این نمونه قطعاتی مشکوک به طلا؟ دیده شده است.

نمونه A2

تیغ نوآب ۲

تشکیل دهنده هاعبارنداز: اکسیدوئیدروکسیدهای آهن، اکسیدهای مس. سولفورهای مس

کانیهای گانگ.

مقدار اکسیدوئیدروکسیدهای آهن حداقل ۵٪ بوده و مشکل از حداقل سه کانی میباشد. یک کانی دمای

بالای آهن که به صورت بلورهای شکل دارمنیتیت دیده شده و اندازه های آن عمر ما "از ۲۰۰ میکرون

کوچکتر است. در زمینه قطعات کانی مذکور هماقیت ناشی از دگرسانی (مارتیت شدن) مشاهده

میشود. کانی دیگر نوع دمای پائین و سوپرژن بوده و به صورت گوتیت میباشد. کانیهای مذکور عموماً در

همراهی نزدیک با یکدیگر بوده و در گیر می باشد. در برخی قسمتها گوتیت با اشکال کاذب پیریت

ظاهر شده است. وجود اکسیدهای مس ناشی از دگرسانی سولفورها در مجموعه متفسی

نمیباشد. در تاییدابن مطلب وجود قطعات پراکنده کالکوپیریت با اشکال خورده شد: ناشی از جاتشیزی

میباشد که توسط اکسیدهای مس (کوپریت) احاطه شده است. مقدار کانیهای مس در حد ۱٪ بوده و

اندازه قطعات نیز در حد رویت با چشم غیر مسلح نمی باشد. مالاکیت در چند قسمت در فضای

میکروفراکچرها مشاهده میشود. مقدار این کانی نیز در حد ۲٪ تا ۳٪ است. چند مور: قطعات پیریت نیز

در مجموعه باقیمانده است. گانگ از نوع کوارتز می باشد. در این نمونه قطعات مشکوکی زرد رنگ؟

دیده میشود.

نمونه A3

تیغ نوآب ۲

تشکیل دهنده هاعبارنداز: منیتیت، گوتیت، هماقیت، اکسیدهای

مس، کالکوپیریت، پیریت، مالاکیت، کانیهای گانگ

مقدار کانیهای کدرحدود ۵٪ بوده و بخش اعظم آن مشکل از اکسیدوئیدروکسیدهای آهن میباشد. بخشی از این ترکیبات دما بالا بوده و شامل منبیت و هماتیت است. هماتیت به صورت بلورهای تیغه ای نازک در سطوح شکستگی های منبیت وجود داشته و به نظر میرسد ثانوی بوده و ناشی از مارتیتی شدن است. بخش دیگر ترکیبات اکسید شامل گوتیت است که مقدار آن در حد ۲-۳٪ بوده اشکال آن در مواردی کنکرسیونی و ریتمیک و در مواردی اشکال کاذب مربوط به پیریت است. در قطعات این کانی گاهی با قیمانده های سولفوری زرد رنگ مشکوک به پیریت وجود دارد. کانیهای اکسید مذکور در مواردی با یکدیگر در گیربوده و در همراهی نزدیک مشاهده میشوند. در این مجموعه ها احتمال وجود اکسیدهای مس نیز میباشد. از کانیهای سولفوری موارد معدود قطعات ریز کالکوپیریت در اندازه های کمتر از ۰.۵ میکرون دیده میشود. قطعات بزرگتر آثار دگرسانی و تبدیل به کانیهای ثانوی (اکسیدهای مس) را نشان میدهد. مقدار کالکوپیریت در حد ۱٪ است. مالاکیت به صورت پرشدگی در فضاهای خالی مشاهده شده و مقدار آن نیز در حد ۱٪ است. گانگ عمدتاً از نوع کوارتز است.

نمونه BI نیخ نوآب ۴

تشکیل دهنده ها عبارتند از: اکسیدوئیدروکسیدهای آهن، اکسیدهای مس، کالکوپیریت، کانی های کدرداری توزیع نامتجانس بوده و بزرگترین قطعه آن دارای ابعاد ۲۰×۱۰×۷ میلیمتر است که مشکل از کالکوپیریت و محصولات دگرسانی آن میباشد. کانیهای دگرسانی که شامل ترکیبات اکسیدی مس (کوپیریت؟) و ئیدروکسیدهای آهن (گرتیت) میباشد در حواشی و امتداد شکستگی های کالکوپیریت تشکیل شده است. مقدار کانیهای کدرحداکثر ۲٪ بوده و بخش عمده آن کالکوپیریت است. کانیهای گانگ از نوع کوارتز می باشد.

نمونه B2

تیغ نوآب ۴

تشکیل دهنده هاعبارنداز:اکسیدونیدر و کسیدهای آهن،پیریت،کالکوپیریت،کانیهای گانگ

کانیهای کدر در مجموع در حدود ۳٪ بوده و بخش اعظم آن را اکسیدونیدر و کسیدهای آهن شامل

گوتیت تشکیل داده است. کانی مذکور به صورت قطعات کوچک شکل دار (پسودرمورف پیریت)

دیده میشود. پیریت به صورت بلورهای سالم ترموارد معدود مشاهده شده. اندازه این قطعات

عموماً کمتر از ۲۰ میکرون است. مقدار پیریت در حد ۱٪ است. از کانیهای سولفوری قطعات

ریز کالکوپیریت نیز در اندازه های کمتر از ۲۰ میکرون به مقدار جزئی (در حداث) وجود دارد. گانگ حداقل

دونوع بوده و بخش اعظم آن کوارتز است. وجود انعکاسات داخلی سبز در شکستگی هاممکن است ناشی

از آغشتگی ملاکیت باشد.

نمونه B3

تیغ نوآب ۴

تشکیل دهنده هاعبارنداز: منیتیت، گوتیت، هماتیت، کالکوپیریت، ملاکیت. کانیهای گانگ

فراآن ترین کانی کدر منیتیت همراه با هماتیت است که به صورت بلورهای شکل دار نیم شکل داریه

مقدار حدود ۵٪ دیده میشود. قطعات منیتیت به شدت دگرسان گردیده و آثار آن تشکیل بلورهای

تیغه ای هماتیت در شکستگی های منیتیت است. کانی دیگر گوتیت است که به صورت پسودرمورف

پیریت بوده و مقدار آن در حد ۲-۳٪ است. پیریت خود ندرتاً به حالت سالم دیده میشود. درین اکسیدهای

فرق الذکر احتمال وجود اکسیدهای مس در حد جزئی میباشد. از کانه های هیپوزن ندرتاً قطعات کوچک

کالکوپیریت با ابعاد کمتر از ۵ میکرون مشاهده شده و مقدار آن در حد ۱٪ است. از دیگر کانیهای مس

ملاکیت است که به صورت آغشتگی در فضاهای میکرو فراکچر هادیده میشود. کانی گانگ کوارتز

است.

نمونه B4

تعی نوآب ۴

تشکیل دهنده ها عبارتنداز: اکسیدوئیدروکسیدهای آهن، پیریت، کانیهای گانگ کانیهای کدر موجود در حد ۱٪ بوده و شامل کانیهای آهن به صورت اکسید و سولفور میباشد. سولفور موجود از نوع پیریت بوده به صورت قطعات نیم شکل دارایی شکل پراکنده با علاوه کمتر از ۲۰ میکرون مشاهده میشود. قطعات پر تیت تحت تأثیر دگرسانی به اکسیدوئیدروکسیدهای آهن تبدیل شده است. برخی قطعات دارای اشکال کاذب پیریت بوده (پسودومورف) و برخی دیگر دارای اشکال ریتمیک و کنکرسیونی میباشد. کانیهای گانگ دونوع بوده و بخش اعظم آن کوارتز است.

نمونه B5

تعی نوآب ۴

تشکیل دهنده ها عبارتنداز: اکسیدوئیدروکسیدهای آهن، پیریت، کانیهای گانگ بافت کانیهای کدر به صورت پراکنده (دیس آمینه) بوده و شامل ترکیبات آهن به شکل کانی گوتیت و کمتر پیریت میباشد. قطعات گوتیت که ناشی از دگرسانی پیریت است باشکل کاذب (پسودومورف) پیریت مشاهده میشوند. مقدار قطعات مذکور در حد ۲-۳٪ است. کانیهای مس مشاهده نمی شود. کانیهای شفاف (گانگ) حداقل دونوع بوده و بخش اعظم آن را کوارتز تشکیل داده است.

نمونه B6

تعی نوآب ۴

تشکیل دهنده ها عبارتنداز: اکسیدوئیدروکسیدهای آهن، کالکوپیریت، کانیهای گانگ

درین کانیهای اکسید شامل منیتیت، هماتیت و گوتیت، منیتیت فراوان ترین بوده و به صورت قطعات نیم کشکشی دوزه شکل دارایی شکل و بعضًا بافت خردشده (کاتاکلاستیک) به مقدار حدود ۵٪ مشاهده میشود. در قطبانی

شکستگی ها کانی مذکور به همایت تبدیل شده و شدت دگرسانی آن حدود ۲۰٪ است. گوتیت ناشی از دگرسانی پیریت بوده و با حفظ شکل جانشین پیریت گردیده است. مقدار گوتیت از ۱٪ تجاوز نمیکند. تعداد اندکی قطعات سولفوری نیز وجود دارد که اندازه قطعات آن کمتر از ۵۰ میکرون بوده و شامل پیریت و کالکوپیریت است. مقدار این کانیها در حد ۱٪ است. کانی گانگ از نوع کوارتن است.

نمونه C1 نفع نواب ۳

تشکیل دهنده هاعبارتنداز: اکسیدوئیدروکسیدهای آهن، پیریت، کانیهای گانگ کانیهای کدر موجود در نمونه منحصر به ترکیبات آهن بوده و به صورت قطعات پراکنده با توزیع تقریباً متجانس مشاهده میشود. از کانیهای مذکور اکسیدوئیدروکسیدهای عمدتاً گوتیت به مقدار حدود ۳٪ وجود دارد. این کانی بعضاً به حالت شکل دار مشهود است. و شکل آن مربوط به قطعات پیریت تأخیری است. در برخی قطعات نیز ساخت ریتمیک مشاهده می‌گردد. علاوه بر گوتیت قطعات پیریت که آثار دگرسانی در آنها کم و بیش مشخص است به مقدار ۱-۲٪ وجود دارد. اندازه این قطعات ندرتاً به میلیمتر میرسد. گانگ کوارتن بوده و دارای بافت برشی می‌باشد.

نمونه C2 نفع نواب ۳

تشکیل دهنده هاعبارتنداز: اکسیدوئیدروکسیدهای آهن، پیریت، کانیهای گانگ کانیهای کدر موجود کمتر از ۱٪ بوده شامل ترکیبات آهن به صورت سولفور و اکسید است. پیریت چند مورد به صورت قطعات شکل دار با علاوه کوچکتر از ۱۰۰ میکرون بوده و در اثر دگرسانی در حواشی به ترکیبات ثانوی تبدیل گردیده است که عمدتاً شامل گوتیت میباشد. گانگ کوارتنی است.